

UNIVERSIDAD NACIONAL AUTÓNOMA DE MÉXICO PROGRAMA DE MAESTRÍA Y DOCTORADO EN INGENIERÍA INGENIERÍA CIVIL – GEOTECNIA

MODELACIÓN DEL PROCESO CONSTRUCTIVO DE UNA EXCAVACIÓN CON INTERACCIÓN SUELO – ELEMENTO DE CONTENCIÓN

TESIS QUE PARA OPTAR POR EL GRADO DE MAESTRO EN INGENIERÍA

PRESENTA
CARLOS ANDRÉS JIMÉNEZ GARROTE

TUTOR DR. RIGOBERTO RIVERA CONSTANTINO FACULTAD DE INGENIERÍA

COTUTOR
M. EN I. CARMELINO ZEA CONSTANTINO
FACULTAD DE INGENIERÍA

CIUDAD UNIVERSITARIA, CD. MX., NOVIEMBRE DE 2019





UNAM – Dirección General de Bibliotecas Tesis Digitales Restricciones de uso

DERECHOS RESERVADOS © PROHIBIDA SU REPRODUCCIÓN TOTAL O PARCIAL

Todo el material contenido en esta tesis esta protegido por la Ley Federal del Derecho de Autor (LFDA) de los Estados Unidos Mexicanos (México).

El uso de imágenes, fragmentos de videos, y demás material que sea objeto de protección de los derechos de autor, será exclusivamente para fines educativos e informativos y deberá citar la fuente donde la obtuvo mencionando el autor o autores. Cualquier uso distinto como el lucro, reproducción, edición o modificación, será perseguido y sancionado por el respectivo titular de los Derechos de Autor.

JURADO ASIGNADO:

Presidente: M.I. Agustín Deméneghi Colina

Secretario: M.I. Germán López Rincón

Vocal: Dr. Rigoberto Rivera Constantino

1 er. Suplente: Dr. Eduardo Botero Jaramillo

2 do. Suplente: M.I. Carmelino Zea Constantino

Lugar donde se realizó la tesis: Ciudad Universitaria, Ciudad de México, México

TUTOR DE TESIS:

DR. RIGOBERTO RIVERA CONSTANTINO

FIRMA

Dedico este trabajo a mi madre Ofelia, mi padre Carlos y a mi hermano Sergio por su paciencia y amor incondicional.

A mis abuelas Blanca Inés y Lupe por sus enseñanzas y buenos recuerdos.

A toda mi familia por siempre tener una sonrisa y ser un apoyo en mi formación.

AGRADECIMIENTOS

A la Universidad Nacional Autónoma de México por brindarme la oportunidad de realizar mis estudios de posgrado y permitirme cumplir el sueño de crecer profesionalmente.

Al Consejo Nacional de la Ciencia y la Tecnología de México (CONACYT) por su apoyo económico durante el desarrollo de la maestría.

Al Dr. Rigoberto Rivera Constantino por su invaluable dedicación, conocimiento y compromiso que como docente y tutor incentivó mi deseo en la investigación y la ingeniería.

Al M. en I. Carmelino Zea Constantino por su orientación crítica, sus observaciones y experiencia que permitieron el desarrollo exitoso de esta tesis.

A mis sinodales M.I. Agustín Deméneghi Colina, M.I. Germán López Rincón y al Dr. Eduardo Botero Jaramillo por su tiempo y valiosas observaciones que contribuyeron a la culminación de este trabajo de investigación.

A todos los profesores de la Maestría en Geotecnia por ser ejemplo de la excelencia académica.

A Andrés por su paciencia y apoyo para concluir esta etapa de formación académica.

A mis compañeros de generación por todos los momentos compartidos.



CONTENIDO

	Pá	g.
RESU	MEN	. i
ABSTI	RACT	ii
OBJET	TIVOS ESPECÍFICOS	iii
ALCA	NCES	iii
1. I	NTRODUCCIÓN	1
2. A	ANTECEDENTES	3
3. N	MARCO TEÓRICO	6
3.1	Estado de esfuerzos en el suelo	7
3.	1.1. Solución de Boussinesq (1885)	8
3.	1.2. Solución de Mindlin (1936)	3
3.2	Presiones laterales en el suelo	20
3.3	Muros Milán	24
3.4	Metodología de interacción suelo – estructura	27
3.	4.1. Modelación del sistema estructural	27
3.	4.2. Modelación del suelo	32
4. I	PROYECTO DE ESTUDIO	37
4.1	Antecedentes del proyecto	37
4.2	Características del proyecto	37
4.3	Instrumentación de campo	38
4.4	Modelo geológico – geotécnico	11
45	Procedimiento constructivo	17





5. APLICACIÓN DE LA METODOLOGÍA DE INTERACCIÓN	54
5.1 Modelo reticular para la estructura de contención	55
5.2 Matriz de rigidez del suelo	57
5.2.1. Archivo de datos para el programa FLEXHO	59
5.2.2. Archivo de módulos de compresibilidad para el programa FLEXHO	60
5.3 Matriz de interacción suelo – estructura de contención.	62
5.3.1. Etapas constructivas de análisis	63
5.3.2. Ejecución del programa EMISES3D	71
5.4 Análisis de interacción suelo – estructura	72
CONCLUSIONES	80
REFERENCIAS	83



LISTA DE FIGURAS

	Pág.
Figura 3.1. Solución de Boussinesq para carga puntual.	8
Figura 3.2. Solución de Holl para carga rectangular uniforme vertical.	10
Figura 3.3. Solución de Terzaghi y Carothers para carga rectangular vertical infinita	12
Figura 3.4. Solución de Mindlin para carga puntual.	14
Figura 3.5. Carga rectangular horizontal uniformemente distribuida.	16
Figura 3.6. Estado de esfuerzos laterales en el suelo para una estructura de retención	21
Figura 3.7. Círculo de Mohr para estados activos y pasivos del suelo	22
Figura 3.8. Planos de deslizamiento en la masa del suelo cerca del elemento de contenc	ión. 23
Figura 3.9. Proceso constructivo del muro Milán.	26
Figura 3.10. Modelo del muro utilizando una retícula por medio de trabes	28
Figura 3.11. Equivalencia de sistemas locales a globales.	31
Figura 3.12. Modelo de áreas de placas para la estructura de contención	32
Figura 3.13. Modelo de carga unitaria para las placas con su influencia por Mindlin	33
Figura 3.14. Modelo final de interacción para el uso de EMISES3D.	34
Figura 4.1. Vista general de proyecto.	37
Figura 4.2. Elementos de un inclinómetro.	40
Figura 4.3. Estimación del Módulo E ₅₀ a partir de ensayos triaxiales UU	45
Figura 4.4. Ubicación en planta de Muro Milán y pilas.	48
Figura 4.5. Construcción de la trabe de coronamiento perimetral de la estructura	48
Figura 4.6. Plataforma de trabajo con rezaga para la extracción de material	49
Figura 4.7. Secciones de procesos constructivos para el edificio Torre	50
Figura 4.8. Ubicación de los inclinómetros dentro del área de construcción	51
Figura 4.9. Resultados del inclinómetro "INC-01"	52
Figura 4.10. Resultados del inclinómetro "INC-04"	52
Figura 4.11. Resultados del inclinómetro "INC-05"	53
Figura 5.1 Ubicación en planta de las estructuras de contención de estudio (en rojo)	55





Figura 5.2. Modelo reticular de la estructura de contención.	56
Figura 5.3. Modelo reticular con resortes del suelo.	56
Figura 5.4. Hoja de cálculo programada para calcular la matriz de rigidez del suelo	57
Figura 5.5. Diagrama de flujo para el programa FLEXHO.	58
Figura 5.6. Archivo de datos .DAT para el programa FLEXHO.	59
Figura 5.7. Archivo de módulos de compresibilidad .MOD para el programa FLEXHO	60
Figura 5.8. Inicio del programa FLEXHO.	61
Figura 5.9. Opciones de impresión del programa FLEXHO.	61
Figura 5.10. Diagrama de flujo para el programa EMISES3D.	62
Figura 5.11. Etapa 1 y 2 del proceso de excavación en la obra	64
Figura 5.12. Etapa 3 del proceso de excavación de la obra.	64
Figura 5.13. Etapa 4 del proceso de excavación de la obra.	65
Figura 5.14. Definición de propiedades de la retícula en el modelo.	65
Figura 5.15. Etapa 5 del proceso de excavación de la obra	66
Figura 5.16. Etapa 6 del proceso de excavación de la obra.	67
Figura 5.17. Etapa 7 del proceso de excavación de la obra	67
Figura 5.18. Etapa 8 del proceso de excavación de la obra.	68
Figura 5.19. Áreas tributarias para las barras horizontales del modelo	70
Figura 5.20. Asignación de cargas distribuidas lineales uniformes en el modelo	70
Figura 5.21. Inicio del programa EMISES3D.	71
Figura 5.22. Desplazamientos horizontales para las cuatro etapas de análisis	72
Figura 5.23. Desplazamientos horizontales vs reporte del inclinómetro "INC-01"	76
Figura 5.24. Análisis paramétrico vs reporte del inclinómetro "INC-01".	79



LISTA DE TABLAS

Pág.
Tabla 4.1. Lecturas de celdas piezométricas 42
Tabla 4.2. Resultados del Módulo (Em) para ensayo de Presiómetro. 44
Tabla 4.3. Estimación de módulos E ₅₀ para el perfil estratigráfico de estudio
Tabla 4.4. Modelo geológico – geotécnico del sitio de estudio. 46
Tabla 5.1. Datos de la retícula de la estructura de contención para la edificación de estudio. 59
Tabla 5.2. Módulos M para la estratigrafía en el terreno de análisis. 60
Tabla 5.3. Propiedades de los elementos de contención del modelo de interacción. 69
Tabla 5.4. Propiedades del material de relleno entre la tablestaca y la mega zapata 69
Tabla 5.5. Resultados del análisis de interacción por etapas. 73
Tabla 5.6. Resultados del análisis de interacción acumulado por etapas

RESUMEN

Las grandes obras de infraestructura requieren diseños de ingeniería óptimos y procesos constructivos eficientes que plantean retos en el ámbito geotécnico; en el caso de nuevas edificaciones donde el costo del terreno es muy elevado, se generan alternativas como lo son las estructuras de gran altura con excavaciones a una gran profundidad.

En el diseño de una obra geotécnica se debe analizar el comportamiento mecánico del suelo sometido a diferentes estados de esfuerzo, los efectos de la interacción del suelo con sus elementos de contención y las deformaciones debidas a las excavaciones por medio de cálculos y modelos numéricos que simulen las condiciones reales de estudio.

Para analizar el problema de interacción suelo – elemento de contención de una excavación profunda en suelos lacustres ubicada en la Ciudad de México, se requiere del uso de metodologías analíticas y herramientas computacionales que permitan estimar los cambios producidos en el terreno tomando en cuenta las diferentes etapas del proceso constructivo de la obra.

El análisis de interacción utilizado en este trabajo fue desarrollado por Zeevaert (1973, 1980), en donde la cimentación y los elementos estructurales se modelan por medio de retículas tridimensionales con seis grados de libertad apoyados en una serie de resortes elásticos, los cuales representan al suelo a través del módulo de reacción el cual permite calcular las reacciones y las deformaciones producidas por las cargas aplicadas.

El método de análisis mencionado se complementa incluyendo el cálculo de los cambios en la distribución de esfuerzos del terreno aplicando la solución de Mindlin (1936), la solución de Boussinesq (1885) y Holl (1940) para cada etapa del proceso constructivo.

Se ha planteado como objetivo en este trabajo modelar una excavación profunda ubicada en la Ciudad de México usando las metodologías de interacción suelo – elemento de contención por la teoría matricial de Zeevaert, por medio de software y hojas de cálculo programadas que involucren los aspectos reológicos del suelo, los cambios de estados de esfuerzo y los elementos estructurales utilizados en el proceso de construcción de la edificación.

ABSTRACT

Big infrastructure requires an optimal engineering design and efficient construction processes that pose challenges in the geotechnical field; in the case of new buildings where the cost of the land is expensive, alternatives are generated such as skyscrapers with deep foundations.

In a geotechnical engineer design, the mechanical behavior of soil subjected to different stress states must be analyzed, the effects of soil interaction with structural elements and deformations due to excavations must be studied by calculations and numerical models that simulate the real condition.

To analyze the soil interaction - structural element problem of a deep excavation in lacustrine soils located in Mexico City, the use of theoretical methodologies and computational software is required to estimate the changes produced in the terrain taking into account the different stages of the construction process.

The interaction analysis used in this thesis was developed by Zeevaert (1973, 1980), where the foundation and structural elements are modeled by means of three-dimensional grids with six degrees of freedom supported with a series of elastic springs, which represent the soil through the module reaction, that allows to calculate the reactions and deformations produced by the applied loads.

The mentioned analysis method is complemented by including the calcule of soil distribution stresses applying Mindlin solution (1936), Boussinesq solution (1885) and Holl (1940) for each stage of the construction process.

The main objective of this thesis has been to model a deep excavation located in Mexico City using the soil - structure interaction methodologies by Zeevaert's matrix theory, by means of software and programmed spreadsheets that involve the rheological aspects of soil, changes in stress states and structural elements used in the building construction process.



OBJETIVOS ESPECÍFICOS

- 1) Analizar los efectos de la interacción suelo elemento de contención para una excavación profunda que aloja la cimentación de una edificación de gran altura localizada en los suelos lacustres de la Ciudad de México, empleando métodos analíticos que tomen en cuenta las diferentes etapas del proceso constructivo.
- 2) Generar un modelo geotécnico del subsuelo utilizando la información disponible de la zona de estudio obtenida mediante pruebas de campo y laboratorio.
- 3) Calcular las configuraciones de presiones de contacto, deformaciones y elementos mecánicos para las diferentes etapas de excavación derivadas del estudio de la interacción suelo - elemento de contención.
- 4) Generar herramientas computacionales para la estimación de cambios de esfuerzos en el interior de la masa de suelo (Mindlin,1936) e incorporar dichas herramientas en los métodos de interacción suelo elemento de contención propuestos por Zeevaert (1973).

ALCANCES

Los alcances de la tesis incluyen: la integración de la solución de Mindlin para carga horizontal uniforme en un área rectangular (Mindlin,1936) y su uso en el cálculo de la distribución de esfuerzos horizontales, obteniendo la expresión final en términos de las propiedades elásticas y geométricas del medio analizado; el uso de la solución de Boussinesq (1885) y Holl (1940) debido a carga vertical uniformemente distribuida en un área rectangular; la aplicación de la metodología de interacción suelo – estructura de contención matricial (Zeevaert,1973) modelando el proceso de excavación por etapas constructivas; la programación de las metodologías de análisis de interacción suelo – elemento de contención en lenguaje Fortran y hojas de cálculo, buscando una mayor difusión para su uso dentro del grupo de profesores y estudiantes de la Facultad de Ingeniería, así como expertos de la práctica profesional.



1. INTRODUCCIÓN

El acelerado desarrollo de las ciudades plantea nuevos desafíos en la ingeniería civil debido a la construcción de infraestructura que demanda la población, por lo tanto, se requiere de un amplio conocimiento que permita diseñar los proyectos de forma técnica y económicamente viables como son las edificaciones de gran altura y con excavaciones profundas.

Es fundamental el uso de la geotecnia para analizar el comportamiento de los materiales que se encuentran en el subsuelo, los cuales permiten estimar los efectos en cambios de esfuerzos y deformaciones en diferentes etapas constructivas, siendo la etapa de diseño la que requiere una revisión de ingeniería a detalle con el fin de evitar un estado de falla en la obra.

A través de los años se han desarrollado diferentes investigaciones que plantean modelos con mayor precisión, estos van desde métodos analíticos hasta el uso de elemento finito y diferencias finitas que simulan el comportamiento del suelo, los elementos estructurales y su interacción. Sin embargo, algunas metodologías de diseño simplifican el cálculo a modelos bidimensionales, los cuales utilizan modelos numéricos computacionales que requieren de conocimiento técnico para ser aplicados correctamente y están limitados por sus licencias de alto costo.

Al diseñar este tipo de obras en suelos blandos presentes en la Ciudad de México, se requiere de elementos de soporte y estructuras de contención que permitan trabajar a grandes profundidades tanto por estabilidad como por capacidad de carga del suelo frente a cargas impuestas, en donde es obligatorio la elaboración de estudios de ingeniería que involucren las condiciones reales del subsuelo, los niveles piezométricos y abatimiento en la zona, la evaluación de las propiedades mecánicas como es el caso en los depósitos superficiales de baja resistencia y alta compresibilidad, y un análisis de interacción suelo – elementos de contención.

En México, existe una investigación que involucra las propiedades del subsuelo y de la estructura con el fin de evaluar las condiciones de interacción; esta metodología representa el suelo por medio de resortes elásticos utilizando un módulo de reacción variable para calcular la distribución de fuerzas bajo una cimentación (Zeevaert, 1973). El análisis se basa en el cálculo

matricial de una estructura con rigidez finita, la cual incluye los efectos de la compresibilidad del subsuelo obteniendo la condición de compatibilidad de deformaciones entre elementos.

Aplicando la teoría de interacción de Zeevaert (1973), se obtienen las deformaciones de la estructura, las reacciones internas de los elementos y la distribución bajo las áreas tributarias requeridas para el diseño. Para calcular las influencias y los cambios de esfuerzos en el interior de la masa de suelo debido a las etapas de construcción y excavación de la obra, se integró la solución de esfuerzo horizontal para carga puntual en el interior de un semiespacio elástico lineal de Mindlin (1936) y también el caso de carga horizontal uniforme en un área rectangular.

El presente estudio busca generalizar el procedimiento de interacción suelo – elemento de contención para excavaciones profundas en una edificación ubicada en la Avenida Reforma de la Ciudad de México, utilizando las metodologías de análisis de comportamiento y modelado por etapas para calcular las deformaciones que sufre el suelo y los elementos estructurales al compararse con las mediciones de campo de los inclinómetros perimetrales de la obra.

Por tal motivo, en el Capítulo 2 se realiza una revisión de los antecedentes y artículos de investigación que abordan algunas metodologías de solución para el problema de interacción suelo – estructura.

En el Capítulo 3 se describen los fundamentos utilizados para la metodología de interacción, tales como la distribución de esfuerzos en el suelo, la teoría de presiones laterales, el cálculo matricial del suelo, la discretización de la estructura de contención y el uso del muro Milán como sistema constructivo.

En el Capítulo 4 se expone el proyecto de estudio con sus antecedentes, las características del subsuelo, el modelo geológico - geotécnico, la instrumentación en campo y su procedimiento constructivo que son claves para plantear el modelo del subsuelo y la estructura.

En el Capítulo 5, se aplica la metodología de interacción calculando las deformaciones producidas en la obra y siendo comparadas con la instrumentación de campo, en este caso con los reportes de los inclinómetros. Finalmente, se presentan las conclusiones del trabajo resaltando las ventajas del uso de esta metodología en la práctica profesional, como así de la importancia de estimar los efectos de interacción en las obras geotécnicas.



2. ANTECEDENTES

Las investigaciones en ingeniería han desarrollado metodologías analíticas y numéricas para estimar los efectos del suelo y los elementos estructurales en una excavación; aun así, los análisis de interacción no son suficientes para representar adecuadamente el comportamiento por las diferentes hipótesis que se utilizan para simplificar los modelos.

Comúnmente se modela una cimentación con rigidez definida sobre una serie de resortes elásticos que representan la respuesta del suelo, en términos de reacciones o desplazamientos. A partir de este análisis, se incluyen en el modelo estructural las deformaciones calculadas y por medio de iteraciones se estima el comportamiento de los elementos hasta que los resultados no presenten grandes variaciones de una a otra iteración y se cumpla la compatibilidad de deformaciones.

Con respecto al estudio de interacción, se reportan en la literatura diversos métodos de análisis en condiciones estáticas y dinámicas para calcular los efectos bidimensionales y tridimensionales del sistema suelo – cimiento (Deméneghi,1992).

En México se tiene un procedimiento de análisis de interacción suelo – estructura para suelos blandos de compresibilidad media a alta, característicos de la Ciudad de México (Zeevaert,1973). Otros referentes de investigaciones en el tema son las desarrolladas por Sánchez-Enríquez (1982) y López (2012), que analizan el comportamiento por medio del método de las rigideces o de los desplazamientos que es equivalente al método de las flexibilidades o de las fuerzas virtuales utilizado por Zeevaert.

Algunas publicaciones similares han estudiado el comportamiento de los elementos de retención y el cálculo de empujes comparando los resultados arrojados por el software PLAXIS contra los métodos analíticos (Kuo-Hsin y Chia-Nan,2010); también se han analizado los empujes horizontales utilizando los resultados obtenidos en PLAXIS aplicando la teoría de Rankine, Coulomb y Boussinesq sin incluir las deformaciones de los elementos de contención (Petersson,2012).

En investigaciones más recientes, se encuentra la aplicación de la metodología de interacción propuesta por Zeevaert por medio de un modelo numérico para el caso de un muro Milán con anclajes ubicado en la zona centro – norte de la Ciudad de México, en donde se calcularon los empujes y se utilizó la teoría matricial incluyendo las propiedades mecánicas del suelo para comparar los resultados con medición de campo y un modelo en PLAXIS por etapas (Arvizu,2017).

La referencia en México es el Manual de Diseño de Obras Civiles en su capítulo B.2.6 de Estructuras de retención (CFE,2014); en este documento se analiza la teoría de empuje de tierras, como también los sistemas de retención para excavaciones con la limitante que considera los modelos del subsuelo como resortes aislados sin incluir directamente los efectos de interacción suelo – estructura para una obra de diseño.

El desarrollo de metodologías de análisis más pragmático se encuentra un poco abandonado por las ventajas que presentan los modelos computacionales, sin embargo, estos métodos pueden ser fuente de diversos errores si no se seleccionan bien los parámetros y propiedades del suelo, corriendo el riesgo que se confíe ciegamente en los resultados. En los programas de análisis estructural se representa al suelo por medio de resortes equivalentes, no obstante, aún no permiten modelar la interacción suelo – estructura sin recurrir a cálculos iterativos para encontrar la solución.

El método que se plantea en este trabajo involucra la utilización de elementos reticulares en tres dimensiones como representación de la estructura de diseño, incluyendo los seis grados de libertad para cada uno de los nudos que conecta la estructura definida por elementos tipo viga. Para la aplicación del método se actualiza el programa EMISES3D compilado en lenguaje QBASIC, generando una versión en lenguaje FORTRAN que incluye el aumento de la capacidad de cálculo de los elementos y nudos, como también las dimensiones de las matrices de interacción para la estructura que se desea modelar.

En el análisis de interacción suelo – elemento de contención se requiere del uso de los resultados de las pruebas de laboratorio, las campañas de exploración y la instrumentación instalada para medir desplazamientos horizontales (inclinómetros) y niveles piezométricos, con el objetivo de plantear un modelo geotécnico del subsuelo que represente el estado de esfuerzos del terreno para cada etapa en la obra.

UNIVERSIDAD NACIONAL AUTÓNOMA DE MÉXICO



MODELACIÓN DEL PROCEDIMIENTO CONSTRUCTIVO DE UNA EXCAVACIÓN CON INTERACCIÓN SUELO – ELEMENTO DE CONTENCIÓN

Las etapas de modelado del procedimiento de excavación implican cambios de esfuerzos en la masa del suelo, cuya determinación es fundamental para la comprensión del fenómeno de interacción con la estructura; por lo tanto, se requiere analizar los elementos de contención como lo son: el muro Milán, la tablestaca de acero y una mega zapata perimetral que estarán sometidos a variaciones de esfuerzos calculados a partir de la teoría de Mindlin y de Boussinesq para los casos de cargas uniformes en áreas rectangulares asumiendo que el suelo está en el rango elástico.

Por el alto costo de las licencias oficiales del software de modelado y el tiempo requerido de aprendizaje, se debe enfatizar en la creación de software gratuito para la comunidad como herramienta práctica que utilice las metodologías analíticas e investigaciones actuales, incluyendo los efectos de interacción para un análisis eficiente del comportamiento geotécnico – estructural.

3. MARCO TEÓRICO

El análisis de los problemas geotécnicos en edificaciones de gran altura ha sido fundamental para el desarrollo de nuevas metodologías tanto de construcción como de diseño. El elemento de contención de 50 metros de profundidad utilizado para la excavación de la edificación de estudio es el muro Milán, definido como un muro perimetral unido por medio de tableros colados in situ en ocasiones troquelados o anclados según sea el caso.

Por medio de esta propuesta de cálculo se busca implementar de manera eficiente los efectos de deformación del suelo sometido a cambio de esfuerzos y la estructura que se desea incorporar en el terreno. Para realizar el análisis de interacción se considera un sistema suelo – elemento de contención que incorpora en una matriz global la rigidez de la estructura con la rigidez del suelo utilizando retículas que simulan el elemento de contención que está en contacto directo con el suelo.

El procedimiento constructivo es primordial para describir cada una de las etapas a las cuales se ve sometido el suelo y la estructura de contención, que equivale a cambios de estado de esfuerzos internos que generaron deformaciones del suelo y que fueron registradas por los inclinómetros instalados en el muro Milán.

La condición de estado de esfuerzos inicial de la masa de suelo es fundamental y debe ser conocida ya que normalmente corresponde al estado de reposo, el cual se ve afectado por el alivio de esfuerzos que genera la excavación del volumen de suelo determinado. En el momento que se cuela el muro dentro del suelo se producen esfuerzos laterales que afectan nuevamente la condición de esfuerzos en reposo, pero se considera como un efecto temporal mientras dura el fraguado.

Una vez construido el muro Milán perimetral las etapas de excavación se desarrollan a distintas profundidades. Para el caso de la primera etapa que se excava y se generan alivios de esfuerzos y expansiones, se estima el cambio de esfuerzos aplicando la teoría de Mindlin y Boussinesq considerando el suelo como un medio continuo y el muro como una estructura de retículas conectadas lateralmente.

UNIVERSIDAD NACIONAL AUTÓNOMA DE MÉXICO



MODELACIÓN DEL PROCEDIMIENTO CONSTRUCTIVO DE UNA EXCAVACIÓN CON INTERACCIÓN SUELO – ELEMENTO DE CONTENCIÓN

La determinación de las presiones de contacto y los desplazamientos horizontales en los elementos de contención de una excavación se deben a la rigidez de la estructura, a las propiedades de compresibilidad del suelo, a las cargas aplicadas (incrementos o decrementos) y a la secuencia constructiva que se siga para la realización de la obra.

En definitiva, se requiere obtener la matriz de rigidez global de los elementos por medio de la interacción suelo – elemento de contención aplicando la metodología de Zeevaert detallada más adelante y las presiones de contacto activas y pasivas. Este procedimiento se repite para cada una de las profundidades de excavación hasta que se alcance el nivel definido de diseño.

3.1 Estado de esfuerzos en el suelo

El análisis del estado de esfuerzos en el suelo durante el procedimiento constructivo es fundamental para evitar un estado de falla al rebasar la resistencia del suelo; los incrementos de esfuerzos dependen de la magnitud de la carga, la geometría y forma de la estructura, la profundidad de desplante, entre otros factores principales que son definidos a partir de la obra de ingeniería a construir.

La aplicación de la teoría de la elasticidad para el cálculo de la distribución esfuerzos en el suelo es útil para dar solución a problemas en ingeniería; esta teoría tiene diversas hipótesis como el considerar al suelo como un medio continuo, homogéneo e isótropo, y plantea una relación lineal entre esfuerzos y deformaciones, condiciones que no son siempre válidas en el terreno.

Mientras que la teoría de la elasticidad llega a ser válida en las estructuras por su homogeneidad, en el caso de los suelos puede presentar inexactitudes debido a las hipótesis que se plantean y las condiciones reales que son simplificadas en el cálculo; sin embargo, para los alcances de diseño de una obra de ingeniería las soluciones aproximadas obtenidas por las teorías adoptadas en este trabajo llegan a ser suficientes para estimar resultados razonables desde el punto de vista de la práctica profesional.

Por lo tanto, se han desarrollado teorías por diversos autores que proponen la distribución de esfuerzos considerando las hipótesis ya mencionadas para cargas puntuales, rectangulares, circulares, dentro de la masa del suelo, entre otros casos mencionados.

Una propuesta para el cálculo de la distribución de esfuerzos es la de J. V. Boussinesq (1885) la cual considera un medio continuo, elástico, homogéneo e isótropo sometido a una carga puntual en su superficie. Acorde con los problemas en ingeniería (cimientos profundos, suelos estratificados, suelos colapsables, etc.) han sido desarrolladas soluciones para estimar la influencia de las cargas aplicadas dentro del medio (Mindlin,1936), la solución de Westergaard (1938) para el caso de un suelo fuertemente estratificado y la solución de Fröhlich (1942) que incluye un coeficiente de rigidez para el cálculo de los esfuerzos en la masa de suelo.

A continuación, se detallan las metodologías utilizadas para el modelo de interacción suelo – estructura aplicando la solución de Boussinesq (1885) y Holl (1940) debido a una carga vertical uniformemente distribuida en un área rectangular y la integración de la solución de Mindlin (1936) para carga horizontal uniformemente distribuida en un área rectangular, entre otras.

3.1.1. Solución de Boussinesq (1885)

Para determinar la distribución de esfuerzos propuesta por Boussinesq (1885), se plantea una solución para una carga puntual de magnitud "Q" aplicada en la superficie del medio semi-infinito, homogéneo, isótropo y elástico-lineal producida a una profundidad "z" respecto a la superficie en un punto "P" con coordenadas "x, y, z" como se indica en la Figura 3.1.

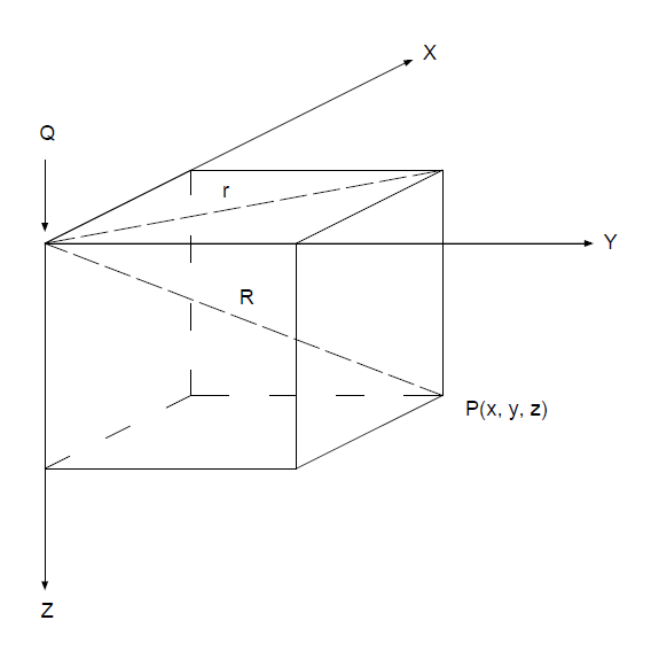


Figura 3.1. Solución de Boussinesq para carga puntual.

UNIVERSIDAD NACIONAL AUTÓNOMA DE MÉXICO

MODELACIÓN DEL PROCEDIMIENTO CONSTRUCTIVO DE UNA EXCAVACIÓN CON INTERACCIÓN SUELO – ELEMENTO DE CONTENCIÓN

En coordenadas cartesianas se expresan las Ecuaciones (3.1), (3.2) y (3.3) para la obtención de los esfuerzos en las tres direcciones del sistema.

$$\Delta \sigma_x = \frac{3Q}{2\pi} \left\{ \frac{x^2 z}{R^5} + \frac{1 - 2\nu}{3} \left[\frac{1}{R(R+z)} - \frac{(2R+z)x^2}{R^3(R+z)^2} - \frac{z}{R^3} \right] \right\}$$
(3.1)

$$\Delta\sigma_{y} = \frac{3Q}{2\pi} \left\{ \frac{y^{2}z}{R^{5}} + \frac{1 - 2\nu}{3} \left[\frac{1}{R(R+z)} - \frac{(2R+z)y^{2}}{R^{3}(R+z)^{2}} - \frac{z}{R^{3}} \right] \right\}$$
(3.2)

$$\Delta \sigma_Z = \frac{3Qz^3}{2\pi R^5} \tag{3.3}$$

Las Ecuaciones (3.4), (3.5) y (3.6) permiten obtener los esfuerzos cortantes actuantes.

$$\Delta \tau_{xy} = \frac{3Q}{2\pi} \left[\frac{xyz}{R^5} + \frac{1 - 2\nu}{3} \frac{(2R + z)xy}{R^3 (R + z)^2} \right]$$
(3.4)

$$\Delta \tau_{xz} = \frac{3Qxz^2}{2\pi R^5} \tag{3.5}$$

$$\Delta \tau_{yz} = \frac{3Qyz^2}{2\pi R^5} \tag{3.6}$$

Para una carga unitaria y utilizando la relación geométrica $r^2 = x^2 + y^2$ y $R^2 = z^2 + r^2$ se determina el valor I_{Bq} como el valor de influencia de Boussinesq indicado en la Ecuación (3.7).

$$I_{Bq} = \frac{3}{2\pi} \left[\frac{1}{1 + \left(\frac{r}{2}\right)^2} \right]^{5/2} \tag{3.7}$$

Al reescribir la Ecuación (3.3) para esfuerzo en dirección z a partir del valor de influencia I_{Bq} se obtiene la Ecuación (3.8) simplificada.

$$\Delta \sigma_Z = \frac{Q}{Z^2} \left[I_{Bq} \right] \tag{3.8}$$

- Solución para determinar el cambio de esfuerzo producido por una carga uniforme vertical en un área rectangular para un coeficiente de Poisson ν = 0.5

Holl (1940) propone una solución para calcular la distribución de esfuerzos en un medio semiinfinito con $\nu = 0.5$ debido a la aplicación de una carga rectangular uniforme vertical "Q" en un punto "P" con coordenadas "x,y,z" a una profundidad " z_p " como se muestra en la Figura 3.2.

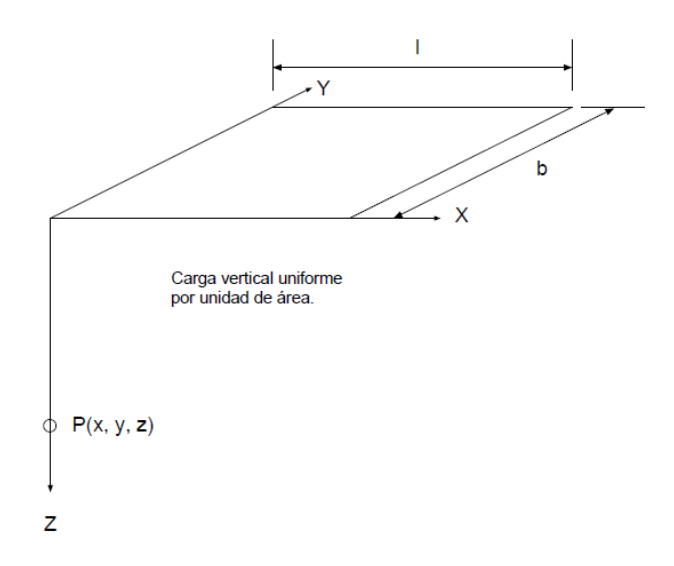


Figura 3.2. Solución de Holl para carga rectangular uniforme vertical.

Para el cálculo de la distribución de esfuerzos normales y cortantes se aplican las Ecuaciones del número (3.9) a la (3.14).

$$\Delta \sigma_z = \frac{Q}{2\pi} \left[ArcTan \frac{lb}{zR_3} + \frac{lbz}{R_3} \left(\frac{1}{{R_1}^2} + \frac{1}{{R_2}^2} \right) \right]$$
(3.9)

$$\Delta \sigma_{x} = \frac{Q}{2\pi} \left[ArcTan \frac{lb}{zR_{3}} - \frac{lbz}{{R_{1}}^{2}R_{3}} \right]$$
 (3.10)

$$\Delta\sigma_{y} = \frac{Q}{2\pi} \left[ArcTan \frac{lb}{zR_{3}} - \frac{lbz}{{R_{2}}^{2}R_{3}} \right] \tag{3.11}$$

$$\tau_{xz} = \frac{Q}{2\pi} \left[\frac{b}{R_2} - \frac{z^2 b}{R_1^2 R_3} \right] \tag{3.12}$$

$$\tau_{yz} = \frac{Q}{2\pi} \left[\frac{l}{R_1} - \frac{z^2 l}{{R_2}^2 R_3} \right] \tag{3.13}$$

$$\tau_{xy} = \frac{Q}{2\pi} \left[1 + \frac{z}{R_3} - z \left(\frac{1}{R_1} - \frac{1}{R_2} \right) \right] \tag{3.14}$$

Por geometría se obtiene:

$$R_1^2 = l^2 + z^2$$

$$R_2^2 = b^2 + z^2$$

$$R_2^2 = l^2 + b^2 + z^2$$

- Solución para determinar el cambio de esfuerzo producido por una carga uniforme vertical en un área rectangular para un coeficiente de Poisson " ν " diferente de 0.5

Para calcular los esfuerzos normales en suelos se aplica la Ecuación (3.15) y (3.16) planteada por Dashkó y Kagán (1980) que involucra la variación del coeficiente de Poisson "\nu".

$$\sigma_{x} = \frac{q}{2\pi} \left[\frac{\pi}{2} - \frac{xyz}{(y^{2} + z^{2})B} - tan^{-1} \frac{zB}{xy} + (1 - 2v) \left(tan^{-1} \frac{x}{y} - tan^{-1} \frac{xB}{yz} \right) \right]$$
(3.15)

$$\sigma_{y} = \frac{q}{2\pi} \left[\frac{\pi}{2} - \frac{xyz}{(x^{2} + z^{2})B} - tan^{-1} \frac{zB}{xy} + (1 - 2v) \left(tan^{-1} \frac{y}{x} - tan^{-1} \frac{yB}{xz} \right) \right]$$
(3.16)

Por geometría se obtiene:

$$B = \sqrt{x^2 + y^2 + z^2}$$

Solución para determinar el cambio de esfuerzo producido por una carga rectangular vertical de longitud infinita.

Para el cálculo de la distribución de esfuerzos debido a una carga rectangular de longitud infinita "Q" en un punto "P" con coordenadas "x,y,z" a una profundidad " z_p " se propone la solución de Terzaghi y Carothers (1934) como se indica en la Figura 3.3.

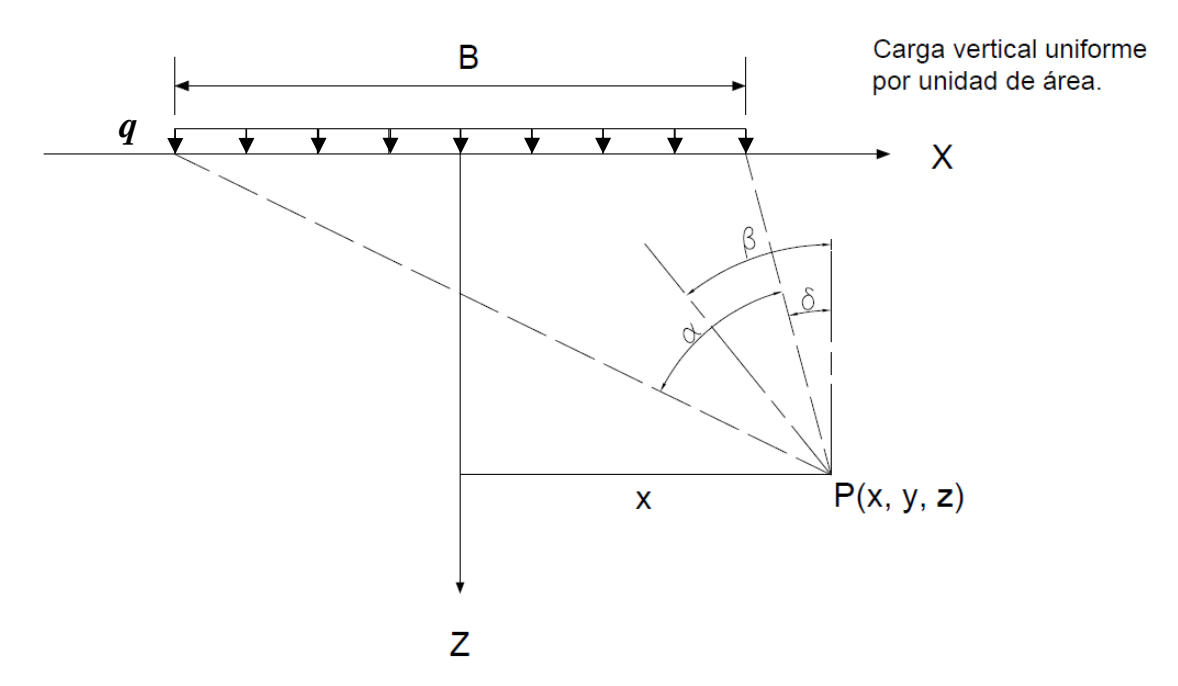


Figura 3.3. Solución de Terzaghi y Carothers para carga rectangular vertical infinita.

Al considerar una franja de carga de ancho dB, la carga por longitud unitaria es equivalente a

$$dQ = q dB$$

La franja por longitud de área se analiza como una carga lineal y el cálculo del incremento del esfuerzo vertical en el punto "P" se integra para todo el ancho B de la carga. En las Ecuaciones (3.17), (3.18) y (3.19) se presenta la solución para carga rectangular vertical de longitud infinita.

$$\Delta \sigma_z = \frac{q}{\pi} (\alpha + \sin \alpha \cos 2\beta) \tag{3.17}$$

UNIVERSIDAD NACIONAL AUTÓNOMA DE MÉXICO



MODELACIÓN DEL PROCEDIMIENTO CONSTRUCTIVO DE UNA EXCAVACIÓN CON INTERACCIÓN SUELO – ELEMENTO DE CONTENCIÓN

$$\Delta \sigma_{x} = \frac{q}{\pi} (\alpha - \sin \alpha \cos 2\beta) \tag{3.18}$$

$$\tau_{xz} = -\frac{q}{\pi} \operatorname{sen} \alpha \, \operatorname{sen} 2\beta \tag{3.19}$$

Para calcular los esfuerzos principales y el cortante máximo en el punto "P" se presentan las Ecuaciones (3.20), (3.21) y (3.22).

$$\sigma_1 = \frac{q}{\pi} (\alpha + \operatorname{sen} \alpha) \tag{3.20}$$

$$\sigma_3 = \frac{q}{\pi} (\alpha - \operatorname{sen} \alpha) \tag{3.21}$$

$$\tau_{m\acute{a}x} = \frac{q}{\pi} \, \mathrm{sen} \, \alpha \tag{3.22}$$

3.1.2. Solución de Mindlin (1936)

Esta solución permite determinar el cambio de los esfuerzos que actúan en una partícula dentro de una masa del suelo debido a efectos de carga tanto horizontal como vertical en un medio semi-infinito, homogéneo e isótropo a una profundidad "Zi" como se indica a continuación.

- Solución para determinar el esfuerzo vertical producido por una carga vertical Qv.

Para calcular el cambio de esfuerzo vertical $\Delta \sigma_z$ en un punto "P" con coordenadas "x,y,z", que produce una carga puntual vertical de magnitud "Qv", que se aplica dentro de un medio con las hipótesis de elasticidad ya mencionadas, a una profundidad " Z_c " respecto a la superficie como se muestra en la Figura 3.4 se utiliza la Ecuación (3.23).

$$\Delta \sigma_{z} = \frac{Q_{v}}{8\pi(1-v)} \left[\frac{(1-2v)(z-z_{c})}{R_{1}^{3}} - \frac{3(3-4v)z(z+z_{c})^{2} - 3z_{c}(z+z_{c})(5z-z_{c})}{R_{2}^{5}} - \frac{30z z_{c} (z+z_{c})^{3}}{R_{2}^{7}} - \frac{(1-2v)(z-z_{c})}{R_{1}^{3}} - \frac{3(z-z_{c})^{3}}{R_{1}^{5}} \right]$$
(3.23)

- Solución para determinar el esfuerzo horizontal producido por una carga horizontal QH.

Para calcular el cambio de esfuerzo horizontal $\Delta \sigma_H$ en un punto "P" con coordenadas "x,y,z", que produce una carga puntual horizontal de magnitud " Q_H ", que se aplica dentro de un medio con las hipótesis de elasticidad ya mencionadas, a una profundidad "Zc" respecto a la superficie como se muestra en la Figura 3.4 se requiere utilizar la Ecuación (3.24).

$$\Delta\sigma_{x} = \frac{Q_{H}}{8\pi(1-\nu)} \left[\frac{(1-2\nu)(5-4\nu)}{R_{2}^{3}} - \frac{3(3-4\nu)x^{2}}{R_{2}^{5}} - \frac{3x}{R_{1}^{5}} - \frac{(1-2\nu)}{R_{1}^{3}} - \frac{4(1-\nu)(1-2\nu)}{R_{2}(R_{2}+z+z_{c})^{2}} \left(3 - \frac{x^{2}(3R_{2}+z+z_{c})}{R_{2}^{2}(R_{2}+z+z_{c})} \right) + \frac{6z_{c}}{R_{2}^{5}} \left(3z_{c} - (3-2\nu)(z+z_{c}) + \frac{5x^{2}z}{R_{2}^{2}} \right) \right]$$
(3.24)

Por geometría se obtiene:

$$r^{2} = x^{2} + y^{2}$$

$$R_{1}^{2} = r^{2} + (z_{p} - z_{c})^{2}$$

$$R_{2}^{2} = r^{2} + (z_{p} + z_{c})^{2}$$

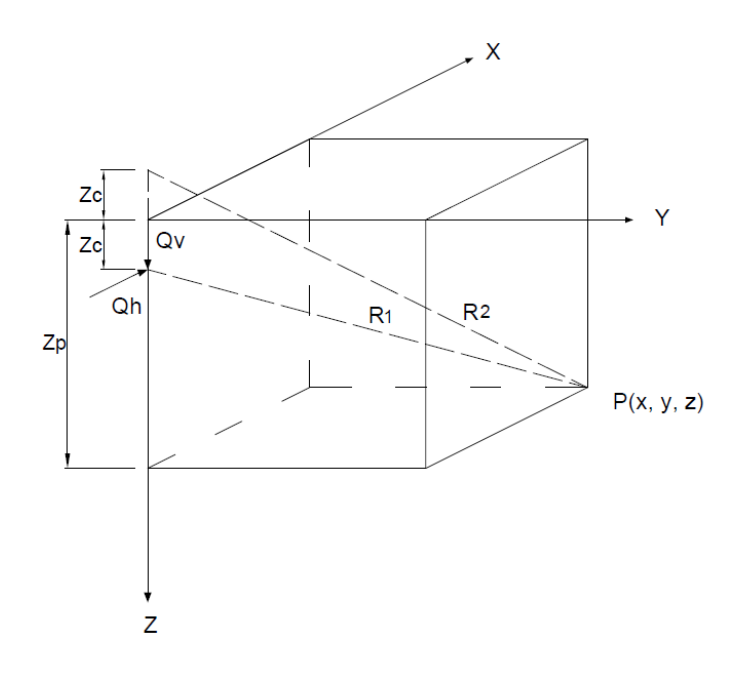


Figura 3.4. Solución de Mindlin para carga puntual.

Integración de la distribución de esfuerzos para carga horizontal rectangular.

Ya definidas las expresiones para calcular los cambios de esfuerzo en dirección horizontal y vertical para carga puntual propuestas por Mindlin (1936), se realiza la integración de la Ecuación (3.24) para estimar el incremento de esfuerzos laterales debido a una carga rectangular horizontal dentro de un medio semi-infinito, homogéneo e isótropo.

El punto "P" con coordenadas "x, y, z" donde se quiere calcular el cambio de esfuerzo horizontal $\Delta \sigma_{\rm H}$ se encuentra a una profundidad "Zp" con respecto a la superficie horizontal. El sistema de referencia se ubica en el punto "P" de estudio, por lo tanto, se modifica el sistema coordenado de los vértices del rectángulo de la carga uniforme aplicada siendo: $V_1(x, y_{min}, z_{min}), V_2(x, y_{min}, z_{max}),$ $V_3(x, y_{máx}, z_{mín})$ y $V_4(x, y_{máx}, z_{máx})$ como se indica en la Figura 3.5.

Se requiere realizar un cambio de variable para obtener la integral en términos directos de las coordenadas del punto "P" de la siguiente forma:

$$z = z_p - z_c$$

$$z_c = z_p - z \tag{3.25}$$

$$z_p + z_c = z + 2 Zc (3.26)$$

Sustituyendo la Ecuación (3.25) en la Ecuación (3.26), se obtiene:

$$z_{p} + z_{c} = z + 2(z_{p} - z)$$

$$z_{p} + z_{c} = z + 2z_{p} - 2z$$

$$z_{p} + z_{c} = 2z_{p} - z$$

$$z_{p} - z_{c} = z_{p} - (z_{p} - z)$$

$$z_{p} - z_{c} = z$$
(3.28)

(3.28)

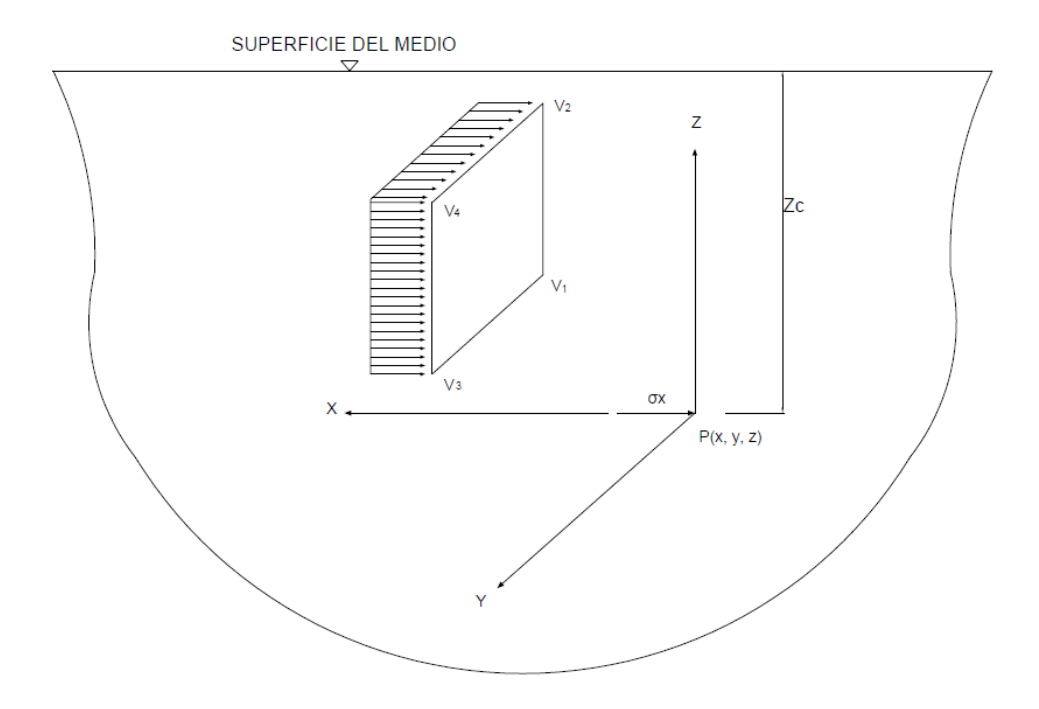


Figura 3.5. Carga rectangular horizontal uniformemente distribuida.

A partir de la Ecuación (3.27) y (3.28) se expresan las variables R_1 y R_2 de la forma:

$$R_1^2 = r^2 + z^2 \tag{3.29}$$

$$R_2^2 = r^2 + (2z_p - z)^2$$
 (3.30)

Se reescriben las variables geométricas iniciales para simplificar la integración de la ecuación principal, obteniendo los siguientes términos:

$$R^{2} = x_{c}^{2} + y^{2} + z^{2}$$

$$R_{a}^{2} = x_{c}^{2} + y^{2}$$

$$R_{b}^{2} = x_{c}^{2} + z^{2}$$

$$R_{c} = z - 2z_{p}$$

$$R_{cz}^{2} = x_{c}^{2} + y^{2} + R_{c}^{2}$$

Si " ν " es la relación de Poisson del medio semi-infinito y "w" es la presión lateral aplicada, se obtiene la Ecuación (3.31) para el cálculo del incremento de esfuerzo lateral debido a una carga horizontal uniforme en un área rectangular de la siguiente manera:

$$\Delta \sigma_x = \left(a \sum_{i=1}^9 a_i \, I_i \right) w \tag{3.31}$$

Los factores I_i y a_i para la solución de la Ecuación (3.31) se describen a continuación:

$$a_{1} = -\frac{x}{8\pi (1 - v)}$$

$$a_{1} = 2v - 1$$

$$I_{1} = \iint \frac{1}{R_{1}^{3}} dy dz$$

$$a_{2} = (2v - 1)(4v - 5)$$

$$I_{2} = \iint \frac{1}{R_{2}^{3}} dy dz$$

$$a_{3} = -3x^{2}$$

$$I_{3} = \iint \frac{1}{R_{1}^{5}} dy dz$$

$$a_{4} = 3(4v - 3)x^{2}$$

$$I_{4} = \iint \frac{1}{R_{2}^{5}} dy dz$$

$$I_{5} = \iint \frac{1}{R_{2}(R_{2} + 2z_{p} - z)^{2}} dy dz$$

$$a_{6} = 4(v - 1)(2v - 1)x^{2}$$

$$I_{6} = \iint \frac{3R_{2} + 2z_{p} - z}{R_{2}^{3}(R_{2} + 2z_{p} - z)^{3}} dy dz$$

$$a_{7} = 18$$

$$I_{7} = \iint \frac{(z_{p} - z)^{2}}{R_{2}^{5}} dy dz$$

$$a_{8} = 6(2v - 3)$$

$$I_{8} = \iint \frac{(2z_{p} - z)(z_{p} - z)}{R_{2}^{5}} dy dz$$

$$a_{9} = 30x^{2}z_{p}$$

$$I_{9} = \iint \frac{z_{p} - z}{R_{2}^{7}} dy dz$$



UNIVERSIDAD NACIONAL AUTÓNOMA DE MÉXICO MODELACIÓN DEL PROCEDIMIENTO CONSTRUCTIVO DE UNA EXCAVACIÓN CON INTERACCIÓN SUELO - ELEMENTO DE CONTENCIÓN

La integración de cada una de los factores I_i descritos anteriormente se puede obtener por medio del uso de funciones equivalentes F_i aplicando la Ecuación (3.32).

$$I_{i} = F_{i}(y_{m\acute{a}x}, z_{m\acute{a}x}) - F_{i}(y_{m\acute{i}n}, z_{m\acute{a}x}) - F_{i}(y_{m\acute{a}x}, z_{m\acute{i}n}) + F_{i}(y_{m\acute{i}n}, z_{m\acute{i}n})$$
(3.32)

Finalmente, las funciones F_i se calculan mediante las siguientes expresiones:

$$F_1 = \frac{ArcTan\left[\frac{yz}{x_cR}\right]}{x_c}$$

$$F_2 = \frac{ArcTan\left[\frac{yR_c}{x_c R_{cz}}\right]}{x_c}$$

$$F_{3} = z \frac{\left(\frac{x_{c}y\left(x_{c}^{2} + R^{2}\right)}{R_{a}^{2}R_{b}^{2}R} + \frac{ArcTan\left[\frac{yz}{x_{c}R}\right]}{z}\right)}{3x_{c}^{3}}$$

$$F_4 = \frac{1}{3}R_c \left(\frac{y(2x_c^2 + y^2 + R_c^2)}{x_c^2 R_a^2 (x_c^2 + R_c^2) R_{cz}} + \frac{ArcTan \left[\frac{yR_c}{x_c R_{cz}} \right]}{x_c^3 R_c} \right)$$

$$F_{5} = \frac{1}{2x_{c}^{3}} \left(\frac{x_{c}yR_{cz}R_{c}}{R_{a}^{2}} + \frac{x_{c}yR_{c}^{2}}{R_{a}^{2}} + (x_{c}^{2} + R_{c}^{2}) ArcTan \left[\frac{y}{x_{c}} \right] + (x_{c}^{2} + R_{c}^{2}) ArcTan \left[\frac{y}{x_{c}} \right] \right)$$



UNIVERSIDAD NACIONAL AUTÓNOMA DE MÉXICO MODELACIÓN DEL PROCEDIMIENTO CONSTRUCTIVO DE UNA EXCAVACIÓN CON INTERACCIÓN SUELO - ELEMENTO DE CONTENCIÓN

$$F_{6} = \frac{1}{2x_{c}^{5}}Rc\left(\frac{x_{c}y(5x_{c}^{2} + 3y^{2})R_{cz}}{R_{a}^{4}} + \frac{2x_{c}^{3}yR_{c}}{R_{a}^{4}} + \frac{3x_{c}yR_{c}}{R_{a}^{2}}\right) + \frac{3R_{c}ArcTan\left[\frac{y}{x_{c}}\right]}{R_{c}} + \frac{(x_{c}^{2} + 3R_{c}^{2})ArcTan\left[\frac{yR_{c}}{xR_{cz}}\right]}{R_{c}}$$

$$F_{7} = \frac{1}{3} \left(-\frac{y\left(x_{c}^{4}z - \left(y^{2} + R_{c}^{2}\right)R_{c}z_{p}^{2} + x_{c}^{2}\left(y^{2}z - 2R_{c}z_{p}^{2}\right)\right)}{x_{c}^{2}R_{a}^{2}\left(x_{c}^{2} + R_{c}^{2}\right)R_{cz}} + \frac{\left(x_{c}^{2} + z_{p}^{2}\right)ArcTan\left[\frac{yRc}{x_{c}R_{cz}}\right]}{x_{c}^{3}} \right)$$

$$F_8 = \frac{1}{3} \left(\frac{y(z_p - z)}{\left(x_c^2 + R_c^2\right) R_{cz}} + \frac{ArcTan \left[\frac{yR_c}{x_c R_{cz}}\right]}{x_c} \right)$$

$$F_{9} = \frac{1}{15} z_{p} \left(\frac{1}{R_{c}^{3}} y R_{cz} \left(\frac{R_{c}^{2} (z - z_{p})}{(x_{c}^{2} + R_{c}^{2}) R_{cz}^{2}} + \frac{(x_{c}^{2} - 3R_{c}^{2}) z_{p}}{x_{c}^{4} R_{a}^{2}} - \frac{2R_{c}^{2} z_{p}}{x_{c}^{2} R_{a}^{4}} \right) + \frac{2z^{3} - 11z^{2} z_{p} + 20z z_{p}^{2} - z_{p} (x_{c}^{2} + 12z_{p}^{2})}{(x_{c}^{2} + R_{c}^{2})^{2} R_{cz}^{2}}$$

$$- \frac{3 z_{p} ArcTan \left[\frac{yR_{c}}{x_{c}R_{cz}} \right]}{x_{c}^{5}}$$

3.2 Presiones laterales en el suelo

Para realizar excavaciones a profundidad en una obra se debe hacer uso de elementos de contención que garanticen la estabilidad del suelo debido al cambio en los estados de esfuerzos; estos cambios se traducen en presiones horizontales que deben ser calculados para evitar un estado de falla o deformaciones considerables en el terreno.

Los desplazamientos en la masa del suelo generan una nueva distribución de esfuerzos, lo cual produce presiones laterales que se transmiten a los elementos de contención existentes en la obra. Por lo tanto, para estimar estas presiones se deben conocer las propiedades de resistencia del suelo, los esfuerzos iniciales, las cargas actuantes y las condiciones hidráulicas para hacer uso de una metodología que involucre el comportamiento de los materiales existentes.

Cuando la masa de suelo no ha sido sometida a cambios de estado de esfuerzo, los esfuerzos verticales y los horizontales guardan una relación conocida como *coeficiente de empuje de tierras en reposo* K_0 , dado por la Ecuación (3.33).

$$K_0 = \frac{\sigma_\chi'}{\sigma_V'} \tag{3.33}$$

La condición que representa el coeficiente de empujes de tierras en reposo es equivalente a una estructura de retención en equilibrio con el terreno, es decir, la estructura soporta adecuadamente las cargas y los empujes laterales transmitidos sin afectaciones.

Al momento de producirse un cambio en el estado de esfuerzos en el suelo, la estructura de retención debe estar diseñada para soportar adecuadamente las variaciones en las presiones laterales que se generan. Si la estructura cede o se desplaza, los esfuerzos horizontales van a disminuir, por lo tanto, el coeficiente de presión de tierra K_o cambia y la relación entre esfuerzos horizontales y verticales para la condición mencionada se conoce como *coeficiente de empuje de tierras activo* K_a que se indica en la Ecuación (3.34).

$$K_a = \frac{\sigma'_{xa}}{\sigma'_{ya}} \tag{3.34}$$

En el caso que la estructura de retención empuje hacia el suelo los esfuerzos horizontales aumentan, en donde la relación de esfuerzos para esta condición se define como *coeficiente de empuje de tierras pasivo* K_p dado por la Ecuación (3.35).

$$K_p = \frac{\sigma'_{xp}}{\sigma'_{yp}} \tag{3.35}$$

Se representa el estado de equilibrio del suelo, el estado pasivo y activo generados por variaciones en el terreno en la Figura 3.6. Tanto el estado activo como el pasivo equivalen a condiciones de falla en el suelo que deben ser calculadas adecuadamente para estimar los efectos de las deformaciones.

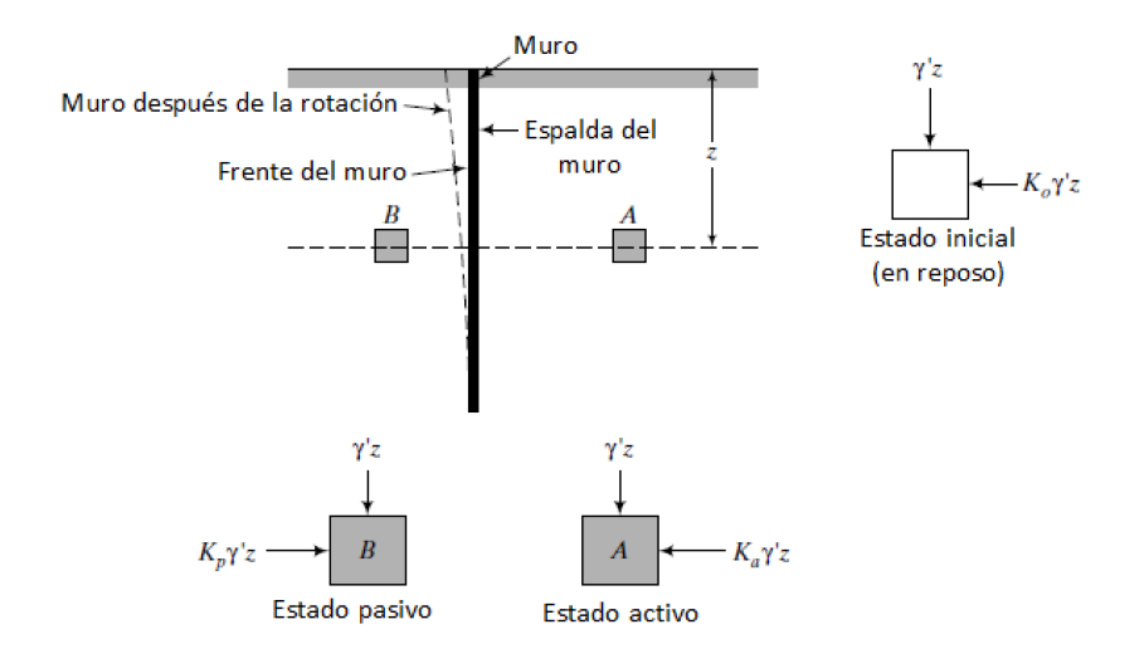


Figura 3.6. Estado de esfuerzos laterales en el suelo para una estructura de retención. (Budhu, 2011)

Por medio del Círculo de Mohr se pueden identificar los estados a los cuales se somete el suelo debido a los cambios en la distribución de esfuerzos. En la Figura 3.7 se define en términos de esfuerzos efectivos el estado inicial de reposo y dos círculos adicionales que representan los estados activos y pasivos en el terreno; la línea superior identifica los esfuerzos máximos a los cuales se puede someter la masa del suelo antes de producirse la falla en la obra.

La envolvente de falla de Mohr-Coulomb se define por la siguiente ecuación:

$$\tau = c' + \sigma' \tan \phi'$$

Aplicando la ley de resistencia para la envolvente de falla en el caso de la *presión activa de Rankine* se forma un ángulo en el suelo de \pm 45° $+\frac{\phi'}{2}$ con la horizontal. Para que exista la condición de presión activa debe ceder el muro y los desplazamientos ser de aproximadamente 0.001H a 0.004H en suelos granulares o 0.01H a 0.04H en suelos cohesivos.

Para calcular la distribución de presiones en el suelo a cualquier profundidad del elemento de retención se hace uso de la Ecuación (3.36) que involucra los parámetros de resistencia.

$$\sigma_a' = \sigma_o' K_a - 2c' \sqrt{K_a} \tag{3.36}$$

A la profundidad z=0 la presión activa equivale a $\sigma_a{}'=-2c'\sqrt{K_a}$ lo que indica que existen esfuerzos de tensión en el suelo que disminuyen hasta cierta profundidad z_c , la cual se puede calcular al despejar la Ecuación (3.36).

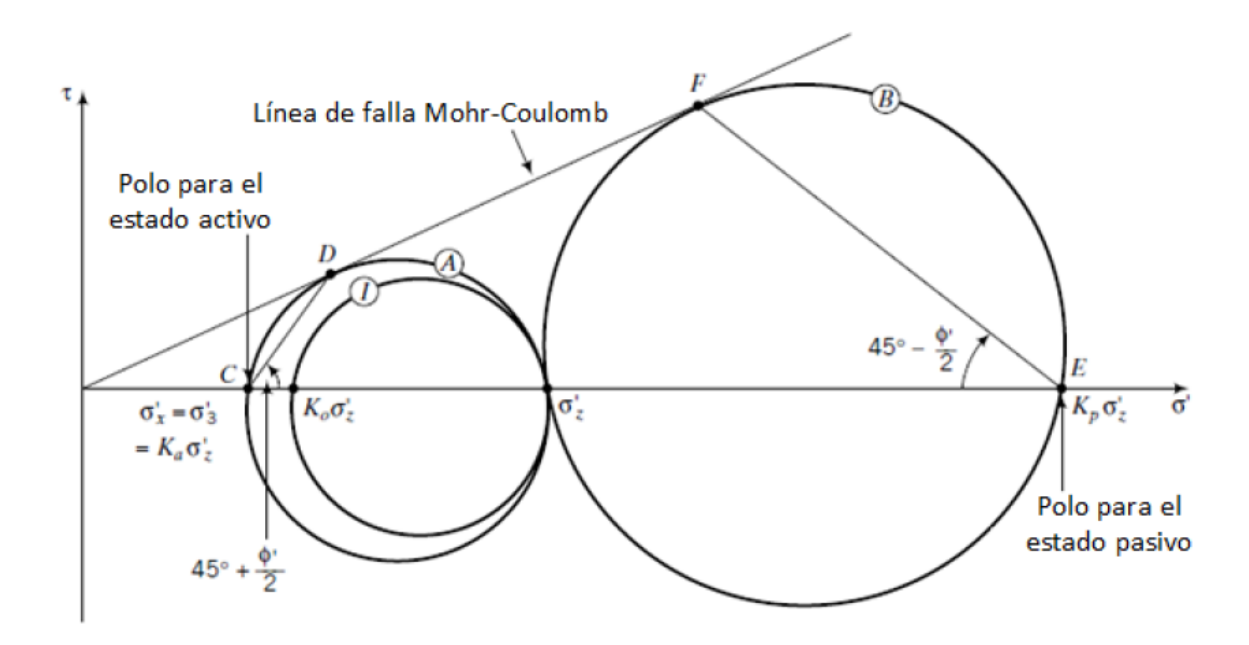


Figura 3.7. Círculo de Mohr para estados activos y pasivos del suelo. (Budhu, 2011)

Para que exista la condición de presión pasiva debe movilizarse el muro contra la masa del suelo y los desplazamientos ser de aproximadamente 0.005H para arena densa, 0.01H para arena suelta y firme, y 0.05H para arcilla blanda como se muestra en la Figura 3.8.

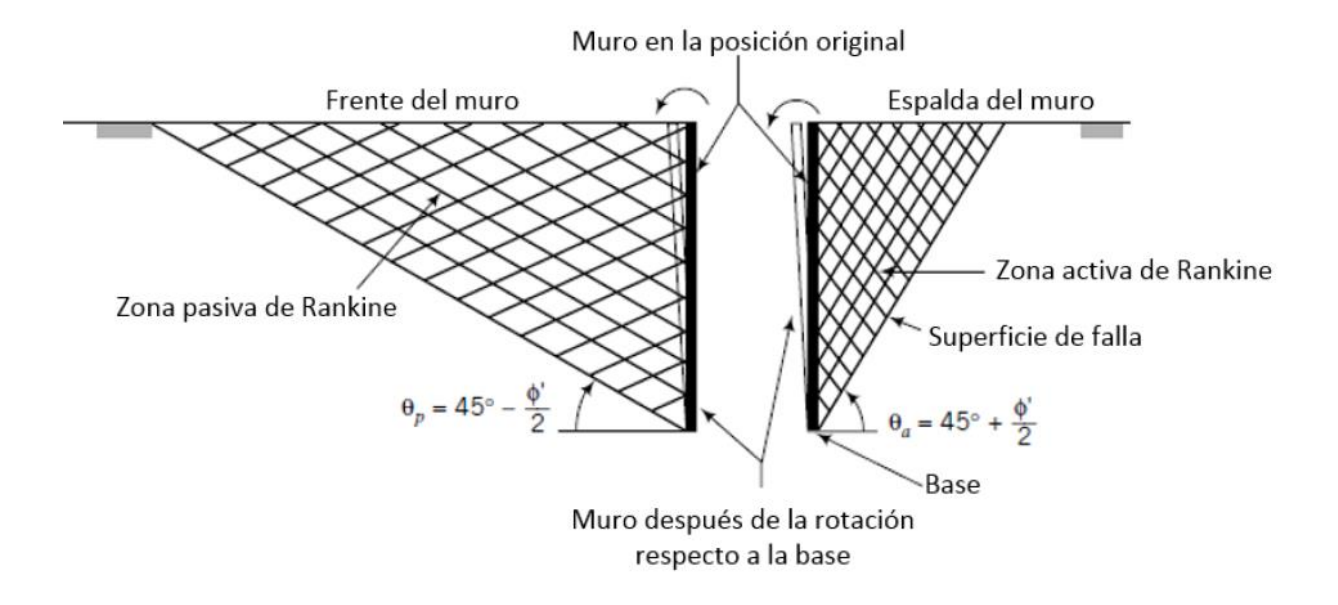


Figura 3.8. Planos de deslizamiento en la masa del suelo cerca del elemento de contención. (Budhu, 2011)

La envolvente de falla en el caso de la *presión pasiva de Rankine* forma un ángulo en el suelo de $\pm 45^{\circ} - \frac{\phi'}{2}$ con la horizontal.

Para calcular la distribución de presiones en el suelo a cualquier profundidad del elemento de retención se hace uso de la Ecuación (3.37) que involucra los parámetros de resistencia.

$$\sigma_p' = \sigma_o' K_p + 2c' \sqrt{K_p} \tag{3.37}$$

A la profundidad z=0 la presión pasiva equivale a $\sigma_p{}'=2c'\sqrt{K_p}$ en donde existen esfuerzos de compresión en el suelo que se incrementan hasta la profundidad z=H equivalente a una presión de $\sigma_p{}'=\gamma HK_P+2c'\sqrt{K_p}$.



3.3 Muros Milán

Un sistema de retención estructural utilizado comúnmente en las obras de construcción es el muro Milán; esta estructura de contención en concreto reforzado, según sea el diseño de la obra, llega a ser temporal o definitivo y tiene por objetivo el resistir los empujes laterales del terreno. La aplicación de este tipo de muro en México se remonta al año 1967 para la construcción del metro en las arcillas blandas estudiadas por el Ing. Enrique Tamez.

El muro Milán se usa en excavaciones a cielo abierto acompañado de troqueles y/o anclas dependiendo del diseño de la edificación; este tipo de muro facilita la implementación de procedimientos como el sistema "Top-Down" muy común en edificaciones de grandes dimensiones para la construcción de estructuras subterráneas como los sótanos.

Dentro de las ventajas de este tipo de muro se conocen las siguientes: puede ser aplicado en distintos tipos de suelo, al momento de la construcción se producen pocas vibraciones debido a la maquinaria de almeja reduciendo los efectos indirectos en las colindancias del terreno, se reducen los tiempos de la obra al utilizarse elementos prefabricados y en términos económicos, resulta más viable que el uso de tablestacas de concreto o de acero.

A continuación, se describe el procedimiento constructivo para un muro Milán y las generalidades para su correcta ejecución referido a la Figura 3.9.

Para iniciar la construcción se requiere realizar una zanja en el suelo de longitud de 6.0 m excavando con el uso de una almeja y verificando la verticalidad como se identifica en la Figura 3.9 (1). Se debe estar atento ante la presencia de aguas freáticas cercanas a la superficie o fugas dentro del terreno, las cuales generan inestabilidad en el material; por lo tanto, debe existir un control sobre las condiciones hidráulicas con el fin de proteger la obra.

Al momento de ejecutar la excavación de la zanja se utiliza lodo bentonítico o polímeros para estabilizar las paredes internas. El empleo de este tipo de lodo se remonta a 1910 en Italia utilizado para las excavaciones realizadas en un subsuelo aluvial con presencia de limos y arenas saturadas que generaba problemas en las construcciones; esta técnica de estabilización se difunde debido al desarrollo de infraestructura para la reconstrucción de los daños de la segunda guerra mundial.

UNIVERSIDAD NACIONAL AUTÓNOMA DE MÉXICO



MODELACIÓN DEL PROCEDIMIENTO CONSTRUCTIVO DE UNA EXCAVACIÓN CON INTERACCIÓN SUELO – ELEMENTO DE CONTENCIÓN

El lodo bentonítico debe ir reemplazando al material excavado con la precaución de mantener la carga hidrostática sobre las paredes del terreno como se indica en la Figura 3.9 (2). Dentro de la programación de obra, debe contarse con la cantidad de lodo necesario para la construcción de cada uno de los paneles al momento de su ejecución en donde, según criterio, se puede reutilizar para los demás módulos.

Las paredes de la zanja excavada deben ser estables durante toda la etapa de construcción, ya que pueden generarse derrumbes de las paredes y oquedades lo cual se traduce en deficiencias del elemento de contención. Con respecto al suelo acumulado en el fondo es fundamental su remoción con el fin de evitar la contaminación de la mezcla de concreto y su lechada.

Al terminar la excavación de cada módulo se necesita extraer del fondo de la zanja el material desprendido derivado de esta actividad; el lodo del fondo se extrae con material suelto aplicando aire a presión o una bomba eléctrica sumergible que permita realizar este procedimiento para continuar con la instalación del refuerzo.

Para la instalación del acero de refuerzo dentro de la zanja se utilizan balancines con puntos de izaje y centradores para su ubicación como se muestra en la Figura 3.9 (3); la estructura de acero debe descender lentamente evitando se generen deformaciones por peso propio y a la vez controlando la verticalidad verificando coincidan los elementos con los puntos topográficos dentro de la zanja.

Finalizada la ubicación del refuerzo se procede al colado del muro utilizando una tubería tipo Tremie como se presenta en la Figura 3.9 (4) y (5); esta tubería debe tener un diámetro interno por lo menos seis veces del tamaño máximo del agregado de la mezcla de concreto para ser utilizado y se integra por tramos unidos de 3.0 m que alcancen la longitud del muro. Se recomienda el uso de tuberías de 10" de diámetro con un espesor de 8 mm para que el concreto fluya sin problema dentro de la zanja ya que requiere estar embebido hasta el fondo, realizando un desplazamiento continuo y en el menor tiempo posible.

Con respecto al diseño de un muro Milán, es fundamental conocer el estado de esfuerzo del suelo y los cambios a los cuales se someterá debido a los procesos constructivos para estimar su respuesta.



Siendo así, el proceso de excavación y las sobrecargas aplicadas en el terreno producen cambios en la distribución de esfuerzos que se traducen en deformaciones, las cuales deben ser controladas para evitar estados de falla y problemas en estructuras cercanas a la obra.

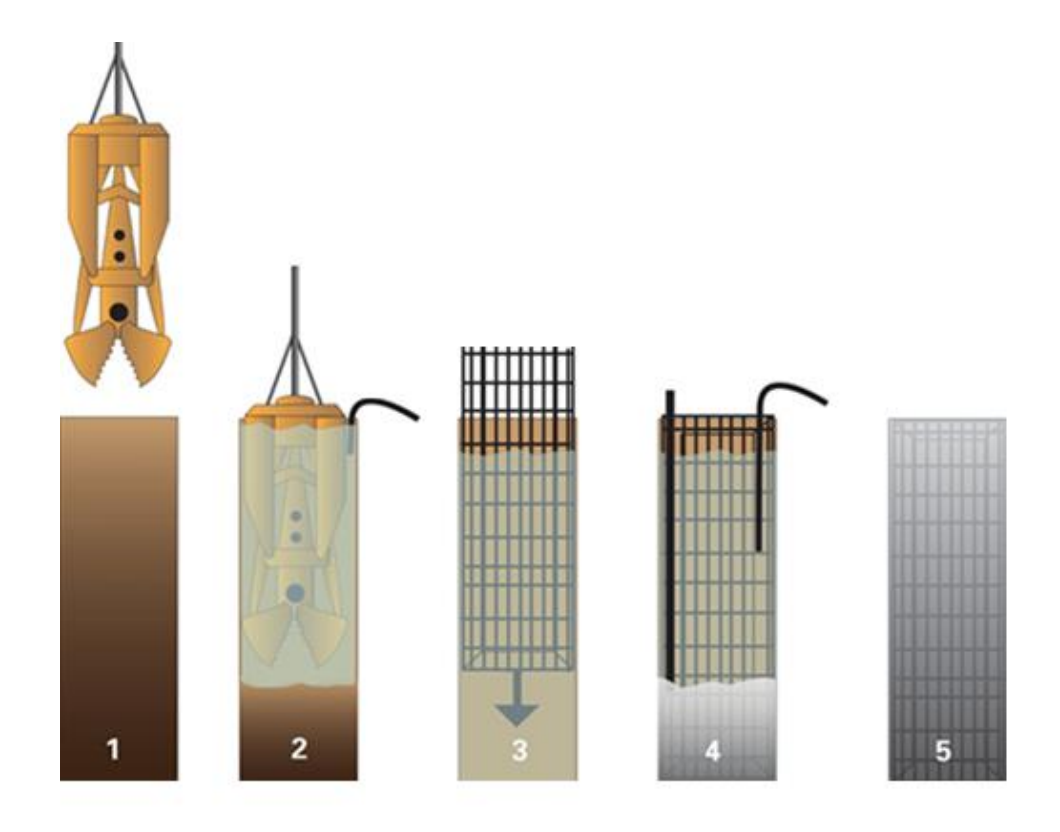


Figura 3.9. Proceso constructivo del muro Milán. (Zigurat, 2017)

Dentro de los factores que influyen en la respuesta del suelo y los efectos de deformación en la estructura de contención se encuentran: las propiedades de resistencia del subsuelo, la dimensión de la excavación, el nivel freático y el abatimiento, las etapas constructivas definidas en la obra, las edificaciones colindantes al terreno y las sobrecargas del tráfico o de las plataformas de trabajo.

Por lo tanto, para la elaboración de un diseño eficiente de un muro Milán se requiere de un amplio conocimiento del terreno y las propiedades del suelo por medio de campañas exploratorias, como también la realización de un análisis geotécnico y estructural del muro en donde se calculen los empujes laterales del terreno e hidrostáticos, la resistencia de los materiales, los efectos estáticos y sísmicos para generar un modelo de interacción que permita estimar las deformaciones debidas a los cambios de esfuerzo en el terreno.

3.4 Metodología de interacción suelo – estructura

En el análisis de interacción suelo – muro Milán aplicando la teoría de Zeevaert (1973), se requiere calcular la matriz de rigidez de la estructura de contención y del suelo para luego incorporarlas en una matriz global que permita obtener las reacciones y deformaciones del sistema.

Para evitar la divergencia en el cálculo y problemas al momento de ensamblar la matriz de rigidez global, se debe iniciar la numeración con los nodos de los elementos de la estructura que tienen directa influencia con el suelo de estudio.

A continuación, se presenta la metodología de análisis para la estructura y para el suelo con sus respectivas ecuaciones de cálculo y de interacción.

3.4.1. Modelación del sistema estructural

El modelo de la estructura se basa en el diseño de una retícula segmentada por medio de trabes; la intersección de cada una de las trabes se analiza como un nodo y es en éste en donde se calculan los desplazamientos que sufre la estructura por medio del módulo de reacción. Este módulo es equivalente al cociente de la magnitud de la reacción R_i y la constante del resorte K que representa al suelo como se denota en la Ecuación (3.38).

$$\delta = \frac{Ri}{K} \tag{3.38}$$

Una de las ventajas del modelo de interacción está en que los nodos de los elementos poseen seis grados de libertad, los cuales son los tres giros alrededor de los ejes *X*, *Y*, *Z* y los desplazamientos en cada uno de estos. En la Figura 3.10 se representa el modelo de interacción de la estructura del muro Milán que incluye a la vez los resortes equivalentes del suelo analizado.

Se precisa que las deformaciones de cada nodo dependan directamente de la rigidez de la estructura como también de la constante de resorte del suelo, mientras que la resistencia al giro depende solamente de la rigidez de las trabes con el objetivo de simplificar los cálculos dentro del modelo de interacción.



Al plantear el equilibrio del suelo y la estructura se genera un sistema matricial de 6*n ecuaciones, definido por el número de nodos del modelo, que equivale al número de incógnitas para obtener los desplazamientos y los giros de los nodos como se indica en la Ecuación (3.39).

$$([K'_e] + [K'_s]) \{\delta'_i\} + \{\bar{F'}_{it}\} = \{\bar{F}'_{et}\}$$
(3.39)

En donde:

$[K'_e]$	Matriz de rigidez del sistema estructura - muro
$[K'_s]$	Matriz de rigidez del sistema interdependiente de resortes del suelo
$\{\delta_i'\}$	Vector de desplazamientos y giros de los nudos.
$\{\bar{F'}_{it}\}$	Vector de fuerzas internas o de empotramiento.
$\{ar{F}_{et}'\}$	Vector de fuerzas externas aplicadas en los nodos de la estructura.

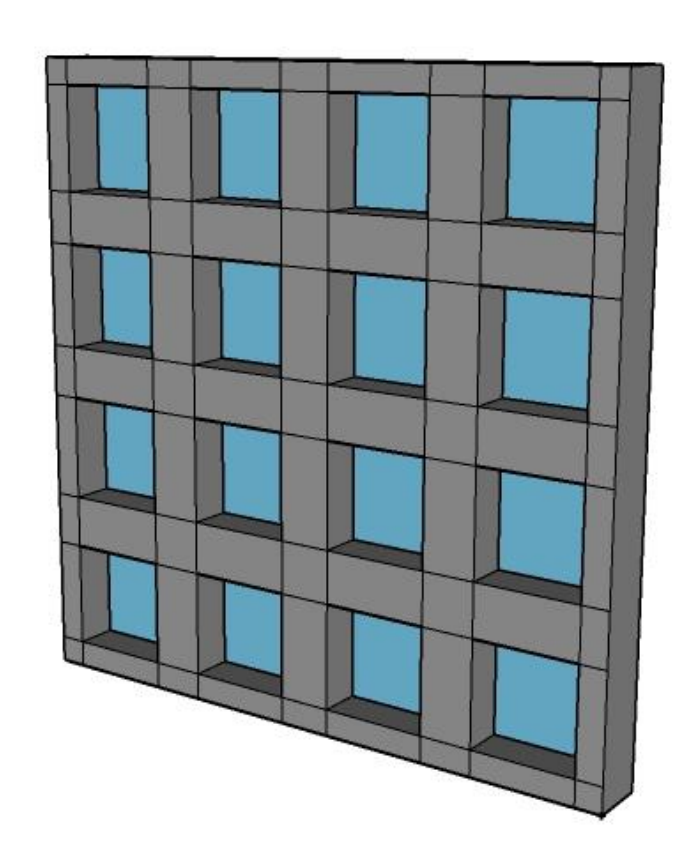


Figura 3.10. Modelo del muro utilizando una retícula por medio de trabes.

UNIVERSIDAD NACIONAL AUTÓNOMA DE MÉXICO

MODELACIÓN DEL PROCEDIMIENTO CONSTRUCTIVO DE UNA EXCAVACIÓN CON INTERACCIÓN SUELO – ELEMENTO DE CONTENCIÓN

Actualmente, este método de interacción suelo – estructura permite modelar por medio de una retícula tridimensional definida, sin embargo, se encuentra en desarrollo un modelo de interacción que utilice elementos placa para su análisis.

La matriz de rigidez para una barra sin resorte con apoyos fijos con sus nodos de inicio y fin conocidos y con los seis grados de libertad se expresa como se indica en la Ecuación (3.40).

$$[K_{ei}] = \left[\frac{[K_{aa}] : [K_{ab}]}{[K_{ba}] : [K_{bb}]}\right]_{i}$$
(3.40)

En donde:

$$[K_{aa}] = \begin{bmatrix} \frac{EA}{L} & 0 & 0 & 0 & 0 & 0\\ 0 & \frac{12EI_z}{L^3} & 0 & 0 & 0 & \frac{6EI_z}{L^2} \\ 0 & 0 & \frac{12EI_y}{L^3} & 0 & -\frac{6EI_y}{L^2} & 0\\ 0 & 0 & 0 & \frac{GJ}{L} & 0 & 0\\ 0 & 0 & -\frac{6EI_y}{L^2} & 0 & \frac{4EI_y}{L} & 0\\ 0 & \frac{6EI_z}{L^2} & 0 & 0 & 0 & \frac{4EI_z}{L} \end{bmatrix}$$

$$[K_{ab}] = [K_{ba}]$$

$$[K_{ab}] = \begin{bmatrix} \frac{EA}{L} & 0 & 0 & 0 & 0 & 0\\ 0 & -\frac{12EI_z}{L^3} & 0 & 0 & 0 & \frac{6EI_z}{L^2} \\ 0 & 0 & -\frac{12EI_y}{L^3} & 0 & -\frac{6EI_y}{L^2} & 0\\ 0 & 0 & 0 & -\frac{GJ}{L} & 0 & 0\\ 0 & 0 & \frac{6EI_y}{L^2} & 0 & \frac{2EI_y}{L} & 0\\ 0 & -\frac{6EI_z}{L^2} & 0 & 0 & 0 & \frac{2EI_z}{L} \end{bmatrix}$$

UNIVERSIDAD NACIONAL AUTÓNOMA DE MÉXICO



MODELACIÓN DEL PROCEDIMIENTO CONSTRUCTIVO DE UNA EXCAVACIÓN CON INTERACCIÓN SUELO – ELEMENTO DE CONTENCIÓN

$$[K_{bb}] = \begin{bmatrix} \frac{EA}{L} & 0 & 0 & 0 & 0 & 0 \\ 0 & \frac{12EI_z}{L^3} & 0 & 0 & 0 & -\frac{6EI_z}{L^2} \\ 0 & 0 & \frac{12EI_y}{L^3} & 0 & \frac{6EI_y}{L^2} & 0 \\ 0 & 0 & 0 & \frac{GJ}{L} & 0 & 0 \\ 0 & 0 & \frac{6EI_y}{L^2} & 0 & \frac{4EI_y}{L} & 0 \\ 0 & \frac{6EI_z}{L^2} & 0 & 0 & 0 & \frac{4EI_z}{L} \end{bmatrix}$$

Para un sistema local de ejes coordenados, se debe recurrir a una transformación del sistema de referencia a uno global que sea paralelo al eje local de la barra, por lo cual la transformación de ejes se define mediante la expresión matricial en la Ecuación (3.41) y la Ecuación (3.42).

$$[K'_{ei}] = [T_{oi}]^T [K_{ei}] [T_{oi}]$$
(3.41)

En donde:

 $[K'_{ei}]$ Matriz de rigidez de una barra en el sistema global.

 $[T_{oi}]$ Matriz de transformación de ejes.

$$[T_{oi}] = \left[\frac{[T] : [0]}{[0] : [T]}\right]_{i} \qquad ; \qquad [T_{oi}]^{T} = \left[\frac{[0] : [T]}{[T] : [0]}\right]_{i}$$
(3.42)

En donde:

$$[T] = \begin{bmatrix} l_x & m_x & n_x & 0 & 0 & 0 \\ l_y & m_y & n_y & 0 & 0 & 0 \\ l_z & m_z & n_z & 0 & 0 & 0 \\ 0 & 0 & 0 & l_x & m_x & n_x \\ 0 & 0 & 0 & l_y & m_y & n_y \\ 0 & 0 & 0 & l_z & m_z & n_z \end{bmatrix}$$

Los componentes de los vectores unitarios l, m y n son los cosenos directores que representan las direcciones locales de las barras sobre las direcciones globales como se indica en la Figura 3.11.

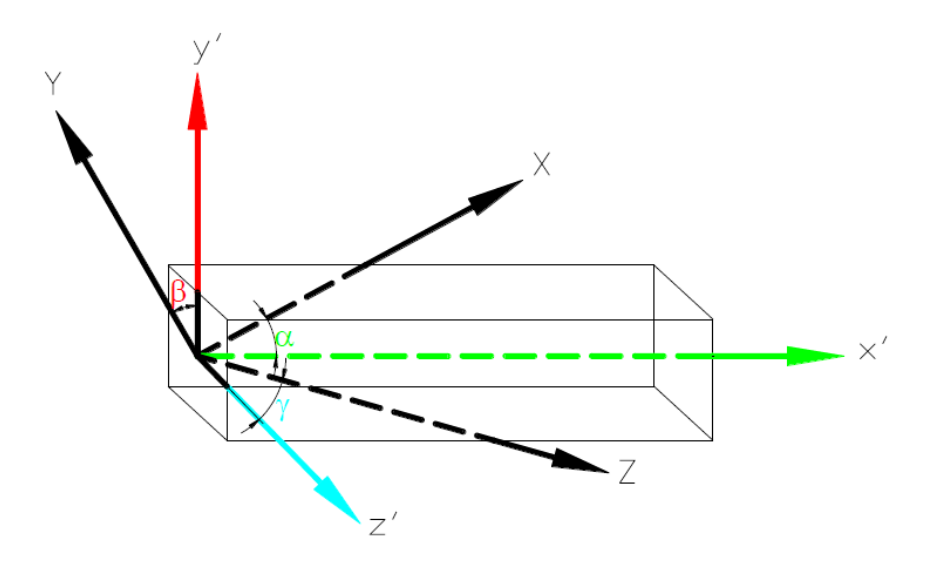


Figura 3.11. Equivalencia de sistemas locales a globales. (López, 2012)

En el caso de las fuerzas internas o de empotramiento del sistema, se considera la fuerza axial, la fuerza cortante, los momentos flexionantes y torsionantes generados por peso propio y debido a las cargas aplicadas en los elementos de la retícula; para analizar el modelo se debe recurrir al ensamble de los vectores de fuerzas de empotramiento de cada una de las barras proyectadas en el sistema de ejes globales.

El vector correspondiente de una barra definida por los nodos de origen y de destino en su sistema de ejes local se presenta en la Ecuación (3.43).

$$\{F_{it}\} = \left\{F_{xi} \ F_{yi} \ F_{zi} \ M_{xi} \ M_{yi} \ M_{zi} \ F_{xj} \ F_{yj} \ F_{zj} \ M_{xj} \ M_{yj} \ M_{zj}\right\}^{T}$$
(3.43)

Para un sistema de ejes global se realiza la transformación como se indica en la Ecuación (3.44).

$$\{F'_{it}\} = [T_o]^T \{F_{it}\} \tag{3.44}$$

En el caso de las fuerzas externas, se construye el vector $\{F'_{et}\}$ con las cargas y momentos puntuales aplicados directamente a los nodos específicos de la retícula del sistema de estudio.

3.4.2. Modelación del suelo

El modelo del suelo considera un medio continuo con una serie de resortes elásticos de rigidez definida *Ki* que están interrelacionados entre sí y en contacto con el elemento estructural; por otra parte, la estructura de contención se discretiza en un número finito de dovelas con áreas definidas como se indica en la Figura 3.12.

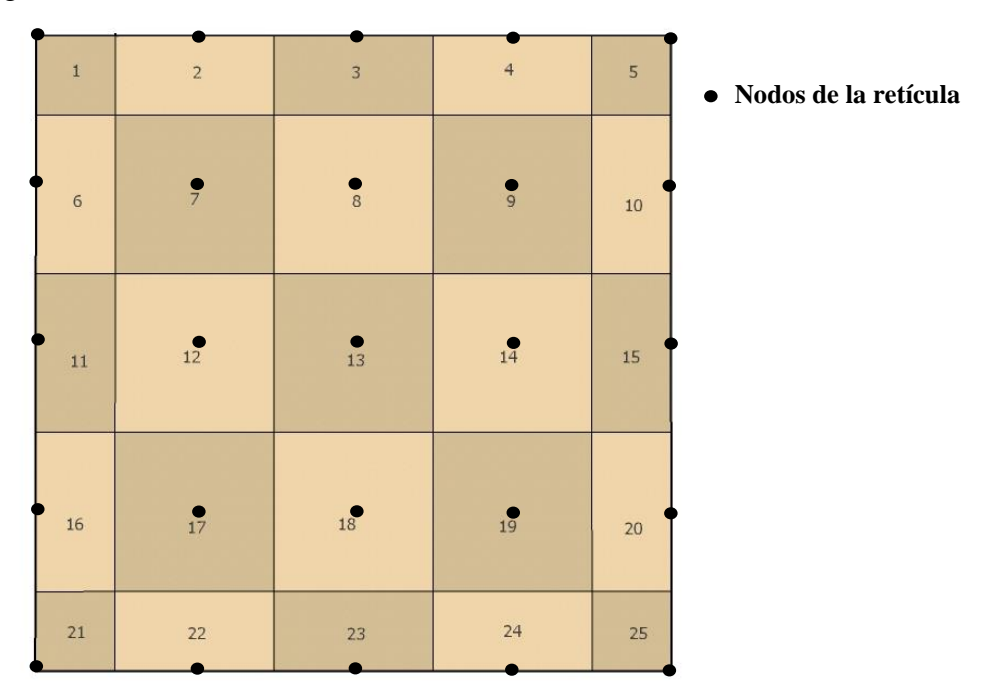


Figura 3.12. Modelo de áreas de placas para la estructura de contención

Para el cálculo de los módulos de reacción de los resortes equivalentes en el suelo, se define la expresión denominada Ecuación Matricial de Asentamientos EMA propuesta por Zeevaert (1983) como se indica en la Ecuación (3.45).

$$\{\delta_i\} = \left[\overline{\delta_{ji}}\right] \{q_i\} \tag{3.45}$$

En donde:

 $\{\delta_i\}$ Vector de desplazamientos de orden.

 $[\overline{\delta_{Ji}}]$ Matriz de desplazamientos por carga unitaria.

 $\{q_i\}$ Vector de cargas, correspondiente a la presión de contacto en el área tributaria $\mathbf{a_i}$.

Cada columna de la matriz $[\overline{\delta_{jl}}]$ de la Ecuación (3.45) se obtiene aplicando las propiedades del suelo y la influencia como se define en la Ecuación (3.46).

$$\{\overline{\delta_{ji}}\} = \left[I_{ji}\right]^T \left[\alpha_N\right] \tag{3.46}$$

En donde:

 $[I_{ji}]$ Matriz de influencias por carga unitaria aplicada en el área a_i obtenida por la distribución de esfuerzos de Mindlin sobre los nodos al medio de cada Δx .

 $[\alpha_N] = [M_{hzn}d_n]$ Matriz de compresibilidades para los diferentes estratos de suelo involucrados en el análisis con su módulo de deformación M_{hzi} y espesor d_i .

Se deben calcular las influencias en los nodos para la carga unitaria aplicada en la placa 1 del modelo al medio de cada tramo horizontal Δx hasta que el valor sea despreciable; luego de este cálculo, se debe sumar algebraicamente en una matriz global las influencias totales de cada nodo debido a la carga unitaria aplicada en la primera placa como se indica en la Figura 3.13.

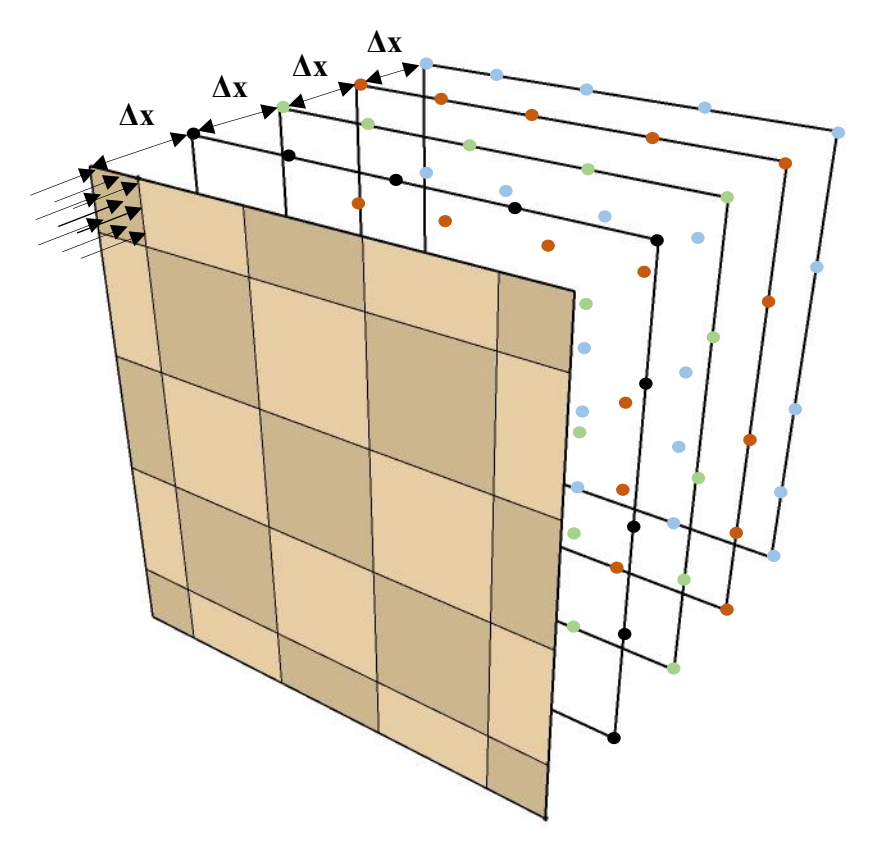


Figura 3.13. Modelo de carga unitaria para las placas con su influencia por Mindlin.

El procedimiento anterior se debe repetir moviendo la carga unitaria a cada una de las placas de diseño para obtener la matriz de deformaciones del suelo $\{\overline{\delta_{Ji}}\}$. El cálculo de influencias emplea la solución de Mindlin (1936) para carga rectangular horizontal uniforme que fue obtenida de la integración de la ecuación de carga puntual presentada en los capítulos anteriores.

En la Figura 3.14 se indica esquemáticamente el modelo de interacción de la estructura de contención representada por medio de la retícula y la estratigrafía definida geotécnicamente para el sitio de estudio.

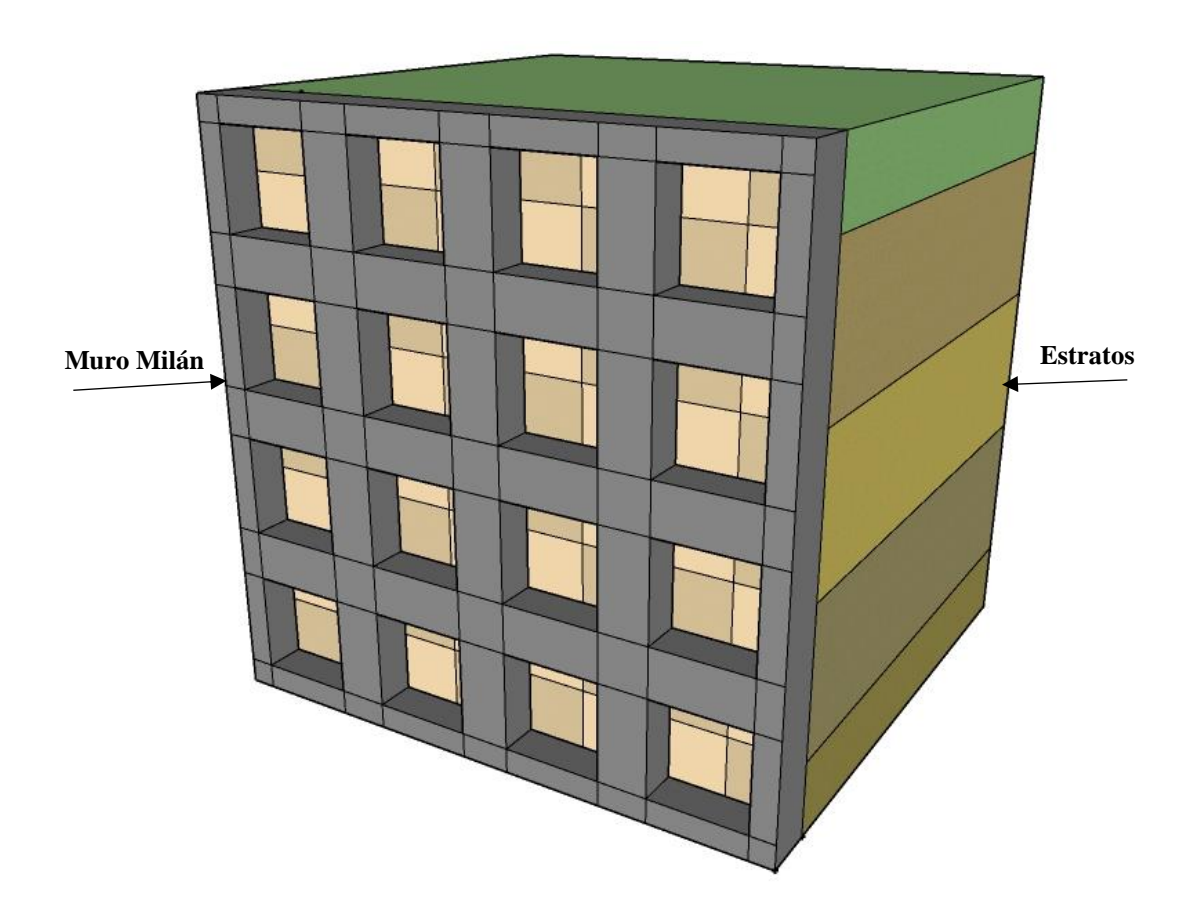


Figura 3.14. Modelo final de interacción para el uso de EMISES3D.

Se sustituye la presión de contacto $\{q_i\}$ por su equivalente como el cociente entre las reacciones R_i y el área de cada placa a_i , como se indica en las Ecuaciones (3.47) y (3.48).

$$\{\delta_i\} = \left[\overline{\delta_{jl}}\right] \left\{\frac{R_i}{a_i}\right\} \tag{3.47}$$

O bien.

$$\{\delta_i\} = [F_{ii}]\{R_i\} \tag{3.48}$$

En donde:

 $\{R_i\}$ Vector de reacciones en las placas.

 $[F_{ji}] = [\overline{\delta_{ji}}] \left[\frac{1}{a_i}\right]$ Matriz de flexibilidades del suelo y el área de la placa a_i

Despejando el vector $\{R_i\}$ de la Ecuación (3.48) se obtiene la inversa de la matriz de flexibilidades del suelo multiplicada por el vector de deformaciones unitarias como se presenta en la Ecuación (3.49).

$$\{R_i\} = \left[F_{ii}\right]^{-1} \{\delta_i\} \tag{3.49}$$

A la vez, la inversa de la matriz de flexibilidades es equivalente a la matriz de rigidez que representa los resortes del suelo para calcular las deformaciones del suelo.

$$\left[F_{ji}\right]^{-1} = \left[K_s'\right]$$

Una de las ventajas del modelo de interacción está en que, si los resortes del suelo se encuentran ubicados en la misma posición de los nodos de la estructura, se puede hacer la suma matricial de rigidez por medio de la Ecuación (3.50) y evitar iteraciones.

$$[K_{es}] = [K'_e] + [K'_s]$$
 (3.50)

La solución del modelo de interacción obtiene los desplazamientos y giros, los cuales son útiles para el cálculo de los elementos mecánicos de las barras de la estructura. Sin embargo, es necesario transformar los resultados a los ejes locales de cada elemento aplicando la Ecuación (3.51) y (3.52).

$$\{\delta_i\} = [T_{oi}]\{\delta_i'\} \tag{3.51}$$

$$\{F_i\} = [K_{ei}]\{\delta_i\} + \{F_{it}\}$$
(3.52)

Las reacciones horizontales en los nodos de la estructura se obtienen usando la Ecuación (3.53).

$$\{R_i\} = [K_s] \{\delta_{hi}\} \tag{3.53}$$

Las reacciones horizontales distribuidas en cada una de las placas entre las cuales se divide la estructura de contención son equivalentes a la Ecuación (3.54).

$$\{q_i\} = \left\{\frac{R_i}{a_i}\right\} \tag{3.54}$$

Finalmente, al aplicar la Ecuación (3.39) de interacción se forma el sistema de ecuaciones matriciales que al resolverse permite obtener los desplazamientos y giros de los nodos definidos de la estructura. Dentro del modelo, se pueden incluir restricciones al desplazamiento o giro de los nodos según sean las condiciones reales de la estructura y de diseño.

El análisis del fenómeno de compresibilidad del suelo de contacto con la estructura de contención requiere de parámetros de compresibilidad confiables y criterio del geotecnista para el cálculo de desplazamientos. Se puede hacer uso del módulo de deformación Mv para estimar el comportamiento a corto plazo, como lo es en suelos granulares o a largo plazo como es el caso de los suelos finos cohesivos donde el tiempo es una variable muy importante; para el alcance de esta tesis se plantea un análisis de interacción a corto plazo, ya que se modela el comportamiento de los elementos de contención durante el proceso de excavación.

Adicionalmente, la estimación del estado de esfuerzos al cual se somete el sistema genera alivios o compresiones debidos a la excavación, la construcción y el colado del concreto del muro Milán, los soportes laterales de las losas de cimentación, entre otros efectos, por lo tanto, es fundamental el cálculo de estos cambios por medio de la teoría de Boussinesq y Mindlin que depende de las etapas constructivas y que deben ser incluidos en el modelo de interacción suelo – estructura para la estimación de deformaciones del sistema.

4. PROYECTO DE ESTUDIO

4.1 Antecedentes del proyecto

Debido al desarrollo económico y urbano en la Ciudad de México se plantea la construcción de una torre de oficinas de 52 niveles con siete sótanos de estacionamientos y un edificio anexo de 15 niveles con 7 sótanos para estacionamientos, que se ubica en la Avenida Paseo de la Reforma y la Calle Lieja dentro de la Zona de Lago.

4.2 Características del proyecto

Este proyecto consiste en la construcción de una torre de oficinas y un edificio anexo que cubren un área estimada de 6.200 m² como se muestra en la Figura 4.1 aplicando el procedimiento "Top Down". El proceso de excavación para los 7 sótanos de la edificación principal es el caso de estudio con el fin de aplicar la metodología de interacción del suelo – estructura de contención.

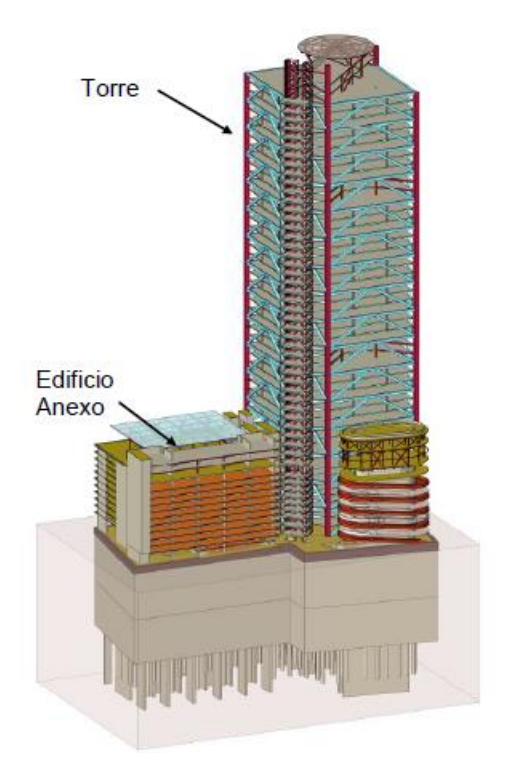


Figura 4.1. Vista general de proyecto. (CIMESA - Soletanche-Bachy, 2012)

El nivel del piso terminado del último sótano se encuentra ubicado a los -23.3 m, incluyendo el peralte de la losa de cimentación de 2.0 m se alcanzan los -25.30 m de excavación; las losas de los sótanos son macizas y en concreto reforzado con un peralte de 0.40 m, excluyendo a las plataformas de trabajo que tienen una dimensión de 0.60 m de peralte.

El procedimiento "Top Down" consiste en la utilización de muros y losas como elementos de contención dentro del proceso constructivo de los sótanos brindando un soporte lateral. Por tal motivo, se requiere la construcción preliminar de muros, en este caso muros Milán, que soporten los empujes y que puedan conectar estructuralmente a las losas del proyecto buscando la transferencia de carga lateral y generar diafragmas en la edificación.

Se debe realizar un análisis de presiones laterales del suelo y el uso respectivo de los elementos de contención para la construcción de las losas de cimentación, contemplando una secuencia que involucre desde el nivel de la superficie hasta la profundidad máxima indicada. La primera losa debe tener capacidad estructural para soportar las cargas laterales, el almacenamiento de material y la maquinaria de trabajo; en el caso de las losas inferiores, se utilizan columnas temporales y otras definitivas que transmiten las cargas directamente a las pilas de la cimentación.

La utilización del método "Top-Down" se ha empleado con éxito en diversos proyectos dentro de la Zona de Lago en la Ciudad de México, por lo cual se considera que para las excavaciones a gran profundidad es una metodología adecuada si se diseña analizando las propiedades de comportamiento del suelo y acompañadas de una buena exploración de campo.

4.3 Instrumentación de campo

El uso de instrumentación permite verificar el comportamiento geotécnico en una obra debido a diferentes procesos constructivos; uno de los instrumentos más utilizados es el inclinómetro, este es un equipo de medición que registra los desplazamientos horizontales producidos en la estructura y en el suelo por medio de señales eléctricas.

La instrumentación con inclinómetros consta de dos etapas importantes, la primera es la selección de la ubicación e instalación de los elementos, y la segunda es la frecuencia y el proceso de medición dentro de la obra.

UNIVERSIDAD NACIONAL AUTÓNOMA DE MÉXICO



MODELACIÓN DEL PROCEDIMIENTO CONSTRUCTIVO DE UNA EXCAVACIÓN CON INTERACCIÓN SUELO – ELEMENTO DE CONTENCIÓN

Con respecto a la primera etapa, se requiere de una tubería metálica o de plástico disponible en tramos de 1.5 o 3.0 m de longitud; estos tramos se unen mediante coples para alcanzar la profundidad de lectura deseada y definida por la campaña de instrumentación. Este tipo de tubería tiene ranuras horizontales y perpendiculares entre sí que se convierten en la guía de la sonda eléctrica que obtiene los datos de la medición.

Para ejecutar la lectura se utiliza un cable graduado conectado a un equipo de medición portátil y una sonda con sensores de inclinación y profundidad como se indica en la Figura 4.2; éstos poseen un elemento guía que transmite una señal eléctrica en los distintos niveles de medición la cual debe ser procesada para su interpretación.

La campaña de instrumentación en la obra de estudio contó con inclinómetros dentro del muro Milán y se describe brevemente el procedimiento de instalación para este caso.

- Se incluye en el armado del muro Milán la tubería de diseño y se amarra mediante el uso de abrazaderas de acero. Para los coples de cada tramo de tubería se necesita pegamento PVC de alta resistencia y neopreno con el fin de evitar problemas al momento del fraguado del concreto de la estructura de contención.
- En la parte superior e inferior del armado del muro Milán se debe acoplar una parrilla de protección para evitar el movimiento de la tubería y conservar la verticalidad.
- Antes de realizar el colado del muro se debe llenar la tubería con agua limpia evitando la falla por presiones debido al concreto de la estructura. Ya que fragüe el concreto se debe proceder a la limpieza con una broca tricónica y agua.
- Se procede a verificar la profundidad de la tubería y que no existan obstáculos internos; con ayuda de topografía se alinean las ranuras interiores y se verifica la verticalidad de ésta. En caso de presentar desviaciones angulares se registran para realizar las respectivas correcciones de las mediciones.
- Es necesario la utilización de mortero fluido de alta resistencia y luego de 24 horas que fragüe la mezcla, se pueden iniciar las lecturas de los inclinómetros.

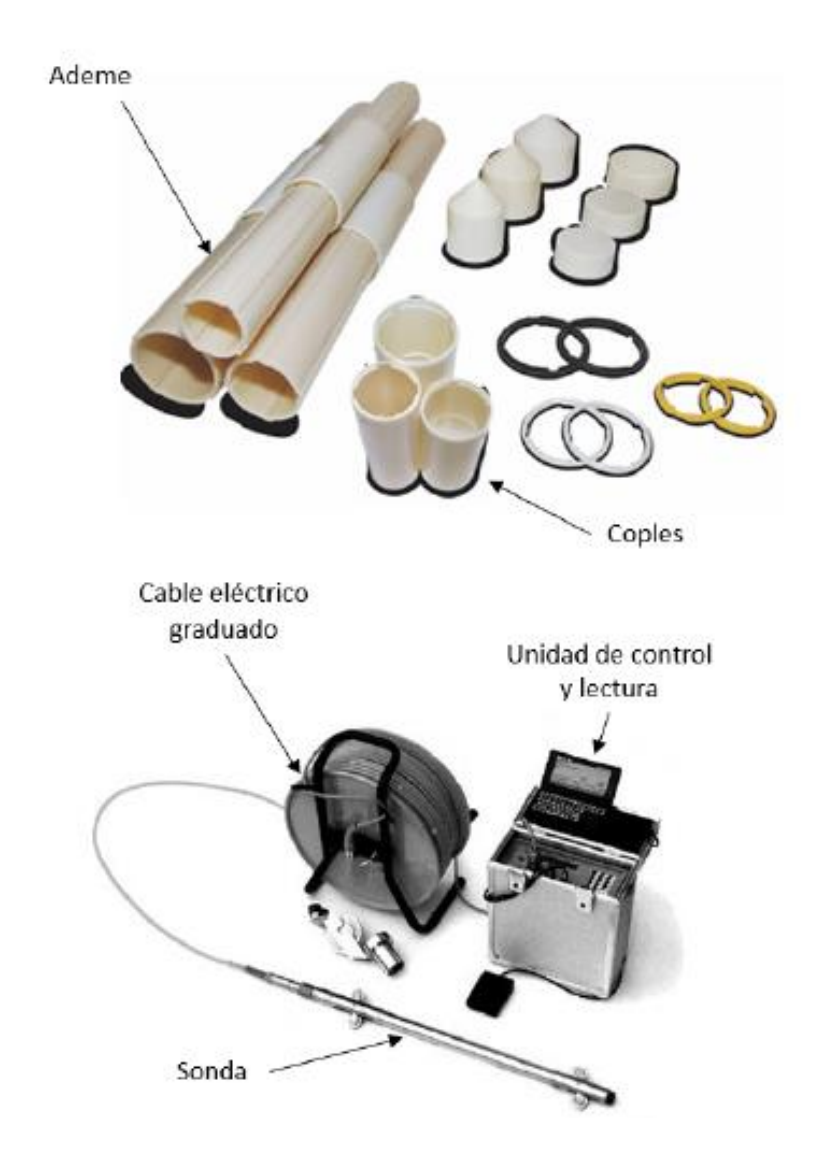


Figura 4.2. Elementos de un inclinómetro. Arvizu, M. (2017)

La tubería de PVC debe ser almacenada en una superficie plana que no se encuentre en contacto con la humedad o químicos abrasivos; se debe verificar que la tubería no haya sufrido presiones o cargas con el fin de evitar pandeos o deformaciones inducidas.

El efecto de la flotación se presenta en la instalación de la tubería, pero es importante contrarrestarlo por medio del lastrado con agua limpia su interior. A pesar que la opción de asegurar la parte superior de la tubería sea la más fácil, se debe evitar esta práctica ya que se genera un empuje hacia arriba lo que produce una deformación de la tubería en forma de "S".

Para evitar este efecto se sugieren tres procedimientos: la suspensión del tubo en 1" por debajo del fondo lo que asegura que se mantenga su forma inicial, la segunda es la preinstalación de un anclaje conectado al tramo de tubería en la parte inferior y finalmente, el uso de un peso amarrado al fondo que contrarreste las presiones ejercidas por la perforación realizada.

En la segunda etapa se requiere definir la frecuencia de lectura y el correcto procedimiento para la obtención de las mediciones en los instrumentos. Para realizar la lectura se utiliza el equipo portátil conectado por medio del cable y se baja la sonda a distintas profundidades obteniendo las respuestas eléctricas traducidas en cambios de la posición inicial de instalación.

El equipo de medición debe estar en buen estado verificando que la constante de calibración se mantenga en las lecturas con el fin de evitar errores inducidos al procesar los datos; cada medición debe repetirse girando la sonda 180° ya que la equivalencia entre lecturas es un valor constante.

Para finalizar, una campaña de instrumentación es una herramienta que facilita la identificación de condiciones críticas de desplazamientos en la obra y permite evitar un estado de falla general; además, una buena toma de lecturas de inclinometría permite comparar los efectos reales a los cuales se sometió el suelo y los cálculos obtenidos por las metodologías de diseño.

4.4 Modelo geológico – geotécnico

La geología de la Ciudad de México se desarrolla a partir del estudio de la cuenca del Valle de México, que forma parte de la fisiografía de la Altiplanicie Neovolcánica que atraviesa el país de oriente a occidente. La ciudad se sitúa a más de 200 m.s.n.m. en donde sobresalen diversas formaciones volcánicas y llanuras extensas de material piroclástico.

La cuenca de México tiene una forma alargada de dirección NNE – SSE, con una longitud de aproximadamente 100 km y un ancho de 30 km; esta cuenca se delimita en el norte por la Sierra de Pachuca, en el oriente por la Sierra de Río Frío y la Sierra Nevada, en el sur por la Sierra Chichinautzin y en el poniente por la Sierra de las cruces. La formación del lago fue propiciada por su misma topografía, en donde, los espesores de relleno aumentan del norte al sur alcanzando en la parte central de la cuenca unos 200 m, mientras que en sur se definen espesores de 500 a 600 m; el relleno es

conformado por material volcánico, interestratificado con tobas volcánicas y depósitos lacustres especialmente al centro de la cuenca.

Con base en la estratigrafía que presenta la cuenca de la Ciudad de México se establece que el predio de estudio se ubica en el límite occidental de lo que fue el Lago de México, dentro de la zona denominada de Lago Centro I. Esta zona surgió debido al desarrollo urbano y al crecimiento residencial, por lo cual, el subsuelo ha estado sometido a sobrecargas de estructuras pequeñas y medianas.

La investigación del subsuelo es fundamental para realizar los estudios geotécnicos de la zona, los cuales permiten definir la estratigrafía que va a ser utilizada en los diseños de la obra; la caracterización de los materiales se realizó a partir de los sondeos exploratorios con ensayos SPT con muestras alteradas e inalteradas, sondeos de cono eléctrico, ensayos de laboratorio tales como contenidos de humedad, límites de consistencia, clasificación de suelos SUCS, resistencia al esfuerzo cortante por ensayos triaxiales UU y compresiones simples, entre otros, para plantear un modelo adecuado a la zona.

Como parte de los trabajos en campo se instaló una estación piezométrica que permitía conocer la distribución de las presiones de poro en los estratos permeables, y adicionalmente, se realizó un pozo de observación en la zona. El tipo de piezómetro utilizado para las mediciones fue abierto o Casagrande.

A partir de los sondeos realizados y el pozo de observación instalado a 13.60 m de profundidad, se identificó que el nivel de aguas freáticas estaba a los 6.6 m de profundidad. En la Tabla 4.1 se presenta la instalación de las celdas piezométricas, su lectura y su respectiva pérdida con referencia al nivel de la banqueta 0.00 m.

Tabla 4.1. Lecturas de celdas piezométricas

Celda	Profundidad (m)	Lectura (m)	Pérdida (t/m²)
1	19.9	7.3	0.7
2	28	20.8	14.2
3	38.4	18.24	11.64
4	53.4	16.45	9.85

(CIMESA - Soletanche-Bachy, 2012)

UNIVERSIDAD NACIONAL AUTÓNOMA DE MÉXICO



MODELACIÓN DEL PROCEDIMIENTO CONSTRUCTIVO DE UNA EXCAVACIÓN CON INTERACCIÓN SUELO – ELEMENTO DE CONTENCIÓN

Superficialmente y hasta una profundidad de 2.75 m se encuentra una arcilla de consistencia media con presencia de arenas y gravas; subyace hasta los 18 m una arcilla lacustre de alta plasticidad, de color gris verdoso, café claro y rojo, de consistencia muy blanda a blanda. Se identifican diferentes lentes de arcilla arenosos, arena arcillosa y vidrio volcánico con una resistencia de cono eléctrico de 4 a 10 kg/cm² a las profundidades de: 3.0 a 4.0 m, 10.2 a 10.4 m, 12.0 a 12.6 m, 16.0 a 16.60 m y 17.20 a 18.0 m. Las muestras analizadas del estrato poseen un contenido de humedad que varía de 30 a 280%, LL de 43 a 360%, LP de 19 a 76%, IP de 24 a 295%, densidad de sólidos de 2.12 a 2.49, peso volumétrico húmedo de 1.180 a 1.729 t/m³, peso volumétrico seco de 0.267 a 1.20 t/m³, cohesión de 1.0 a 6.0 t/m² y ángulo de fricción de 2 a 14°.

Prosigue un estrato hasta los 26.0 de profundidad de arcilla lacustre de alta y baja plasticidad, de color gris verdoso, café claro y rojizo, cuya resistencia varía de blanda a muy firme, con presencia de lentes de arcilla arenosa, arena arcillosa y vidrio volcánico. La resistencia en la punta del cono eléctrico varía de 10 a 15 kg/cm² a las profundidades de 21.0 a 22.0, 22.5 a 23.0 y 24.20 a 25.50. Las muestras analizadas de este estrato poseen un contenido de humedad que varía de 24 a 287%, LL de 36 a 219%, LP de 14 a 69%, IP de 17 a 159%, densidad de sólidos de 2.29 a 2.61, peso volumétrico húmedo de 1.24 a 1.83 t/m³, peso volumétrico seco de 0.44 a 1.53 t/m³, cohesión de 4.5 a 12.0 t/m² y ángulo de fricción de 1 a 17°.

De 26.0 a 33.0 m de profundidad se detectó una arcilla arenosa de alta y baja plasticidad, de color gris verdoso, de consistencia media a dura, con presencia de lentes de arcilla, ceniza volcánica, vidrio volcánico y arena arcillosa de muy alta compacidad, con un número de golpes a partir del ensayo de SPT de 4 a más de 50.

De 33.0 a 77.0 m de profundidad, se identificó una serie de intercalaciones de estratos constituidos por arcilla arenosa de baja plasticidad, de color gris verdoso, de consistencia dura, con pocas gravas de forma subredondeada, y arena arcillosa de color gris y café verdoso de muy alta compacidad con gravas.

De 77.0 a 99.0 m de profundidad, se presentan estratos intercalados constituidos por arenas limosas y limos arenosos de color gris oscuro, de compacidad muy alta y consistencia dura con presencia de gravas y gravillas.

Considerando la información presentada por la Gerencia de Aguas del Valle de México sobre las curvas de hundimiento anual con referencia al periodo de 1985 – 1995, la zona de estudio presentaría un hundimiento estimado de 2.0 cm/año.

Los ensayos presiométricos se realizaron a una profundidad entre 32 y 60 m; cada ensayo fue interpretado por medio de los parámetros siguientes: el módulo de Menard (Em), los incrementos de volumen, la presión de fluencia (pf) y la presión límite (pl). En la Tabla 4.2 se presentan los resultados del módulo (Em) obtenidos a partir del presiómetro.

Tabla 4.2. Resultados del Módulo (Em) para ensayo de Presiómetro.

Prof. (m)	Em (kg/cm²)	Prof. (m)	Em (kg/cm²)
	()		(1.8/ 0 /
32	1446	47	1333
33	1503	48	1594
34	1511	49	846
36	913	50	372
38	839	52	914
40	66	54	245
41	742	55	354
42	923	56	1013
43	1088	57	1373
44	268	58	719
45	774	59	561
46	974	60	521

(CIMESA - Soletanche-Bachy, 2012)

La solución geotécnica propuesta por el estudio de mecánica de suelos para cimentar la edificación de estudio fue: pilotes de concreto y un muro Milán perimetral construidos a 50 m de profundidad, por lo tanto, no se programaron ensayos de consolidación en las muestras arcillosas.

No obstante, se ejecutaron más de 71 ensayos de compresión triaxial UU en las muestras recuperadas a una profundidad de 3 m hasta los 24 m, de los seis sondeos realizados en el terreno de estudio. Luego se agrupan los resultados obtenidos de las pruebas triaxiales UU según la profundidad de la muestra ensayada y se calcula el módulo tangente de deformación del suelo (E₅₀) correspondiente al 50% del esfuerzo desviador de falla alcanzado en cada prueba.

Por lo tanto, se obtienen los valores del módulo E_{50} para cada profundidad y cada esfuerzo confinante y se presentan los resultados en la Figura 4.3.

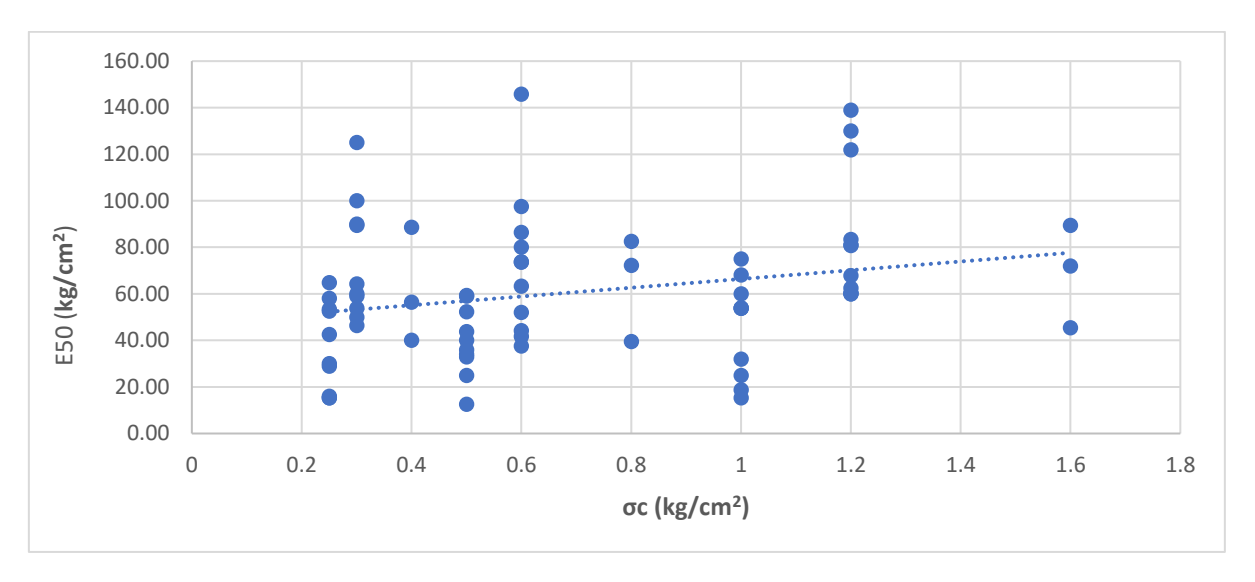


Figura 4.3. Estimación del Módulo E₅₀ a partir de ensayos triaxiales UU.

Ya que se desea modelar la interacción suelo – elemento de contención durante el proceso de excavación, se considera que el análisis corresponde a corto plazo. Por lo tanto, se promedian los resultados del módulo E₅₀ para cada profundidad con el fin de establecer los parámetros de la estratigrafía que requiere el modelo, como se muestra en la Tabla 4.3.

Tabla 4.3. Estimación de módulos E₅₀ para el perfil estratigráfico de estudio.

Estrato	d _i (m)	Di (m)	E (t/m²)	Estrato	d _i (m)	Di (m)	E (t/m²)	Estrato	d _i (m)	Di (m)	E (t/m²)
1	0.63	0.63	1000.0	15	1.25	18.13	570.0	29	1.25	35.63	610.0
2	1.25	1.88	1000.0	16	1.25	19.38	500.0	30	1.25	36.88	610.0
3	1.25	3.13	800.0	17	1.25	20.63	940.0	31	1.25	38.13	710.0
4	1.25	4.38	600.0	18	1.25	21.88	650.0	32	1.25	39.38	710.0
5	1.25	5.63	430.0	19	1.25	23.13	670.0	33	1.25	40.63	710.0
6	1.25	6.88	520.0	20	1.25	24.38	410.0	34	1.25	41.88	710.0
7	1.25	8.13	530.0	21	1.25	25.63	510.0	35	1.25	43.13	710.0
8	1.25	9.38	390.0	22	1.25	26.88	510.0	36	1.25	44.38	710.0
9	1.25	10.63	680.0	23	1.25	28.13	510.0	37	1.25	45.63	710.0
10	1.25	11.88	680.0	24	1.25	29.38	510.0	38	1.25	46.88	710.0
11	1.25	13.13	640.0	25	1.25	30.63	610.0	39	1.25	48.13	710.0
12	1.25	14.38	520.0	26	1.25	31.88	610.0	40	1.25	49.38	710.0
13	1.25	15.63	520.0	27	1.25	33.13	610.0	41	0.63	50.00	710.0
14	1.25	16.88	860.0	28	1.25	34.38	610.0				



Por medio de la caracterización geotécnica de la zona y los posibles efectos en el terreno se planteó el procedimiento constructivo "Top – Down" para el cálculo de losas de entrepiso y las plataformas de trabajo de construcción; adicionalmente, se propuso el uso del muro Milán, la tablestaca metálica y la mega zapata como elementos de contención de la excavación.

Derivado de la interpretación de las pruebas de laboratorio, las perforaciones directas e indirectas, estudios previos y la caracterización geológica de la zona, se genera un modelo geotécnico para la obra segmentado por unidades identificadas con sus respectivas propiedades mecánicas y de resistencia como se presenta en la Tabla 4.4.

Tabla 4.4. Modelo geológico – geotécnico del sitio de estudio.

Prof. (m)	γ (t/m³)	c (t/m²)	Φ (°)	Estratigrafía
0.0 - 2.0	1.57	2.1	10	Arcilla de consistencia media con presencia de arena y gravas.
2.0 - 6.0	1.57	1.9	4	Arcilla lacustre de consistencia blanda a media, con presencia de arena de color gris verdoso y rojizo.
6.0 - 9.0	1.18	2.9	9	Arcilla lacustre de consistencia muy blanda a blanda con presencia de arenas, con intercalaciones de lentes de arena volcánica pumítica y basáltica.
9.0 - 16.0	1.26	4.3	5.5	Arcilla de alta plasticidad de consistencia blanda a media de color café y gris verdoso.
16.0 - 17.5	1.74	4.5	16	Arena arcillosa de compacidad media con lente de vidrio volcánico.
17.5 - 22.0	1.24	8.3	7	Arcilla lacustre de consistencia media
22.0 - 23.0	1.69	4.5	16	Arena arcillosa con lente de vidrio volcánico.
23.0 - 25.0	1.35	9.6	2.5	Arcilla lacustre con arena de consistencia media
25.0 - 28.0	1.67	11.6	2.5	Arcilla arenosa de consistencia muy firme a dura con lente de vidrio volcánico e intercalaciones de arcilla lacustre.
28.0 -33.0	1.67	18.2	9	Arcilla lacustre con intercalación de suelo de consistencia media con lentes de arena o limo.
33.0 - 46.0	1.67	-	37	Arena arcillosa de color gris verdoso y rojizo, de muy alta compacidad con presencia de gravas; presenta intercalaciones de lentes de arcilla arenosa con gravas.
46.0 - 55.0	1.67	-	37	Arena arcillosa de color gris verdoso de alta compacidad con gravas.
55.0 - 60.0	1.67	-	37	Arena limosa, limo arenoso de compacidad muy alta y consistencia dura con presencia de gravas y gravillas.

(CIMESA - Soletanche-Bachy, 2012)



4.5 Procedimiento constructivo

Para analizar la edificación de estudio se requiere describir de manera detallada las actividades que componen la secuencia constructiva "Top – Down", con el fin de llevar a cabo con éxito la construcción y la excavación a grandes profundidades al estar realizándose una cimentación en la zona lacustre de la Ciudad de México.

Como solución a las características de la estructura, se propone la construcción de un muro Milán perimetral desplantado a 50.0 m y pilas desplantadas a la misma profundidad, adicionalmente, se hace uso de espigas metálicas precimentadas con el objetivo de soportar las losas de entrepiso y de trabajo frente a las solicitaciones de carga.

Con respecto al muro Milán, se construye en el perímetro de la obra y adicionalmente en una sección cuadrada dentro del área de construcción. Para la realización de la excavación del muro, se utilizó una almeja hidráulica con el fin de controlar las deformaciones laterales debidas a la construcción y al mismo tiempo se fueron instalando las pilas circulares de 1.4 de diámetro y rectangulares en el interior del edificio de 6.0 x 0.8 m como se identifica en la Figura 4.4.

Para soportar las cargas transmitidas de la estructura al terreno, se hace uso de una trabe de coronamiento exterior que se apoya sobre el muro Milán construido con anterioridad. Esta estructura de concreto armado tiene 8.0 m de altura y un ancho de 1.5 m que cuenta con elementos metálicos embebidos de hasta 100 t de peso y con espesor de 4" como se muestra en la Figura 4.5.

Esta trabe de coronamiento debe ser colada en totalidad antes de iniciar cualquier excavación de los sótanos, por lo cual fue necesario la excavación de una zanja de 8 m de profundidad soportada con dos tablestacas perimetrales utilizando troqueles metálicos.

Al finalizar la construcción de la trabe de coronamiento se construye la losa de plataforma para la torre principal como en el edificio anexo. Esta losa se habilita para el paso de camiones, equipos constructivos, almacenamiento de materiales, por lo cual deben ser capaces de soportar una sobrecarga estimada de 2 t/m².

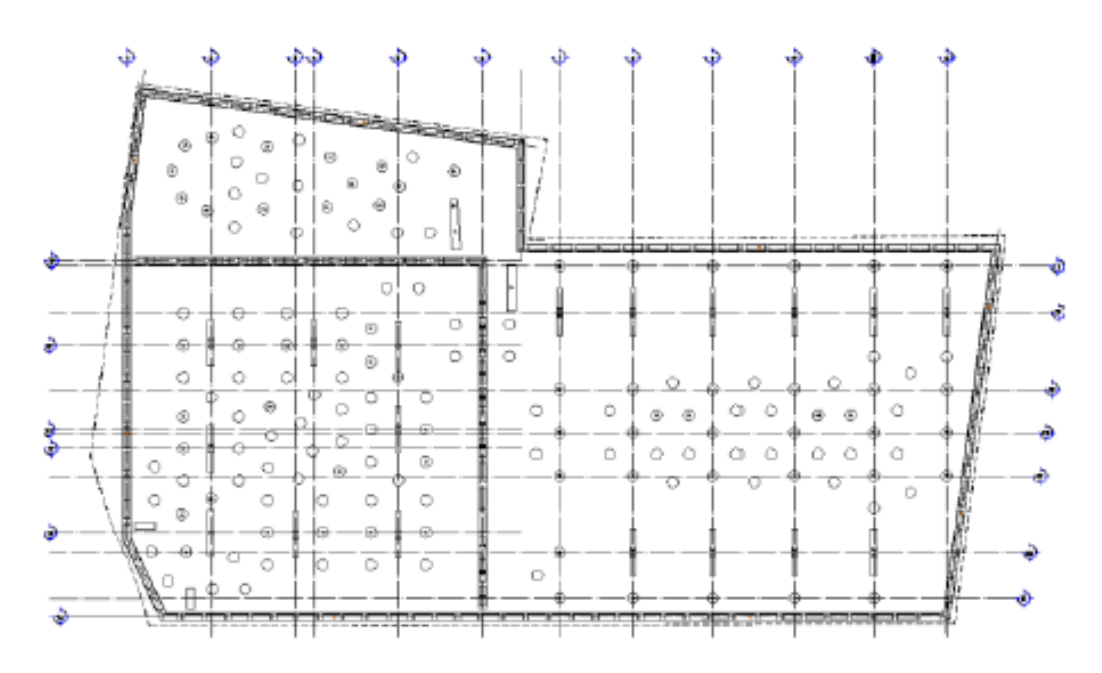


Figura 4.4. Ubicación en planta de Muro Milán y pilas. (CIMESA - Soletanche-Bachy, 2012)



Figura 4.5. Construcción de la trabe de coronamiento perimetral de la estructura. (CIMESA - Soletanche-Bachy, 2012)

Esta losa se construye de 0.60 m de espesor apoyada sobre espigas metálicas precimentadas en el colado de los tramos iniciales y la colocación de refuerzo adicional con placas de acero para evitar la penetración: en la plataforma de trabajo se dejan ventanas que permiten la extracción de material debido a la excavación y el paso de materiales como se evidencia en la Figura 4.6.

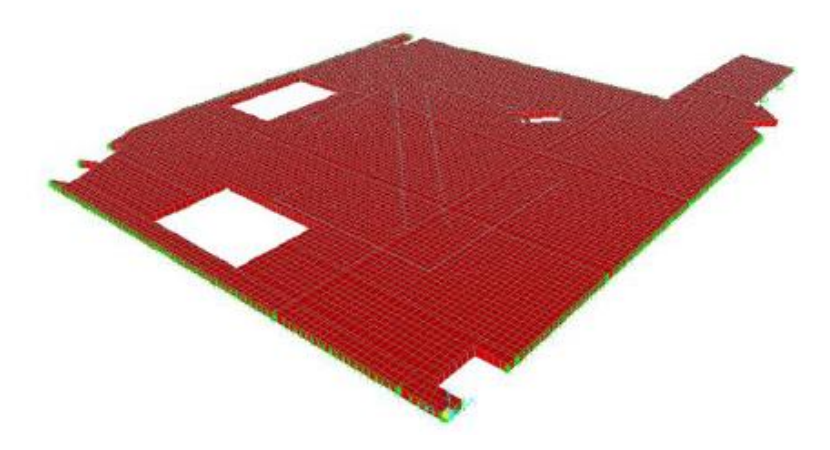


Figura 4.6. Plataforma de trabajo con rezaga para la extracción de material. (CIMESA - Soletanche-Bachy, 2012)

Antes de realizar la excavación, se realiza la construcción de sistemas de bombeo profundo perimetrales conformados por 12 pozos de 0.60 m de diámetro a una profundidad de 32 m y con bombas sumergibles que utilizan electroniveles. El objetivo de este procedimiento es extraer el agua en el interior del muro y ejecutar una excavación en seco buscando mayores niveles de rendimiento.

Secuencia de excavación – construcción de las losas

La secuencia de excavación es esencial para el éxito de la obra, por lo cual se pretende detallar cada una de las etapas que permitan modelar la interacción entre elementos estructurales como lo son: el muro Milán, la tablestaca, las pilas instaladas a profundidad y la trabe de coronamiento estructural que transmite las cargas de la edificación al terreno.

En la Figura 4.7 se muestra la estructura en planta que indica la secuencia de las distintas etapas constructivas en la torre principal y el edificio anexo. Para el análisis del modelo de interacción se revisa la sección A-B que corresponde al Edificio Torre.



Sección A-B

- 1. Construcción de muro Milán
- 2. Excavación a -8.45 m en zonas T1 y T2.
- 3. Construcción de trabe de coronamiento, losa de sótano S1 en secciones T1, T2.
- 4. Construcción de losa de sótano S2 en secciones T1, T2 y colocación de troqueles en zona de rampas helicoidales.
- 5. Excavación a -14.65 m, en zonas T1 y T2.
- 6. Construcción de losa de sótano S4 en secciones T1, T2 y colocación de troqueles en zona de rampas helicoidales.
- 7. Excavación a -21.65 m, en zonas T1 y T2.
- Construcción de losa de sótano S6 secciones T1, T2 y colocación de troqueles en zona de rampas helicoidales.
- 9. Excavación a -25.20 m, en zonas T1 y T2.
- 10. Construcción de losa de fondo.
- 11. Construcción de losas

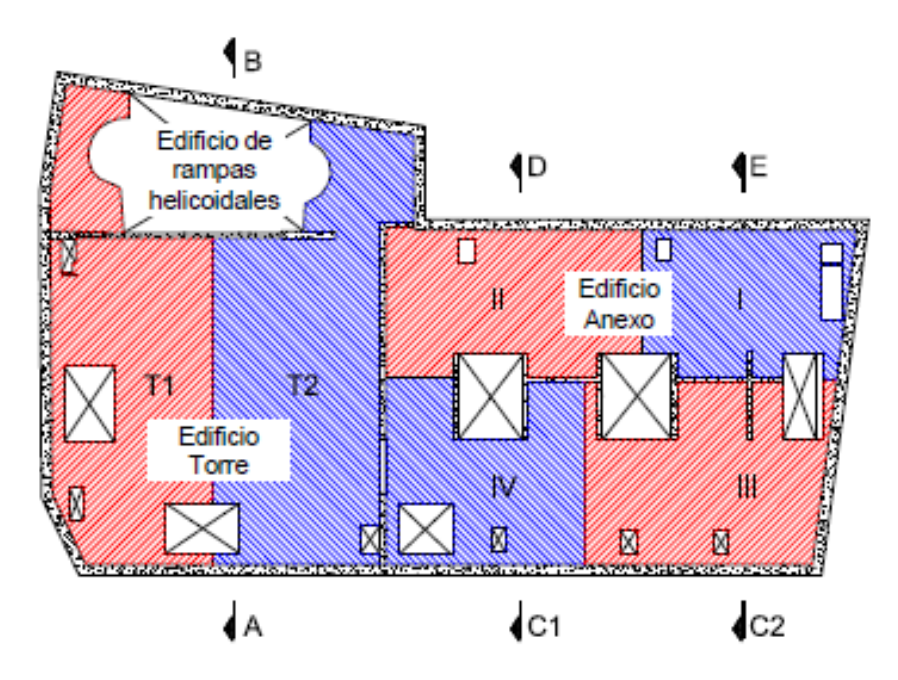


Figura 4.7. Secciones de procesos constructivos para el edificio Torre. (CIMESA - Soletanche-Bachy, 2012)



Para verificar el comportamiento real en cada una de las etapas constructivas derivadas de la excavación se hizo uso de la instrumentación geotécnica; se instalaron 8 inclinómetros en el muro Milán y 3 inclinómetros en la banqueta que alcanzaron una profundidad de 50.0 m.

En la Figura 4.8 se presenta la ubicación de los inclinómetros instalados en el proyecto; se muestran las lecturas de tres inclinómetros con énfasis en el "INC-01", ya que en el caso de los otros instrumentos se afectaron y se encontraron dañados debido a los distintos procesos constructivos de la obra.

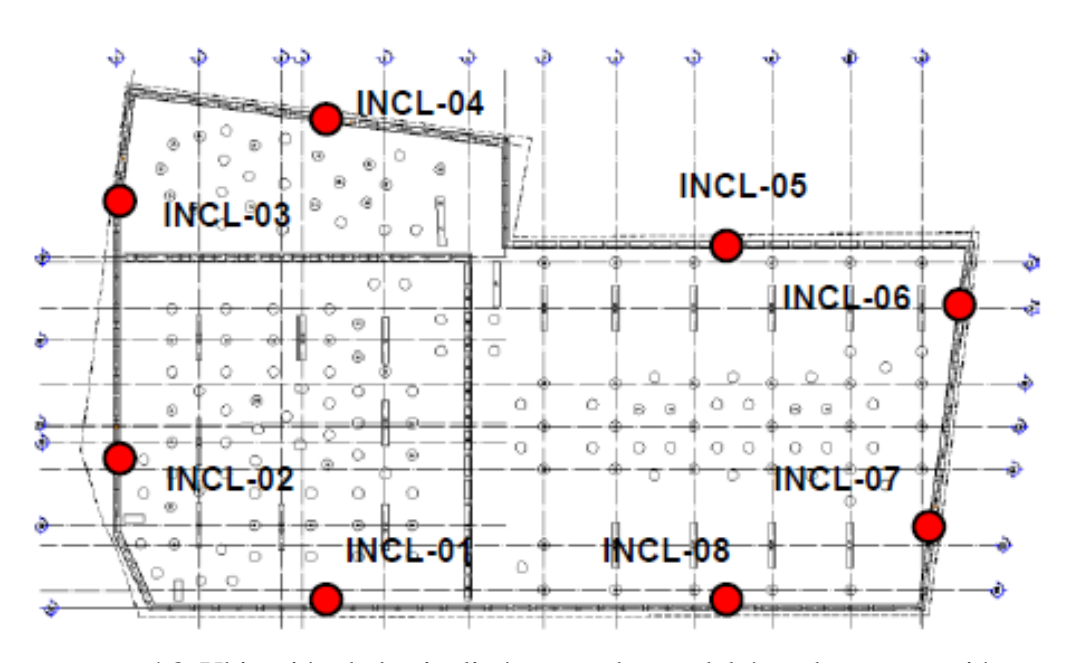


Figura 4.8. Ubicación de los inclinómetros dentro del área de construcción. (CIMESA - Soletanche-Bachy, 2012)

De la Figura 4.9 a la Figura 4.11 se presentan las lecturas de los inclinómetros "INC-01", "INC-04" e "INC-05" reportadas por el constructor. Las lecturas se realizaron semanalmente y los resultados mostrados en las figuras son las deformaciones acumuladas desde la condición inicial hasta la excavación al nivel -14.30 m y la construcción del sótano S4.

Adicionalmente, en la Figura 4.9 a la Figura 4.11 se muestra el resultado del comportamiento teórico calculado por medio de un análisis de deformación del terreno; estos resultados se obtuvieron a partir de un software exclusivo de la empresa constructora para analizar el comportamiento de las excavaciones.

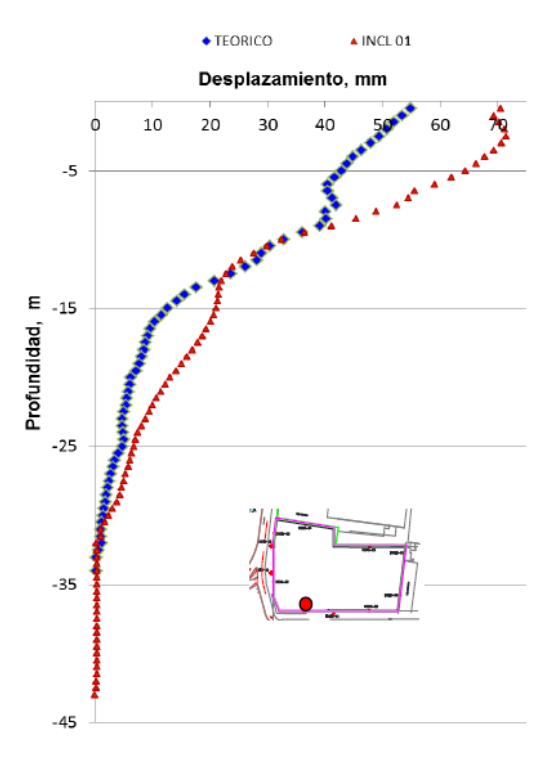


Figura 4.9. Resultados del inclinómetro "INC-01" (CIMESA - Soletanche-Bachy, 2012)

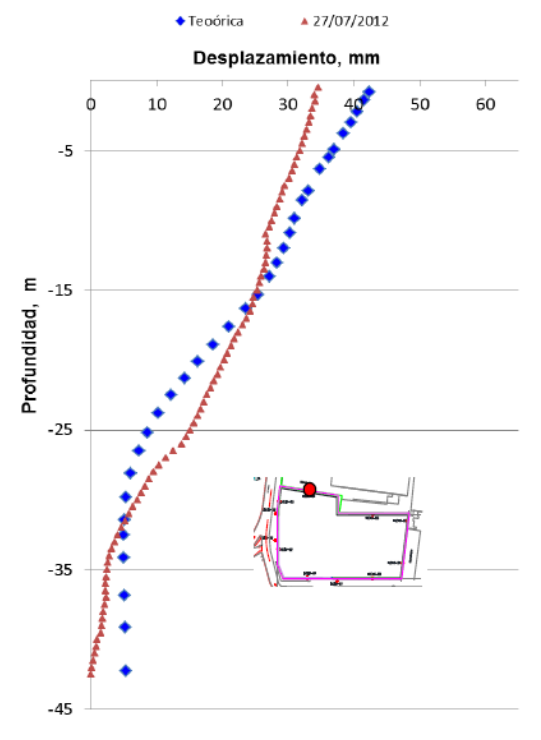


Figura 4.10. Resultados del inclinómetro "INC-04" (CIMESA - Soletanche-Bachy, 2012)

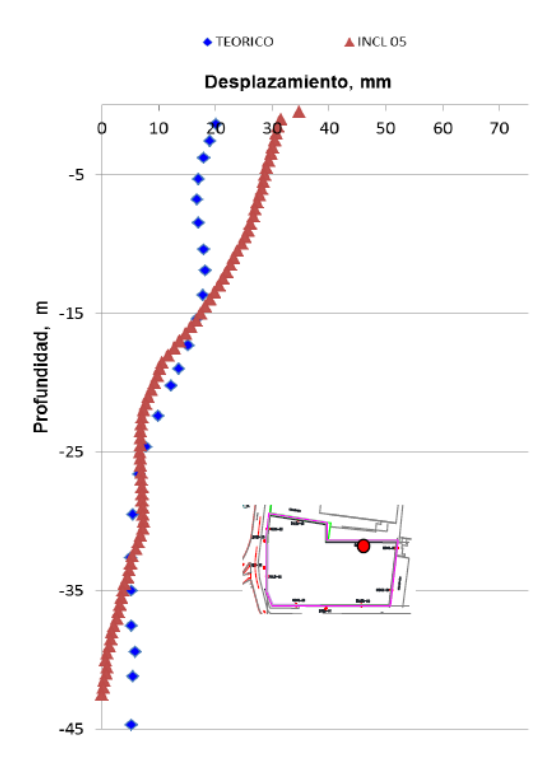


Figura 4.11. Resultados del inclinómetro "INC-05" (CIMESA - Soletanche-Bachy, 2012)

La selección del inclinómetro "INC-01" como elemento de control se debe a que éste es el instrumento que reporta las mayores deformaciones laterales alcanzadas hasta realizar la excavación al nivel -14.30 m y la construcción del sótano S4. Además, se observa en la Figura 4.9 que las deformaciones alcanzadas hasta los -10 m de profundidad son de gran magnitud, por lo cual, se busca analizar la interacción suelo – estructura para definir la etapa crítica que genere tales desplazamientos horizontales.

5. APLICACIÓN DE LA METODOLOGÍA DE INTERACCIÓN

Para resolver el problema de interacción suelo – estructura de contención de la edificación de estudio se utiliza la metodología matricial propuesta por Zeevaert (1980) por medio de la aplicación de software y hojas de cálculo programadas que involucran el comportamiento esfuerzo – deformación del suelo, los cambios de estados de esfuerzos y los elementos estructurales en el proceso de construcción de la edificación.

De esta forma, se presentan los procedimientos aplicados en el cálculo en cada una de las etapas para la obtención de los resultados del análisis de interacción. Inicialmente para este análisis se requiere del uso de las pruebas de laboratorio, la exploración en campo y la instrumentación tanto inclinómetros como piezómetros con el fin de plantear un modelo geotécnico que represente adecuadamente el subsuelo y poder calcular los estados de esfuerzos del terreno en las etapas constructivas de la edificación.

Para aplicar la metodología propuesta en este documento, se debe conocer la geometría del muro a modelar ya que debe ser representado por medio de elementos barra y nodos conectados entre sí. Por lo tanto, el muro Milán va a ser modelado como si fuese una retícula tridimensional con seis grados de libertad apoyada en una serie de resortes que representan al suelo utilizando el módulo de reacción que permite calcular las fuerzas y las deformaciones producidas.

En cada una de las etapas de modelado del procedimiento de excavación se requiere conocer las cargas actuantes y los cambios de esfuerzos en la masa del suelo, los cuales influyen directamente en el análisis de interacción. Por medio de las hojas de cálculo y el software se calculan los cambios en la distribución de esfuerzos del terreno aplicando las soluciones de Mindlin (1936), Boussinesq (1885) y Holl (1940) por etapas.

Para realizar el cálculo de interacción se actualiza el programa EMISES3D compilado en lenguaje QBASIC y se genera una versión en lenguaje FORTRAN; esta actualización favorece al aumento de la capacidad de barras y nodos, como también en los tiempos de cálculo matricial para la estructura que se desea modelar que se describe de manera detallada más adelante.

5.1 Modelo reticular para la estructura de contención

Como característica de la excavación de estudio está la construcción de un muro Milán perimetral de 42 m de profundidad con 1 m de espesor, una trabe de coronamiento exterior en concreto armado de 8.0 m de altura con un ancho de 1.5 m que cuenta con elementos metálicos embebidos de hasta 100 t de peso que se apoya sobre el muro para transmitir las cargas estructurales, y una tablestaca metálica tipo XZ95 (fy = 3515 kg/cm²) de 12 m de longitud.

Se conoce que el muro Milán a analizar tiene una longitud de 132 m con secciones definidas constructivas de 6 m como se observa en la Figura 5.1, y 42 m de profundidad ubicados a partir del nivel -8.00 m desde el nivel de referencia de la banqueta. Adicionalmente, del nivel de banqueta 0.00 m al -12.00 m se instala la tablestaca metálica ya mencionada paralela al muro Milán.

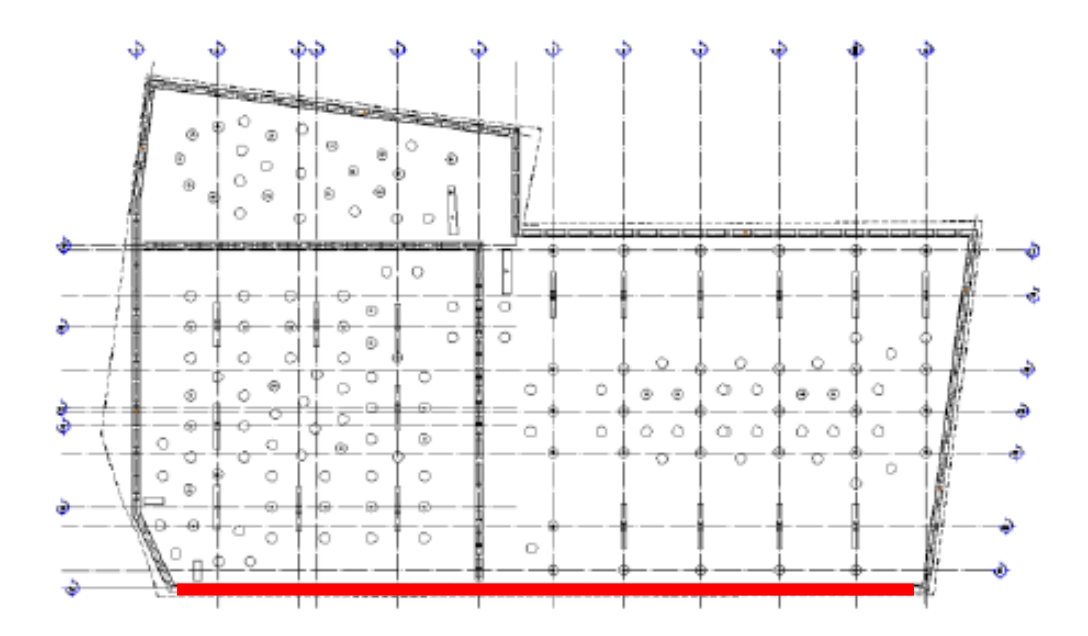


Figura 5.1. Ubicación en planta de las estructuras de contención de estudio (en rojo). (CIMESA - Soletanche-Bachy, 2012)

Por lo tanto, para representar la tablestaca metálica XZ95, el muro Milán y la mega zapata perimetral que va a ser construida posteriormente, se genera un único modelo reticular para la estructura de contención utilizando barras y nodos que posean las propiedades de resistencia y comportamiento de cada uno de los elementos estructurales mencionados.



Se propone un modelo reticular para representar los elementos estructurales utilizados en la edificación de 132 m de largo por 50 m de profundidad que equivale a 1822 nodos y 943 vigas numerados de izquierda a derecha y de arriba a abajo como se indica en la Figura 5.2 y en el Anexo 4; cada uno de los resortes ubicados en los nodos de la retícula de la Figura 5.3 equivalen a la rigidez propia del suelo obtenida a partir del cálculo de influencias obtenido por Mindlin para carga horizontal.

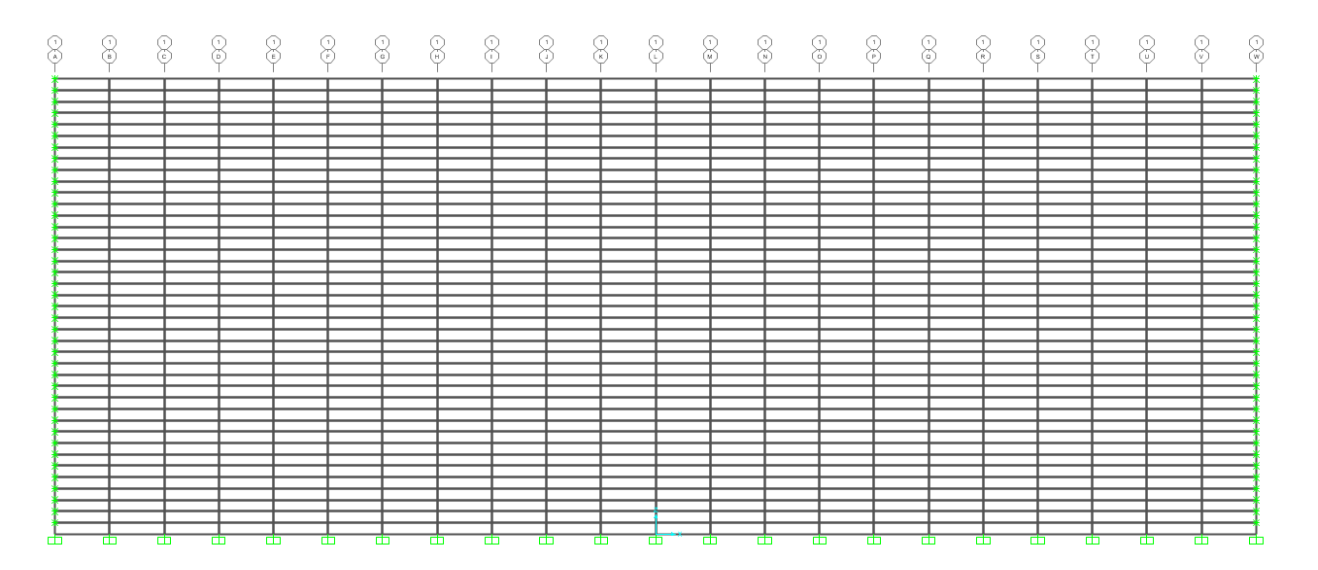


Figura 5.2. Modelo reticular de la estructura de contención.

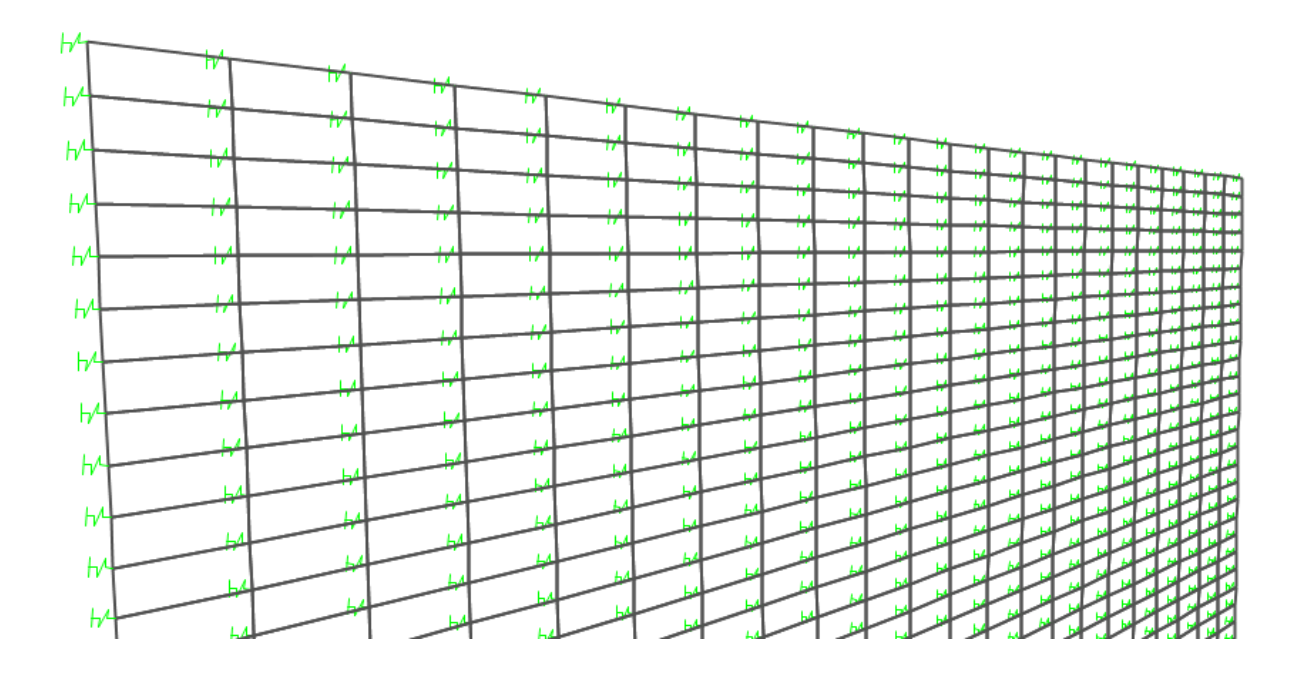


Figura 5.3. Modelo reticular con resortes del suelo.



5.2 Matriz de rigidez del suelo

El procedimiento para generar la matriz de rigidez del suelo requiere del uso del software FLEXHO o las hojas de cálculo programadas que incluyen las ecuaciones obtenidas de la integración y sus respectivos factores. Estas herramientas permiten calcular el cambio de esfuerzo aplicando la metodología de Mindlin para una carga rectangular uniforme horizontal en un punto o en una malla rectangular de nodos definidos como se muestra en la Figura 5.4.

Las limitantes que posee la hoja de cálculo son la capacidad de memoria y de procesamiento para retículas de grandes dimensiones, lo cual se traduce en tiempo y errores de sobreescritura.

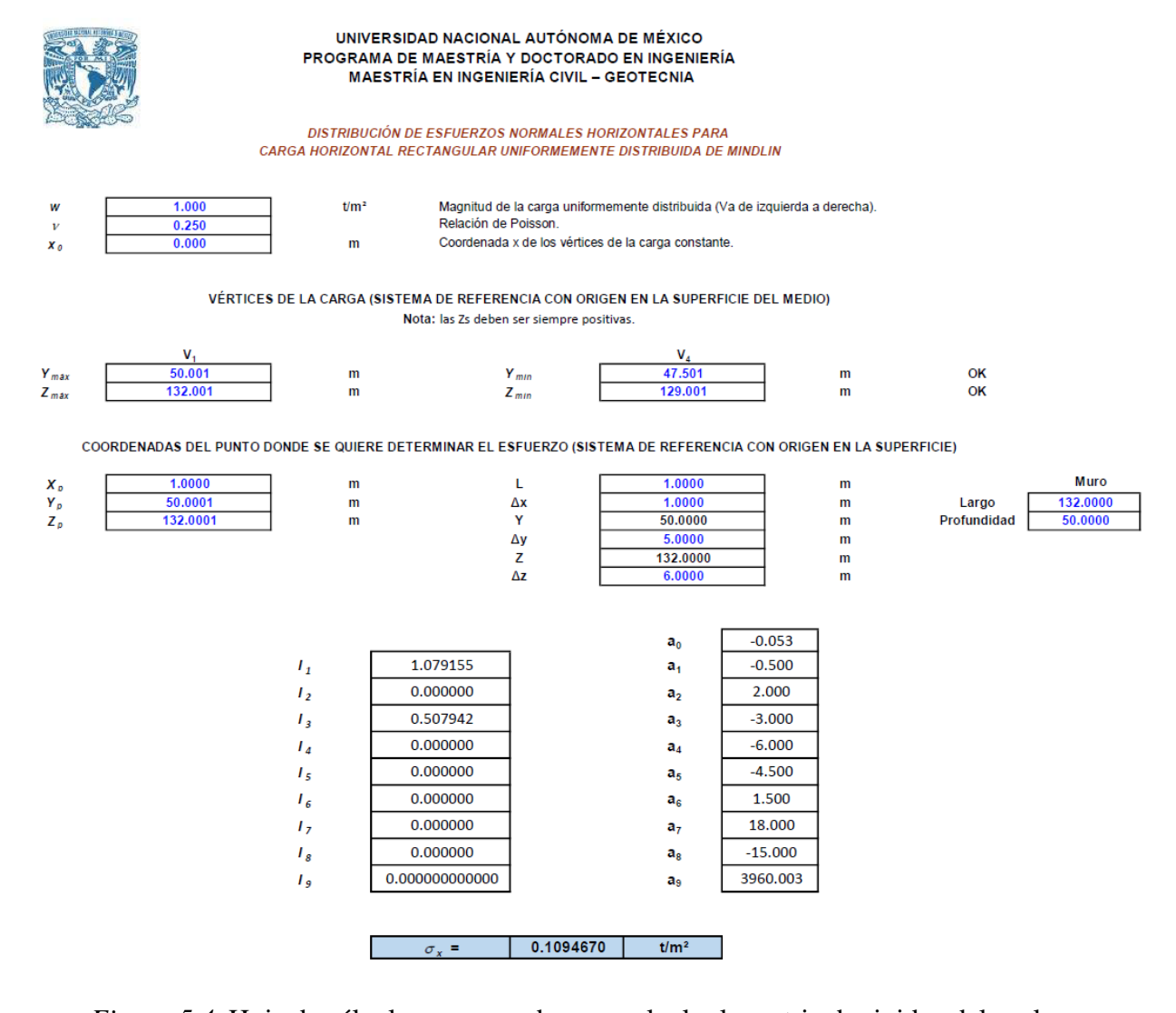


Figura 5.4. Hoja de cálculo programada para calcular la matriz de rigidez del suelo.



En los anexos se presentan las hojas de cálculo actualizadas para Mindlin en un punto, Mindlin en una retícula basados en la versión de Arvizu (2017) y la codificación en FORTRAN.

Por lo tanto, la opción óptima es el uso del programa FLEXHO que permite calcular de forma eficiente la matriz de influencia, de coordenadas, de áreas tributarias, de flexibilidad y de rigidez del suelo a partir de las dimensiones de la retícula y sus respectivos ΔX , ΔYy ΔZ de análisis.

En la Figura 5.5 se presenta el diagrama de flujo para el uso del programa, los archivos requeridos de inicio y los archivos de resultado para aplicar la metodología de interacción.

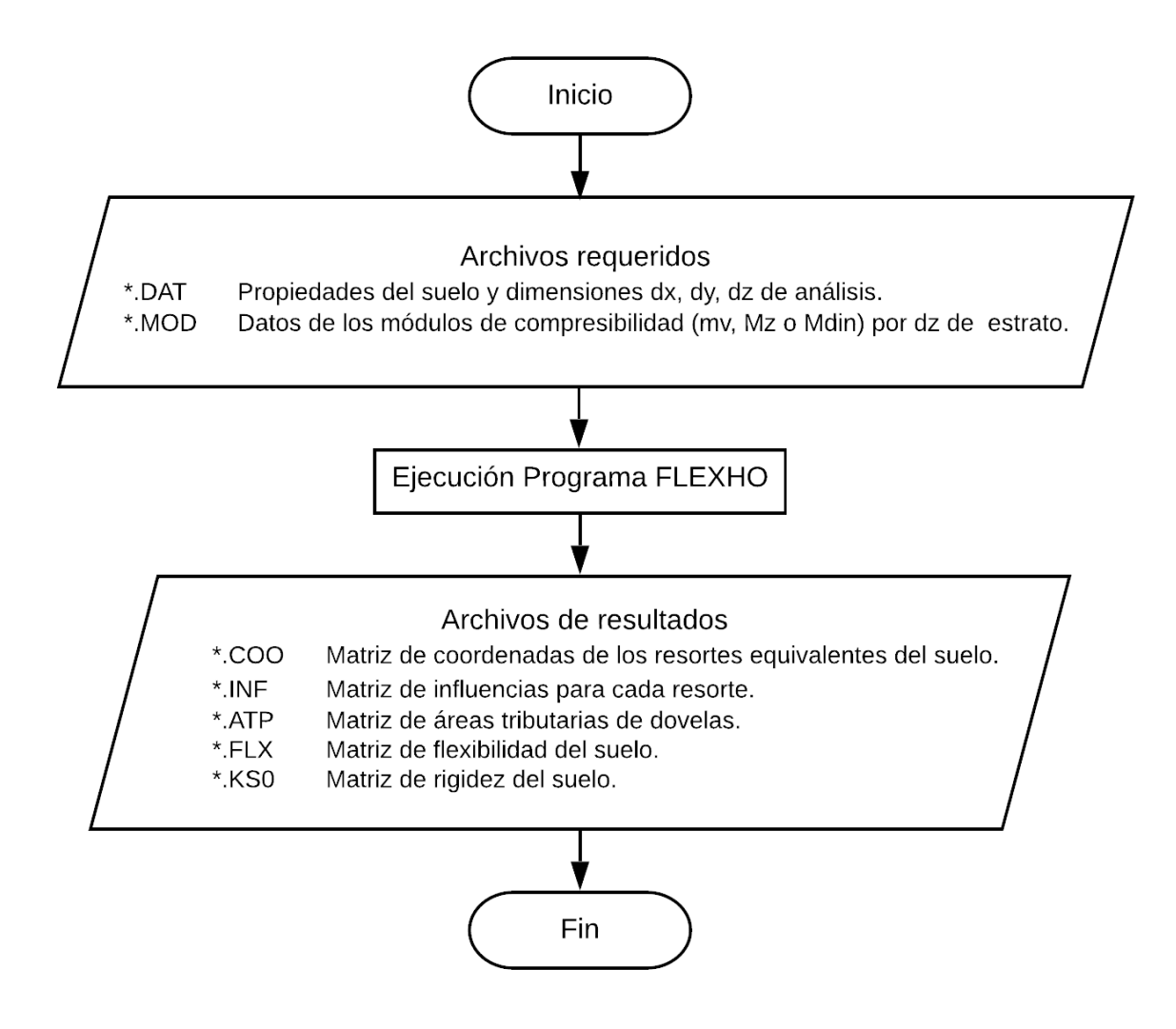


Figura 5.5. Diagrama de flujo para el programa FLEXHO.



Dentro de las principales ventajas del uso del programa se encuentran: los tiempos reducidos de procesamiento para matrices de grandes dimensiones, el uso de parámetros requeridos para el cálculo y la generación automática de una malla reticular rectangular que evita la necesidad de ingresar las coordenadas nodo por nodo.

Para aplicar la metodología de interacción es necesario calcular la matriz de rigidez del suelo por medio del programa FLEXHO. El programa como se indica en el diagrama de flujo requiere de dos archivos de inicio: el archivo de datos de propiedades básicas del modelo y el archivo de los módulos de compresibilidad del suelo.

5.2.1. Archivo de datos para el programa FLEXHO.

El archivo de datos con extensión .DAT debe contener el título del proyecto y las variables para la solución de Mindlin tales como la magnitud de la carga uniformemente distribuida w, el coeficiente de Poisson ν y la coordenada x_o de la aplicación de la carga; adicionalmente, se definen las dimensiones de la retícula y los ΔX , $\Delta Y y \Delta Z$ de análisis como se observa en la Tabla 5.1.

Tabla 5.1. Datos de la retícula de la estructura de contención para la edificación de estudio.

Dimensión	Longitud (m)	△ (m)
X	132.00	6.00
Υ	20.00	1.00
Z	50.00	1.25

En la Figura 5.6 se muestra la captura del archivo de datos del programa para el caso de estudio.

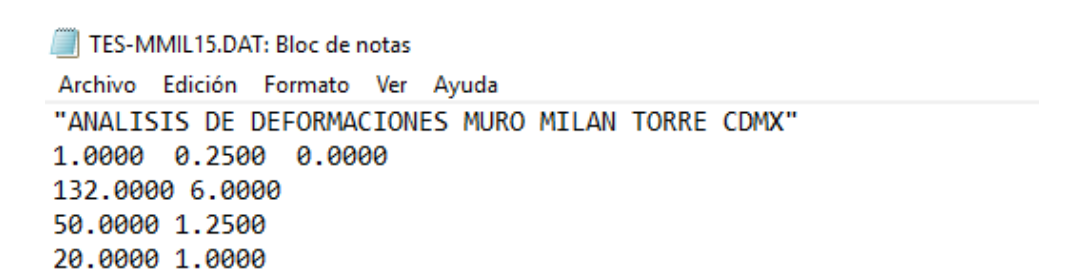


Figura 5.6. Archivo de datos .DAT para el programa FLEXHO.

5.2.2. Archivo de módulos de compresibilidad para el programa FLEXHO.

Los módulos de compresibilidad M para la estratigrafía del terreno se obtienen a partir de más de 71 ensayos de compresión triaxial UU de los 6 sondeos ejecutados. Se calcula el módulo E_{50} y su inverso promedio equivale al módulo de compresibilidad M como se indica en la Tabla 5.2.

Tabla 5.2. Módulos M para la estratigrafía en el terreno de análisis.

Estrato	d _i (m)	E (t/m²)	Mej (m²/t)	Estrato	d _i (m)	E (t/m²)	Mej (m²/t)	Estrato	d _i (m)	E (t/m ²)	Mej (m²/t)
1	0.63	1050.0	0.00095238	15	1.25	18.13	570.0	0.00175439	29	1.25	35.63
2	1.25	950.0	0.00105263	16	1.25	19.38	500.0	0.00200000	30	1.25	36.88
3	1.25	850.0	0.00117647	17	1.25	20.63	940.0	0.00106383	31	1.25	38.13
4	1.25	850.0	0.00117647	18	1.25	21.88	650.0	0.00153846	32	1.25	39.38
5	1.25	430.0	0.00232558	19	1.25	23.13	670.0	0.00149254	33	1.25	40.63
6	1.25	520.0	0.00192308	20	1.25	24.38	410.0	0.00243902	34	1.25	41.88
7	1.25	530.0	0.00188679	21	1.25	25.63	510.0	0.00196078	35	1.25	43.13
8	1.25	390.0	0.00256410	22	1.25	26.88	510.0	0.00196078	36	1.25	44.38
9	1.25	680.0	0.00147059	23	1.25	28.13	510.0	0.00196078	37	1.25	45.63
10	1.25	680.0	0.00147059	24	1.25	29.38	510.0	0.00196078	38	1.25	46.88
11	1.25	640.0	0.00156250	25	1.25	30.63	610.0	0.00163934	39	1.25	48.13
12	1.25	520.0	0.00192308	26	1.25	31.88	610.0	0.00163934	40	1.25	49.38
13	1.25	520.0	0.00192308	27	1.25	33.13	610.0	0.00163934	41	0.63	50.00
14	1.25	860.0	0.00116279	28	1.25	34.38	610.0	0.00163934			

En la Figura 5.7 se muestra la captura del archivo de módulos de compresibilidad M [m 2 /t] del programa para el caso de estudio.

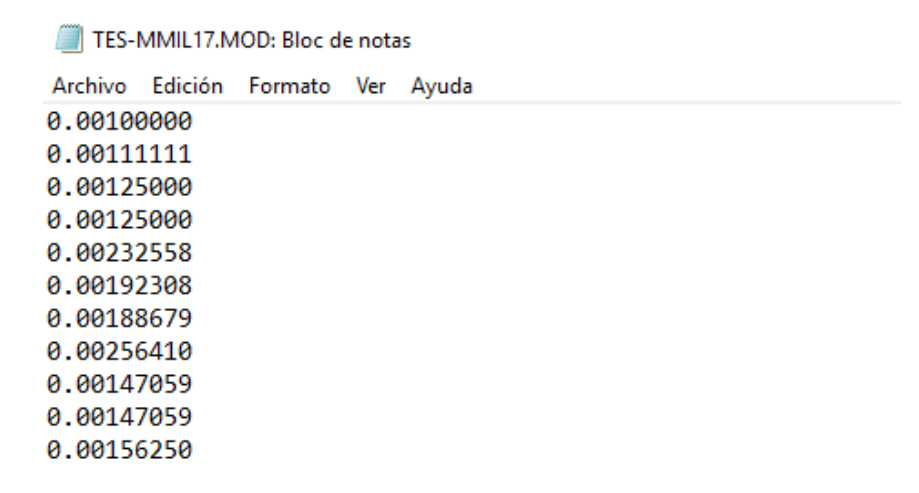


Figura 5.7. Archivo de módulos de compresibilidad .MOD para el programa FLEXHO.



Ya que se cuenta con los dos archivos de entrada, se procede a ejecutar el programa FLEXHO indicando el nombre de la familia de archivos sin extensión para iniciar el cálculo de la matriz de rigidez del suelo como se muestra en la Figura 5.8.

```
F L E X H O

PROGRAMA PARA EL CALCULO DE MATRIZ DE
INFLUENCIA, INCREMENTOS DE ESFUERZO,
FLEXIBILIDADES Y RIGIDECES HORIZONTALES
EN LA MASA DEL SUELO PARA
ANALISIS DE INTERACCION
SUELO - CIMENTACION - ESTRUCTURA

Version 19.1

*** A D V E R T E N C I A ***
LOS AUTORES DE ESTE PROGRAMA NO SE HACEN RESPONSABLES
POR EL USO INDEBIDO DEL MISMO NI POR LOS RESULTADOS QUE ARROJE

INDIQUE NOMBRE DE LA FAMILIA DE ARCHIVOS (Sin extension)
(e.j. XYZ) ---> TES-MMIL15

P R O Y E C T O D E A N A L I S I S
ANALISIS DE DEFORMACIONES MURO MILAN TORRE CDMX
```

Figura 5.8. Inicio del programa FLEXHO.

El menú final de impresión permite guardar cada matriz en archivos independientes para su posterior uso como se muestra en la Figura 5.9; en los Anexos se presenta el instructivo del programa.



Figura 5.9. Opciones de impresión del programa FLEXHO.

5.3 Matriz de interacción suelo – estructura de contención.

La siguiente etapa requiere del uso del programa EMISES3D para calcular la matriz de rigidez de la estructura e integrarla con la matriz de rigidez del suelo; este análisis de interacción permite obtener las deformaciones (desplazamientos lineales y angulares), los elementos mecánicos (fuerza axial y cortante, momento flexionante y torsionante), como también la distribución de reacciones en las áreas tributarias de los nodos del modelo.

En la Figura 5.10 se presenta el diagrama de flujo para el uso del programa EMISES3D, los archivos de inicio y el archivo de resultado del análisis de interacción ISE.

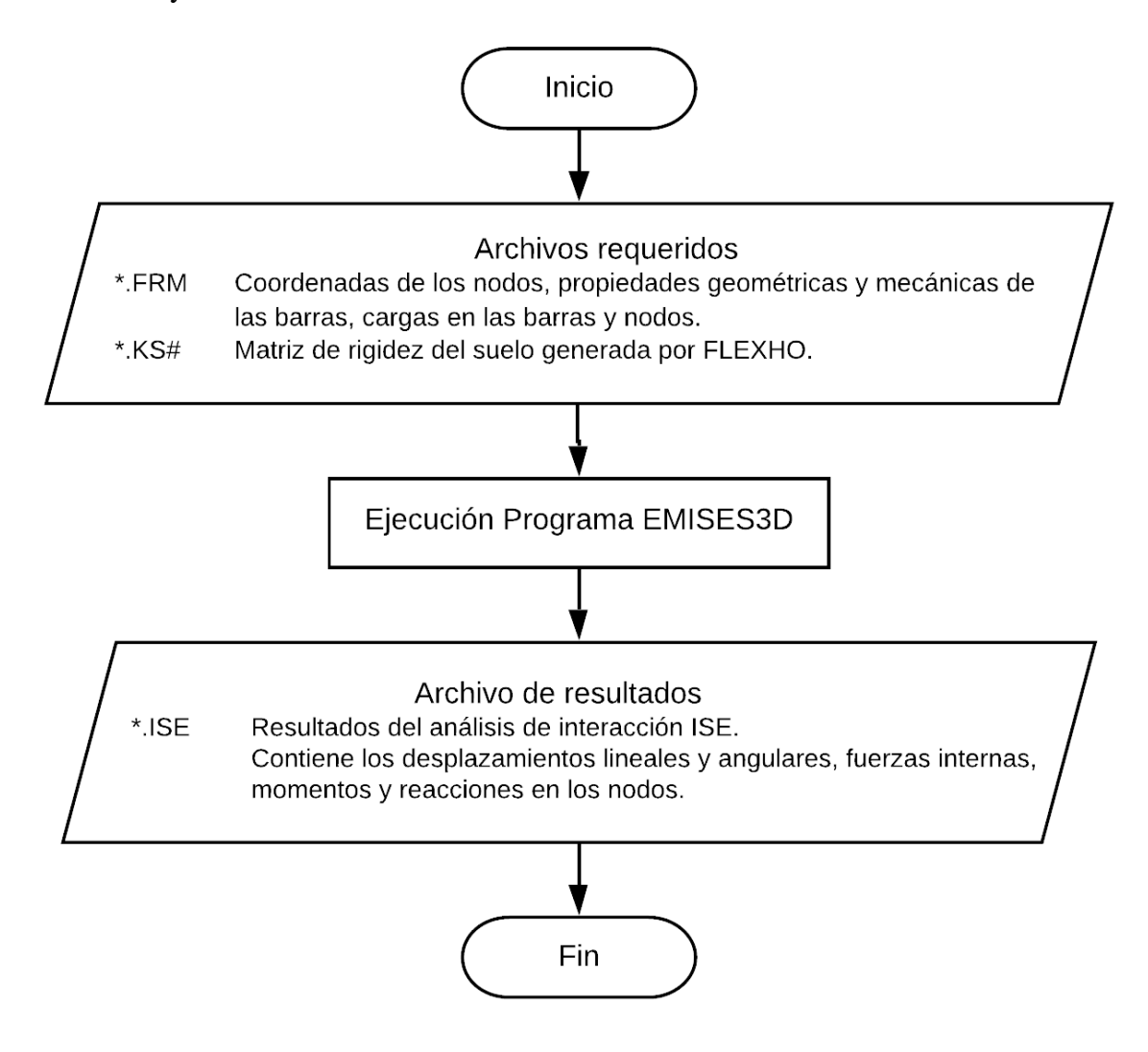


Figura 5.10. Diagrama de flujo para el programa EMISES3D.

Los programas FLEXHO y EMISES3D son las herramientas que se utilizaron para analizar secuencialmente el procedimiento constructivo en la edificación de estudio. De esta forma, se calculan por etapas sus respectivas variaciones de esfuerzo, las condiciones de carga y las deformaciones obtenidas por medio del método de interacción para ser directamente comparado con los resultados obtenidos de la campaña de instrumentación geotécnica de la obra.

5.3.1. Etapas constructivas de análisis

La edificación principal requiere de la construcción de sótanos aplicando el método "Top-Down" que utiliza como sistema de contención el muro Milán, la tablestaca metálica y la mega zapata estructural perimetral, por lo cual, se detallan a continuación las etapas constructivas a modelar de la excavación.

Etapa 1. Construcción del muro Milán.

En el perímetro definido de la edificación se construye el muro Milán con módulos de 6.0 m que suman una longitud total de 132 m a lo largo; para esta sección de la obra el muro inicia desde los -8.0 m y alcanza los -50.0 con el nivel de referencia 0.00 m de la banqueta lateral ya que requiere la construcción de la mega zapata estructural en la parte superior.

Etapa 2. Instalación de la tablestaca metálica 1.

Construido el muro, se instala una tablestaca metálica XZ95 (fy = 3 515 kg/cm²) a lo largo del perímetro de 12 m de profundidad desde el nivel de referencia 0.00 m de la banqueta.

Etapa 3. Excavación a -5.00 m e instalación de la tablestaca metálica 2.

Se excava al nivel -5.00 m en el terreno, se instala una segunda tablestaca metálica XZ95 (fy = 3 515 kg/cm²) paralela a la primera a 5.5 m, con 12 m de profundidad desde el nivel -5.00 m a los -17.00 m como se observa en la Figura 5.12.

El muro Milán y la tablestaca metálica 1 se instalan paralelas por lo cual se analizan como una sola retícula, en donde las propiedades de los elementos viga representan cada tipo de material y su resistencia a cada profundidad.

En la Figura 5.11 se representa la etapa 1 y 2 descritas para la construcción del muro e instalación de la tablestaca metálica 1.

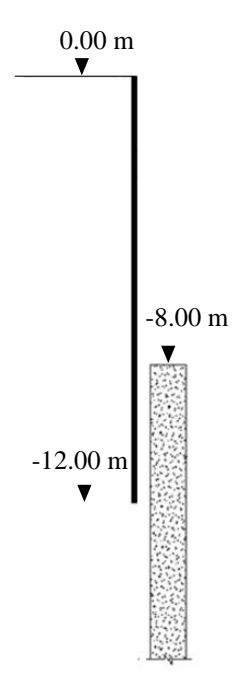


Figura 5.11. Etapa 1 y 2 del proceso de excavación en la obra.

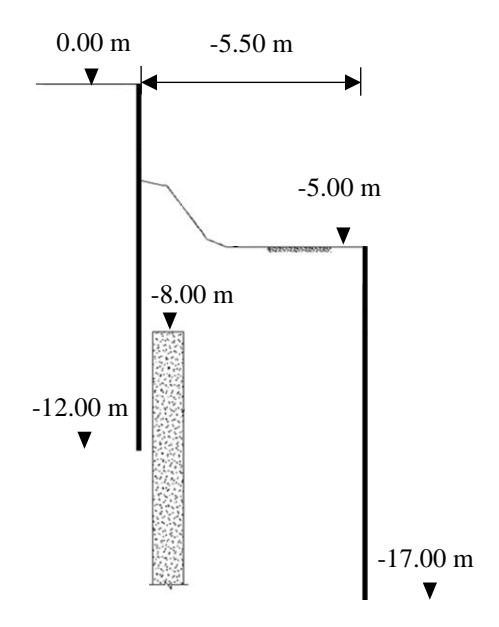


Figura 5.12. Etapa 3 del proceso de excavación de la obra.

Etapa 4. Instalación de vigas madrina y puntales metálicos.

Se instalan vigas madrina construidas con placas metálicas de 1.5" de espesor en sección I al nivel -3.75 m del nivel de referencia (fy = 3 515 kg/cm²) y se colocan puntales metálicos inclinados con un diámetro de 12" (fy = 3 515 kg/cm²) como se muestra en la Figura 5.13.

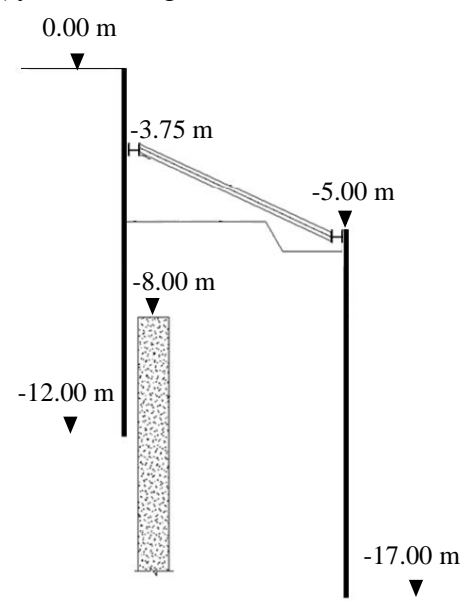


Figura 5.13. Etapa 4 del proceso de excavación de la obra.

En la Figura 5.14 se presenta una sección de la retícula del modelo con sus elementos.

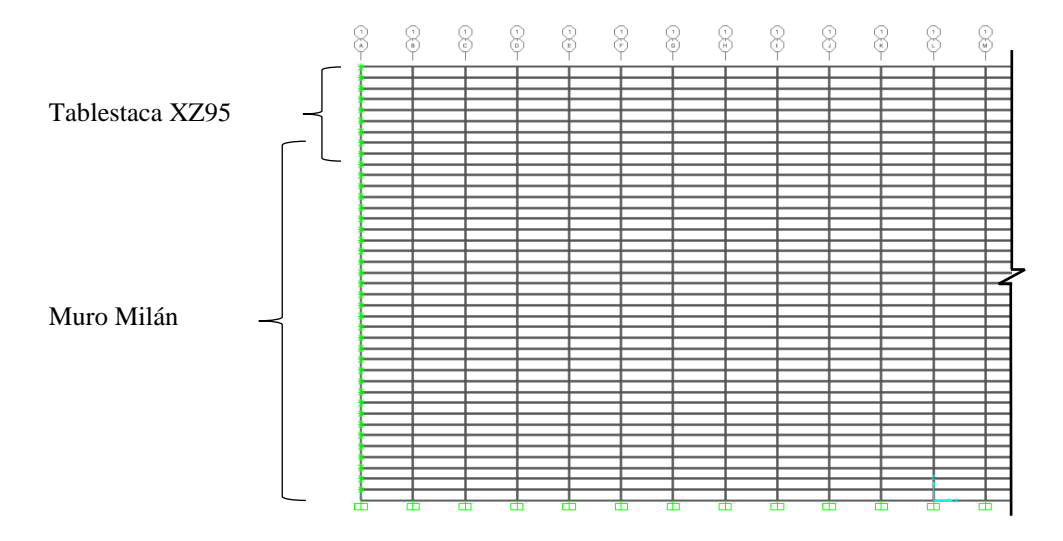


Figura 5.14. Definición de propiedades de la retícula en el modelo.

Etapa 5. Excavación a -8.10 con puntales metálicos.

Se realiza la excavación entre las dos tablestacas al nivel -8.10 m desde el nivel de referencia dejando descubierta la cabeza del muro Milán y restringiendo la excavación con los puntales metálicos inclinados (Figura 5.15).

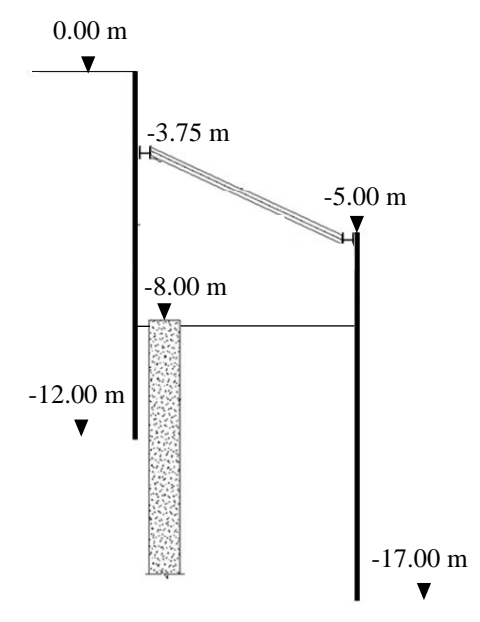


Figura 5.15. Etapa 5 del proceso de excavación de la obra.

Etapa 6. Construcción parcial del primer tramo de la mega zapata.

Luego de realizada la excavación a -8.10 m y descabezado el muro Milán se inicia la construcción sobre éste de la primera mitad de la mega zapata (Figura 5.16).

Etapa 7. Retiro de puntales.

Para continuar con la construcción de la mega zapata sobre el muro Milán se deben retirar los puntales de retención (Figura 5.17).

Etapa 8. Construcción total de la mega zapata.

Se finaliza la construcción de la mega zapata en todo el perímetro de la excavación (Figura 5.18).



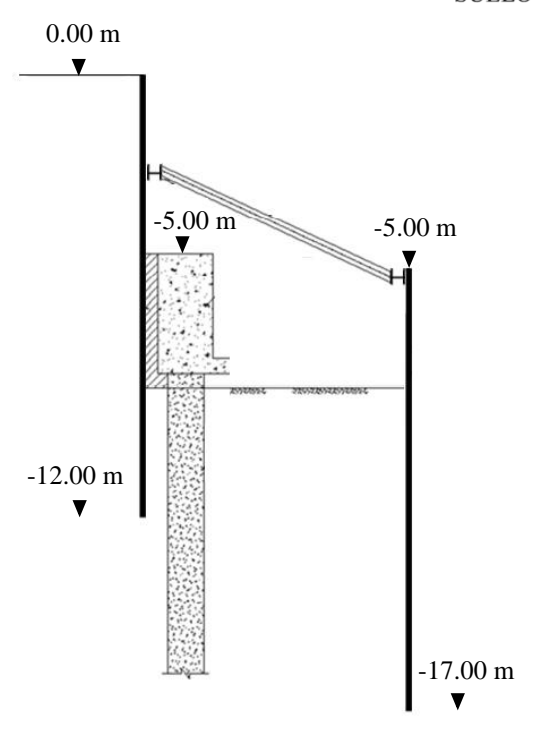


Figura 5.16. Etapa 6 del proceso de excavación de la obra.

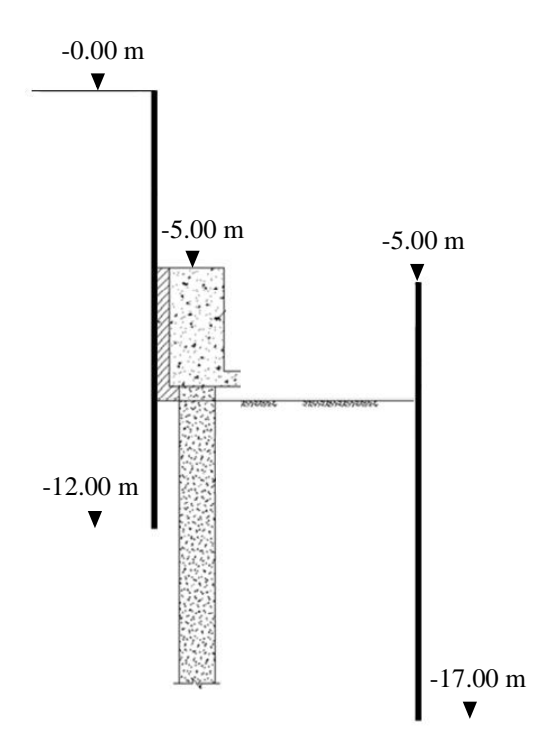


Figura 5.17. Etapa 7 del proceso de excavación de la obra.

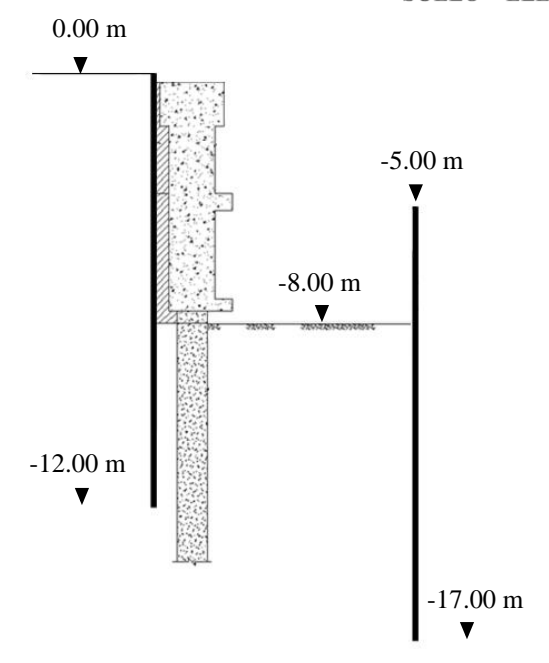


Figura 5.18. Etapa 8 del proceso de excavación de la obra.

Las etapas principales para el análisis de interacción son el número: 3, 5, 6 y 7; estas etapas son en las que los procesos constructivos tienen mayor influencia, es decir, aquellas donde existe un cambio de esfuerzos de gran magnitud o cambio de presiones laterales debido a la excavación de material o construcción de elementos de contención.

En las cuatro etapas a modelar se aplican diversas metodologías para estimar los cambios dentro de la masa del suelo como lo son: la solución de Boussinesq (1885) y Holl (1940) debido a una carga vertical uniformemente distribuida en un área rectangular y la solución de Terzaghi y Carothers para una carga vertical uniforme de área rectangular con ancho finito y longitud infinita.

A continuación, se describen las soluciones utilizadas para cada una de las etapas:

- **Etapa 3:** se calcula el incremento de esfuerzo producido por el tránsito vehicular en la Avenida Reforma (1.5 t/m²) con el criterio de Terzaghi y Carother, se calcula el alivio de esfuerzo producido por el retiro de la cimentación antigua (-2.5 t/m²) aplicando la solución de Holl (1940) y se calculan las presiones laterales debidas a la excavación a -5.00 m.
- **Etapa 5 y 6:** se calculan las presiones laterales debidas a la excavación a -8.10 m.
- **Etapa 7:** se calcula la carga que soportan los puntales en la etapa 6 para ser aplicada directamente a la retícula como carga en los nodos al nivel -3.75 m.

Se presenta en la Tabla 5.3 el resumen de las propiedades de la tablestaca metálica XZ95, el muro Milán y la mega zapata que fueron utilizadas asignar a cada una de las barras del modelo sus propiedades en el modelo de interacción.

Como se indica en la Figura 5.13 y en la Figura 5.14 la zona de traslape entre el muro Milán y la tablestaca XZ95 equivale a 4.0 m; para modelar la zona de traslape se modifican las propiedades de las barras que se encuentran a esa profundidad, sumando los módulos de elasticidad de los dos elementos de contención, es decir, en esa sección las barras tienen un módulo de elasticidad de 23 000 000 t/m².

Tabla 5.3. Propiedades de los elementos de contención del modelo de interacción.

Elemento de contención	E (t/m2)	ν
Tablestaca metálica XZ95	21 000 000	0.3
Zona de traslape	23 000 000	0.3
Muro Milán	2 000000	0.2
Mega Zapata	2 000000	0.2

En la Etapa 6 se hace uso de un material de relleno seleccionado y compactado entre la tablestaca y la mega zapata; debido a las propiedades de este material (Tabla 5.4), se considera que transmite los empujes directamente a los elementos estructurales de contención.

Tabla 5.4. Propiedades del material de relleno entre la tablestaca y la mega zapata.

γ (t/m3)	c (t/m2)	φ (°)	E (t/m2)	ν
1.6	3	30	2 000	0.3

Dado que en la Etapa 5 y 6 están actuando los puntales metálicos inclinados, los desplazamientos horizontales serán mínimos por la restricción que producen estos elementos de contención. En la Etapa 6 se obtiene por medio de EMISES3D las fuerzas de reacción que soportan los puntales metálicos.

La fuerza de reacción estimada a partir del análisis de interacción de la Etapa 6, se aplica en la Etapa 7 al nivel en donde se encontraban los puntales. En la Etapa 7, la rigidez del muro Milán y la mitad de la mega zapata restringen el desplazamiento de la masa del suelo, sin embargo, aún existe un tramo superior equivalente a 5 m en donde actúa la tablestaca metálica como elemento de contención, por lo cual, se continúan generando desplazamientos horizontales hasta que se finalice la construcción del tramo de la mega zapata, rigidizando el modelo de interacción.

Luego de calcular las cargas para las etapas mencionadas se debe estimar el área de influencia de cada una de las barras horizontales dentro del modelo como se observa en la Figura 5.19. De esta manera, se reparten las cargas en sentido horizontal aplicando el concepto de áreas tributarias utilizado en análisis estructural, es decir, se calcula para las barras de 6 metros de longitud la carga lineal uniforme correspondiente.

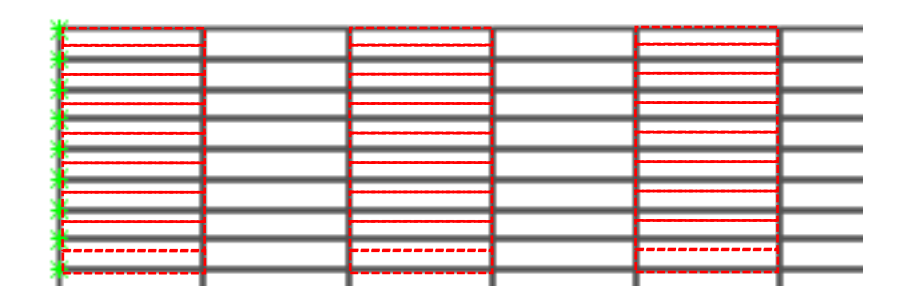


Figura 5.19. Áreas tributarias para las barras horizontales del modelo.

Por lo tanto, al aplicar esta metodología se obtienen áreas tributarias de 7 m² (6.0 m x 1.25 m) y 3.5 m² (6.0 m x 0.625 m) respectivamente. Considerando que las cargas se encuentran en [t/m²] se requiere calcular su equivalencia en [t/m] para poder incluir en el archivo de datos .FRM las cargas lineales uniformes de cada las barras de la retícula como se muestra en la Figura 5.20.

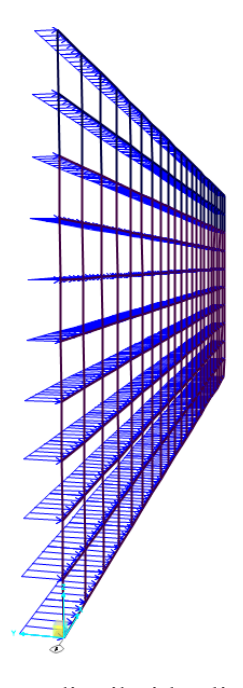


Figura 5.20. Asignación de cargas distribuidas lineales uniformes en el modelo.



5.3.2. Ejecución del programa EMISES3D

Se requiere la creación de un archivo base .FRM como se muestra en el diagrama de flujo de la Figura 5.10 que contenga los datos geométricos de la retícula a modelar, las coordenadas de los nodos, la definición de las barras, sus propiedades elásticas y las cargas calculadas anteriormente para cada etapa de análisis.

A partir de los archivos de entrada se ejecuta para cada una de las etapas el programa como se observa en la Figura 5.21 para obtener como resultado la matriz de interacción suelo - estructura conocida como EMISES. El programa genera un archivo de resultados ISE en donde se encuentran los desplazamientos de los nodos, las reacciones en los apoyos y los elementos mecánicos.

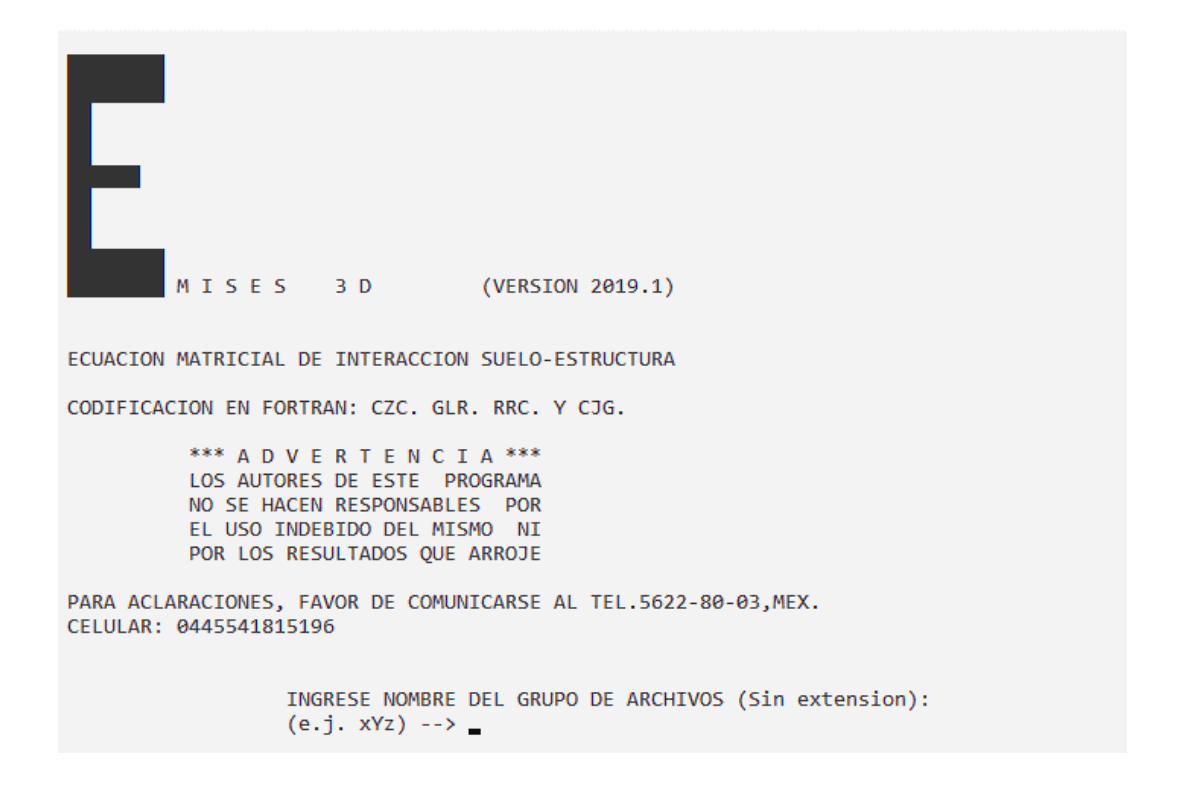


Figura 5.21. Inicio del programa EMISES3D.

En los Anexos se presentan los archivos de datos .FRM y las matrices de rigidez del suelo para las etapas de modelado, el código de programación en FORTRAN y las cargas calculadas en cada etapa; adicionalmente, se anexa una figura del modelo reticular utilizado para el análisis de interacción con su respectiva numeración de nodos y barras.

5.4 Análisis de interacción suelo – estructura

El modelo reticular analizado se define por 943 nodos y 1 822 barras, en donde cada uno de los nodos posee seis grados de libertad generando un sistema matricial de 5 658 ecuaciones; este sistema de ecuaciones se reduce si se restringe el giro o el desplazamiento, lo cual favorece a los tiempos de cálculo y el uso de la memoria de procesamiento.

Al realizar el análisis de interacción suelo - estructura se obtuvieron los desplazamientos horizontales para cada etapa presentados en la Tabla 5.5 y se grafican en la Figura 5.22.

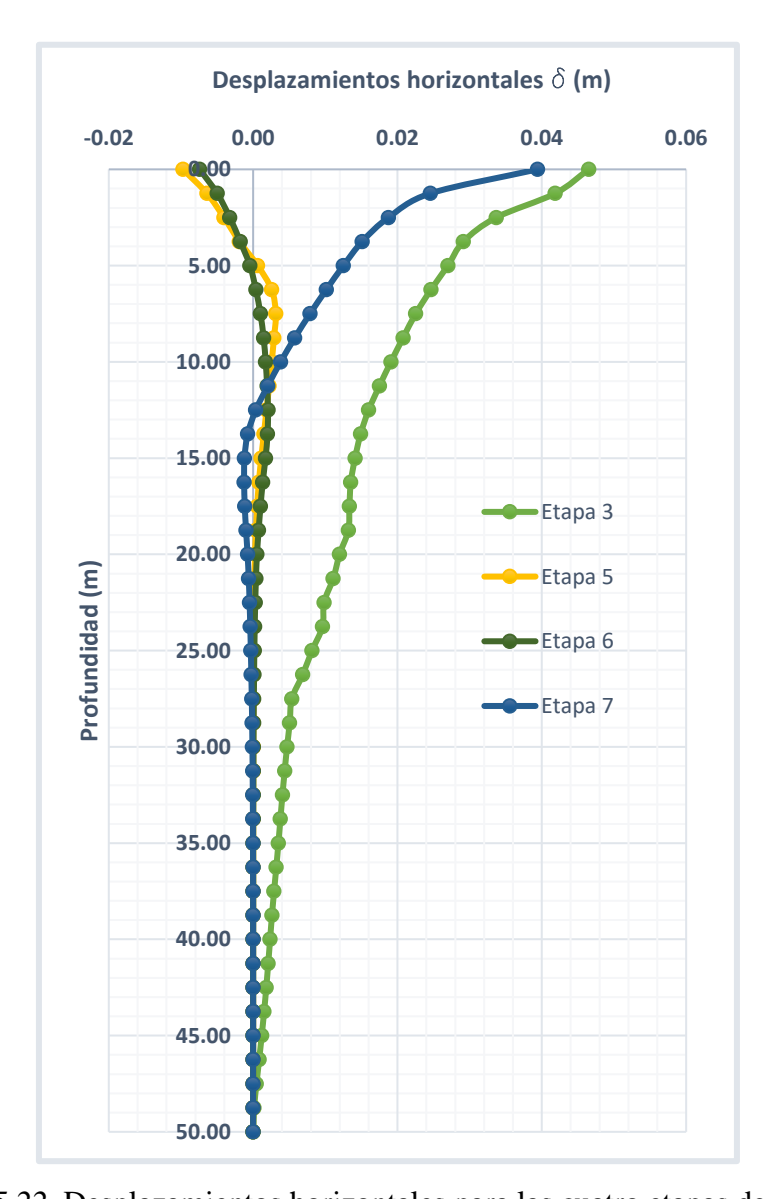


Figura 5.22. Desplazamientos horizontales para las cuatro etapas de análisis.



Tabla 5.5. Resultados del análisis de interacción por etapas.

N° Nodo	Prof. (m)	Etapa 3 (m)	Etapa 5 (m)	Etapa 6 (m)	Etapa 7 (m)
7	0.00	0.046500	-0.00972	-0.00740	0.039420
30	1.25	0.041860	-0.00640	-0.00498	0.024550
53	2.50	0.033690	-0.00404	-0.00323	0.018760
76	3.75	0.029140	-0.00190	-0.00179	0.015110
99	5.00	0.026990	0.00063	-0.00043	0.012510
122	6.25	0.024640	0.00257	0.00038	0.010140
145	7.50	0.022520	0.00314	0.00101	0.007880
168	8.75	0.020780	0.00289	0.00145	0.005770
191	10.00	0.019090	0.00257	0.00174	0.003810
214	11.25	0.017500	0.00222	0.00193	0.002020
237	12.50	0.016010	0.00185	0.00206	0.000370
260	13.75	0.014890	0.00149	0.00200	-0.000760
283	15.00	0.014120	0.00112	0.00171	-0.001200
306	16.25	0.013530	0.00079	0.00133	-0.001250
329	17.50	0.013340	0.00057	0.00102	-0.001160
352	18.75	0.013190	0.00039	0.00076	-0.000980
375	20.00	0.011980	0.00026	0.00053	-0.000770
398	21.25	0.011100	0.00018	0.00039	-0.000610
421	22.50	0.009830	0.00013	0.00029	-0.000490
444	23.75	0.009610	0.00010	0.00022	-0.000400
467	25.00	0.008160	0.00007	0.00017	-0.000320
490	26.25	0.006870	0.00005	0.00013	-0.000250
513	27.50	0.005370	0.00004	0.00010	-0.000190
536	28.75	0.005070	0.00003	0.00007	-0.000140
559	30.00	0.004700	0.00002	0.00005	-0.000100
582	31.25	0.004370	0.00002	0.00004	-0.000070
605	32.50	0.004060	0.00001	0.00003	-0.000050
628	33.75	0.003780	0.00001	0.00002	-0.000030
651	35.00	0.003500	0.00001	0.00001	-0.000020
674	36.25	0.003210	0.00001	0.00001	-0.000010
697	37.50	0.002900	0.00001	0.00001	-0.000010
720	38.75	0.002610	0.00000	0.00001	0.000000
743	40.00	0.002350	0.00000	0.00000	0.000000
766	41.25	0.002090	0.00000	0.00000	0.000000
789	42.50	0.001820	0.00000	0.00000	0.000000
812	43.75	0.001520	0.00000	0.00000	0.000000
835	45.00	0.001190	0.00000	0.00000	0.000000
858	46.25	0.000830	0.00000	0.00000	0.000000
881	47.50	0.000460	0.00000	0.00000	0.000000
904	48.75	0.000140	0.00000	0.00000	0.000000
927	50.00	0.000000	0.00000	0.00000	0.000000



Es importante estimar las propiedades de los elementos que van a representar la estructura de contención, ya que son estas las que soportan el modelo de comportamiento esfuerzo – deformación. Por lo tanto, los parámetros de resistencia como el módulo elástico y la relación de Poisson, y los parámetros geométricos como el área y los momentos de inercia requieren ser calculados a detalle debido a que intervienen directamente en la rigidez de los elementos de la retícula en diferentes etapas constructivas.

De esta forma, se evidencia que los desplazamientos horizontales correspondientes a las etapas 3 y 7 son los de mayor magnitud debido al proceso constructivo que se modela; estos procesos corresponden a la excavación general de -5.0 m y a la construcción del segundo tramo de la mega zapata dejando una sección de la tablestaca metálica libre soportando los empujes laterales y las cargas transmitidas del terreno.

Los desplazamientos horizontales obtenidos por etapas a partir de los -8.0 metros de profundidad son menores a 1 cm, debido a que se encuentra actuando la rigidez del muro Milán combinado con la restricción lateral de los puntales metálicos inclinados (Etapa 5 y 6), y la construcción de la mega zapata (Etapa 6, 7 y 8).

De igual manera, los mayores desplazamientos se alcanzan desde el nivel 0.0 m hasta -8.0 m de profundidad debido a que la tablestaca metálica es la que actúa directamente como soporte y se encuentra conteniendo los empujes laterales al momento de realizar la excavación.

Al modelar la construcción de la primera mitad de la mega zapata y el muro Milán de la etapa 7, el comportamiento de la retícula es mucho más rígido que en las anteriores etapas debido al cambio de las propiedades de resistencia, es decir, la sección de la retícula del nivel -5.00 m a -8.00 m que anteriormente representaba solamente la tablestaca metálica ahora representa la tablestaca y la mega zapata con la rigidez de ambos elementos.

A continuación, se desea comparar el reporte del inclinómetro "INC-01" ubicado en el mismo eje de la estructura de contención contra los resultados obtenidos del análisis de interacción suelo – estructura. Para generar la gráfica final, se van acumulando los desplazamientos horizontales obtenidos a profundidad por etapas como se observa en la Tabla 5.6.



Tabla 5.6. Resultados del análisis de interacción acumulado por etapas.

N° Nodo	Prof. (m)	Etapa 3 (m)	Etapa 5 (m)	Etapa 6 (m)	Etapa 7 (m)
7	0.00	0.04849	0.04005	0.03353	0.06834
30	1.25	0.03551	0.02954	0.02488	0.05057
53	2.50	0.02698	0.02292	0.01965	0.03933
76	3.75	0.02203	0.01995	0.01799	0.03379
99	5.00	0.01947	0.01991	0.01932	0.03231
122	6.25	0.01689	0.01930	0.01953	0.03003
145	7.50	0.01476	0.01776	0.01864	0.02678
168	8.75	0.01313	0.01589	0.01723	0.02317
191	10.00	0.01153	0.01399	0.01564	0.01955
214	11.25	0.00999	0.01211	0.01397	0.01602
237	12.50	0.00852	0.01030	0.01230	0.01264
260	13.75	0.00731	0.00873	0.01068	0.00985
283	15.00	0.00643	0.00750	0.00917	0.00789
306	16.25	0.00577	0.00653	0.00783	0.00651
329	17.50	0.00543	0.00597	0.00697	0.00575
352	18.75	0.00521	0.00558	0.00632	0.00529
375	20.00	0.00503	0.00527	0.00579	0.00499
398	21.25	0.00507	0.00524	0.00562	0.00498
421	22.50	0.00519	0.00531	0.00559	0.00508
444	23.75	0.00534	0.00543	0.00565	0.00523
467	25.00	0.00537	0.00543	0.00559	0.00526
490	26.25	0.00530	0.00535	0.00547	0.00521
513	27.50	0.00515	0.00518	0.00527	0.00507
536	28.75	0.00492	0.00495	0.00502	0.00487
559	30.00	0.00463	0.00465	0.00470	0.00460
582	31.25	0.00434	0.00435	0.00438	0.00431
605	32.50	0.00405	0.00406	0.00408	0.00403
628	33.75	0.00377	0.00378	0.00380	0.00377
651	35.00	0.00348	0.00349	0.00350	0.00348
674	36.25	0.00318	0.00319	0.00320	0.00319
697	37.50	0.00287	0.00287	0.00288	0.00287
720	38.75	0.00257	0.00257	0.00258	0.00258
743	40.00	0.00228	0.00228	0.00228	0.00228
766	41.25	0.00199	0.00199	0.00199	0.00199
789	42.50	0.00168	0.00168	0.00168	0.00168
812	43.75	0.00136	0.00136	0.00136	0.00136
835	45.00	0.00103	0.00103	0.00103	0.00103
858	46.25	0.00068	0.00068	0.00068	0.00068
881	47.50	0.00036	0.00036	0.00036	0.00036
904	48.75	0.00011	0.00011	0.00011	0.00011
927	50.00	0.00000	0.00000	0.00000	0.00000

En la Figura 5.23 se observa que los desplazamientos horizontales acumulados al finalizar la Etapa 7 presentan una tendencia similar al reporte del inclinómetro "INC-01" ubicado en el mismo eje de la estructura de contención; a la vez, se identifica que los valores máximos calculados y reportados al nivel 0.00 m son equivalentes a los 7 $cm \pm 0.1$ de deformación.

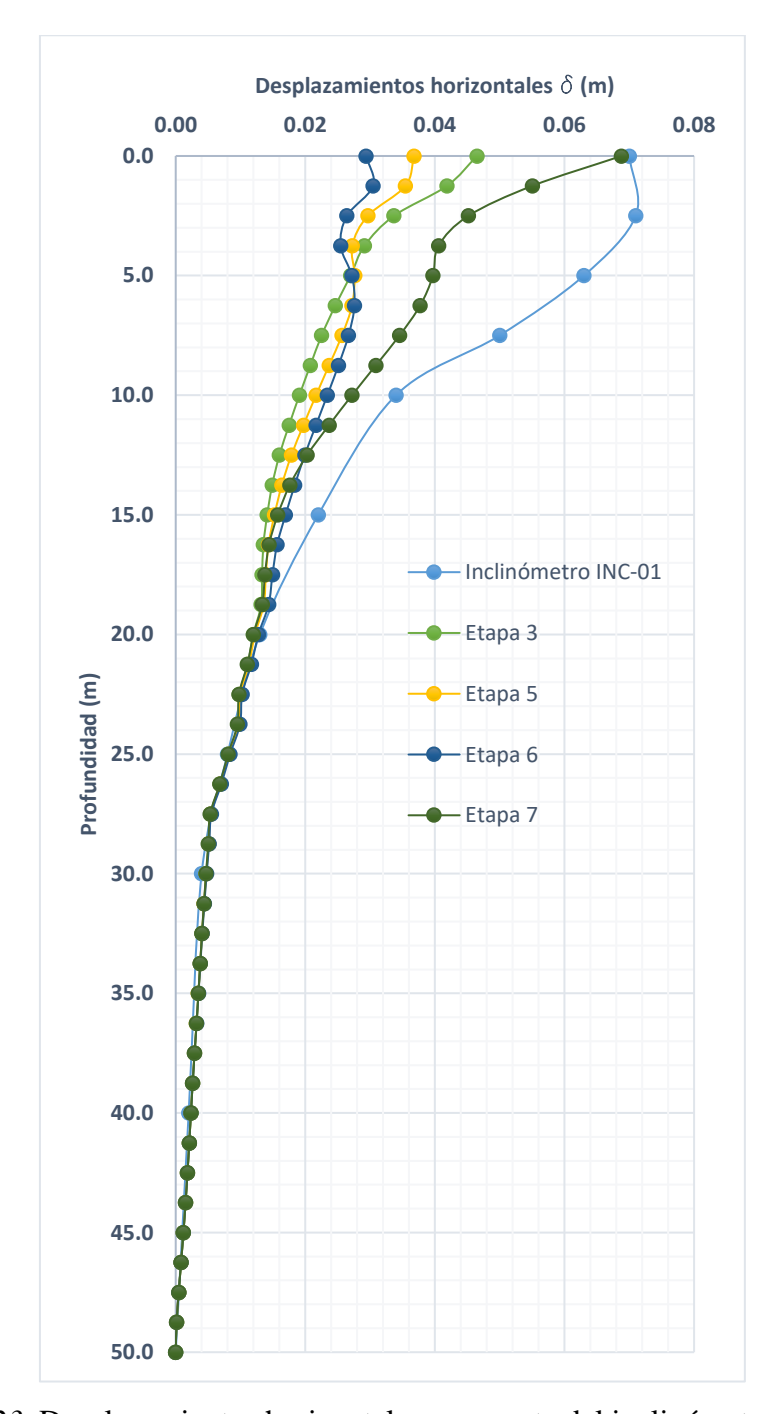


Figura 5.23. Desplazamientos horizontales vs reporte del inclinómetro "INC-01".



MODELACIÓN DEL PROCEDIMIENTO CONSTRUCTIVO DE UNA EXCAVACIÓN CON INTERACCIÓN SUELO – ELEMENTO DE CONTENCIÓN

En términos generales, la aplicación de la metodología de interacción suelo – estructura fue útil para calcular los efectos generados durante las etapas constructivas de la excavación. Por lo tanto, dentro de los alcances de ingeniería se debería considerar este método como una herramienta práctica para el cálculo de deformaciones y reacciones en una edificación.

Debido a la rigidez que aporta el muro Milán a profundidad se evidencia que los desplazamientos unitarios calculados y reportados desde los -15.0 m no superan los 0.5 cm en ninguna de las etapas modeladas y la diferencia entre los valores no supera el 6%; por esta razón, se podría afirmar que el uso de este tipo de muro y acompañado de un diseño óptimo favorece al control de las deformaciones en el terreno.

A pesar que al nivel 0.0 m se alcanzan los mismos desplazamientos del análisis de interacción con el inclinómetro "INC-01", se observa que los desplazamientos obtenidos hasta una profundidad de 15 m presentan una diferencia con respecto a los valores reportados de entre un 20% y 30% aproximadamente.

Por lo tanto, es necesario evaluar si el uso de los 3 diferentes elementos de contención para realizar el proceso de excavación fueron la mejor opción para controlar las deformaciones en el terreno, debido a que los desplazamientos calculados y los reportados son de magnitudes considerables que afectan directamente al estado de esfuerzos en el terreno y podrían llegar a inducir superficies de falla dentro de la obra.

Cabe señalar que en el modelo de interacción se replicaron las condiciones teóricas de diseño en cada una de las etapas constructivas mencionadas, sin embargo, posiblemente hubo afectación en el proceso de excavación o en la construcción de los elementos derivado de posibles filtraciones de agua (se menciona la existencia de tuberías de agua viejas dentro de la zona de excavación), cargas excesivas aplicadas en las plataformas de trabajo por el material o los equipos de la obra, entre otros factores, que favorecieron a incrementar los desplazamientos reportados por el inclinómetro y que no son posibles incluirlos en el modelo por su incertidumbre.

De esta manera, se realiza un análisis paramétrico con el fin de calibrar las propiedades que reflejen la condición real obtenida de comportamiento en el reporte del inclinómetro "INC-01".

Como se indicó anteriormente, existen algunos factores que podrían haber incrementado los desplazamientos horizontales en la construcción. Para incluir estos factores en el modelo reticular se aplican las siguientes consideraciones: se varío disminuyendo entre un 5% al 15% el módulo de compresibilidad del suelo calculado de cada estrato, por lo cual, se obtiene una matriz con los resortes equivalentes mucho menos rígida que la inicial; adicionalmente, se disminuye en un 20% el módulo de elasticidad del concreto para el muro Milán.

Los resultados obtenidos al variar las propiedades del muro Milán y la compresibilidad del suelo evidencian que el modelo reticular se convierte en un elemento muy flexible, en donde la aplicación de las cargas genera grandes deformaciones en los primeros 15 m de excavación alcanzando hasta los 15 cm.

En la Figura 5.24 se evidencia que los desplazamientos horizontales en la sección superior calculados alcanzan 2 veces los reportados por el inclinómetro "INC-01" de estudio. A la vez, se observa que el modelo de interacción es muy sensible a las variaciones del módulo de compresibilidad seleccionado para el suelo en cada estrato, acumulando las mayores deformaciones en los primeros metros de la tablestaca metálica.

A partir de los resultados del análisis paramétrico del modelo de interacción, se podría afirmar que los valores seleccionados de los módulos elásticos del suelo de las pruebas triaxiales UU difieren de los reales y son conservadores. Este fenómeno podría deberse a fugas de agua dentro de la obra o a posibles afectaciones de los estratos arcillosos por los procesos constructivos, por lo cual, los desplazamientos horizontales iniciales calculados son mucho menores a los reportados por el inclinómetro.

Finalmente, se evidencia en el análisis paramétrico que al disminuir el valor del módulo elástico de los estratos del suelo se obtiene una curva de desplazamientos horizontales mucho más cercana a los desplazamientos reales reportados por las lecturas del inclinómetro "INC-01".

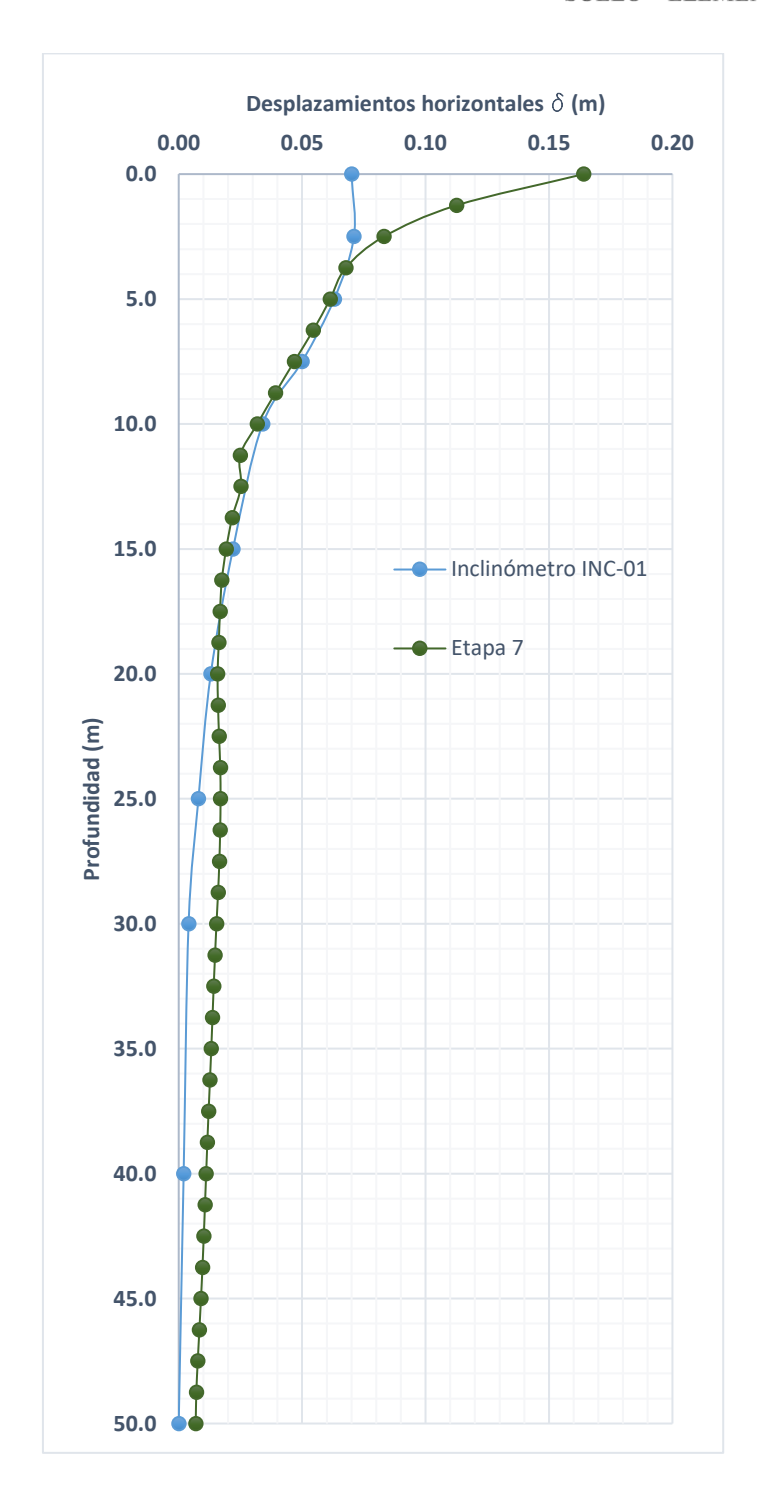


Figura 5.24. Análisis paramétrico vs reporte del inclinómetro "INC-01".



CONCLUSIONES

La metodología propuesta de interacción es una herramienta óptima para calcular la compatibilidad de deformaciones entre el suelo y el elemento de contención producidas en una excavación profunda; dentro de las ventajas del método está el que permite simular diferentes etapas constructivas a corto, mediano y largo plazo variando las condiciones de esfuerzo y las propiedades de los elementos.

Para realizar la excavación se empleó el método "Top-Down" por medio de la instalación de una tablestaca metálica, la construcción de muros Milán y una mega zapata, los cuales soportaron los empujes laterales y conectan estructuralmente con las losas del proyecto. Por lo tanto, se analiza a corto plazo un modelo reticular que representa los elementos estructurales de la excavación de 132 m de largo por 50 m de profundidad, equivalente a 943 barras y 1 822 nodos.

Se crea el programa FLEXHO como herramienta de cálculo que permite obtener de forma eficiente la matriz de influencias, de coordenadas, de áreas tributarias, de flexibilidad y de rigidez del suelo a partir de las dimensiones de la retícula y sus respectivos ΔX , ΔYy ΔZ de análisis. Este programa codificado en lenguaje FORTRAN genera automáticamente una malla reticular que evita la necesidad de ingresar las coordenadas nodo por nodo del modelo.

Para aplicar el método de interacción se actualizó el programa EMISES3D compilado en QBASIC a una versión en lenguaje FORTRAN; esta actualización favoreció al aumento de la capacidad de cálculo matricial y reducción de los tiempos de procesamiento. Adicionalmente, se elaboraron hojas de cálculo programadas para calcular los cambios en la distribución de esfuerzos en el terreno aplicando las soluciones de Mindlin (1936), Boussinesq (1885) y Holl (1940).

Es fundamental establecer correctamente las propiedades de los elementos que representan la retícula porque son éstas las que sustentan el modelo de interacción suelo – elemento de contención. Por tal motivo, los parámetros de resistencia (módulo elástico y la relación de Poisson) y los parámetros geométricos (área, momentos de inercia) deben ser calculados a detalle ya que intervienen directamente en la rigidez del modelo.



MODELACIÓN DEL PROCEDIMIENTO CONSTRUCTIVO DE UNA EXCAVACIÓN CON INTERACCIÓN SUELO – ELEMENTO DE CONTENCIÓN

A partir de los resultados obtenidos del análisis de interacción por etapas se procedió a comparar con el registro del inclinómetro "INC-01" para evaluar su similitud. Los mayores desplazamientos horizontales calculados se obtuvieron en los primeros 8.0 m de profundidad, es decir, en donde la tablestaca metálica se encontraba actuando frente a los empujes laterales; sin embargo, los desplazamientos obtenidos hasta los 15 m presentan una diferencia con respecto a los valores reportados de entre un 20% y 30% aproximadamente.

El desplazamiento horizontal máximo acumulados al nivel 0.0 m es similar al reportado por el inclinómetro "INC-01" con una diferencia de 1.5% aproximadamente, por lo tanto, se puede afirmar que el análisis de interacción permitió obtener valores de desplazamiento con una tendencia similar a los registros del inclinómetro.

Asimismo, los desplazamientos horizontales por etapa desde los 16.0 m de profundidad tienden a ser menores que 0.5 cm, esto debido a que los elementos de contención como el muro Milán, la tablestaca y el primer tramo de la mega zapata aportan una gran rigidez al modelo.

A pesar de replicar las condiciones teóricas de diseño en el modelo de interacción, posiblemente existieron efectos adicionales debidos a los procesos constructivos que favorecieron el incremento de las deformaciones en el suelo reportados por el inclinómetro "INC-01".

Por tal motivo, se realiza un análisis paramétrico al disminuir entre un 5% al 15% el módulo de compresibilidad del suelo de cada estrato, por lo cual, se obtiene una matriz con los resortes equivalentes mucho menos rígida que la inicial y disminuyendo en un 20% el módulo de elasticidad del concreto para el muro Milán.

Los resultados obtenidos del análisis paramétrico evidencian que el modelo reticular se convierte en un elemento muy flexible, en donde la aplicación de las cargas genera grandes deformaciones en los primeros 15 m de excavación alcanzando hasta los 15 cm. Se podría afirmar que los valores seleccionados de los módulos elásticos del suelo de las pruebas triaxiales UU difieren de los reales y son conservadores. Este fenómeno podría deberse a fugas de agua dentro de la obra o a posibles afectaciones de los estratos arcillosos por los procesos constructivos.



MODELACIÓN DEL PROCEDIMIENTO CONSTRUCTIVO DE UNA EXCAVACIÓN CON INTERACCIÓN SUELO – ELEMENTO DE CONTENCIÓN

Por consiguiente, es necesario evaluar si el procedimiento constructivo y el uso de los tres elementos de contención fueron óptimos, ya que existieron desplazamientos horizontales considerables que pudieron haber llevado la obra a un estado de falla generalizado. Sin duda, el uso del muro Milán contribuye de manera fundamental a resistir los empujes del suelo y al control de las deformaciones, sin embargo, en otra obra similar se podría plantear un proceso constructivo diferente para disminuir los desplazamientos en el suelo.

El programa EMISES3D tiene la capacidad de calcular las deformaciones (desplazamientos lineales y angulares), los elementos mecánicos (fuerza axial y cortante, momento flexionante y torsionante), como también la distribución de reacciones en las áreas tributarias de los nodos, lo cual permitiría realizar un diseño estructural de los elementos de contención, sin embargo, estos análisis se encuentran fuera del alcance de esta tesis.

Finalmente, se deben enfocar los esfuerzos de los investigadores en la creación de herramientas de cálculo libre para el uso de la comunidad técnica, que les permita hacer diseños más racionales y seguros tomando como base el conocimiento de vanguardia y las mediciones en campo.



MODELACIÓN DEL PROCEDIMIENTO CONSTRUCTIVO DE UNA EXCAVACIÓN CON INTERACCIÓN SUELO – ELEMENTO DE CONTENCIÓN

REFERENCIAS

- Arvizu, M. (2017). "Modelado numérico de un muro Milán anclado y comparación con mediciones de campo", Tesis de maestría, Facultad de Ingeniería, UNAM.
- Badillo, E. y Rico, A. (1979). "Mecánica de Suelos". Tomo II (Teoría y Aplicaciones de la Mecánica de Suelos), Ed. LIMUSA, 2a edición.
- Budhu M (2011). "Soil Mechanics and foundations", 3er edition, John Wiley & Sons.
- Deméneghi, A. (1979). "Un Método para el Análisis Conjunto de la Estructura y el Suelo". Revista Ingeniería, Vol. XLIX, N.º 3.
- ______. (1992). "Interacción Estática Suelo Estructura. Análisis Tridimensional". Revista Ingeniería, Facultad de Ingeniería, UNAM.
- Fan, Chia-Cheng & Fang, Yung-Show. (2010). "Numerical solution of active earth pressures on rigid retaining walls built near rock faces". Computers and Geotechnics COMPUT GEOTECH. 37. 1023-1029. 10.1016/j.compgeo.2010.08.004.
- Holl, D. L., "Stress Transmissions on Earth", Proc. Hwy. Res. Bd., vol. 20, pp. 709–722, 1940.
- "Interacción Suelo-Estructura y Diseño Estructural de Cimentaciones". Reunión conjunta SMMS, SMIS y SMIE. SMMS, septiembre de 1991.
- Jurgenson, L. (1934) "Application of Theories of Elasticity and Plasticity to Foundation Problems", Journal Boston Soc. of Civil Engineering, Vol. 21, No. 3.
- López, G. (2012). "Un método directo de interacción tridimensional suelo-estructura", Tesis de maestría, Facultad de Ingeniería, UNAM.
- López, G., Zea, C. y Rivera C. (2011). "Una solución directa al problema de interacción sueloestructura". XIV Conferencia Panamericana de Mecánica de Suelos e Ingeniería Geotécnica, Toronto, Canadá.
- Luthe, R. et al (1991). "Métodos Numéricos", Ed. LIMUSA. México.
- Manual de Diseño de Obras Civiles (2014). Capítulo B.2.6 de Estructuras de retención. Comisión Federal de Electricidad CFE.



MODELACIÓN DEL PROCEDIMIENTO CONSTRUCTIVO DE UNA EXCAVACIÓN CON INTERACCIÓN SUELO – ELEMENTO DE CONTENCIÓN

- Meza, B., Clavellina, G., De la Rosa, J., Paulín, J.A. (2012). "Construcción de 7 sótanos mediante el procedimiento "Top-Down" para una Torre de 52 niveles, ubicada en la zona de lago de la Ciudad de México". Memorias de la XXVI Reunión Nacional de Mecánica de Suelos e Ingeniería Geotécnica. Cancún, Quintana Roo. México.
- Normas Técnicas Complementarias para el Diseño de Cimentaciones de la Ciudad de México (NTCDCCM).
- Petersson Mattias (2012). "In depth study of lateral earth pressure", Master of Science Thesis in the Master's Programme Geo and Water Engineering, Chalmers University of Technology, Sweden.
- Poulos, H. and Davis, E. (1974). "Elastic Solutions for Soil and Rock Mechanics". Ed. John Wiley and Sons, USA.
- Rivera, R., Zea, C. y Monroy, F. (1996). "Procedimiento de Análisis de Interacción Suelo-Retícula de Cimentación". Memorias de la XVIII Reunión Nacional de Mecánica de Suelos, Morelia, Michoacán.
- Sánchez, J. L. y Enríquez, P. (1982) "Un Método de Interacción Suelo-Estructura". Congreso Nacional de Ingeniería Estructural. Morelia, Mich., México, 1982
- Santoyo E (2002). "Manual de construcción geotécnica", Tomo I, Capítulo 3, Sociedad Mexicana de Mecánica de Suelos A.C
- Tamez E (2001). "Ingeniería de cimentaciones, conceptos básicos de la práctica", TGC Geotecnia (2001)
- Yang, Kuo-Hsin & Liu, Chia-Nan. (2007). "Finite Element Analysis of Earth Pressures for Narrow Retaining Wall". Journal of GeoEngineering. 2. 10.6310/jog.2007.2(2).1.
- Zeevaert, L. (1973). "Foundation Engineering for Difficult Subsoil Conditions". Ed. Van Nostrand Reinhold, Co. New York, USA.
- _____. (1980). "Interacción Suelo-Estructura de Cimentación". Ed. Limusa, México.
- Zigurat. (2017). "El muro pantalla o el metro de Milán". Madrid, España. Zigurat Blog. Recuperado de https://www.e-zigurat.com/blog/es/muro-pantalla-metro-milan/



MODELACIÓN DEL PROCEDIMIENTO CONSTRUCTIVO DE UNA EXCAVACIÓN CON INTERACCIÓN SUELO – ELEMENTO DE CONTENCIÓN

ANEXOS



MODELACIÓN DEL PROCEDIMIENTO CONSTRUCTIVO DE UNA EXCAVACIÓN CON INTERACCIÓN SUELO – ELEMENTO DE CONTENCIÓN

ANEXO 1.

Hojas de cálculo para estimar la distribución de esfuerzos.



UNIVERSIDAD NACIONAL AUTÓNOMA DE MÉXICO PROGRAMA DE MAESTRÍA Y DOCTORADO EN INGENIERÍA MAESTRÍA EN INGENIERÍA CIVIL – GEOTECNIA

DISTRIBUCIÓN DE ESFUERZOS NORMALES HORIZONTALES PARA CARGA HORIZONTAL RECTANGULAR UNIFORMEMENTE DISTRIBUIDA DE MINDLIN

	4.000	4/2	Manufacidad de la como confermacione distribucida (Acade imprisendo e describa)
W	1.000	t/m²	Magnitud de la carga uniformemente distribuida (Va de izquierda a derecha).
ν	0.250		Relación de Poisson.
Xv	2.000	l m	Coordenada x de los vértices de la carga constante.

VÉRTICES DE LA CARGA (SISTEMA DE REFERENCIA CON ORIGEN EN LA SUPERFICIE DEL MEDIO)

Nota: las Zs deben ser siempre positivas.

	V ₁			V ₄	_	
Y máx	8.000	m	Y _{min}	2.000	m	ок
Z _{máx}	8.000	m	Z _{min}	2.000	m	OK

COORDENADAS DEL PUNTO DONDE SE QUIERE DETERMINAR EL ESFUERZO (SISTEMA DE REFERENCIA CON ORIGEN EN LA SUPERFICIE)

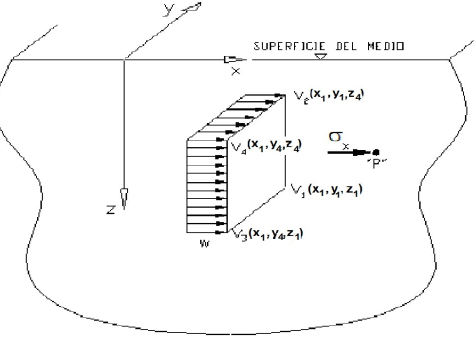
X_p	3.000	m m
Υ,	5.000	m
Z_p	5.000	m

VÉRTICES DE LA CARGA (EL ORIGEN SE MUEVE AL PUNTO "P" Y SE INVIERTEN LOS EJES "X", "Y" y "Z")

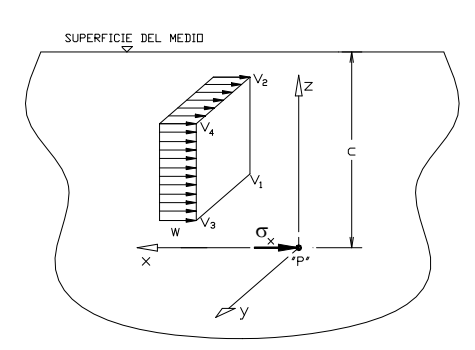
X _c [1.000] m	Separación perpendicular a la carga uniformemente distribuida.		
	V _{c1}	V_{c2}	V _{c3}	V _{c4}	
Υ [-3.000	-3.000	3.000	3.000	m
z [-3.000	3.000	-3.000	3.000	m
R ²	19.000	19.000	19.000	19.000	
Ra ²	10.000	10.000	10.000	10.000	
Rb ²	10.000	10.000	10.000	10.000	
Rc	-13.000	-7.000	-13.000	-7.000	
Rcz ²	179.000	59.000	179.000	59.000	
	V _{c1}	V _{c2}	V_{c3}	V _{c4}	
F ₁	1.119770	-1.119770	-1.119770	1.119770	
F ₂	1.240323	1.220143	-1.240323	-1.220143	
F ₃	0.510906	-0.510906	-0.510906	0.510906	
F₄	0.516323	0.516073	-0.516323	-0.516073	
F ₅	-0.002193	-0.007362	0.002193	0.007362	
F ₆	0.774510	0.774381	-0.774510	-0.774381	
F ₇	13.320205	13.316353	-13.320205	-13.316353	
F ₈	0.409924	0.401507	-0.409924	-0.401507	
F ₉	-7.845234	-7.845290	7.845234	7.845290	

Nota: se recomienda consultar el documento para la definición de las funciones de integración.

Elaborado por Jiménez Garrote, C.



SISTEMA DE REFERENCIA CON ORIGEN EN LA SUPERFICIE DEL MEDIO



SISTEMA DE REFERENCIA EN EL PUNTO "P"

		a_0	-0.053
I 1	4.479078	a ₁	-0.500
12	0.040360	a_2	2.000
13	2.043624	a_3	-3.000
14	0.000500	a ₄	-6.000
15	0.010337	a ₅	-4.500
16	0.000258	a_6	1.500
1,	0.007705	a ₇	18.000
18	0.016834	a ₈	-15.000
19	0.000111	a ₉	150.000

a =	0.44754	t/m²



UNIVERSIDAD NACIONAL AUTÓNOMA DE MÉXICO PROGRAMA DE MAESTRÍA Y DOCTORADO EN INGENIERÍA MAESTRÍA EN INGENIERÍA CIVIL – GEOTECNIA

DISTRIBUCIÓN DE ESFUERZOS NORMALES PARA CARGA VERTICAL RECTANGULAR UNIFORME SOLUCIÓN DE BOUSSINESQ (HOLL 1940, ν = 0.5)

q	2.50	t/m²	Magnitud de la carga uniformemente distribuida.
1	132.00	m	Dimensión en x.
b	5.50	m	Dimensión en y.
		_	
x _o	66.00	m	Coordenada x del punto "P".
y _o	2.50	m	Coordenada y del punto "P".
Z _p	45.00	m	Coordenada z del punto "P".

Nota: el origen del sistema de referencia se encuentra en la proyección en superficie del punto donde se desea obtener los esfuerzos.

	Rectángulo 1		Rectángulo 2		Rectángulo 3		Rectángulo 4	_
\boldsymbol{x}_{i}	66.00	m	66.00	m	66.00	m	66.00	m
y i	2.50	m	2.50	m	3.00	m	3.00	m
R ₁	79.881	m	79.881	m	79.881	m	79.881	m
R ₂	45.069	m	45.069	m	45.100	m	45.100	m
R ₃	79.920	m	79.920	m	79.937	m	79.937	m
$\Delta \sigma_{xi}$	0.005		0.005		0.006		0.006	
$\Delta\sigma_{yi}$	0.000		0.000		0.000		0.000	
$\Delta\sigma_{zi}$	0.017		0.017		0.020		0.020	
I	1		1		1		1	

$\Delta\sigma_x$	0.055	t/m
$\Delta\sigma_y$	0.000	t/m
Δσ,	0.186	t/m

3.4 Loading on a Rectangular Area

3.4.1 UNIFORM VERTICAL LOADING

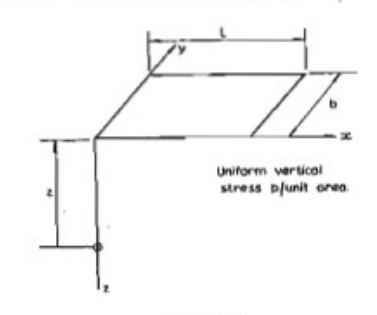


FIG. 3.29

Beneath the corner of the rectangle (see Fig. 3.29), Holl (1940) gives the following expressions for stresses for ν = 0.5:

$$\sigma_{z} = \frac{p}{2\pi} \left[tan^{-1} \frac{tb}{zR_{3}} + \frac{tbz}{R_{3}} (\frac{1}{R_{1}^{2}} + \frac{1}{R_{2}^{2}}) \right]$$
 ... (3.18a)

$$\sigma_x = \frac{p}{2\pi} \left\{ \tan^{-1} \frac{g_b}{zR_3} - \frac{g_b}{R_3^2 R_3} \right\} \dots (3.18b)$$

$$\sigma_y = \frac{p}{2\pi} \left[\tan^{-1} \frac{4b}{\pi R_3} - \frac{4bx}{R_2^2 R_3} \right] ... (3.18c)$$

$$\tau_{xz} = \frac{p}{2\pi} \left[\frac{b}{R_2} - \frac{z^2 b}{R_1^2 R_3} \right] \qquad ... (3.18d)$$

$$\tau_{yz} = \frac{p}{3\pi} \left[\frac{k}{R_1} - \frac{z^2 k}{R_2^2 R_3} \right]$$
 ... (3.18e)

$$\tau_{xy} = \frac{p}{2\pi} \left[1 + \frac{z}{R_3} - z(\frac{1}{R_3} + \frac{1}{R_2}) \right]$$
 ... (3.18f)

where
$$R_1 = (1^2 + x^2)^{\frac{1}{2}}$$

 $R_2 = (b^2 + x^2)^{\frac{1}{2}}$
 $R_3 = (1^2 + b^2 + x^2)^{\frac{1}{2}}$



UNIVERSIDAD NACIONAL AUTÓNOMA DE MÉXICO PROGRAMA DE MAESTRÍA Y DOCTORADO EN INGENIERÍA MAESTRÍA EN INGENIERÍA CIVIL – GEOTECNIA

DISTRIBUCIÓN DE ESFUERZOS PARA CARGA VERTICAL RECTANGULAR UNIFORMEMENTE DE ANCHO FINITO CON LONGITUD INFINITA SOLUCIÓN DE TERZAGHI Y CAROTHERS

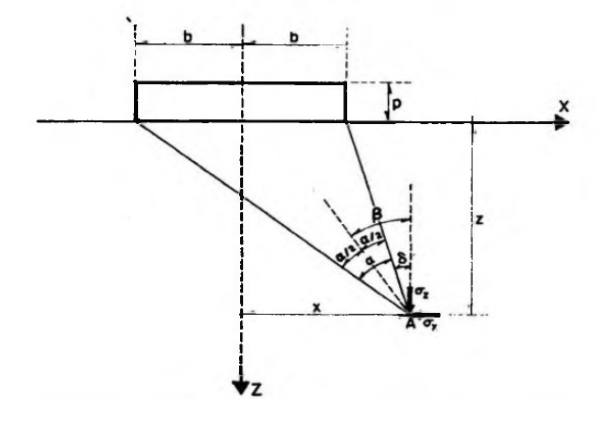
q В b	1.50 10.00 5.00	t/m² m m	Magnitud de la carga uniformemente distribuida. Dimensión en x. Dimensión en y.
Χ _ο Ζ _p	42.00 50.00	m m	Coordenada x del punto "P". Coordenada z del punto "P".
δ	36.50] •	
α	6.73	•	
β	39.86	•	
		-	

Esfuerzos en el punto "P"

$\Delta\sigma_x$	0.046	t/m²
Δσζ	0.066	t/m²
Δau_{rr}	0.055	t/m²

Esfuerzos principales y cortante máximo

Δσ1	0.112	t/m²
$\Delta\sigma_3$	0.000	t/m ²
Δau máx	0.056	t/m²



Elaborado por Jiménez Garrote, C.



MODELACIÓN DEL PROCEDIMIENTO CONSTRUCTIVO DE UNA EXCAVACIÓN CON INTERACCIÓN SUELO – ELEMENTO DE CONTENCIÓN

ANEXO 2.

Solución de Mindlin para carga horizontal rectangular uniformemente distribuida en un punto.

```
UNIVERSIDAD NACIONAL AUTÓNOMA DE MEXICO
                               FACULTAD DE INGENIERÍA
                        MAESTRÍA EN INGENIERÍA CIVIL - GEOTECNIA
                  ECUACIÓN MINDLIN PARA 'ESFUERZOS NORMALES HORIZONTALES
                PARA CARGA HORIZONTAL RECTANGULAR UNIFORMEMENTE DISTRIBUIDA
                               VERSION 2019.1
    CODIFICA: JIMENEZ GARROTE CARLOS.
!
    EMAIL:
              caajimenezga@unal.edu.co
    DOCENTES: ZEA CARMELINO , RIVERA RIGOBERTO.
!
   ______
    DOUBLE PRECISION W, V, XO, YMAX, ZMAX, YMIN, ZMIN, XP, YP, ZP, XC
    DOUBLE PRECISION R, RCZ, RA, RB, RC, PI, SIGMA
    DOUBLE PRECISION YVC, ZVC, F, F1VC, F2VC, F3VC, F4VC, F5VC
    DOUBLE PRECISION F6VC, F7VC, F8VC, F9VC, FA
    DIMENSION YVC(4), ZVC(4), F(9), F1VC(4), F2VC(4), F3VC(4), F4VC(4)
    DIMENSION F5VC(5), F6VC(5), F7VC(5), F8VC(5), F9VC(5), FA(10)
    CHARACTER FDAT*14
   ______
 10X,'*
             10X,'*
                                  PROGRAMA
             10X,'* MINDLIN CARGA LATERAL ESFUERZOS HORIZONTALES *'/
             10X,'* EN LA MASA DE SUELO POR CARGA LATERAL RECT. *'/
             10X,'*
                                                        *'/
                    UNIFORMEMENTE DISTRIBUIDA
             10X,'*
                                Version 2018
                                                        * 1 /
             10X,'*
             102 FORMAT(///12X, ' INDIQUE NOMBRE DEL ARCHIVO DE DATOS'/
            16X,' (e.j. XYZ.DAT) --> '\)
 103 FORMAT(A14)
 104 FORMAT(///12X,' ESFUERZO HORIZONTAL (t/m2)'/
            20X,F10.8)
!
   WRITE(*,101)
    WRITE(*,102)
    READ(*, 103) FDAT
    OPEN (5, FILE=FDAT, STATUS='OLD', ACCESS='SEQUENTIAL')
    REWIND 5
1
    MAGNITUD DE LA CARGA UNIFORMEMENTE DISTRIBUIDA (VA DE IZOUIERDA A DERECHA)
    READ (5,*) W
    RELACIÓN DE POISSON
    READ (5,*) V
    COORDENADA x DE LOS VERTICES DE LA CARGA (CONSTANTE)
    READ (5,*) XO
    VERTICES DE LA CARGA (SISTEMA DE REFERENCIA CON ORIGEN EN LA SUPERFICIE DEL MEDIO)
!
    Nota: las Zs deben ser siempre positivas.
```

READ (5,*) YMAX, ZMAX

ESQUINA V1

! ESQUINA V4

1

READ (5,*) YMIN, ZMIN

```
COORDENADAS DEL PUNTO DONDE SE QUIERE DETERMINAR EL ESFUERZO (SISTEMA DE REFERENCIA CON ORI
GEN EN LA SUPERFICIE)
      READ (5,*) XP, YP, ZP
      VERTICES DE LA CARGA (EL ORIGEN SE MUEVE AL PUNTO "P" Y SE INVIERTEN LOS EJES "X", "Y" v "Z
!
.
")
      XC = XP - XO
      YVC(1) = YP - YMAX
      YVC(2) = YVC(1)
      YVC(4) = YP - YMIN
      YVC(3) = YVC(4)
      ZVC(1) = ZP - ZMAX
      ZVC(4) = ZP - ZMIN
      ZVC(2) = ZVC(4)
      ZVC(3) = ZVC(1)
      DEFINICIÓN VECTORES INICIALES
1
      DO I=1, 9
      F(I) = 0
      END DO
      DO I=1,10
      FA(I) = 0
      END DO
      DO I=1,4
      F1VC(I) = 0
      F2VC(I) = 0
      F3VC(I) = 0
      F4VC(I) = 0
      F5VC(I) = 0
      F6VC(I) = 0
      F7VC(I) = 0
      F8VC(I) = 0
      F9VC(I) = 0
      END DO
      INTEGRACIÓN FUNCIÓN DE ESFUERZOS
      DO I = 1, 4
        = SQRT(XC**2 + YVC(I)**2 + ZVC(I)**2)
      RA = SQRT(XC**2 + YVC(I)**2)
      RB = SQRT(XC**2 + ZVC(I)**2)
      RC = (ZVC(I) - 2 * ZP)
      RCZ = SQRT(XC**2 + YVC(I)**2 + RC**2)
      F1VC(I) = (ATAN((YVC(I)*ZVC(I))/(XC*R)))/XC
      F2VC(I) = (ATAN((YVC(I)*RC)/(XC*RCZ)))/XC
      F3VC(I) = XC*YVC(I)*(XC**2+R**2)/(RA**2*RB**2*R)
      F3VC(I) = F3VC(I) + (ATAN(YVC(I)*ZVC(I)/(XC*R))/ZVC(I))
      F3VC(I) = F3VC(I)*ZVC(I)/(3*(XC**3))
      F4VC(I) = YVC(I)*(2*XC**2+YVC(I)**2+RC**2)
      F4VC(I) = F4VC(I) / (XC**2*RA**2*(XC**2+RC**2)*RCZ)
      F4VC(I) = F4VC(I) + ATAN((YVC(I)*RC)/(XC*RCZ))/(XC**3*RC)
      F4VC(I) = F4VC(I)*RC/3
      F5VC(I) = (XC*YVC(I)*RCZ*RC)/(RA**2)
      F5VC(I) = F5VC(I) + (XC*YVC(I)*RC**2)/(RA**2)
      F5VC(I) = F5VC(I) + (XC**2+RC**2)*ATAN(YVC(I)/XC)
      F5VC(I) = F5VC(I) + (XC**2+RC**2)*ATAN(YVC(I)*RC/(XC*RCZ))
      F5VC(I) = F5VC(I)/(2*XC**3)
      F6VC(I) = (XC*YVC(I)*(5*XC**2+3*YVC(I)**2)*RCZ)/(RA**4)
```

```
F6VC(I) = F6VC(I) + (3*XC*YVC(I)*RC)/(RA**2)
     F6VC(I) = F6VC(I) + (3*RC*ATAN(YVC(I)/XC))
     F6VC(I) = F6VC(I) + (XC**2+3*RC**2)*ATAN((YVC(I)*RC)/(XC*RCZ))/RC
     F6VC(I) = F6VC(I)*RC/(2*XC**5)
     F7VC(I) = (XC**4*ZVC(I)) - ((YVC(I)**2 + RC**2)*RC*ZP**2)
     F7VC(I) = F7VC(I) + (XC**2*(YVC(I)**2*ZVC(I)-(2*RC*ZP**2)))
     F7VC(I) = -YVC(I)*F7VC(I)/(XC**2*RA**2*(XC**2+RC**2)*RCZ)
     F7VC(I) = F7VC(I) + ((XC**2+ZP**2)*ATAN(YVC(I)*RC/(XC*RCZ))/XC**3)
     F7VC(I) = F7VC(I)/3
     F8VC(I) = (YVC(I)*(-ZVC(I)+ZP))/((XC**2+RC**2)*RCZ)
     F8VC(I) = (F8VC(I) + (ATAN(YVC(I)*RC/(XC*RCZ))/XC))/3
     F9VC(I) = (2*ZVC(I)**3) - (11*ZVC(I)**2*ZP) + (20*ZVC(I)*ZP**2)
     F9VC(I) = F9VC(I) - ZP*(XC**2 + 12*ZP**2)
     F9VC(I) = F9VC(I)/((XC**2 +RC**2)**2*RCZ**2)
     F9VC(I) = F9VC(I) + ((RC**2*(ZVC(I)-ZP))/((XC**2 + RC**2)*RCZ**4))
     F9VC(I) = F9VC(I) + ((XC**2-3*(RC**2))*ZP)/(XC**4*RA**2)
     F9VC(I) = F9VC(I) - (2*RC**2*ZP) / (XC**2*RA**4)
     F9VC(I) = (YVC(I)*RCZ*F9VC(I))/(RC**3)
     F9VC(I) = F9VC(I) - (3*ZP*ATAN((YVC(I)*RC)/(XC*RCZ)))/(XC**5)
     F9VC(I) = F9VC(I)*ZP/15
     END DO
!
     SUMATORIA FACTORES INFLUENCIA
     F(1) = F1VC(1) - F1VC(2) - F1VC(3) + F1VC(4)
     F(2) = F2VC(1) - F2VC(2) - F2VC(3) + F2VC(4)
     F(3) = F3VC(1) - F3VC(2) - F3VC(3) + F3VC(4)
     F(4) = F4VC(1) - F4VC(2) - F4VC(3) + F4VC(4)
     F(5) = F5VC(1) - F5VC(2) - F5VC(3) + F5VC(4)
     F(6) = F6VC(1) - F6VC(2) - F6VC(3) + F6VC(4)
     F(7) = F7VC(1) - F7VC(2) - F7VC(3) + F7VC(4)
      F(8) = F8VC(1) - F8VC(2) - F8VC(3) + F8VC(4)
     F(9) = F9VC(1) - F9VC(2) - F9VC(3) + F9VC(4)
     CÁLCULO FACTORES A
     PI = ACOS(-1.0)
     FA(10) = (-W*XC)/(8*PI*(1-V))
     FA(1) = (2*V - 1)
     FA(2) = (2*V - 1)*(4*V-5)
     FA(3) = -3*(XC**2)
     FA(4) = 3*(4*V - 3)*(XC**2)
     FA(5) = 12*(1-V)*(2*V - 1)
     FA(6) = 4*(V-1)*(2*V-1)*(XC**2)
     FA(7) = 18
     FA(8) = 6*((2*V)-3)
     FA(9) = 30*(XC**2)*ZP
     ESTIMACIÓN FINAL DE ESFUERZO HORIZONTAL EN EL PUNTO X
!
     SIGMA = 0
     DO I = 1, 9
     SIGMA = SIGMA + (FA(I)*F(I))
     END DO
     SIGMA = SIGMA*FA(10)
     PRINT *
     WRITE(*,104) SIGMA
     PAUSE
     CLOSE (5)
```

F6VC(I) = F6VC(I) + (2*XC**3*YVC(I)*RC)/(RA**4)

END

MODELACIÓN DEL PROCEDIMIENTO CONSTRUCTIVO DE UNA EXCAVACIÓN CON INTERACCIÓN SUELO – ELEMENTO DE CONTENCIÓN

MANUAL DEL USUARIO DEL PROGRAMA

Este programa permite calcular el esfuerzo horizontal en un punto aplicando la solución de Mindlin para carga horizontal rectangular uniformemente distribuida y se encuentra programado en lenguaje FORTRAN.

1. ARCHIVOS DE DATOS

Por medio de un archivo de datos se ingresan los parámetros para el cálculo del esfuerzo horizontal en un punto. El nombre del archivo debe escribirse con la extensión .DAT o .TXT.

A continuación, se describe por renglón los parámetros de ingreso que debe contener el archivo de datos:

- a) Magnitud de la carga uniformemente distribuida.
- b) Relación de Poisson.
- c) Coordenada Xo de los vértices de la carga uniforme.
- d) Coordenadas vértice V1 (ymáx, zmáx)
- e) Coordenadas vértice V4 (ymín, zmín)
- f) Coordenadas del punto en donde se requiere determinar el esfuerzo.

Nota: Sistema de referencia con origen en la superficie

Las Zi a la profundidad deben ser siempre positivas.

Como se observa en las Figuras A.2.1 y A.2.2, el sistema de referencia coordenado inicial cambia para referir el sistema al punto "P" de cálculo.

2. RESULTADOS

Al ejecutar el programa se solicita el nombre del archivo de datos y si el archivo no posee errores en sus parámetros se muestra en pantalla el resultado del esfuerzo horizontal calculado como se indica las figuras A.2.3 y A.2.4.



MODELACIÓN DEL PROCEDIMIENTO CONSTRUCTIVO DE UNA EXCAVACIÓN CON INTERACCIÓN SUELO – ELEMENTO DE CONTENCIÓN

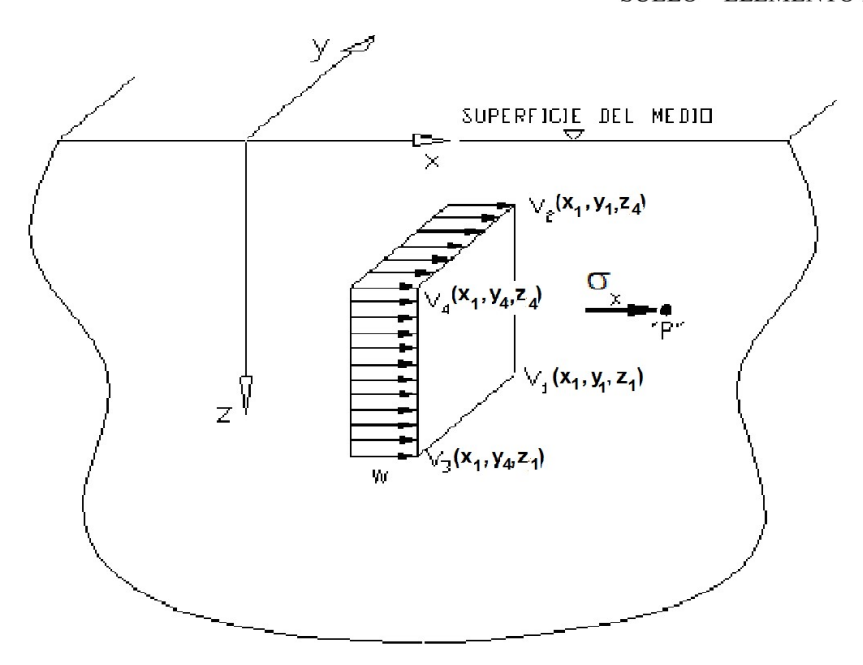


Figura A.2.1 Sistema de referencia con origen en la superficie del medio.

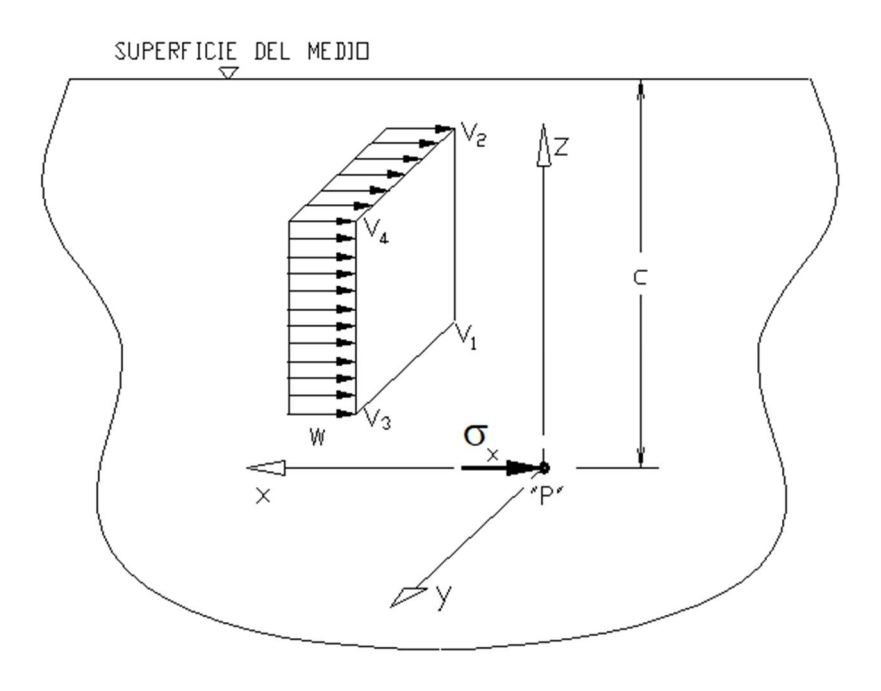


Figura A.2.2 Sistema de referencia en el punto "P".





MODELACIÓN DEL PROCEDIMIENTO CONSTRUCTIVO DE UNA EXCAVACIÓN CON INTERACCIÓN SUELO – ELEMENTO DE CONTENCIÓN



Figura A.2.3 Archivo de datos de entrada .DAT

Figura A.2.4 Resultado del programa ejecutado.



MODELACIÓN DEL PROCEDIMIENTO CONSTRUCTIVO DE UNA EXCAVACIÓN CON INTERACCIÓN SUELO – ELEMENTO DE CONTENCIÓN

ANEXO 3.

Codificación FLEXHO e Instructivo del programa.

UNIVERSIDAD NACIONAL AUTÓNOMA DE MEXICO FACULTAD DE INGENIERÍA MAESTRÍA EN INGENIERÍA CIVIL - GEOTECNIA

```
CÁLCULO MATRIZ DE INFLUENCIAS HORIZONTALES EN LA MASA DEL SUELO
                                APLICANDO LA TEORÍA DE MINDLIN
                   PARA CARGA HORIZONTAL RECTANGULAR UNIFORMEMENTE DISTRIBUIDA
                                     VERSION 2019.1
     CODIFICA:
                JIMENEZ GARROTE CARLOS.
     EMAIL:
                caajimenezga@unal.edu.co
    DOCENTES: ZEA CARMELINO , RIVERA RIGOBERTO.
1
     ______
                      CR, P, PXO, YMX, ZMX, YMN, ZMN, XPI, YPI, ZPI SIGMAI, X, Y, Z, dx, dy, dz, dc, dm, n, m
     DOUBLE PRECISION
     DOUBLE PRECISION
     REAL
                       FZ, FY
     DOUBLE PRECISION AYI, AZI, AI, ZF, YF, NB
     DOUBLE PRECISION:: Iji(2500,2500), Aji(2500,2500), MDL(2500)
     DOUBLE PRECISION:: FLX(2500,2500), ALFA(2500)
     DOUBLE PRECISION:: COOR(2500,6), RGD(2500,2500)
     INTEGER
                        COUC, COUF, AUX1, AUX, AUX2, AUX3, OP
     CHARACTER
                        FDAT*10, NDAT*14, NMOD*14, OBRA*72
!
    ______
 100 FORMAT('-----'
    +'========')
 101 FORMAT (20X,'
                                                                  '//
         20X,'
                                FLEXHO
                                                                  1//
           20X,' PROGRAMA PARA EL CALCULO DE MATRIZ DE 20X,' INFLUENCIA, INCREMENTOS DE ESFUERZO,
           20X, INFIDENCIA, INCREMENTOS DE ESFOERZO,
20X, FLEXIBILIDADES Y RIGIDECES HORIZONTALES
    +
                   EN LA MASA DEL SUELO PARA
           20X,'
           20X,'
                         ANALISIS DE INTERACCION
           20X,'
                     SUELO - CIMENTACION - ESTRUCTURA
           20X,'
           20X,'
                               Version 19.1
                                                                   ')
           20x.'
 102 FORMAT(//13X,'INDIQUE NOMBRE DE LA FAMILIA DE ARCHIVOS'
    +' (Sin extension)',/28X,'(e.j. XYZ) ---> '\)
 103 FORMAT(A10)
 105 FORMAT(/25X,' *** A D V E R T E N C I A ***
                                                              ' /
    + 15X, LOS AUTORES DE ESTE PROGRAMA NO SE HACEN RESPONSABLES '/
         10X, 'POR EL USO INDEBIDO DEL MISMO',
             ' NI POR LOS RESULTADOS QUE ARROJE'//)
 106 FORMAT (//)
 107 FORMAT (20X,'
                                                                  1//
           20X,'
                      OPCIONES DE IMPRESION
                                                                  1//
           20X,' [1] MATRIZ DE COORDENADAS DE RESORTES
           20X,' [2] MATRIZ DE INFLUENCIAS
            20X,' [3] MATRIZ DE AREAS TRIBUTARIAS DE DOVELAS
           20X, [5] MATRIZ DE ARBAS INIDOTARIAS DE DO
20X, [4] MATRIZ DE FLEXIBILIDAD DEL SUELO
20X, [5] MATRIZ DE RIGIDEZ DEL SUELO
            20X,' [0] SALIR DE FLEXHO
            20X,'
 108 FORMAT(28X,' "OPCION?: ---> '\)
 109 FORMAT(/)
 110 FORMAT(//)
2007 FORMAT(5X,'No. ', I5,' .....
                                       OK ')
2008 FORMAT(19X,"P R O Y E C T O D E A N A L I S I S")
2009 FORMAT (//
    +12X,' INICIANDO CALCULO DE MATRIZ DE INFLUENCIA...'//)
2010 FORMAT(//
    +12X, ' FINALIZA CALCULO DE MATRIZ DE INFLUENCIA...'//)
2011 FORMAT (//
    +12X,' INICIANDO CALCULO DE MATRIZ DE FLEXIBILIDAD Y RIGIDEZ...'//)
2012 FORMAT (//
    +12X,' FINALIZA CALCULO DE MATRIZ DE FLEXIBILIDAD Y RIGIDEZ...'//)
```

```
!
     _______
     WRITE(*,100)
     WRITE(*,101)
     WRITE(*,100)
     WRITE(*,105)
     WRITE(*,102)
     READ(*,103) FDAT
                     .DAT'
     NDAT='
     NMOD='
                     .MOD'
     WRITE (NDAT (1:10), 103) FDAT
     WRITE (NMOD (1:10), 103) FDAT
     OPEN(10, FILE=NDAT, STATUS='OLD', ACCESS='SEQUENTIAL')
     OPEN(11, FILE=NMOD, STATUS='OLD', ACCESS='SEQUENTIAL')
     REWIND 10
     REWIND 11
     LECTURA DATOS INICIALES DE ANÁLISIS
1
     READ(10,*) OBRA
     READ(10,*) CR, P, PXO
     READ(10,*) Y, dy
     READ(10,^*) Z, dz
     READ(10,*) X, dx
     DEFINICIÓN DE LONGITUDES DE ANÁLISIS
!
     ZF = Z
     YF = Y
     Z = Z + 0.001

Y = Y + 0.001
     dc = dz
     dm = dy
     COUF= 1
     COUC= 1
     Iji = 0
     Aij = 0
     NB = 0.0001
     ZMX = dz/2
     AUX = 1
     AUX3= 1
     COOR= 0
     WRITE(*,110)
     WRITE(*,2008)
     WRITE(*,*) '
                           ', OBRA
     WRITE(*,110)
     PAUSE
     WRITE(*,2009)
     WRITE(*,*) "
                      PROFUNDIDAD DE ANALISIS:"
     WRITE(*,*)
     DO WHILE (ZMX.LE.Z)
     WRITE(*,2007) AUX
     IF ((ZMX.EQ.(dz/2)).OR.(ZMX.EQ.Z)) THEN
     n=dz/2
     ELSE
     n=dz
     END IF
     ZMN=ZMX - n
     YMX=dm/2
     AUX = AUX + 1
     AUX2 = 1
     DO WHILE (YMX.LE.Y)
     IF ((YMX.EQ.(dm/2)).OR.(YMX.EQ.Y)) THEN
     m=dm/2
     ELSE
     m=dm
     END IF
     YMN=YMX - m
     XPI=dx
     AUX2 = AUX2 + 1
     DO WHILE (XPI.LE.X)
```

ZPI = NB

```
COUF = 1
     DO WHILE (ZPI.LE.Z)
     YPI = NB
     FIL = 5
     DO WHILE (YPI.LE.Y)
     IF ((YPI.EQ.NB).OR.(YPI.GE.YF)) THEN
     AYI=dy/2
     ELSE
     AYI=dy
     END IF
     IF ((ZPI.EQ.NB).OR.(ZPI.GE.ZF)) THEN
     AZI=dz/2
     ELSE
     AZI=dz
     END IF
     AI=AYI*AZI
     CALL MINDLINCRHU (CR, P, PXO, YMX, ZMX, YMN, ZMN, XPI, YPI, ZPI, SIGMAI)
     Iji(COUF, COUC) = Iji(COUF, COUC) + SIGMAI
     Aji(COUF, 1)
                   = AI
     IF (AUX3.EQ.1) THEN
     COOR(COUF, 1) = YPI
     COOR(COUF, 2) = ZPI
     END IF
     YPI = YPI + dy
     COUF = COUF + 1
     END DO
     ZPI = ZPI + dc
     END DO
     XPI = XPI + dx
     AUX3 = AUX3 + 1
     END DO
     YMX = YMX + dm
     FY = YMX - (Y + (dy/2) - 0.001)
     IF ((FY.GE.-0.00001).AND.(FY.LE.0.00001)) THEN
     YMX = Y
     END IF
     COUC = COUC + 1
     END DO
     ZMX = ZMX + dz
     FZ = ZMX - (Z + (dz/2) - 0.001)
     IF ((FZ.GE.-0.00001).AND.(FZ.LE.0.00001)) THEN
     ZMX = Z
     END IF
     END DO
     WRITE(*,2010)
     COUF = COUF - 1
     COUC = COUC - 1
     AUX = AUX
                 - 1
     AUX2 = AUX2 - 1
    MATRIZ DE FLEXIBILIDAD
     WRITE(*,2011)
     WRITE(*,*) "
                      PROFUNDIDAD DE ANALISIS :"
     WRITE(*,*)
     DO 6001 i=1, AUX
     READ(11,*) MDL(i)
     ALFA(i) = dx*MDL(i)
     WRITE(*,2007) i
6001 CONTINUE
     DO 6002 i=1,COUC
     AUX1=1
     DO 6003 j=1, AUX
     DO 6004 \text{ k=1, AUX2}
     FLX(AUX1,i) = (Iji(AUX1,i)/Aji(AUX1,1))*ALFA(j)
     AUX1 = AUX1 + 1
6004 CONTINUE
6003 CONTINUE
6002 CONTINUE
```

CALL GENRIG (FLX, RGD, COUC)

```
WRITE (*, 2012)
   2 WRITE(*,106)
     WRITE(*,100)
     WRITE (*, 107)
     WRITE (*, 100)
     WRITE (*, 109)
     WRITE(*,108)
     READ(*,*) OP
     IF ((OP.LT.0).OR.(OP.GT.5)) THEN
     WRITE(*,106)
     WRITE(*,*) " LA OPCION SELECCIONADA NO ES VALIDA..."
     ELSE
     IF (OP.EQ.0) GOTO 9999
     IF (OP.EQ.1) CALL IMPRIMA(OP, COUC, FDAT, COOR, OBRA)
     IF (OP.EQ.2) CALL IMPRIMA(OP, COUC, FDAT, Iji, OBRA)
     IF (OP.EQ.3) CALL IMPRIMA(OP, COUC, FDAT, Aji, OBRA)
     IF (OP.EQ.4) CALL IMPRIMA(OP, COUC, FDAT, FLX, OBRA)
     IF (OP.EQ.5) CALL IMPRIMA(OP,COUC,FDAT,RGD,OBRA)
     END IF
     GOTO 2
     CLOSE (11)
     CLOSE (10)
9999 WRITE (*, 106)
     END
     ______
     SUBROUTINE MINDLINCRHU(W, V, XO, YMAX, ZMAX, YMIN, ZMIN, XP, YP, ZP, SIGMA)
     DOUBLE PRECISION W, V, XO, YMAX, ZMAX, YMIN, ZMIN, XP, YP, ZP, XC
     DOUBLE PRECISION R, RCZ, RA, RB, RC, PI, SIGMA
      DOUBLE PRECISION YVC, ZVC, F, F1VC, F2VC, F3VC, F4VC, F5VC
      DOUBLE PRECISION F6VC, F7VC, F8VC, F9VC, FA
     DIMENSION YVC(4), ZVC(4), F(9), F1VC(4), F2VC(4), F3VC(4), F4VC(4)
     DIMENSION F5VC(5), F6VC(5), F7VC(5), F8VC(5), F9VC(5), FA(10)
     VERTICES DE LA CARGA (EL ORIGEN SE MUEVE AL PUNTO "P" Y SE INVIERTEN LOS EJES "X", "Y" y "Z
")
     SIGMA = 0
            = XP - XO
     YVC(1) = YP - YMAX
     YVC(2) = YVC(1)
     YVC(4) = YP - YMIN
     YVC(3) = YVC(4)
     ZVC(1) = ZP - ZMAX
      ZVC(4) = ZP - ZMIN
     ZVC(2) = ZVC(4)
     ZVC(3) = ZVC(1)
     CÁLCULO DE INTEGRACIÓN DE LAS FUNCIONES DE ESFUERZOS
!
     DO 2011 i=1.4
         = SQRT(XC**2 + YVC(i)**2 + ZVC(i)**2)
         = SQRT(XC**2 + YVC(i)**2)
     RB = SQRT(XC**2 + ZVC(i)**2)
     RC = (ZVC(i) - 2*ZP)
     RCZ = SQRT(XC**2 + YVC(i)**2 + RC**2)
     F1VC(i) = (ATAN((YVC(i)*ZVC(i))/(XC*R)))/XC
     F2VC(i) = (ATAN((YVC(i)*RC)/(XC*RCZ)))/XC
     F3VC(i) = XC*YVC(i)*(XC**2+R**2)/(RA**2*RB**2*R)
     F3VC(i) = F3VC(i) + (ATAN(YVC(i)*ZVC(i)/(XC*R))/ZVC(i))
     F3VC(i) = F3VC(i)*ZVC(i)/(3*(XC**3))
     F4VC(i) = YVC(i)*(2*XC**2+YVC(i)**2+RC**2)
     F4VC(i) = F4VC(i) / (XC**2*RA**2*(XC**2+RC**2)*RCZ)
     F4VC(i) = F4VC(i) + ATAN((YVC(i)*RC)/(XC*RCZ))/(XC**3*RC)
     F4VC(i) = F4VC(i)*RC/3
     F5VC(i) = (XC*YVC(i)*RCZ*RC)/(RA**2)
     F5VC(i) = F5VC(i) + (XC*YVC(i)*RC**2)/(RA**2)
     F5VC(i) = F5VC(i) + (XC**2+RC**2)*ATAN(YVC(i)/XC)
     F5VC(i) = F5VC(i) + (XC**2+RC**2)*ATAN(YVC(i)*RC/(XC*RCZ))
```

```
F5VC(i) = F5VC(i)/(2*XC**3)
    F6VC(i) = (XC*YVC(i)*(5*XC**2+3*YVC(i)**2)*RCZ)/(RA**4)
     F6VC(i) = F6VC(i) + (2*XC**3*YVC(i)*RC)/(RA**4)
    F6VC(i) = F6VC(i) + (3*XC*YVC(i)*RC)/(RA**2)
    F6VC(i) = F6VC(i) + (3*RC*ATAN(YVC(i)/XC))
     F6VC(i) = F6VC(i) + (XC**2+3*RC**2)*ATAN((YVC(i)*RC)/(XC*RCZ))/RC
    F6VC(i) = F6VC(i)*RC/(2*XC**5)
    F7VC(i) = (XC**4*ZVC(i)) - ((YVC(i)**2 + RC**2)*RC*ZP**2)
     F7VC(i) = F7VC(i) + (XC**2*(YVC(i)**2*ZVC(i)-(2*RC*ZP**2)))
     F7VC(i) = -YVC(i)*F7VC(i)/(XC**2*RA**2*(XC**2+RC**2)*RCZ)
     F7VC(i) = F7VC(i) + ((XC**2+ZP**2)*ATAN(YVC(i)*RC/(XC*RCZ))/XC**3)
     F7VC(i) = F7VC(i)/3
    F8VC(i) = (YVC(I)*(-ZVC(I)+ZP))/((XC**2+RC**2)*RCZ)
    F8VC(i) = (F8VC(I) + (ATAN(YVC(I)*RC/(XC*RCZ))/XC))/3
     F9VC(i) = (2*ZVC(i)**3) - (11*ZVC(i)**2*ZP) + (20*ZVC(i)*ZP**2)
    F9VC(i) = F9VC(i) - ZP*(XC**2 + 12*ZP**2)
    F9VC(i) = F9VC(i)/((XC**2 +RC**2)**2*RCZ**2)
     F9VC(i) = F9VC(i) + ((RC**2*(ZVC(i)-ZP)))/((XC**2 + RC**2)*RCZ**4))
    F9VC(i) = F9VC(i) + ((XC**2-3*(RC**2))*ZP)/(XC**4*RA**2)
    F9VC(i) = F9VC(i) - (2*RC**2*ZP) / (XC**2*RA**4)
    F9VC(i) = (YVC(i)*RCZ*F9VC(i))/(RC**3)
     F9VC(i) = F9VC(i) - (3*ZP*ATAN((YVC(i)*RC)/(XC*RCZ)))/(XC**5)
    F9VC(i) = F9VC(i)*ZP/15
2011 CONTINUE
    SUMATORIA FACTORES INFLUENCIA
    F(1) = F1VC(1) - F1VC(2) - F1VC(3) + F1VC(4)
     F(2) = F2VC(1) - F2VC(2) - F2VC(3) + F2VC(4)
    F(3) = F3VC(1) - F3VC(2) - F3VC(3) + F3VC(4)
    F(4) = F4VC(1) - F4VC(2) - F4VC(3) + F4VC(4)
     F(5) = F5VC(1) - F5VC(2) - F5VC(3) + F5VC(4)
    F(6) = F6VC(1) - F6VC(2) - F6VC(3) + F6VC(4)
    F(7) = F7VC(1) - F7VC(2) - F7VC(3) + F7VC(4)
     F(8) = F8VC(1) - F8VC(2) - F8VC(3) + F8VC(4)
    F(9) = F9VC(1) - F9VC(2) - F9VC(3) + F9VC(4)
    CÁLCULO FACTORES A
    PI = ACOS(-1.0)
    FA(10) = (-W*XC)/(8*PI*(1-V))
    FA(1) = (2*V - 1)
    FA(2) = (2*V - 1)*(4*V-5)
           = -3*(XC**2)
    FA(3)
    FA (4)
           = 3*(4*V - 3)*(XC**2)
           = 12*(1-V)*(2*V - 1)
    FA(5)
    FA(6) = 4*(V-1)*(2*V-1)*(XC**2)
    FA(7) = 18
    FA(8) = 6*((2*V)-3)
    FA(9) = 30*(XC**2)*ZP
    ESTIMACIÓN FINAL DE ESFUERZO HORIZONTAL EN EL PUNTO X
    DO 2012 i=1,9
    SIGMA = SIGMA + (FA(i)*F(i))
2012 CONTINUE
    SIGMA = SIGMA*FA(10)
     IF (SIGMA.LT.0) THEN
     SIGMA=0
    END IF
    RETURN
    END
    SUBROUTINE GENRIG (MFLX, B, COUCU)
     DOUBLE PRECISION:: MFLX(2500,2500),A(2500,2500),B(2500,2500)
    INTEGER
                         COUCII
    A = 0.0
    B = 0.0
     DO 5001 J=1, COUCU
     DO 5002 I=1, COUCU
```

```
A(J,I) = MFLX(J,I)
5002 CONTINUE
     B(J, J) = 1.0
5001 CONTINUE
     DO 5003 J=1, COUCU
     DO 5004 I=J, COUCU
     IF(A(I,J).LT.0.0.OR.A(I,J).GT.0.0) THEN
     GOTO 5100
     ELSE
     END IF
5004 CONTINUE
5100 DO 5005 K=1, COUCU
     S=A(J,K)
     A(J,K) = A(I,K)
     A(I,K)=S
     S=B(J,K)
     B(J,K) = B(I,K)
     B(I,K)=S
5005 CONTINUE
     T=1/A(J,J)
     DO 5006 K=1, COUCU
     A(J,K) = T * A(J,K)
     B(J,K) = T*B(J,K)
5006 CONTINUE
     DO 5007 L=1,COUCU
     IF (L.EQ.J) THEN
     GOTO 5007
     ENDIF
     T=-1*A(L,J)
     DO 5008 K=1, COUCU
     A(L,K) = A(L,K) + T*A(J,K)
     B(L,K)=B(L,K)+T*B(J,K)
5008 CONTINUE
5007 CONTINUE
5003 CONTINUE
     RETURN
     END
1
     SUBROUTINE IMPRIMA (OPU, COUCU, FDATU, MBASE, OBRAU)
     DOUBLE PRECISION:: MBASE(2500,2500)
     INTEGER
                         OPU, COUCU
     CHARACTER
                         FDATU*10, NFLX*14, NCOO*14, NRGD*14
                         NINF*14, NARE*14, OBRAU*72
     CHARACTER
2100 FORMAT (943F25.15)
2101 FORMAT(F19.12)
2102 FORMAT(F8.4,",0.00,",F8.4,",0,0,0,0,0,0")
2103 FORMAT(A10)
                     .coo'
     NCOO='
     NINF='
                     .INF'
     NARE='
                     .ATP'
     NFLX='
                     .FLX'
                     .KS0'
     WRITE (NCOO (1:10), 2103) FDATU
     WRITE (NINF (1:10), 2103) FDATU
     WRITE (NARE (1:10), 2103) FDATU
     WRITE (NFLX (1:10), 2103) FDATU
     WRITE (NRGD (1:10), 2103) FDATU
     IF (OPU.EQ.1) THEN
     OPEN(101, FILE=NCOO, STATUS='NEW', ACCESS='SEQUENTIAL')
     WRITE(101,*) OBRAU
     WRITE(101,*) COUCU
     DO 7001 i=1, COUCU
     WRITE (101, 2102) (MBASE (i, j), j=1, 2)
7001 CONTINUE
```

```
ELSEIF (OPU.EQ.2) THEN
     OPEN(102, FILE=NINF, STATUS='NEW', ACCESS='SEQUENTIAL')
     WRITE(102,*) OBRAU
     WRITE(102,*) COUCU
     DO 7002 i=1, COUCU
     WRITE (102, 2100) (MBASE (i,j), j=1, COUCU)
7002 CONTINUE
     ELSEIF (OPU.EQ.3) THEN
     OPEN (103, FILE=NARE, STATUS='NEW', ACCESS='SEQUENTIAL')
     WRITE(103,*) OBRAU
     WRITE(103,*) COUCU
     DO 7003 i=1, COUCU
     WRITE(103,2101) MBASE(i,1)
7003 CONTINUE
     ELSEIF (OPU.EQ.4) THEN
     OPEN(104,FILE=NFLX,STATUS='NEW',ACCESS='SEQUENTIAL')
     WRITE(104,*) OBRAU
     WRITE(104,*) COUCU
     DO 7004 i=1, COUCU
     WRITE (104,2100) (MBASE (i,j),j=1, COUCU)
7004 CONTINUE
     ELSEIF (OPU.EQ.5) THEN
     OPEN(105, FILE=NRGD, STATUS='NEW', ACCESS='SEQUENTIAL')
     WRITE(105,*) OBRAU
     WRITE(105,*) COUCU
     DO 7005 i=1, COUCU
     WRITE (105,2100) (MBASE (i,j),j=1, COUCU)
7005 CONTINUE
     END IF
     CLOSE (101)
     CLOSE (102)
     CLOSE (103)
     CLOSE (104)
     CLOSE (105)
     RETURN
     END
```

MODELACIÓN DEL PROCEDIMIENTO CONSTRUCTIVO DE UNA EXCAVACIÓN CON INTERACCIÓN SUELO – ELEMENTO DE CONTENCIÓN

MANUAL DEL USUARIO DEL PROGRAMA FLEXHO

Este programa en lenguaje FORTRAN permite obtener la matriz de influencias, de rigidez y de flexibilidad del suelo por medio de la solución de Mindlin para carga horizontal rectangular uniformemente distribuida para el caso de una retícula con dimensiones definidas.

1. ARCHIVOS DE DATOS

Por medio de un archivo de datos se ingresan los parámetros para la generación de las matrices.

El archivo debe contener 10 caracteres en su nombre sin contar la extensión .DAT. Se describe a continuación por renglón los parámetros de ingreso que debe contener el archivo de datos .DAT:

- a) Título del proyecto entre comillas.
- b) La magnitud de la carga uniforme distribuida, la relación de Poisson y la coordenada Xo de los vértices de la carga uniforme separados por un espacio.
- c) La dimensión X de la retícula de la longitud y el ΔX que se desea analizar.
- d) La dimensión Z de la retícula a profundidad y el ΔZ que se desea analizar.
- e) La longitud posterior de análisis Y y su ΔY .

Para el caso del segundo archivo de datos, debe contener 10 caracteres en su nombre sin contar la extensión .MOD. En este documento se deben escribir por cada renglón los módulos de compresibilidad M_V [m²/t] obtenidos por estratificación del suelo; debido a las áreas de influencia y la subdivisión a profundidad de la retícula siempre debe contener los valores para $\Delta Z/Z + 1$.

En las figuras A.3.1 y A.3.2 se presentan las capturas de los archivos de datos iniciales .DAT y .MOD para el uso del programa FLEXHO aplicado al caso de la edificación de estudio del documento.



MODELACIÓN DEL PROCEDIMIENTO CONSTRUCTIVO DE UNA EXCAVACIÓN CON INTERACCIÓN SUELO – ELEMENTO DE CONTENCIÓN



Figura A.3.1 Archivo de datos .DAT.

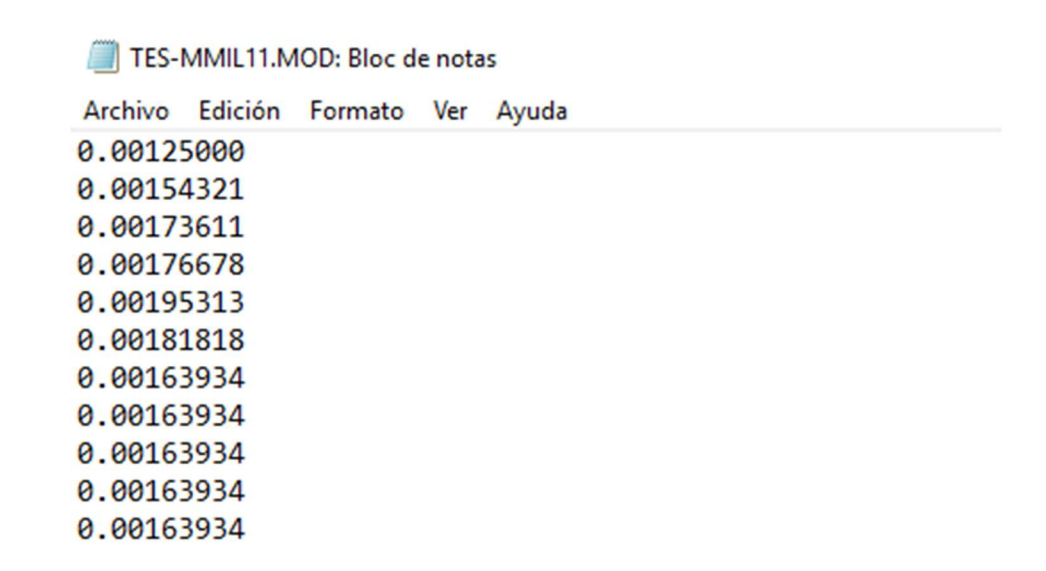


Figura A.3.2 Archivo de módulos de compresibilidad .MOD.



MODELACIÓN DEL PROCEDIMIENTO CONSTRUCTIVO DE UNA EXCAVACIÓN CON INTERACCIÓN SUELO – ELEMENTO DE CONTENCIÓN

2. RESULTADOS

Al ejecutar el programa se solicita el nombre del archivo de datos y debe escribirse sin extensión como se indica en la Figura A.3.3.



Figura A.3.3. Inicio del programa.

Si el archivo no tiene errores y luego del tiempo de cálculo se presenta el menú final de impresión que permite guardar cada matriz en archivos independientes como en la Figura A.3.4.

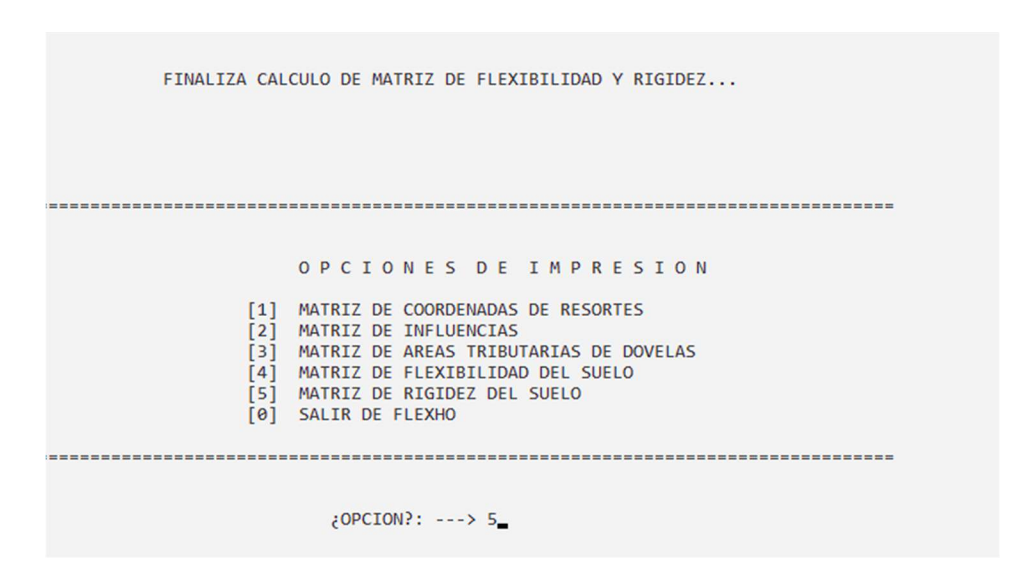


Figura A.3.4. Opciones de impresión del programa.



MODELACIÓN DEL PROCEDIMIENTO CONSTRUCTIVO DE UNA EXCAVACIÓN CON INTERACCIÓN SUELO – ELEMENTO DE CONTENCIÓN

ANEXO 4.

Modelo reticular de la estructura de contención.

ANEXO 4. MODELO RETICULAR DE LA ESTRUCTURA DE CONTENCIÓN

Longitud (Prof. (m)	m) 0	6		12	18	3		24		30	36		42		48		54		60		66		72		78		84		90	ģ	96	102	2	108		114		120	1	.26	132
0.00	1 1	2	2	3 3	4	4	4	5	5	6 6	7	7	8	8	9	9	10	10	11	11	12	12	13	13	14	14	15	15	16	16 1	7 17	18	18	19	19	20	20	21	21	22 22	2 23
1 25	23 46	24		25 26 48	3 27	5 4	10	28	_	29 5:	1 30	E2	30	E2	31 32	EA	32 33		33	EC.	34 35	_	35	E0	36	50	37 38	60	38	61	10 62	40 41		41	61	42	CE.	43	cc	44 65	45
1.23	68	69		70	71	_	_	72	_	73	74		75	- 33	76	- 54	77	33	78	30	79		80		81		82	00	83	8		85	03	86	04	87	03	88		89	90
2.50	47 91	48		49 93	3 50		-	72		52 90	6 53		54	98	55	99	56	100	57	101		_		_			61		62		3 107	64	100	65	109	66	110	67		68 11	12 69
3.75	113 70 136	71		115 72 13	8 73	-	-	117 74 1	_	75 14	119 11 76		120 77	143	121 78	144	122 79	145	123 80	146	124 81	_	125 82		83 83		127 84		128 85	151 8	29 36 152	130		131 88	154	132 89	155	90		.34 91 15	135 57 92
	158	159		160	16		_	162		163	164		165		166		167		168		169	_	170		171		172		173		74	175	5	176		177		178		.79	180
5.00	93 181	94		95 18 205	3 96	5 18		97 1		98 18	300	187	100	188	101	189	102 212	190	103	191	104 214	_	105 : 215		106 216	_	107 217	195	108 : 218	196 1	09 197	220	198	111	199	112	200	113	201 1	.14 20	225
6.25	116 226	117		118 22	8 11	9 22		120 2		121 23	1 122	232	123	233	124	234	125	235	126	236	127	_	128	_	129		130	240	131	_	32 242	133	3 243	134	244	135	245	136	246 1	.37 24	47 138
	248	249		250	25	_	_	252		253	254		255		256		257		258		259	_	260		261		262		263	2		265	5	266		267		268	2	169	270
7.50	139 271 293	140 294	272	141 27 295	3 14	6 27	-	143 2 297	275	144 27 298	'6 145 299	277	146 300	278	301	279	148 302	280	149 303	281	150 304	-	151 3 305		152 306	284	153 307	285	154 308	286 1	55 287 09	156	288	157 311	289	158 312	290	159 313	291 1	.60 29	92 161 315
8.75	162 316	163	317	164 31	8 16	5 31	-	-	320	167 32	1 168	322	169	323	170	324	171	325	172	326		-	174	-	-	329	176	330	177	331 1	78 332	179	333	180	334	181	335	182	336 1	.83 33	37 184
10.00	338 185 361	339 186	262	340 187 36	3 18	1 20	_	342 189 3	_	343 190 36	344 66 191	367	345 192	200	346 193	200	347 194	270	348 195	271	349 196		350 197		351 198	374	352 199	275	353 200	3	54 01 377	355	5 270	356 203	270	357 204	200	358 205	301 3	106 38	360 32 207
10.00	383	384	302	385	38	6	04	387	303	388	389	307	390	308	391	309	392	370	393	3/1	394	3/2	395	3/3	396	3/4	397	3/3	398	3	99	400) 3/8	401	3/9	402	360	403	301 2	104	405
11.25	208 406	209		210 40	8 21	-	-		-	213 41	1 214	412	215	413	216	414	217	415	218	416		417	220			419	222	420		121 2	24 422	225	423	226	424	227	425	228	426 2	29 42	27 230
12.50	428 231 451	232	-	430 233 45	3 23	_	-	432 235 4	-	433 236 45	434 66 237	457	435 238	458	436 239	459	437 240	460	438 241	461	439 242	462	243 4	-	441 244	464	442 245	465	443 246	166 2	44 47 467	248	8 468	446 249	469	250	470	448 251	471 2	149	450 72 253
	473	474		475	47	6		477		478	479		480		481		482		483		484		485		486		487		488	4	89	490)	491		492		493	4	94	495
13.75	254 496	255	497	256 49	8 25	7 49	99	258 5	500	259 50	260	502	261	503	262	504	263	505	264	506	265 529	507	266		267 531	509	268 532	510	269	511 2	70 512	271	513	272	514	273	515	274	516 2	75 51	17 276
15.00	277 541	278	542	279 54	3 28	0 54	44	281 5	545	282 54	16 283	547	284	548	285	549	286	550	287	551		552	289		_	554	291	555	292	556 2	93 557	294	4 558	295	559	296	560	297	561 2	198 56	52 299
	563	564		565	56	6		567		568	569		570		571		572		573		574		575		576		577		578	5	79	580)	581		582		583	5	i84	585
16.25	300 586 608	301 609		302 58 610	8 30	3 58		304 5 612	590	305 59 613	1 306	592	307 615	593	308 616	594	309 617	595	310 618	596	311 619	597	620	598	313 621	599	314 622	600	623	501 3	16 602	9 317	603	318 626	604	319 627	605	320 628	606 3	21 60	07 322 630
17.50	323 631	324	632	325 63	3 32	6 63	34	327 6	635	328 63	6 329	637	330	638	331	639	332	640	333	641		642	335	643	336	644	337	645	338	346	39 647	340	648	341	649	342	650	343	651 3	144 65	345
18.75	653 346 676	654 347	677	655 348 67	8 34	6	70	657 350 6	680	658 351 68	659	682	660 353	683	661 354	684	662 355	685	663	COC	664 357	687	665 358	688	666 359	689	667 360	690	668 361	691 3	69 62 692	9 363	3 693	671 364	694	672 365	COF	673	600	67 69	675 97 368
18.75	698	699		700	70	1	-	702		351 68 703	704	002	705	003	706	064	707	083	356 708	000	709	-	710	_	711	089	712	690	713	7		715	5 693	716	094	717	695	366 718		19	720
20.00	369 721	370		371 72	3 37	2 72	-		-	374 72	16 375	727	376	728	377	729	378	730	379	731		-	381			734	383	735	384	-	85 737	386	738	387	739	388	740	389	741 3	90 74	42 391
21.25	743 392 766	393		745 394 76	8 39	5 76		747 396 7		748 397 77	749	772	750 399	773	751 400	774	752 401	775	753 402	776	754 403	_	755 404	_	756 405	779	757 406	780	758 407	_	59 08 782	760	783	761 410	784	762 411	785	763 412	786 4	64 13 78	765 87 414
	788	789		790	79	1	-	792		793	794		795		796		797		798		799		800		801		802		803		04	805	5	806		807		808		109	810
22.50	415 811 833	416		417 81 835	3 41	8 81	_	419 8 837		420 81 838	6 421	817	422	818	423	819	424 842	820	425 843	821	426 844	822	427	823	428		429 847		430 848	326 4	31 827	432	828	433	829	434	830	435		36 83 54	32 437 855
23.75	438 856	439		440 85	8 44	1 85	_		_	443 86	61 444	862	445	863	446	864	447	865	448	866		867	450	868	451		452		0.0		54 872	455	873	456	874	457	875	458		159 87	77 460
	878	879		880	88		-	882	-	883	884		885		886		887		888		889	_	890		891	-	892		893		94	895	5	896		897		898		199	900
25.00	461 901 923	924		90 925	3 46	6 90	-	927 9	-	90 928	929	907	468 930	908	469 931	909	470 932	910	471 933	911	934	912	935 S	913	474 936	914	475 937	915	938	916 4	77 917 39	940	918	479 941	919	480 942	920	481 943	921 4	182 92 144	22 483 945
26.25	484 946	485		486 94	8 48					489 95	1 490	952	491	953	492	954	493	955	494	956		957	496				498	960	499		00 962	501	1 963	502	964	503	965	504	966 5	05 96	57 506
27.50	968	969 508		970 509 99	97 3 51			972 511 9		973 512 99	974 16 513	007	975 514	000	976	000	977 516	1000	978 517	1001	979 518 1	002	980 519 1		981 520 :		982 521	1005	983 522 1	006 5	23 100	985 7 524	1000	986 525	1000	987 526	1010	988 527	1011	28 10:	990 12 529
27.30	1013	1014	332	.015	101	16	1	1017	1	1018	1019	9	1020	330	1021	333	1022	1000	1023	1001	1024	_	1025	_	1026	1004	1027	1003	1028	10	129	103	0	1031	1003	1032	1010	1033	1011	034	1035
28.75	530 1036	531	1037	532 103	38 53	3 10	-	534 10	_	535 104	41 536		537	1043	538	1044	539	1045	540	1046	541 1	-	542 1		543		544	1050	545 1	051 5	46 105	2 547	7 1053	548	1054	549	1055	550	1056 5	51 105	552
30.00	553 1081	554	1082	555 108	33 55	6 10		1062 557 10		1063 558 108	1064 86 559		1065 560	1088	561	1089	562	1090	563	1091	1069 564 1		1070 565 1		1 071 566		1072 567	1095	568 1	096 5	69 109	7 570	1098	571	1099	572	1100	573	1101 5	74 110	.02 575
	1103	1104		105	110	06		1107		1108	1109	9	1110		1111		1112		1113		1114		1115	1	1116		1117		1118	11	19	112	0	1121		1122		1123		124	1125
31.25	576 1126 1148	577		578 113 150	28 579	_	_	580 1: 1152	-	581 11: 1153	31 582 1154		583 1155	1133	584 1156	1134	585 1157	1135	586 1158	1136	587 1 1159	_	588 1 1160	_	589 : 1 161		590 1162		591 1 1163	141 5	92 114	2 593	3 1143	594 1166	1144	595 1167	1145	596 1168		97 114 169	.47 598 1170
32.50	599 1171	600		601 117	73 60	-	-	603 1:	$\overline{}$	604 11	76 605		606	1178	607	1179	608	1180	609	1181	610	-	611 1				613		614 1		15 118	7 616	5 1188	617	1189	618	1190	619		20 119	92 621
22.75	1193 622 1216	1194		195 624 121	119		-	1197		1198	1199		1200	1223	1201 630	4224	1202	4225	1203	4226	1204 633 1		1205		1206		1207		1208 637 1		109	121	0 4222	1211 640	4224	1212	4225	1213		214	1215
33.75	1238	623 1239		1240	18 62			626 1: 1242	_	627 123 1243	21 628		629 1245	1223	1246	1224	631 1247	1225	632 1248	1226	1249	_	634 1 1250		635 1251		636 1252		1253	231 6	123.	125		1256	1234	641 1257	1235	642 1258		259 123	1260 1260
35.00	645 1261	646		647 126	64	-		649 1		650 120	66 651		652	1268	653	1269	654	1270	655	1271	656 1		657 1				659		660 1	276 6		7 662		663	1279	664	1280	665		666 128	82 667
36.25	1283 668 1306	1284 669		1285 670 130	128			1287 672 1		673 13	1289		1290 675	1313	1291 676	1314	1292 677		1293 678		1294 679 1		1295 680 1		681		1297 682		1298 683 1		199 84 132	2 68		1301 686	1324	1302 687	1325	1303 688		304	1305 27 690
	1328	1329		1330	133	31	1	1332	1	1333	1334	4	1335		1336		1337		1338		1339		1340	1	1341		1342		1343	13	344	134	5	1346		1347		1348	13	349	1350
37.50	691 1351 1373	692 1374		693 135 1375				695 13 1377		696 13! 1378			698 1380			1359			701 1383		702 1 1384		703 1 1385		704 :		705 1387		706 1 1388		07 136 889		0 1368	709 1391		710 1392		711 1393		'12 13' 394	72 713
38.75	714 1396				137 98 71																											2 731	1 1413								17 736
	1418	1419		420	142			1422		1423	142		1425		1426		1427		1428		1429		1430		1431		1432		1433		134		5	1436		1437		1438		439	1440
40.00	737 1441 1463	738 1464		739 144 1465	13 74			741 14 1467		742 144 1468			1470		745 1471		746 1472		1473		748 1 1474		749 1 1475		750 :		751 1477		752 1 1478		53 145°	7 754		755 1481		756 1482		757 1483		758 146 484	.62 759 1485
41.25	760 1486				38 76	3 14			1490	765 149	91 766	1492			768	1494			770	1496	771 1	1497	772 1	1498	773	1499	774	1500	775 1	501 7											
42.50	1508 783 1531	1509		.510 785 153	151			1512 787 11		1513 788 15	1514		1515 700		1516 701		1517 702		1518 703		1519 704 1		1520 705 1		706		707		1523 708 1		00 15/1		5 15/8	1526		1527		1528		529	1530
72.30	1553	1554		.555	155	56	1	1557	1	1558	1559	9	1560		1561		1562		1563		1564		1565	1	1566		1567		1568	15	69	157	0	1571		1572		1573	15	574	1575
43.75	806 1576					_	_		_																		_					_	_			_					
45.00	1598 829 1621	1599 830		831 162		2 16	-	1602 833 1	$\overline{}$	1603 834 163	1604 26 835		1605 836		1606 837		1607 838		1608 839	$\overline{}$	1609 840 1	$\overline{}$	1610 841 1	1633			1612 843		1613 844 1	-	514 45 163		5 1638	1616 847		1617 848		1618 849		619 850 164	1620 42 851
	1643	1644		.645	164	16	1	1647	1	1648	1649	9	1650		1651		1652		1653		1654		1655	1	1656		1657		1658	16	559	166	0	1661		1662		1663	16	664	1665
46.25	852 1666 1688	853 1689		854 166 1690	58 85 169		69	856 10 1692		857 16 1693	71 858 1694		859 1695		860 1696		861 1697		862 1698		863 1 1699		864 1 1700	1678		1679	866 1702		867 1 1703	681 8		2 869	1683	870 1706		871 1707		872 1708		709 168	87 874 1710
47.50	875 1711					_	_		_			_			_	_						_		_	_		_						_			_					32 897
40.75	1733	1734		1735	173			1737		1738	1739		1740			4764			1743		1744		1745		1746		1747				49			1751		1752		1753		754	1755
48.75	898 1756 1778	899 1779	-	900 175	58 90 178	-	-	902 1 1782	-	903 170 1783	61 904 178		905 1785		906 1786	1764	907 1787		908 1788		909 1 1789		910 1 1790		911 :	1769	912 1792		913 1 1793	771 9		2 915	5 1773	916 1796		917 1797	1775	918 1798		799	77 920 1800
50.00	921 1801			923 180		-	-	925 1													932 1																				



MODELACIÓN DEL PROCEDIMIENTO CONSTRUCTIVO DE UNA EXCAVACIÓN CON INTERACCIÓN SUELO – ELEMENTO DE CONTENCIÓN

ANEXO 5. Codificación EMISES3D.

```
!
     ______
1
!
     PROGRAMA DE INTERACCIÓN SUELO-CIMENTACIÓN-ESTRUCTURA
     EMISES 3D
!
     ______
!
     CRITERIO : LÓPEZ RINCÓN.
!
     CODIFICACIÓN: ZEA CONSTANTINO.,
1
                    LOPEZ RINCÓN.,
                    RIVERA CONSTANTINO.,
!
                    JIMENEZ GARROTE.
     VERSIÓN 2019.1
1
     ______
            **** ECUACION MATRICIAL DE INTERACCIÓN ****
     CHARACTER GA*8, ADE*14, ARS*14, OBRA*72, AKE*14, AKSE*14, ALD*14
                      nd=nudo destino
     no=nudo origen ,
     DIMENSION NO(8000), ND(8000)
!
     Área y longitud
     DIMENSION AREA(8000), XLON(8000)
     xinerx, xinery, xinerz , momento de inercia x, y, z
     DIMENSION XINERX(8000), XINERY(8000), XINERZ(8000), XJ(8000)
     Elas=modulo elastico , g=modulo de cortante v=relaci¢n de poisson
!
     DIMENSION ELAS(8000), G(8000), V(8000)
     Coordenadas de los nudos
!
     DIMENSION X(8000), Y(8000), Z(8000)
     Restricciones de desplamiento de los nudos
     DIMENSION IRX(8000), IRY(8000), IRZ(8000)
     Restricciones de giro de los nudos
1
     DIMENSION IRAX(8000), IRAY(8000), IRAZ(8000)
     Matriz de rigidez local [k'aa], [k'ab], [k'ba], [k'bb]
     DIMENSION XKPAA(6,6), XKPAB(6,6), XKPBA(6,6), XKPBB(6,6)
     Matriz de rigidez global [kaa, [kab], [kba], [kbb]
!
     DIMENSION XKAA(6,6), XKAB(6,6), XKBA(6,6), XKBB(6,6)
     t = matriz de transformacion [T]
     tt = mat. de transf. transpuesta [T]T
!
     DIMENSION T(6,6), TT(6,6)
!
     Cosenos directores
     DIMENSION COALFX(8000), COALFY(8000), COALFZ(8000)
     DIMENSION COBETX (8000), COBETY (8000), COBETZ (8000)
     DIMENSION COGAMX(8000), COGAMY(8000), COGAMZ(8000)
     DIMENSION VN(3), VX(3), VY(3), VZ(3)
     DIMENSION N1 (8000), N2 (8000)
     REAL
              YLON, ZLON
     Vectores que definen la dirección de los ejes locales
     DIMENSION X1(8000), Y1(8000), Z1(8000)
     DIMENSION X2(8000), Y2(8000), Z2(8000)
     Matriz temporal y de equilibrio
1
     DIMENSION TEMPORAL(6,6), EQ(8000)
     Matriz de rigidez global de la estructura [k]
     DIMENSION XRIG(8000,8000)
```

Vector de fuerzas global {f}

!

```
DIMENSION F(8000), FA(6), FB(6), FLN(6), FE(8000)
!
     Vector de fuerzas en locales {flnud}
     DIMENSION FLNUD(6), FPA(6), FPB(6)
     Vector de fuerzas de empotramiento en locales
     del nudo a (origen) {fempa} y del nudo b (destino) {fempb}
!
     DIMENSION FEMPA (8000, 6), FEMPB (8000, 6)
1
     Vector de dezplazamientos locales
     DIMENSION DPA(6), DPB(6), DAUX(6), DBAUX(6), FAUX(6)
     Vector de dezplazamientos globales
     DIMENSION D(8000), DA(6), DB(6)
     INTEGER BCW(8000), BCC(8000)
     DIMENSION WX(8000), WY(8000), WZ(8000)
     DIMENSION PX(8000), PY(8000), PZ(8000), AX(8000),
    +AY (8000), AZ (8000)
     DIMENSION NC(8000), FX(8000), FY(8000), FZ(8000), AMX(8000),
    +AMY(8000), AMZ(8000)
     DIMENSION EMAK(8000)
!
     ______
   2 FORMAT (
    + ' '
    +' ÛÛÛÛÛÛÛÛ'/
    +' ÛÛÛÛÛÛÛÛ'/
+' ÛÛ'/
    +' ÛÛ'/
    +' ÛÛÜÜÜÜ'/
    +' AAAAÛÛ '+
    +' ÛÛ'/
    + '
       ûû'/
    + '
       ûûûûûûûûû'/
       ÛÛÛÛÛÛÛÛ M I S E S
                           3 D
                                   (VERSION 2019.1)'///
    + '
    +' ECUACION MATRICIAL DE INTERACCION SUELO-ESTRUCTURA'//
    +' CODIFICACION EN FORTRAN: CZC. GLR. RRC. Y CJG.'//
    + '
                 *** A D V E R T E N C I A ***'/
    + '
                 LOS AUTORES DE ESTE PROGRAMA'/
    + '
                 NO SE HACEN RESPONSABLES POR'/
    + '
                 EL USO INDEBIDO DEL MISMO NI'/
    + '
                 POR LOS RESULTADOS QUE ARROJE'//
    +2x,
    +'PARA ACLARACIONES, FAVOR DE COMUNICARSE AL TEL.5622-80-03, MEX.'/
    +' CELULAR: 0445541815196'/
    +//20x,'INGRESE NOMBRE DEL GRUPO DE ARCHIVOS (Sin extension): '/
               20x,'(e.j. xYz) --> '\)
   3 FORMAT (/
                         *** E R R O R ***'/
    + '
           NO EXISTE EL ARCHIVO DE DATOS DE LA ESTRUCTURA'/)
   5 FORMAT (A8)
   9 FORMAT(///20x,' ANALISIS CON LA MATRIZ DE RIGIDEZ DEL SUELO
    +# : '/20x,'[e.j.: 1] --> '\)
  11 FORMAT (/' ERROR: NO EXISTE O ESTA MAL DECLARADO ',
    +/' EL ARCHIVO DE RIGIDECES DEL SUELO')
  12 FORMAT(/10x,' NOMBRE ARCHIVO DE RIGIDECES DEL SUELO
    +(teclee el ".KS#")'/
    +10x,' (e.j. xYz.KS1) --> '\)
  13 FORMAT (A14)
  15 FORMAT(/" A N A L I S I S D E
                                    INTERACCION
    +S U E L O - E S T R U C T U R A"//
    +/"NOMBRE DE ESTRUCTURA: "A72/"NUMERO DE BARRAS = "I5/
    +"NUMERO DE NUDOS = "I5)
  16 FORMAT (//
    +" <----> COORDENADAS ---->
    +<---->"
                                      Y
    +/" NUDO X
+ Rx Ry Rz
                                            Gz")
                                   Gy
                               Gx
  17 FORMAT(I5, 3F15.4, I17, 5I9)
  18 FORMAT(I5,2I15)
  19 FORMAT(//" INCIDENCIAS DE LAS BARRAS"/
```

```
+" BARRA
                NUDO ORIGEN NUDO DESTINO")
   ) FORMAT(//" PROPIEDADES GEOMETRICAS"
+/" AREA J IY I
  20 FORMAT(//"
  21 FORMAT(F10.5,3E15.5)
 22 FORMAT (//"
                            PROPIEDADES ELASTICAS"
   +/" BARRA
 23 FORMAT(I5,3F15.3)
 24 FORMAT(//" PROPIEDADES DEL SUELO DE APOYO"
   +/" NUMERO DE RESORTES = "I5
   +//"
        (I,J)
                       K")
  25 FORMAT (215, F15.5)
  26 FORMAT(" Se termina de incorporar matriz K del suelo a matriz K"/
   +" de la estructura y se almacena matriz K suelo - estructura.")
  27 FORMAT(" Se incorpora matriz K del suelo a K de la estructura.")
  28 FORMAT (
   +/" # DE BARRAS CON CARGA UNIFORME
                                    = "T5
   +/" # DE BARRAS CON CARGA CONCENTRADA = "I5
   +/" # DE NUDOS CON CARGA
  29 FORMAT(/" CARGAS DISTRIBUIDAS EN LAS BARRAS"//
   +" BARRA Wx
                       Wy Wz")
  30 FORMAT(I5,3F10.4)
  31 FORMAT (//
   + "
                    CARGAS CONCENTRADAS EN LAS BARRAS"//
   + "
       BARRA
                Рx
                    Ax Py
                                      Ay Pz
                                                              Αz
   +")
  32 FORMAT(I5, 6F10.4)
  33 FORMAT (//
   + "
                    FUERZAS Y MOMENTOS EN LOS NUDOS"//
   +" NUDO
               Рx
                                      Mx
                   Py Pz
                                                   Mv
                                                             M z.
   +")
  35 FORMAT(//"LONGITUD DE LAS BARRAS"
   +/"BARRA LONGITUD")
  36 FORMAT(I5,F10.3)
  37 FORMAT(' BARRA:', I5, ' xlon(i) :' ,F10.5, ' ylon: ' ,F10.5,
   +' zlon: ',F10.5)
  40 FORMAT(//29X"DESPLAZAMIENTO DE LOS NUDOS "//
   +" Nudo
                                                DΖ
                            Gz"/)
              Gу
  41 FORMAT(I5,6F15.5)
  42 FORMAT (//39X"REACCIONES "/
   +" Nudo Fx
                                                              М×
                            Mz"/)
              Му
  45 FORMAT(//20X" SOLUCION DE LA INTERACCION SUELO-ESTRUCTURA")
 50 FORMAT (2i5, 6F10.3, i5, 6F10.3)
1074 FORMAT("Barra Nudo Fuerza x Fuerza y Fuerza z Momento x Momento
   + y Momento z Nudo Fuerza x Fuerza y Fuerza z Momento x Momento
   +y Momento z")
    _____
  1 WRITE(*,2)
    READ(*,5) GA
    ADE= '
                 .FRM'
    ALD= '
                 .ISE'
    WRITE (ADE (1:8),5) GA
    WRITE (ALD (1:8),5) GA
    OPEN (1, FILE=ADE, STATUS='OLD', ACCESS='SEQUENTIAL', ERR=6)
    OPEN (10, FILE=ALD, STATUS='UNKNOWN', ACCESS='SEQUENTIAL', ERR=6)
    IMMAT = 1
    GOTO 7
  6 WRITE(*,3)
    CALL DETENER
    GOTO 1
  7 REWIND(1)
    NÚMERO DE BARRAS Y NUDOS
    READ(1,*) OBRA
```

```
READ(1,*) NBAR, NNUD
!
      NÚMERO DE GRADOS DE LIBERTAD
      NGL=6*NNUD
      WRITE (10, 15) OBRA, NBAR, NNUD
     LECTURA DE COORDENADAS, RESTRICCIONES DE DESPLAZAMIENTO Y GIRO DE LOS NUDOS
!
      ii = 5
      WRITE (10, 16)
      DO 1001 I = 1, NNUD
      READ(1,*) X(i),Y(i),Z(i),IRX(i),IRY(i),IRZ(i),IRAX(i),IRAY(i),
     +IRAZ(i)
      ii = ii + 1
     WRITE (10, 17) i, X(i), Y(i), Z(i), IRX(i), IRY(i), IRZ(i),
     +IRAX(i), IRAY(i), IRAZ(i)
 1001 CONTINUE
      LECTURA DE INCIDENCIA DE LAS BARRAS
      WRITE (10, 19)
      DO 1002 i=1, NBAR
      READ(1,*) NO(I), ND(I)
      WRITE(10,18) I,NO(I),ND(I)
 1002 CONTINUE
      PROPIEDADES GEOMÉTRICAS
      ii = 5
      WRITE (10, 20)
      DO 1003 i = 1, NBAR
      READ(1,*) AREA(i), XINERX(i), XINERY(i), XINERZ(i)
      XJ(i) = XINERX(i)
      ii = ii + 1
      WRITE(10,21) AREA(i), XINERX(i), XINERY(i), XINERZ(i)
1003 CONTINUE
      ii = 5
      WRITE (10,22)
      DO 1004 i = 1, NBAR
      READ(1,*) ELAS(i),v(i)
      ii = ii + 1
      G(i) = ELAS(i) / (2 * (1 + v(i)))
      WRITE (10, 23) i, ELAS (i), v(i), G(i)
 1004 CONTINUE
     DEFINICIÓN DE LOS EJES LOCALES DE LA BARRA X', Y' y C'
      DO 1005 i = 1, NBAR
      READ(1,*) N1(i), N2(i), X1(i), Y1(i), Z1(i), X2(i), Y2(i), Z2(i)
 1005 CONTINUE
     OBTENCIÓN DE LA LONGITUD DE LAS BARRAS
      WRITE (10, 35)
      DO 1006 i = 1, NBAR
      XLON(i) = SQRT((X(ND(i)) - X(NO(i)))**2+ (Y(ND(i)))
     +- Y(NO(i)))**2+ (Z(ND(i)) - Z(NO(i)))**2)
     WRITE(10,36) i, XLON(i)
1006 CONTINUE
-1
      DEFINICIÓN DE LOS VECTORES {vx'}, {vy'}, {vz'}
!
      si n1 <> 0 y n2 <> 0
!
      {n1}={x1,y1,z1} , {n2}={x2,y2,z2} nudos que definen un vector {vn}={n2}-{n1}
      Si n1=0 y n2=0
1
      \{n1\}=\{x1,y1,z1\} , \{n2\}=\{x2,y2,z2\} definidos en el plano local x'-z'
      si n1 <> 0 y n2 = 0
          Si n1=1, z' es paralelo al eje global X
1
!
          Si n1=2, z' es paralelo al eje global Y
          Si n1=3, z' es paralelo al eje global Z
     Si n1=0 y n2 <> 0
!
     {n1}={xo,yo,zo}=nudo origen de la barra
!
      \{n2\}=\{x2,y2,z2\}=nudo final del vector
!
      Definidos en el plano local x'-y'
```

```
DO 1007 i = 1, NBAR
     Vector {vx'}
!
      VX(1) = X(ND(i)) - X(NO(i))
     VX(2) = Y(ND(i)) - Y(NO(i))

VX(3) = Z(ND(i)) - Z(NO(i))
      IF(N1(i).NE.O.AND.N2(i).NE.O) THEN
!
     Vector {vn}
      VN(1) = X(N2(i)) - X(N1(i))
      VN(2) = Y(N2(i)) - Y(N1(i))
      VN(3) = Z(N2(i)) - Z(N1(i))
!
     Vector {vy'}
     CALL PRODCRUZ (VN, VX, VY)
     Obtención del módulo de {vy'}
      YLON = SQRT(VY(1)**2+ VY(2)**2+ VY(3)**2)
!
     Vector {vz'}
     CALL PRODCRUZ (VX, VY, VZ)
!
     Obtención del módulo de {vz'}
      ZLON = SQRT(VZ(1)**2+ VZ(2)**2+ VZ(3)**2)
      ELSE
     IF(N1(i).EQ.0.AND.N2(i).EQ.0) THEN
!
     Vector {vn}
     VN(1) = X2(i) - X1(i)
      VN(2) = Y2(i) - Y1(i)
      VN(3) = Z2(i) - Z1(i)
      Vector {vy'}
      CALL PRODCRUZ (VN, VX, VY)
      Obtención del módulo de {vy'}
     YLON = SQRT(VY(1) **2+VY(2) **2+VY(3) **2)
      Vector {vz'}
      CALL PRODCRUZ (VX, VY, VZ)
      Obtención del módulo de {vz'}
      ZLON = SQRT(VZ(1)**2+VZ(2)**2+VZ(3)**2)
      ELSE
     IF(N1(i).NE.O.AND.N2(i).EQ.O) THEN
     Vector {vz'}
     IF(N1(i).EQ.1) THEN
      VZ(1) = 1
      VZ(2) = 0
      VZ(3) = 0
     END IF
      IF(N1(i).EQ.2) THEN
      VZ(1) = 0
      VZ(2) = 1
      VZ(3) = 0
     END IF
      IF(N1(i).EQ.3) THEN
      VZ(1) = 0
      VZ(2) = 0
      VZ(3) = 1
     END IF
     Obtención del módulo de {vz'}
      ZLON = 1
```

```
Vector {vy'}
!
      CALL PRODCRUZ (VZ, VX, VY)
      Obtención del módulo de {vv'}
      YLON = SQRT(VY(1)**2+ VY(2)**2+ VY(3)**2)
      ELSE
      IF(N1(i).EQ.O.AND.N2(i).NE.O) THEN
      Vector {vn}
      VN(1) = X(N2(i)) - X(NO(i))
      VN(2) = Y(N2(i)) - Y(NO(i))
      VN(3) = Z(N2(i)) - Z(NO(i))
      Vector {vz'}
1
      CALL PRODCRUZ (VX, VN, VZ)
     Obtención del módulo de {vz'}
      ZLON = SQRT(VZ(1)**2+ VZ(2)**2+ VZ(3)**2)
     Vector {vy'}
!
      CALL PRODCRUZ (VZ, VX, VY)
      Obtención del módulo de {vy'}
      YLON = SQRT(VY(1)**2+ VY(2)**2+ VY(3)**2)
      END IF
      END IF
      END IF
      END IF
     Obtención de los ángulos directores de los ejes locales
!
     Eie X
      COALFX(i) = VX(1) / XLON(i)
      COBETX(i) = VX(2) / XLON(i)
      COGAMX(i) = VX(3) / XLON(i)
!
     Eje Y
      COALFY(i) = VY(1) / YLON
      COBETY(i) = VY(2) / YLON
      COGAMY(i) = VY(3) / YLON
     Eje Z
      COALFZ(i) = VZ(1) / ZLON
      COBETZ(i) = VZ(2) / ZLON
      COGAMZ(i) = VZ(3) / ZLON
1007 CONTINUE
     Cálculo de la matriz de rigidez
      DO 1008 i = 1, NBAR
      CALL TRANSFORMA (T, COALFX (i), COALFY (i), COALFZ (i), COBETX (i),
     +COBETY(i), COBETZ(i), COGAMX(i), COGAMY(i), COGAMZ(i))
     CALL TRANSPONE (T, TT, 6)
     Obtención de [kaa] = [T]T [k'aa] [T]
     CALL OBTKPAA(XKPAA, XLON(i), AREA(i), XINERX(i), XINERY(i),
     +XINERZ(i), ELAS(i), G(i), XJ(i))
      CALL MULTIPLICA (TT, XKPAA, TEMPORAL, 6)
      CALL MULTIPLICA (TEMPORAL, T, XKAA, 6)
      CALL GUARDAK (XKAA, NO (i), NO (i), XRIG)
     Obtención de [kab] = [T]T [k'ab] [T]
      CALL OBTKPAB(XKPAB, XLON(i), AREA(i), XINERX(i), XINERY(i),
     +XINERZ(i), ELAS(i), G(i), XJ(i))
      CALL MULTIPLICA (TT, XKPAB, TEMPORAL, 6)
      CALL MULTIPLICA (TEMPORAL, T, XKAB, 6)
      CALL GUARDAK (XKAB, NO (i), ND (i), XRIG)
```

```
Obtención de [kba] = [T]T [k'ab] [T]
     CALL TRANSPONE (XKPAB, XKPBA, 6)
     CALL MULTIPLICA (TT, XKPBA, TEMPORAL, 6)
      CALL MULTIPLICA (TEMPORAL, T, XKBA, 6)
     CALL GUARDAK (XKBA, ND (i), NO (i), XRIG)
!
     Obtención de [kbb] = [T]T [k'ab] [T]
     CALL OBTKPBB (XKPBB, XLON(i), AREA(i), XINERX(i), XINERY(i),
     +XINERZ(i), ELAS(i), G(i), XJ(i))
      CALL MULTIPLICA (TT, XKPBB, TEMPORAL, 6)
      CALL MULTIPLICA (TEMPORAL, T, XKBB, 6)
      CALL GUARDAK (XKBB, ND (i), ND (i), XRIG)
1008 CONTINUE
     Guarda la matriz de rigidez de la estructura
               .KES'
      WRITE (AKE (1:8),5) GA
      OPEN(2, FILE=AKE, STATUS='UNKNOWN', ACCESS='SEQUENTIAL')
      DO 1010 i = 1, NGL
      DO 1009 j = 1, NGL
      WRITE(2,*) XRIG(i, j)
1009 CONTINUE
1010 CONTINUE
     CLOSE(2)
      PRINT *
      WRITE(*,*) "Se almacena matriz K de la estructura."
     Fin almacenamiento matriz K de la estructura
     Incorporación de matriz de rigidez del suelo con la de la estructura
     WRITE(*,27)
    8 WRITE(*,9)
      READ(*,*,ERR=8) NARS
     IF(NARS.EQ.1) ARS='
                                 .KS1'
     IF(NARS.EQ.2) ARS='
     IF(NARS.EQ.3) ARS='
                                 .KS3'
                                 .KS4'
     IF(NARS.EQ.4) ARS='
                                 .KS5'
      IF(NARS.EQ.5) ARS='
                                 .KS6'
      IF(NARS.EQ.6) ARS='
     IF(NARS.EQ.7) ARS='
                                 .KS7'
     IF(NARS.EQ.8) ARS='
                                 .KS8'
                                 .KS9'
     IF(NARS.EQ.9) ARS='
     IF (NARS.EQ.10) ARS='
                                  .KSx'
      WRITE (ARS (1:8),5) GA
      PRINT *
      WRITE(*,*)'El archivo K del suelo es: ', ARS
     OPEN (3, FILE=ARS, STATUS='OLD', ACCESS='SEQUENTIAL', ERR=10)
      GOTO 14
   10 WRITE(*,11)
     WRITE(*,12)
     READ(*,13,ERR=10) ARS
  14 READ(3,*) OBRA
     READ(3,*) NDOV
      WRITE(10,24) NDOV
      WRITE(*,*)'NUMERO DE RESORTES = ', NDOV
      PRINT *
      CALL DETENER
      DO 1012 i = 1, NDOV
      READ(3, *) (EMAK(j), j=1, ndov)
      DO 1011 j = 1, ndov
      nreng = (i - 1) * 6 + 2
```

!

```
ncol = (j - 1) * 6 + 2
      WRITE (10, 25) I, J, EMAK (J)
      xrig(nreng, ncol) = xrig(nreng, ncol) + EMAK(J)
1011 CONTINUE
1012 CONTINUE
      CLOSE (3)
     Guarda la matriz K suelo-estructura
                    .KSE'
      AKSE= '
      WRITE (AKSE (1:8),5) GA
      OPEN(4, FILE=AKSE, STATUS='UNKNOWN', ACCESS='SEQUENTIAL')
      DO 1014 i = 1, NGL
      DO 1013 j = 1, NGL
      WRITE(4,*) XRIG(i, j)
1013 CONTINUE
1014 CONTINUE
      CLOSE (4)
      WRITE(*,26)
      PRINT *
      CALL DETENER
!
     Fin alamacenamiernto matriz K suelo-estructura
     Lectura de barras con carga uniforme y carga concentrada
!
     Lectura de barras y nudos cargados
      - NBCW =
                  Número de barras con carga uniforme
      - NBCC =
                 Número de barras con carga concentrada
!
      - NNC
                 Número de nudos con carga
      READ(1,*) NBCW, NBCC, NNC
      WRITE(10,28) NBCW, NBCC, NNC
!
      Lectura de barras con carga uniforme (carga en x, y, z)
     ii = 5
      WRITE (10, 29)
      DO 1015 i = 1, NBCW
      READ(1,*) BCW(i),WX(i),WY(i),WZ(i)
      ii = ii + 1
      WRITE(10,30) BCW(i),WX(i),WY(i),WZ(i)
1015 CONTINUE
      Lectura de barras con cargas concentradas
      Distancias desde el nudo origen donde estan aplicadas
      ii = 5
      WRITE (10,31)
      DO 1016 i = 1, NBCC
      READ(1,*) BCC(i), PX(i), PY(i), PZ(i), AX(i), AY(i), AZ(i)
      ii = ii + 1
      WRITE(10,32) BCC(i), PX(i), AX(i), PY(i), AY(i), PZ(i), AZ(i)
1016 CONTINUE
     Lectura de fuerzas y momentos en los nudos
      ii = 5
      WRITE (10, 33)
      DO 1017 i = 1, NNC
      READ(1,*) NC(i), FX(i), FY(i), FZ(i), AMX(i), AMY(i), AMZ(i)
      ii = ii + 1
      WRITE(10,32) NC(i), FX(i), FY(i), FZ(i), AMX(i), AMY(i), AMZ(i)
     FE(6*NC(i)-5)=FX(i)
      FE(6*NC(i)-4)=FY(i)
      FE(6*NC(i)-3)=FZ(i)
      FE (6*NC(i)-2)=AMX(i)
      FE(6*NC(i)-1)=AMY(i)
      FE(6*NC(i))=AMZ(i)
1017 CONTINUE
      Obtención de momentos de empotramiento
```

```
!
     Momentos de empotramiento para carga uniforme
!
     -nbcw=num de barras con carga uniforme
!
     -fempa= fuerzas de empotramiento en el nudo a(origen)
1
      -fempb= fuerzas de empotramiento en el nudo b(destino)
!
      -bcw=barra que va a estar cargada
     DO 1018 n = 1, NBCW
     i = BCW(n)
      Contribución de la carga en x
      FEMPA(i,1) = FEMPA(i,1) - WX(n)*XLON(i)/2
      FEMPB(i,1) = FEMPB(i,1) - WX(n)*XLON(i)/2
     Contribución de la carga en y
     FEMPA(i,2) = FEMPA(i,2) - WY(n)*XLON(i)/2
      FEMPA(i,6) = FEMPA(i,6) - WY(n)*XLON(i)**2/12
      \texttt{FEMPB}(\texttt{i,2}) = \texttt{FEMPB}(\texttt{i,2}) - \texttt{WY}(\texttt{n}) * \texttt{XLON}(\texttt{i}) / 2
      FEMPB(i,6) = FEMPB(i,6) + WY(n)*XLON(i)**2/12
     Contribución de la carga en z'
     FEMPA(i,3) = FEMPA(i,3) - WZ(n)*XLON(i)/2
      FEMPA(i,5) = FEMPA(i,5) + WZ(n)*XLON(i)**2/12
      FEMPB(i,3) = FEMPB(i,3) - WZ(n)*XLON(i)/2
      FEMPB(i,5) = FEMPB(i,5) - WZ(n)*XLON(i)**2/12
1018 CONTINUE
!
     Momentos de empotramiento para cargas concentradas
!
     -nbcc=num de barras con carga concentrada
      -fempa= fuerzas de empotramiento en el nudo a(origen)
1
     -fempb= fuerzas de empotramiento en el nudo b(destino)
!
     -bcc=barra que va a estar cargada
     DO 1019 K = 1, NBCC
     i = BCC(K)
     XL = XLON(i)
     Contribución de la carga en x
      A = AX(K)
     B = XL - A
     FEMPA(i,1) = FEMPA(i,1) - PX(K)*B/XL
      FEMPB(i,1) = FEMPB(i,1) - Px(K)*A/XL
1
     Contribución de la carga en y
      A = AY(K)
     B = XL - A
      P = PY(K)
      XMA = P*A*B**2/XL**2
      XMB = P*A**2*B/XL**2
      RB = P*A**2*(A+3*B)/XL**3
      RA = P-RB
      FEMPA(i,2) = FEMPA(i,2) - RA
      FEMPA(i,6) = FEMPA(i,6) - XMA
     FEMPB(i,2) = FEMPB(i,2) - RB
     FEMPB(i,6) = FEMPB(i,6) + XMB
!
     Contribución de la carga en z
      A = AZ(K)
      B = XL - A
      P = PZ(K)
      XMA = P*A*B**2/XL**2
      XMB = P*A**2*B/XL**2
      RB = P*A**2*(A+3*B)/XL**3
      RA = P-RB
      FEMPA(i,3) = FEMPA(i,3) - RA
      FEMPA(i,5) = FEMPA(i,5) + XMA
      FEMPB(i,3) = FEMPB(i,3) - RB
      FEMPB(i,5) = FEMPB(i,5) - XMB
1019 CONTINUE
      IF (IMMAT.EQ.1) THEN
      DO 1021 i=1, NBAR
     Impresión de las fuerzas de empotramiento
      WRITE(10,*)
```

```
WRITE(10,*) "BARRA ",i
     WRITE (10, *)
     WRITE(10,*) "Fuerzas de empotramiento locales"
     WRITE (10, *)
     WRITE(10,*) "{FEMP A}"
     DO 1101 j = 1,6
    WRITE(10,*) FEMPA(i,j)
1101 CONTINUE
     WRITE (10, *)
     WRITE (10, *)
     WRITE(10,*) "{FEMP B}"
     DO 1020 j = 1,6
    WRITE(10,*) FEMPB(i,j)
1020 CONTINUE
1021 CONTINUE
     Impresión de las fuerzas nodales
     DO 1023 i = 1, NNUD
     WRITE (10, *)
     WRITE(10,*) "Nudo: ", i
     WRITE (10, *)
     WRITE(10,*) "Fuerzas en el nudo (globales)"
     WRITE(10,*)
     WRITE(10,*) "{FN}"
     DO 1022 j = 1,6
     WRITE (10, *) FE (6*i-(6-j))
1022 CONTINUE
     WRITE (10, *)
     WRITE (10,*)
1023 CONTINUE
     END IF
     Vector global de fuerzas
     WRITE(*,*) "Ensamble del vector de cargas."
     DO 1028 i = 1.NBAR
    CALL TRANSFORMA (T, COALFX (i), COALFY (i), COALFZ (i), COBETX (i),
    +COBETY(i), COBETZ(i), COGAMX(i), COGAMY(i), COGAMZ(i))
    CALL TRANSPONE (T, TT, 6)
     Ensamble del vector de cargas extremo a
     DO 1024 j = 1,6
     FLNUD(j) = FEMPA(i,j)
1024 CONTINUE
     CALL MULMATVEC (TT, FLNUD, FLN, 6)
     ia = (NO(i)-1)*6
     DO 1025 \text{ K} = 1,6
     F(ia+K) = F(ia+K) + FLN(K)
1025 CONTINUE
    Ensamble del vector de cargas extremo b
     DO 1026 j = 1,6
     FLNUD(j) = FEMPB(i,j)
1026 CONTINUE
     CALL MULMATVEC (TT, FLNUD, FLN, 6)
     ib = (ND(i)-1)*6
     DO 1027 \text{ K} = 1,6
     F(ib+K) = F(ib+K) + FLN(K)
1027 CONTINUE
1028 CONTINUE
    Ensamble del vector de cargas global de nudos
     DO 1029 i = 1, NGL
     F(i) = FE(i) - F(i)
```

```
vec carga = vec fza nudos - vec emp
1029 CONTINUE
     Modificación de k de acuerdo a las restricciones
     WRITE(*,*) "Modificando matriz de rigideces por restriciones."
     DO 1036 i = 1, NNUD
     NR = i*6 - 5
     Modificación del renglón y columna correspondiente al despl. en x
     IF(IRX(i).EQ.1) THEN
     Cambia (0) por (1)
     DO 1030 j = 1, NGL
     XRIG(NR, j) = 0
     XRIG(j, NR) = 0
1030 CONTINUE
     XRIG(NR,NR) = 1
     F(NR) = 0
     END IF
     Modificación del renglón y columna correspondiente al despl. en y
     NR = NR + 1
     IF(IRY(i).EQ.1) THEN
!
     Cambio (0) por (1)
     DO 1031 j = 1, NGL
     XRIG(NR,j) = 0
     XRIG(j,NR) = 0
1031 CONTINUE
     XRIG(NR,NR) = 1
     F(NR) = 0
     END IF
     Modificación del renglón y columna correspondiente al despl. en z
     NR = NR + 1
     IF (IRZ(i).EQ.1) THEN
!
     Cambio (0) por (1)
     DO 1032 j = 1, NGL
     XRIG(NR,j) = 0
     XRIG(j,NR) = 0
1032 CONTINUE
     XRIG(NR,NR) = 1
     F(NR) = 0
     END IF
1
     Modificación del renglón y columna correspondiente al mom. en x
     NR = NR + 1
     IF (IRAX(i).EQ.1) THEN
     Cambio (0) por (1)
     DO 1033 j = 1, NGL
     XRIG(NR,j) = 0
     XRIG(j,NR) = 0
```

```
1033 CONTINUE
     XRIG(NR,NR) = 1
     F(NR) = 0
     END IF
     Modificación del renglón y columna correspondiente al mom. en y
     NR = NR + 1
     IF (IRAY(i).EQ.1) THEN
     Cambio (0) por (1)
1
     DO 1034 j = 1, NGL
     XRIG(NR,j) = 0
     XRIG(j,NR) = 0
1034 CONTINUE
     XRIG(NR,NR) = 1
     F(NR) = 0
     END IF
     Modificación del renglón y columna correspondiente al mom. en z
!
     NR = NR + 1
     IF (IRAZ(i).EQ.1) THEN
     Cambio (0) por (1)
     DO 1035 j = 1, NGL
     XRIG(NR,j) = 0
     XRIG(j,NR) = 0
1035 CONTINUE
     XRIG(NR,NR) = 1
     F(NR) = 0
     END IF
1036 CONTINUE
!
     ______
     Resolución al sistema de ecuaciones
!
     WRITE(*,*) "Calculando, favor de esperar..."
     PRINT *
     WRITE(*,*) "Resolviendo el sistema de ecuaciones..."
     PRINT *
     CALL CROUT (NGL, XRIG, F, D)
     Impresión de desplazamientos de los nudos
     WRITE (10, 45)
     ii = 5
     WRITE (10, 40)
     DO 1037 i = 1, NNUD
     K = i * 6
     ii = ii+1
     WRITE (10, 41) i, d(K-5), d(K-4), d(K-3), d(K-2), d(K-1), d(K)
```

```
IF (ii.GT.22) THEN
     ii = 0
     WRITE(*,*) "NUDO
                                         dy
                                                     dz
                                                                  tх
                     tz "
              tу
      END IF
1037 CONTINUE
      Obtención de elementos mecánicos por cada barra
      WRITE(10,*)
     WRITE (10, *)"
     + ELEMENTOS MECANICOS (FUERZAS LOCALES)"
      WRITE (10, *)
      WRITE (10, 1074)
      DO 1041 i = 1, NBAR
     Extremos a y b de la barra i
      A = NO(i)
      B = ND(i)
      Desplazamientos de a y b en globales
      DO 1038 \ j = 1,6
      DA(j) = D(6*A - (6-j))
      DB(j) = D(6*B - (6-j))
1038 CONTINUE
     Transformando {dB}, {dA} a locales
     \{d'\} = [T] \{d\}
!
        CALL TRANSFORMA (T, COALFX (i), COALFY (i), COALFZ (i), COBETX (i),
     +COBETY(i),COBETZ(i),COGAMX(i),COGAMY(i),COGAMZ(i))
      CALL MULMATVEC (T, DA, DPA, 6)
      CALL MULMATVEC (T, DB, DPB, 6)
      Obtención de rigideces de la barra en locales
     CALL OBTKPAA(XKPAA, XLON(i), AREA(i), XINERX(i), XINERY(i),
     +XINERZ(i), ELAS(i), G(i), XJ(i))
     CALL OBTKPAB(XKPAB, XLON(i), AREA(i), XINERX(i), XINERY(i),
     +XINERZ(i), ELAS(i), G(i), XJ(i))
      CALL TRANSPONE (XKPAB, XKPBA, 6)
      CALL OBTKPBB(XKPBB, XLON(i), AREA(i), XINERX(i), XINERY(i),
     +XINERZ(i), ELAS(i), G(i), XJ(i))
     Fuerzas en locales
      CALL MULMATVEC (XKPAA, DPA, DAUX, 6)
      CALL MULMATVEC (XKPAB, DPB, DBAUX, 6)
      CALL SUMAVEC (DAUX, DBAUX, FPA, 6)
      CALL MULMATVEC (XKPBA, DPA, DAUX, 6)
      CALL MULMATVEC (XKPBB, DPB, DBAUX, 6)
      CALL SUMAVEC (DAUX, DBAUX, FPB, 6)
      DO 1039 j = 1,6
      FPA(j) = FPA(j) + FEMPA(i, j)
      FPB(j) = FPB(j) + FEMPB(i, j)
1039 CONTINUE
      Impresión de elementos mecánicos
      CALL IMPRIME (i, NO (i), FPA)
      CALL IMPRIME (i, ND (i), FPB)
      WRITE (10,50) i, NO(i), (FPA(j),j=1,6), ND(i), (FPB(j),j=1,6)
      Verificación de equilibrio en cada nudo
      Transformacion de fuerzas (elementos mecánicos) al sistema global
      CALL TRANSPONE (T, TT, 6)
      CALL MULMATVEC (TT, FPA, FA, 6)
      CALL MULMATVEC (TT, FPB, FB, 6)
      DO 1040 j = 1,6
      EQ(6*A - (6-j)) = EQ(6*A - (6-j)) + FA(j)
```

```
EQ(6*B - (6-j)) = EQ(6*B - (6-j)) + FB(j)
1040 CONTINUE
1041 CONTINUE
     Agregando fuerzas externas ala comprobación del equilibrio
     WRITE (10, 42)
     DO 1043 j = 1, NNUD
     ii = ii + 1
     DO 1042 i = 1,6
     EQ(6*j - (6-i)) = EQ(6*j - (6-i)) - FE(6*j - (6-i))
     FAUX(I) = EQ(6*j - (6-i))
1042 CONTINUE
     WRITE(10,41) J, (FAUX(IA), IA=1,6)
1043 CONTINUE
     CLOSE (10)
     GOTO 1
     WRITE(*,*) "Fin del programa."
     CALL DETENER
     END
! -----
     SUBROUTINE CROUT (N, A, B, H)
     Solución al sistema de ecuaciones Metodo de Crout
     DIMENSION A(7998,7998), B(7998), H(7998)
     DO 1925 j = 2, N
     IF (A(1,j).EQ.0) THEN
     GOTO 1925
     END IF
     A(1,j) = A(1,j)/A(1,1)
1925 CONTINUE
     B(1) = B(1)/A(1,1)
     DO 3 j = 2, N
     DO 1 i = j, N
     DO 1935 K = 1, j - 1
     IF (A(i,K).EQ.0) THEN
     GOTO 1935
     END IF
     A(i,j) = A(i,j) - A(i,K) *A(K,j)
1935 CONTINUE
   1 CONTINUE
     SUM = 0
     SUT = 0
     SUR = 0
     IF (j.EQ.N) THEN
     GOTO 1955
     END IF
```

```
DO 2 LL = j + 1, N
     SUM = 0
     DO 1945 K = 1,j-1
     IF (A(j,K).EQ.0) THEN
     GOTO 1945
     END IF
     SUM = SUM + A(j,K)*A(K,LL)
1945 CONTINUE
     IF (A(j,j).EQ.0) THEN
     WRITE(*,*)'Hay un problema de division por cero.'
     CALL DETENER
     END IF
     A(j,LL) = (A(j,LL) - SUM)/A(j,j)
   2 CONTINUE
1955 \text{ SUT} = 0
     DO 1965 K = 1, j - 1
     IF (A(j,K).EQ.0) THEN
     GOTO 1965
     END IF
     SUT = SUT + A(j,K)*B(K)
1965 CONTINUE
     B(j) = (B(j) - SUT)/A(j,j)
   3 CONTINUE
     H(N) = B(N)
     DO 5 i = N - 1, 1, -1
     SUR = 0
     DO 4 K = i + 1, N
     SUR = SUR + A(i,K)*H(K)
   4 CONTINUE
     H(i) = B(i) - SUR
   5 CONTINUE
     RETURN
     END
     ______
     SUBROUTINE DETENER
     WRITE(*,*) "Presione cualquier tecla para continuar..."
     PAUSE
     RETURN
     END
!
     ______
```

SUBROUTINE GUARDAK (XKXX, IA, IB, XRIG)

!

```
DIMENSION XRIG(7998, 7998), XKXX(6,6)
     IRENK = 6*(IA-1)
     ICOLK = 6*(IB-1)
     DO 2 i = 1, 6
     DO 1 j = 1,6
     XRIG(IRENK+i,ICOLK+j) = XRIG(IRENK+i,ICOLK+j) + XKXX(i,j)
   1 CONTINUE
   2 CONTINUE
     RETURN
     END
     ______
     SUBROUTINE IMPRIME (IBARRA, IEXTREMO, FUERZA)
     DIMENSION FUERZA (6)
     Imprime los resultados de la estructura
!
     WRITE(*,*) "Barra", ibarra, " Fuerzas Locales"
     PRINT *
     WRITE(*,*) "Nudo", iextremo
     PRINT *
     WRITE(*,*) "Fuerza x = ", fuerza(1)
     WRITE(*,*) Fuerza y = ", fuerza(2)
WRITE(*,*) "Fuerza y = ", fuerza(2)
WRITE(*,*) "Fuerza z = ", fuerza(3)
WRITE(*,*) "Momento x = ", fuerza(4)
WRITE(*,*) "Momento y = ", fuerza(5)
WRITE(*,*) "Momento z = ", fuerza(6)
     RETURN
     END
     ______
     SUBROUTINE MUESTRAMAT (A, N, MENSAJE$)
     CHARACTER MENSAJE$*18
     DIMENSION A(6,6)
     PRINT *
     WRITE(*,*) "MATRIZ : ", MENSAJE$
     DO 2 i = 1, N
     DO 1 j = 1, N
     WRITE(*,*) A(i,j)
   1 CONTINUE
     PRINT *
   2 CONTINUE
     RETURN
     END
     ______
     SUBROUTINE MULMATVEC (A, B, C, N)
     DIMENSION A(6,6), B(6), C(6)
     DO 2 i = 1, N
     SUMA = 0
     DO 1 K = 1, N
     SUMA = SUMA + A(i,K)*B(K)
   1 CONTINUE
     C(i) = SUMA
   2 CONTINUE
```

```
RETURN
     END
     ______
     SUBROUTINE MULTIPLICA (A, B, C, N)
     DIMENSION A(6,6), B(6,6), C(6,6)
     DO 3 i = 1, N
     DO 2 j = 1, N
     SUMA = 0
     DO 1 k = 1, N
     SUMA = SUMA + A(i,k)*B(k,j)
   1 CONTINUE
     C(i,j) = SUMA
   2 CONTINUE
   3 CONTINUE
     RETURN
     END
     ______
     SUBROUTINE OBTKPAA(XKP, XL, AR, XINERX, XINERY, XINERZ, ELAS, G, XJ)
     DIMENSION XKP(6,6)
     XKP(1,1) = ELAS*AR/XL
     XKP(1,2) = 0
     XKP(1,3) = 0
     XKP(1,4) = 0
     XKP(1,5) = 0
     XKP(1,6) = 0
     XKP(2,2) = 12*ELAS*XINERZ/XL**3
     XKP(2,3) = 0
     XKP(2,4) = 0
     XKP(2,5) = 0
     XKP(2,6) = 6*ELAS*XINERZ/XL**2
     XKP(3,3) = 12*ELAS*XINERY/XL**3
     XKP(3,4) = 0
     XKP(3,5) = -6*ELAS*XINERY/XL**2
     XKP(3,6) = 0
     XKP(4,4) = G*XJ/XL
     XKP(4,5) = 0
     XKP(4,6) = 0
     XKP(5,5) = 4*ELAS*XINERY/XL
     XKP(5,6) = 0
     XKP(6,6) = 4*ELAS*XINERZ/XL
     XINERX = XINERX
     DO 2 i = 1,6
     DO 1 k = i, 6
     XKP(k,i) = XKP(i,k)
   1 CONTINUE
   2 CONTINUE
     RETURN
     END
!
```

```
SUBROUTINE OBTKPAB (XKP, XL, AR, XINERX, XINERY, XINERZ, ELAS, G, XJ)
DIMENSION XKP(6,6)
XKP(1,1) = -ELAS*AR/XL
XKP(1,2) = 0
XKP(1,3) = 0
XKP(1,4) = 0
XKP(1,5) = 0
XKP(1,6) = 0
XKP(2,1) = 0
XKP(2,2) = -12*ELAS*XINERZ/XL**3
XKP(2,3) = 0
XKP(2,4) = 0
XKP(2,5) = 0
XKP(2,6) = 6*ELAS*XINERZ/XL**2
XKP(3,1) = 0
XKP(3,2) = 0
XKP(3,3) = -12*ELAS*XINERY/XL**3
XKP(3,4) = 0
XKP(3,5) = -6*ELAS*XINERY/XL**2
XKP(3,6) = 0
XKP(4,1) = 0
XKP(4,2) = 0
XKP(4,3) = 0
XKP(4,4) = -G*XJ/XL
XKP(4,5) = 0
XKP(4,6) = 0
XKP(5,1) = 0
XKP(5,2) = 0
XKP(5,3) = 6*ELAS*XINERY/XL**2
XKP(5,4) = 0
XKP(5,5) = 2*ELAS*XINERY/XL
XKP(5,6) = 0
XKP(6,1) = 0
XKP(6,2) = -6*ELAS*XINERZ/XL**2
XKP(6,3) = 0
XKP(6,4) = 0
XKP(6,5) = 0
XKP(6,6) = 2*ELAS*XINERZ/XL
XINERX = XINERX
RETURN
END
______
SUBROUTINE OBTKPBB(XKP, XL, AR, XINERX, XINERY, XINERZ, ELAS, G, XJ)
DIMENSION XKP(6,6)
XKP(1,1) = ELAS*AR/XL
XKP(1,2) = 0
XKP(1,3) = 0
XKP(1,4) = 0
XKP(1,5) = 0
XKP(1,6) = 0
XKP(2,2) = 12*ELAS*XINERZ/XL**3
XKP(2,3) = 0
XKP(2,4) = 0
XKP(2,5) = 0
XKP(2,6) = -6*ELAS*XINERZ/XL**2
```

!

XKP(3,3) = 12*ELAS*XINERY/XL**3

```
XKP(3,5) = 6*ELAS*XINERY/XL**2
 XKP(3,6) = 0
 XKP(4,4) = G*XJ/XL
 XKP(4,5) = 0
 XKP(4,6) = 0
 XKP(5,5) = 4*ELAS*XINERY/XL
 XKP(5,6) = 0
 XKP(6,6) = 4*ELAS*XINERZ/XL
 XINERX = XINERX
 DO 2 i = 1,6
 DO 1 k = i, 6
 XKP(k,i) = XKP(i,k)
1 CONTINUE
2 CONTINUE
 RETURN
 END
 ______
 SUBROUTINE PRODCRUZ (A, B, C)
 DIMENSION A(3), B(3), C(3)
 C(1) = A(2) * B(3) - A(3) * B(2)
 C(2) = A(3) * B(1) - A(1) * B(3)
 C(3) = A(1) * B(2) - A(2) * B(1)
 RETURN
 END
 ______
 SUBROUTINE SUMAVEC (A, B, C, N)
 DIMENSION A(6), B(6), C(6)
 DO 1 i = 1, N
 C(i) = A(i) + B(i)
1 CONTINUE
 RETURN
 END
 SUBROUTINE TRANSFORMA (T, COALFX, COALFY, COALFZ, COBETX, COBETY, COBETZ,
+COGAMX, COGAMY, COGAMZ)
 DIMENSION T(6,6)
 T(1,1) = COALFX
 T(1,2) = COBETX
 T(1,3) = COGAMX
 T(1,4) = 0
 T(1,5) = 0
 T(1,6) = 0
 T(2,1) = COALFY
 T(2,2) = COBETY
 T(2,3) = COGAMY
 T(2,4) = 0
```

XKP(3,4) = 0

1

```
T(2,5) = 0
    T(2,6) = 0
    T(3,1) = COALFZ
    T(3,2) = COBETZ
    T(3,3) = COGAMZ
    T(3,4) = 0
    T(3,5) = 0
    T(3,6) = 0
    T(4,1) = 0
    T(4,2) = 0
    T(4,3) = 0
    T(4,4) = COALFX
    T(4,5) = COBETX
    T(4,6) = COGAMX
    T(5,1) = 0
    T(5,2) = 0
    T(5,3) = 0
    T(5,4) = COALFY
    T(5,5) = COBETY
    T(5,6) = COGAMY
    T(6,1) = 0
    T(6,2) = 0
    T(6,3) = 0
    T(6,4) = COALFZ
    T(6,5) = COBETZ
    T(6,6) = COGAMZ
    RETURN
    END
    ______
    SUBROUTINE TRANSPONE (A, AT, N)
    DIMENSION A(6,6), AT(6,6)
    DO 2 i = 1, N
    DO 1 j = 1, N
AT(j, i) = A(i, j)
   1 CONTINUE
   2 CONTINUE
    RETURN
    END
!
    ______
```



MODELACIÓN DEL PROCEDIMIENTO CONSTRUCTIVO DE UNA EXCAVACIÓN CON INTERACCIÓN SUELO – ELEMENTO DE CONTENCIÓN

ANEXO 6.

Archivos de datos para el Análisis de Interacción Suelo – Estructura.

MODELACIÓN DEL PROCEDIMIENTO CONSTRUCTIVO DE UNA EXCAVACIÓN CON INTERACCIÓN SUELO – ELEMENTO DE CONTENCIÓN

ARCHIVOS DEL PROGRAMA EMISES3D

Debido al tamaño de los archivos de datos .DAT por la misma dimensión del modelo reticular, se omiten algunas líneas y se muestran los datos principales utilizados en el análisis.

- Archivo de datos .FRM de la Etapa 3

En la tabla A.6.1. se presenta el resumen de los parámetros utilizados para la primera etapa de modelado de manera simplificada.

- Archivo de datos .FRM de la Etapa 5

Para la etapa 5 se instalan los puntales inclinados y se excava hasta los -8.10 m, por lo tanto, se calcula el valor de resistencia equivalente a 31.521 t de los elementos. Se modifica la matriz de rigidez .KS2 agregando el valor del resorte a la profundidad en donde se aplica la restricción.

La modificación en el archivo de datos .FRM para esta etapa corresponde a los últimos parámetros de las cargas y se presentan en la tabla A.6.2.

- Archivo de datos .FRM de la Etapa 6

En esta etapa se construye la primera mitad de la mega zapata, por lo cual, se modifican los parámetros correspondientes del nivel -5.00 m al -8.00 m de las barras cambiando de la tablestaca metálica a la rigidez de la estructura de concreto. La modificación en el archivo de datos .FRM para esta etapa se presentan en la tabla A.6.3.

- Archivo de datos .FRM de la Etapa 6

Finalmente, en esta etapa se libera la restricción de los puntales diagonales metálicos, aunque se rigidizó la retícula debido a la construcción de la primera mitad de la mega zapata, aún queda una sección libre de la tablestaca soportando los esfuerzos laterales. La modificación en el archivo de datos corresponde a las cargas liberadas por los puntales como se indica en la tabla A.6.4.

ANÁLISIS DE DEFORMACIONES MURO	O MILAN TORRE CDMX		TABLA A.6.1								
1822,943											
0.00,0.00,0.00,1,1,1,1,1,0	1,2	0.015875,0.00000084802,0.00206706,0.00000021337	3,0,0,0,0,0,0,0	902,0,0	111,0,0.8130,0	245,0,2.3600,0	379,0,1.2630,0	513,0,0.8820,0	647,0,0.6840,0	781,0,0.5520,0	915,0,0.4550,0
6.00,0.00,0.00,0,0,0,0,0	2,3	0.015875,0.00000084802,0.00206706,0.00000021337	3,0,0,0,0,0,0,0	1,0,0.7500,0	112,0,0.8130,0	246,0,2.3600,0	380,0,1.2630,0	514,0,0.8820,0	648,0,0.6840,0	782,0,0.5520,0	916,0,0.4550,0
12.00,0.00,0.00,0,0,0,0,0,0	3,4	0.015875,0.00000084802,0.00206706,0.00000021337	3,0,0,0,0,0,0,0	2,0,0.7500,0	136,0,2.7210,0	247,0,2.3600,0	381,0,1.2630,0	515,0,0.8820,0	649,0,0.6840,0	783,0,0.5520,0	917,0,0.4550,0
18.00,0.00,0.00,0,0,0,0,0,0	4,5	0.015875,0.00000084802,0.00206706,0.00000021337	3,0,0,0,0,0,0,0	3,0,0.7500,0	137,0,2.7210,0	271,0,1.8360,0	382,0,1.2630,0	516,0,0.8820,0	650,0,0.6840,0	784,0,0.5520,0	918,0,0.4550,0
24.00,0.00,0.00,0,0,0,0,0,0	5,6	0.015875,0.00000084802,0.00206706,0.00000021337	3,0,0,0,0,0,0,0	4,0,0.7500,0	138,0,2.7210,0	272,0,1.8360,0	406,0,1.1010,0	517,0,0.8820,0	651,0,0.6840,0	785,0,0.5520,0	919,0,0.4550,0
30.00,0.00,0.00,0,0,0,0,0,0	6,7	0.015875,0.00000084802,0.00206706,0.00000021337	3,0,0,0,0,0,0,0	5,0,0.7500,0	139,0,2.7210,0	273,0,1.8360,0	407,0,1.1010,0	541,0,0.8040,0	652,0,0.6840,0	786,0,0.5520,0	920,0,0.4550,0
36.00,0.00,0.00,0,0,0,0,0,0	7,8	0.015875,0.00000084802,0.00206706,0.00000021337	3,0,0,0,0,0,0,0	6,0,0.7500,0	140,0,2.7210,0	274,0,1.8360,0	408,0,1.1010,0	542,0,0.8040,0	676,0,0.6350,0	787,0,0.5520,0	921,0,0.4550,0
42.00,0.00,0.00,0,0,0,0,0,0	8,9	0.015875,0.00000084802,0.00206706,0.00000021337	3,0,0,0,0,0,0,0	7,0,0.7500,0	141,0,2.7210,0	275,0,1.8360,0	409,0,1.1010,0	543,0,0.8040,0	677,0,0.6350,0	811,0,0.5170,0	922,0,0.4550,0
48.00,0.00,0.00,0,0,0,0,0,0	9,10	0.015875,0.00000084802,0.00206706,0.00000021337	3,0,0,0,0,0,0,0	8,0,0.7500,0	142,0,2.7210,0	276,0,1.8360,0	410,0,1.1010,0	544,0,0.8040,0	678,0,0.6350,0	812,0,0.5170,0	946,0,0.4280,0
54.00,0.00,0.00,0,0,0,0,0,0	10,11	0.015875,0.00000084802,0.00206706,0.00000021337	3,0,0,0,0,0,0,0	9,0,0.7500,0	143,0,2.7210,0	277,0,1.8360,0	411,0,1.1010,0	545,0,0.8040,0	679,0,0.6350,0	813,0,0.5170,0	947,0,0.4280,0
60.00,0.00,0.00,0,0,0,0,0	11,12	0.015875,0.00000084802,0.00206706,0.00000021337	3,0,0,0,0,0,0,0	10,0,0.7500,0	144,0,2.7210,0	278,0,1.8360,0	412,0,1.1010,0	546,0,0.8040,0	680,0,0.6350,0	814,0,0.5170,0	948,0,0.4280,0
66.00,0.00,0.00,0,0,0,0,0	12,13	0.015875,0.0000084802,0.00206706,0.00000021337	3,0,0,0,0,0,0,0	11,0,0.7500,0	145,0,2.7210,0	279,0,1.8360,0	413,0,1.1010,0	547,0,0.8040,0	681,0,0.6350,0	815,0,0.5170,0	949,0,0.4280,0
72.00,0.00,0.00,0,0,0,0,0,0	13,14	0.015875,0.0000084802,0.00206706,0.00000021337	3,0,0,0,0,0,0,0	12,0,0.7500,0	146,0,2.7210,0	280,0,1.8360,0	414,0,1.1010,0	548,0,0.8040,0	682,0,0.6350,0	816,0,0.5170,0	950,0,0.4280,0
78.00,0.00,0.00,0,0,0,0,0,0	14,15	0.015875,0.00000084802,0.00206706,0.00000021337	3,0,0,0,0,0,0,0	13,0,0.7500,0	147,0,2.7210,0	281,0,1.8360,0	415,0,1.1010,0	549,0,0.8040,0	683,0,0.6350,0	817,0,0.5170,0	951,0,0.4280,0
84.00,0.00,0.00,0,0,0,0,0,0 90.00,0.00,0.0	15,16 16,17	0.015875,0.00000084802,0.00206706,0.00000021337 0.015875,0.00000084802,0.00206706,0.00000021337	3,0,0,0,0,0,0,0	14,0,0.7500,0 15,0,0.7500,0	148,0,2.7210,0 149,0,2.7210,0	282,0,1.8360,0 283,0,1.8360,0	416,0,1.1010,0 417,0,1.1010,0	550,0,0.8040,0 551,0,0.8040,0	684,0,0.6350,0 685,0,0.6350,0	818,0,0.5170,0 819,0,0.5170,0	952,0,0.4280,0 953,0,0.4280,0
96.00,0.00,0.00,0,0,0,0,0,0	17,18	0.015875.0.00000084802.0.00206706,0.00000021337	3,0,0,0,0,0,0,0	16,0,0.7500,0	150,0,2.7210,0	284,0,1.8360,0	418,0,1.1010,0	552,0,0.8040,0	686,0,0.6350,0	819,0,0.5170,0	1763,0,0.1630,0
102.00,0.00,0.00,0,0,0,0,0,0	18,19	0.015875,0.00000084802,0.00206706,0.00000021337	3,0,0,0,0,0,0,0,0	17,0,0.7500,0	151,0,2.7210,0	285,0,1.8360,0	419,0,1.1010,0	553,0,0.8040,0	687,0,0.6350,0	821,0,0.5170,0	1764,0,0.1630,0
108.00,0.00,0.00,0,0,0,0,0,0	19,20	0.015875,0.00000084802,0.00206706,0.00000021337	3,0,0,0,0,0,0,0,0	18,0,0.7500,0	152,0,2.7210,0	286,0,1.8360,0	420,0,1.1010,0	554,0,0.8040,0	688,0,0.6350,0	822,0,0.5170,0	1765,0,0.1630,0
114.00,0.00,0.00,0,0,0,0,0,0	20,21	0.015875,0.00000084802,0.00206706,0.00000021337	3,0,0,0,0,0,0,0,0	19,0,0.7500,0	153,0,2.7210,0	287,0,1.8360,0	421,0,1.1010,0	555,0,0.8040,0	689,0,0.6350,0	823,0,0.5170,0	1766,0,0.1630,0
120.00,0.00,0.00,0,0,0,0,0,0	21,22	0.015875,0.00000084802,0.00200706,0.00000021337	3,0,0,0,0,0,0,0,0	20,0,0.7500,0	154,0,2.7210,0	288,0,1.8360,0	422,0,1.1010,0	556,0,0.8040,0	690,0,0.6350,0	824,0,0.5170,0	1767,0,0.1630,0
126.00,0.00,0.00,0,0,0,0,0,0	22,23	0.015875,0.00000084802,0.00200706,0.00000021337	3,0,0,0,0,0,0,0	21,0,0.7500,0	155,0,2.7210,0	289,0,1.8360,0	423,0,1.1010,0	557,0,0.8040,0	691,0,0.6350,0	825,0,0.5170,0	1768,0,0.1630,0
132.00,0.00,0.00,1,1,1,1,1,0	1,24	0.1572,0.007641,2.8296,0.001944	1,0,0,0,0,0,0,0	22,0,0.7500,0	156,0,2.7210,0	290,0,1.8360,0	424,0,1.1010,0	558,0,0.8040,0	692,0,0.6350,0	826,0,0.5170,0	1769,0,0.1630,0
0.00,0.00,1.25,1,1,1,1,1,0	2,25	0.1572,0.007641,2.8296,0.001944	1,0,0,0,0,0,0,0	46,0,0.7000,0	157,0,2.7210,0	291,0,1.8360,0	425,0,1.1010,0	559,0,0.8040,0	693,0,0.6350,0	827,0,0.5170,0	1770,0,0.1630,0
6.00,0.00,1.25,0,0,0,0,0	3,26	0.1572,0.007641,2.8296,0.001944	1,0,0,0,0,0,0,0	47,0,0.7000,0	181,0,5.0510,0	292,0,1.8360,0	426,0,1.1010,0	560,0,0.8040,0	694,0,0.6350,0	828,0,0.5170,0	1771,0,0.1630,0
12.00,0.00,1.25,0,0,0,0,0,0	4,27	0.1572,0.007641,2.8296,0.001944	1,0,0,0,0,0,0,0	48,0,0.7000,0	182,0,5.0510,0	316,0,1.4920,0	427,0,1.1010,0	561,0,0.8040,0	695,0,0.6350,0	829,0,0.5170,0	1772,0,0.1630,0
18.00,0.00,1.25,0,0,0,0,0,0	5,28	0.1572,0.007641,2.8296,0.001944	1,0,0,0,0,0,0,0	49,0,0.7000,0	183,0,5.0510,0	317,0,1.4920,0	451,0,0.9790,0	562,0,0.8040,0	696,0,0.6350,0	830,0,0.5170,0	1773,0,0.1630,0
24.00,0.00,1.25,0,0,0,0,0,0	6,29	0.1572,0.007641,2.8296,0.001944	1,0,0,0,0,0,0,0	50,0,0.7000,0	184,0,5.0510,0	318,0,1.4920,0	452,0,0.9790,0	586,0,0.7390,0	697,0,0.6350,0	831,0,0.5170,0	1774,0,0.1630,0
90.00,0.00,1.25,0,0,0,0,0,0	17,40	0.1572,0.007641,2.8296,0.001944	1,0,0,0,0,0,0,0	51,0,0.7000,0	185,0,5.0510,0	319,0,1.4920,0	453,0,0.9790,0	587,0,0.7390,0	721,0,0.5900,0	832,0,0.5170,0	1775,0,0.1630,0
96.00,0.00,1.25,0,0,0,0,0,0	18,41	0.1572,0.007641,2.8296,0.001944	1,0,0,0,0,0,0,0	52,0,0.7000,0	186,0,5.0510,0	320,0,1.4920,0	454,0,0.9790,0	588,0,0.7390,0	722,0,0.5900,0	856,0,0.4850,0	1776,0,0.1630,0
102.00,0.00,1.25,0,0,0,0,0,0	19,42	0.1572,0.007641,2.8296,0.001944	1,0,0,0,0,0,0,0	53,0,0.7000,0	187,0,5.0510,0	321,0,1.4920,0	455,0,0.9790,0	589,0,0.7390,0	723,0,0.5900,0	857,0,0.4850,0	1777,0,0.1630,0
108.00,0.00,1.25,0,0,0,0,0,0	20,43	0.1572,0.007641,2.8296,0.001944	1,0,0,0,0,0,0,0	54,0,0.7000,0	188,0,5.0510,0	322,0,1.4920,0	456,0,0.9790,0	590,0,0.7390,0	724,0,0.5900,0	858,0,0.4850,0	1801,0,0.1540,0
114.00,0.00,1.25,0,0,0,0,0,0	21,44	0.1572,0.007641,2.8296,0.001944	1,0,0,0,0,0,0,0	55,0,0.7000,0	189,0,5.0510,0	323,0,1.4920,0	457,0,0.9790,0	591,0,0.7390,0	725,0,0.5900,0	859,0,0.4850,0	1802,0,0.1540,0
120.00,0.00,1.25,0,0,0,0,0,0	22,45	0.1572,0.007641,2.8296,0.001944	1,0,0,0,0,0,0,0	56,0,0.7000,0	190,0,5.0510,0	324,0,1.4920,0	458,0,0.9790,0	592,0,0.7390,0	726,0,0.5900,0	860,0,0.4850,0	1803,0,0.1540,0
126.00,0.00,1.25,0,0,0,0,0,0	23,46	0.1572,0.007641,2.8296,0.001944	1,0,0,0,0,0,0,0	57,0,0.7000,0	191,0,5.0510,0	325,0,1.4920,0	459,0,0.9790,0	593,0,0.7390,0	727,0,0.5900,0	861,0,0.4850,0	1804,0,0.1540,0
132.00,0.00,1.25,1,1,1,1,1,0	24,25	0.70000,0.064921,0.05833,0.028583	3,0,0,0,0,0,0,0	58,0,0.7000,0	192,0,5.0510,0	326,0,1.4920,0	460,0,0.9790,0	594,0,0.7390,0	728,0,0.5900,0	862,0,0.4850,0	1805,0,0.1540,0
0.00,0.00,2.50,1,1,1,1,1,0	25,26	0.70000,0.064921,0.05833,0.028583	3,0,0,0,0,0,0,0	59,0,0.7000,0	193,0,5.0510,0	327,0,1.4920,0	461,0,0.9790,0	595,0,0.7390,0	729,0,0.5900,0	863,0,0.4850,0	1806,0,0.1540,0
6.00,0.00,2.50,0,0,0,0,0,0	26,27	0.70000,0.064921,0.05833,0.028583	3,0,0,0,0,0,0,0	60,0,0.7000,0	194,0,5.0510,0	328,0,1.4920,0	462,0,0.9790,0	596,0,0.7390,0	730,0,0.5900,0	864,0,0.4850,0	1807,0,0.1540,0
12.00,0.00,2.50,0,0,0,0,0,0	27,28	0.70000,0.064921,0.05833,0.028583	3,0,0,0,0,0,0,0	61,0,0.7000,0	195,0,5.0510,0	329,0,1.4920,0	463,0,0.9790,0	597,0,0.7390,0	731,0,0.5900,0	865,0,0.4850,0	1808,0,0.1540,0
18.00,0.00,2.50,0,0,0,0,0,0	28,29	0.70000,0.064921,0.05833,0.028583	3,0,0,0,0,0,0,0	62,0,0.7000,0	196,0,5.0510,0	330,0,1.4920,0	464,0,0.9790,0	598,0,0.7390,0	732,0,0.5900,0	866,0,0.4850,0	1809,0,0.1540,0
24.00,0.00,2.50,0,0,0,0,0,0	29,30	0.70000,0.064921,0.05833,0.028583	3,0,0,0,0,0,0,0	63,0,0.7000,0	197,0,5.0510,0	331,0,1.4920,0	465,0,0.9790,0	599,0,0.7390,0	733,0,0.5900,0	867,0,0.4850,0	1810,0,0.1540,0
30.00,0.00,2.50,0,0,0,0,0,0	30,31	0.70000,0.064921,0.05833,0.028583	3,0,0,0,0,0,0,0	64,0,0.7000,0	198,0,5.0510,0	332,0,1.4920,0	466,0,0.9790,0	600,0,0.7390,0	734,0,0.5900,0	868,0,0.4850,0	1811,0,0.1540,0
36.00,0.00,2.50,0,0,0,0,0,0	31,32	0.70000,0.064921,0.05833,0.028583	3,0,0,0,0,0,0,0	65,0,0.7000,0	199,0,5.0510,0	333,0,1.4920,0	467,0,0.9790,0	601,0,0.7390,0	735,0,0.5900,0	869,0,0.4850,0	1812,0,0.1540,0
60.00,0.00,48.75,0,0,0,0,0	36,59	2100000,0.3	1,0,0,0,0,0,0,0	66,0,0.7000,0	200,0,5.0510,0	334,0,1.4920,0	468,0,0.9790,0	602,0,0.7390,0	736,0,0.5900,0	870,0,0.4850,0	1813,0,0.1540,0
66.00,0.00,48.75,0,0,0,0,0,0 72.00,0.00,48.75,0,0,0,0,0,0	37,60	2100000,0.3	1,0,0,0,0,0,0,0	67,0,0.7000,0	201,0,5.0510,0	335,0,1.4920,0	469,0,0.9790,0	603,0,0.7390,0	737,0,0.5900,0	871,0,0.4850,0	1814,0,0.1540,0
78.00,0.00,48.75,0,0,0,0,0	914,915 915,916	2100000,0.3 2100000,0.3	1,0,0,0,0,0,0,0,0 1,0,0,0,0,0,0,0,0	91,0,0.8130,0 92,0,0.8130,0	202,0,5.0510,0 226,0,2.3600,0	336,0,1.4920,0 337,0,1.4920,0	470,0,0.9790,0 471,0,0.9790,0	604,0,0.7390,0 605,0,0.7390,0	738,0,0.5900,0 739,0,0.5900,0	872,0,0.4850,0 873,0,0.4850,0	1815,0,0.1540,0 1816,0,0.1540,0
84.00,0.00,48.75,0,0,0,0,0,0	916,917	2100000,0.3	1,0,0,0,0,0,0,0,0	93,0,0.8130,0	227,0,2.3600,0	361,0,1.2630,0	472,0,0.9790,0	606,0,0.7390,0	740,0,0.5900,0	874,0,0.4850,0	1817,0,0.1540,0
90.00,0.00,48.75,0,0,0,0,0,0	917,918	2100000,0.3	1,0,0,0,0,0,0,0,0	94,0,0.8130,0	228,0,2.3600,0	362,0,1.2630,0	496,0,0.8820,0	607,0,0.7390,0	740,0,0.5900,0	875,0,0.4850,0	1818,0,0.1540,0
42.00,0.00,50.00,1,1,1,1,1,1	925,926	2300000,0.3	3,0,0,0,0,0,0,0,0	95,0,0.8130,0	229,0,2.3600,0	363,0,1.2630,0	497,0,0.8820,0	631,0,0.6840,0	742,0,0.5900,0	876,0,0.4850,0	1819,0,0.1540,0
48.00,0.00,50.00,1,1,1,1,1,1	927,928	23000000,0.3	3,0,0,0,0,0,0,0,0	96,0,0.8130,0	230,0,2.3600,0	364,0,1.2630,0	498,0,0.8820,0	632,0,0.6840,0	766,0,0.5520,0	877,0,0.4850,0	1820,0,0.1540,0
54.00,0.00,50.00,1,1,1,1,1,1	928,929	2300000,0.3	3,0,0,0,0,0,0,0	97,0,0.8130,0	231,0,2.3600,0	365,0,1.2630,0	499,0,0.8820,0	633,0,0.6840,0	767,0,0.5520,0	901,0,0.4550,0	1821,0,0.1540,0
60.00,0.00,50.00,1,1,1,1,1,1	930,931	23000000,0.3	3,0,0,0,0,0,0,0	98,0,0.8130,0	232,0,2.3600,0	366,0,1.2630,0	500,0,0.8820,0	634,0,0.6840,0	768,0,0.5520,0	902,0,0.4550,0	1822,0,0.1540,0
66.00,0.00,50.00,1,1,1,1,1,1	931,932	23000000,0.3	3,0,0,0,0,0,0,0	99,0,0.8130,0	233,0,2.3600,0	367,0,1.2630,0	501,0,0.8820,0	635,0,0.6840,0	769,0,0.5520,0	903,0,0.4550,0	1037,0,0.3810,0
72.00,0.00,50.00,1,1,1,1,1,1	932,933	23000000,0.3	3,0,0,0,0,0,0,0	100,0,0.8130,0	234,0,2.3600,0	368,0,1.2630,0	502,0,0.8820,0	636,0,0.6840,0	770,0,0.5520,0	904,0,0.4550,0	1038,0,0.3810,0
78.00,0.00,50.00,1,1,1,1,1,1	933,934	23000000,0.3	3,0,0,0,0,0,0,0	101,0,0.8130,0	235,0,2.3600,0	369,0,1.2630,0	503,0,0.8820,0	637,0,0.6840,0	771,0,0.5520,0	905,0,0.4550,0	1039,0,0.3810,0
84.00,0.00,50.00,1,1,1,1,1,1	934,935	23000000,0.3	3,0,0,0,0,0,0,0	102,0,0.8130,0	236,0,2.3600,0	370,0,1.2630,0	504,0,0.8820,0	638,0,0.6840,0	772,0,0.5520,0	906,0,0.4550,0	1040,0,0.3810,0
90.00,0.00,50.00,1,1,1,1,1,1	935,936	23000000,0.3	3,0,0,0,0,0,0,0	103,0,0.8130,0	237,0,2.3600,0	371,0,1.2630,0	505,0,0.8820,0	639,0,0.6840,0	773,0,0.5520,0	907,0,0.4550,0	1041,0,0.3810,0
96.00,0.00,50.00,1,1,1,1,1,1	936,937	2000000,0.2	3,0,0,0,0,0,0,0	104,0,0.8130,0	238,0,2.3600,0	372,0,1.2630,0	506,0,0.8820,0	640,0,0.6840,0	774,0,0.5520,0	908,0,0.4550,0	1042,0,0.3810,0
102.00,0.00,50.00,1,1,1,1,1,1	937,938	2000000,0.2	3,0,0,0,0,0,0,0	105,0,0.8130,0	239,0,2.3600,0	373,0,1.2630,0	507,0,0.8820,0	641,0,0.6840,0	775,0,0.5520,0	909,0,0.4550,0	1043,0,0.3810,0
108.00,0.00,50.00,1,1,1,1,1,1	938,939	2000000,0.2	3,0,0,0,0,0,0,0	106,0,0.8130,0	240,0,2.3600,0	374,0,1.2630,0	508,0,0.8820,0	642,0,0.6840,0	776,0,0.5520,0	910,0,0.4550,0	1044,0,0.3810,0
114.00,0.00,50.00,1,1,1,1,1,1	939,940	2000000,0.2	3,0,0,0,0,0,0,0	107,0,0.8130,0	241,0,2.3600,0	375,0,1.2630,0	509,0,0.8820,0	643,0,0.6840,0	777,0,0.5520,0	911,0,0.4550,0	1045,0,0.3810,0
120.00,0.00,50.00,1,1,1,1,1,1	940,941	2000000,0.2	1,0,0,0,0,0,0,0	108,0,0.8130,0	242,0,2.3600,0	376,0,1.2630,0	510,0,0.8820,0	644,0,0.6840,0	778,0,0.5520,0	912,0,0.4550,0	1046,0,0.3810,0
126.00,0.00,50.00,1,1,1,1,1,1	941,942	2000000,0.2	1,0,0,0,0,0,0,0	109,0,0.8130,0	243,0,2.3600,0	377,0,1.2630,0	511,0,0.8820,0	645,0,0.6840,0	779,0,0.5520,0	913,0,0.4550,0	1047,0,0.3810,0
132.00,0.00,50.00,1,1,1,1,1,1	942,943	2000000,0.2	1,0,0,0,0,0,0,0	110,0,0.8130,0	244,0,2.3600,0	378,0,1.2630,0	512,0,0.8820,0	646,0,0.6840,0	780,0,0.5520,0	914,0,0.4550,0	1048,0,0.3810,0

ANÁLISIS DE DEFORMACIONES MURO 1822.943	MILAN TORRE CDMX		TABLA A.6.2		
0.00,0.00,0.00,1,1,1,1,1,0	1,2	0.015875,0.00000084802,0.00206706,0.00000021337	3,0,0,0,0,0,0,0	110.0.0	201,0,4.5630,0
6.00,0.00,0.00,0,0,0,0,0	2,3	0.015875,0.00000084802,0.00206706,0.00000021337	3,0,0,0,0,0,0,0	91,0,0.1590,0	202,0,4.5630,0
12.00,0.00,0.00,0,0,0,0,0,0	3,4	0.015875,0.00000084802,0.00206706,0.00000021337	3,0,0,0,0,0,0,0	92,0,0.1590,0	226,0,3.8880,0
18.00,0.00,0.00,0,0,0,0,0,0	4,5	0.015875,0.00000084802,0.00206706,0.00000021337	3,0,0,0,0,0,0,0	93,0,0.1590,0	227,0,3.8880,0
24.00,0.00,0.00,0,0,0,0,0	5,6	0.015875,0.00000084802,0.00206706,0.00000021337	3,0,0,0,0,0,0,0	94,0,0.1590,0	228,0,3.8880,0
30.00,0.00,0.00,0,0,0,0,0,0	6,7	0.015875,0.00000084802,0.00206706,0.00000021337	3,0,0,0,0,0,0,0	95,0,0.1590,0	229,0,3.8880,0
36.00,0.00,0.00,0,0,0,0,0,0	7,8	0.015875,0.00000084802,0.00206706,0.00000021337	3,0,0,0,0,0,0,0	96,0,0.1590,0	230,0,3.8880,0
42.00,0.00,0.00,0,0,0,0,0,0	8,9	0.015875,0.00000084802,0.00206706,0.00000021337	3,0,0,0,0,0,0,0	97,0,0.1590,0	231,0,3.8880,0
48.00,0.00,0.00,0,0,0,0,0,0	9,10	0.015875,0.00000084802,0.00206706,0.00000021337	3,0,0,0,0,0,0,0	98,0,0.1590,0	232,0,3.8880,0
54.00,0.00,0.00,0,0,0,0,0	10,11	0.015875,0.00000084802,0.00206706,0.00000021337	3,0,0,0,0,0,0,0	99,0,0.1590,0	233,0,3.8880,0
60.00,0.00,0.00,0,0,0,0,0	11,12	0.015875,0.00000084802,0.00206706,0.00000021337	3,0,0,0,0,0,0,0	100,0,0.1590,0	234,0,3.8880,0
66.00,0.00,0.00,0,0,0,0,0	12,13	0.015875,0.00000084802,0.00206706,0.00000021337	3,0,0,0,0,0,0,0	101,0,0.1590,0	235,0,3.8880,0
72.00,0.00,0.00,0,0,0,0,0	13,14	0.015875,0.00000084802,0.00206706,0.00000021337	3,0,0,0,0,0,0,0	102,0,0.1590,0	236,0,3.8880,0
78.00,0.00,0.00,0,0,0,0,0	14,15	0.015875,0.00000084802,0.00206706,0.00000021337	3,0,0,0,0,0,0,0	103,0,0.1590,0	237,0,3.8880,0
84.00,0.00,0.00,0,0,0,0,0	15,16	0.015875,0.00000084802,0.00206706,0.00000021337	3,0,0,0,0,0,0,0	104,0,0.1590,0	238,0,3.8880,0
90.00,0.00,0.00,0,0,0,0,0	16,17	0.015875,0.00000084802,0.00206706,0.00000021337	3,0,0,0,0,0,0,0	105,0,0.1590,0	239,0,3.8880,0
96.00,0.00,0.00,0,0,0,0,0	17,18	0.015875,0.00000084802,0.00206706,0.00000021337	3,0,0,0,0,0,0,0	106,0,0.1590,0	240,0,3.8880,0
102.00,0.00,0.00,0,0,0,0,0,0 108.00,0.00,0.00,0,0,0,0,0,0	18,19 19,20	0.015875,0.00000084802,0.00206706,0.00000021337	3,0,0,0,0,0,0,0	107,0,0.1590,0	241,0,3.8880,0
114.00,0.00,0.00,0,0,0,0,0,0	20,21	0.015875,0.00000084802,0.00206706,0.00000021337 0.015875,0.00000084802,0.00206706,0.00000021337	3,0,0,0,0,0,0,0	108,0,0.1590,0	242,0,3.8880,0
120.00,0.00,0.00,0,0,0,0,0,0	21,22	0.015875,0.00000084802,0.00206706,0.00000021337	3,0,0,0,0,0,0,0,0	109,0,0.1590,0 110,0,0.1590,0	243,0,3.8880,0 244,0,3.8880,0
126.00,0.00,0.00,0,0,0,0,0,0	22,23	0.015875,0.00000084802,0.00200706,0.00000021337	3,0,0,0,0,0,0,0,0	111,0,0.1590,0	245,0,3.8880,0
132.00,0.00,0.00,1,1,1,1,1,1,0	1,24	0.1572,0.007641,2.8296,0.001944	1,0,0,0,0,0,0,0,0	112,0,0.1590,0	246,0,3.8880,0
0.00,0.00,1.25,1,1,1,1,1,0	2,25	0.1572,0.007641,2.8296,0.001944	1,0,0,0,0,0,0,0	136,0,2.1090,0	247,0,3.8880,0
6.00,0.00,1.25,0,0,0,0,0	3,26	0.1572,0.007641,2.8296,0.001944	1,0,0,0,0,0,0,0	137,0,2.1090,0	271,0,3.5160,0
12.00,0.00,1.25,0,0,0,0,0,0	4,27	0.1572,0.007641,2.8296,0.001944	1,0,0,0,0,0,0,0	138,0,2.1090,0	272,0,3.5160,0
18.00,0.00,1.25,0,0,0,0,0,0	5,28	0.1572,0.007641,2.8296,0.001944	1,0,0,0,0,0,0,0	139,0,2.1090,0	273,0,3.5160,0
24.00,0.00,1.25,0,0,0,0,0,0	6,29	0.1572,0.007641,2.8296,0.001944	1,0,0,0,0,0,0,0	140,0,2.1090,0	274,0,3.5160,0
90.00,0.00,1.25,0,0,0,0,0,0	17,40	0.1572,0.007641,2.8296,0.001944	1,0,0,0,0,0,0,0	141,0,2.1090,0	275,0,3.5160,0
96.00,0.00,1.25,0,0,0,0,0,0	18,41	0.1572,0.007641,2.8296,0.001944	1,0,0,0,0,0,0,0	142,0,2.1090,0	276,0,3.5160,0
102.00,0.00,1.25,0,0,0,0,0,0	19,42	0.1572,0.007641,2.8296,0.001944	1,0,0,0,0,0,0,0	143,0,2.1090,0	277,0,3.5160,0
108.00,0.00,1.25,0,0,0,0,0,0	20,43	0.1572,0.007641,2.8296,0.001944	1,0,0,0,0,0,0,0	144,0,2.1090,0	278,0,3.5160,0
114.00,0.00,1.25,0,0,0,0,0,0	21,44	0.1572,0.007641,2.8296,0.001944	1,0,0,0,0,0,0,0	145,0,2.1090,0	279,0,3.5160,0
120.00,0.00,1.25,0,0,0,0,0,0	22,45	0.1572,0.007641,2.8296,0.001944	1,0,0,0,0,0,0,0	146,0,2.1090,0	280,0,3.5160,0
126.00,0.00,1.25,0,0,0,0,0,0	23,46	0.1572,0.007641,2.8296,0.001944	1,0,0,0,0,0,0,0	147,0,2.1090,0	281,0,3.5160,0
132.00,0.00,1.25,1,1,1,1,1,0	24,25	0.70000,0.064921,0.05833,0.028583	3,0,0,0,0,0,0,0	148,0,2.1090,0	282,0,3.5160,0
0.00,0.00,2.50,1,1,1,1,1,0	25,26	0.70000,0.064921,0.05833,0.028583	3,0,0,0,0,0,0,0	149,0,2.1090,0	283,0,3.5160,0
6.00,0.00,2.50,0,0,0,0,0,0 12.00,0.00,2.50,0,0,0,0,0,0	26,27 27,28	0.70000,0.064921,0.05833,0.028583 0.70000,0.064921,0.05833,0.028583	3,0,0,0,0,0,0,0,0	150,0,2.1090,0 151,0,2.1090,0	284,0,3.5160,0 285,0,3.5160,0
18.00,0.00,2.50,0,0,0,0,0,0	28,29	0.70000,0.064921,0.05833,0.028583	3,0,0,0,0,0,0,0,0	152,0,2.1090,0	286,0,3.5160,0
24.00,0.00,2.50,0,0,0,0,0	29,30	0.70000,0.064921,0.05833,0.028583	3,0,0,0,0,0,0,0,0	153,0,2.1090,0	287,0,3.5160,0
30.00,0.00,2.50,0,0,0,0,0	30,31	0.70000,0.064921,0.05833,0.028583	3,0,0,0,0,0,0,0	154,0,2.1090,0	288,0,3.5160,0
36.00,0.00,2.50,0,0,0,0,0,0	31,32	0.70000,0.064921,0.05833,0.028583	3,0,0,0,0,0,0,0	155,0,2.1090,0	289,0,3.5160,0
60.00,0.00,48.75,0,0,0,0,0,0	36,59	21000000,0.3	1,0,0,0,0,0,0,0	156,0,2.1090,0	290,0,3.5160,0
66.00,0.00,48.75,0,0,0,0,0,0	37,60	21000000,0.3	1,0,0,0,0,0,0,0	157,0,2.1090,0	291,0,3.5160,0
72.00,0.00,48.75,0,0,0,0,0,0	914,915	21000000,0.3	1,0,0,0,0,0,0,0	181,0,4.5630,0	292,0,3.5160,0
78.00,0.00,48.75,0,0,0,0,0,0	915,916	21000000,0.3	1,0,0,0,0,0,0,0	182,0,4.5630,0	381,0,1.2630,0
84.00,0.00,48.75,0,0,0,0,0,0	916,917	21000000,0.3	1,0,0,0,0,0,0,0	183,0,4.5630,0	382,0,1.2630,0
90.00,0.00,48.75,0,0,0,0,0,0	917,918	21000000,0.3	1,0,0,0,0,0,0,0	184,0,4.5630,0	406,0,1.1010,0
42.00,0.00,50.00,1,1,1,1,1,1	925,926	23000000,0.3	3,0,0,0,0,0,0,0	185,0,4.5630,0	421,0,1.1010,0
48.00,0.00,50.00,1,1,1,1,1,1,1	927,928	23000000,0.3	3,0,0,0,0,0,0,0	186,0,4.5630,0	422,0,1.1010,0
54.00,0.00,50.00,1,1,1,1,1,1	928,929	23000000,0.3	3,0,0,0,0,0,0,0	187,0,4.5630,0	423,0,1.1010,0
60.00,0.00,50.00,1,1,1,1,1,1	930,931	23000000,0.3	3,0,0,0,0,0,0,0	188,0,4.5630,0	424,0,1.1010,0
66.00,0.00,50.00,1,1,1,1,1,1	931,932	2300000,0.3	3,0,0,0,0,0,0,0	189,0,4.5630,0	425,0,1.1010,0
72.00,0.00,50.00,1,1,1,1,1,1	932,933	2300000,0.3	3,0,0,0,0,0,0,0	190,0,4.5630,0	426,0,1.1010,0
78.00,0.00,50.00,1,1,1,1,1,1 84.00,0.00,50.00,1,1,1,1,1,1	933,934 934,935	23000000,0.3 23000000,0.3	3,0,0,0,0,0,0,0,0	191,0,4.5630,0 192,0,4.5630,0	427,0,1.1010,0 451,0,0.9790,0
90.00,0.00,50.00,1,1,1,1,1,1	934,935	2300000,0.3	3,0,0,0,0,0,0,0,0	193,0,4.5630,0	452,0,0.9790,0
96.00,0.00,50.00,1,1,1,1,1,1	936,937	2000000,0.3	3,0,0,0,0,0,0,0,0	194,0,4.5630,0	453,0,0.9790,0
102.00,0.00,50.00,1,1,1,1,1,1	937,938	2000000,0.2	3,0,0,0,0,0,0,0,0	195,0,4.5630,0	454,0,0.9790,0
108.00,0.00,50.00,1,1,1,1,1,1	938,939	2000000,0.2	3,0,0,0,0,0,0,0	196,0,4.5630,0	455,0,0.9790,0
114.00,0.00,50.00,1,1,1,1,1,1	939,940	2000000,0.2	3,0,0,0,0,0,0,0	197,0,4.5630,0	456,0,0.9790,0
120.00,0.00,50.00,1,1,1,1,1,1	940,941	2000000,0.2	1,0,0,0,0,0,0,0	198,0,4.5630,0	457,0,0.9790,0
126.00,0.00,50.00,1,1,1,1,1,1	941,942	2000000,0.2	1,0,0,0,0,0,0,0	199,0,4.5630,0	458,0,0.9790,0
132.00,0.00,50.00,1,1,1,1,1,1	942,943	2000000,0.2	1,0,0,0,0,0,0,0	200,0,4.5630,0	459,0,0.9790,0

ANÁLISIS DE DEFORMACIONES MURO 1822.943	MILAN TORRE CDMX		TABLA A.6.3		
0.00,0.00,0.00,1,1,1,1,1,0	1,2	0.015875,0.00000084802,0.00206706,0.00000021337	3,0,0,0,0,0,0,0	110.0.0	201,0,4.5630,0
6.00,0.00,0.00,0,0,0,0,0	2,3	0.015875,0.00000084802,0.00206706,0.00000021337	3,0,0,0,0,0,0,0	91,0,0.1590,0	202,0,4.5630,0
12.00,0.00,0.00,0,0,0,0,0	3,4	0.015875,0.00000084802,0.00206706,0.00000021337	3,0,0,0,0,0,0,0	92,0,0.1590,0	226,0,3.8880,0
18.00,0.00,0.00,0,0,0,0,0,0	4,5	0.015875,0.00000084802,0.00206706,0.00000021337	3,0,0,0,0,0,0,0	93,0,0.1590,0	227,0,3.8880,0
24.00,0.00,0.00,0,0,0,0,0,0	5,6	0.015875,0.00000084802,0.00206706,0.00000021337	3,0,0,0,0,0,0,0	94,0,0.1590,0	228,0,3.8880,0
30.00,0.00,0.00,0,0,0,0,0,0	6,7	0.015875,0.00000084802,0.00206706,0.00000021337	3,0,0,0,0,0,0,0	95,0,0.1590,0	229,0,3.8880,0
36.00,0.00,0.00,0,0,0,0,0,0	7,8	0.1572,0.007641,2.8296,0.001944	3,0,0,0,0,0,0,0	96,0,0.1590,0	230,0,3.8880,0
42.00,0.00,0.00,0,0,0,0,0,0	8,9	0.1572,0.007641,2.8296,0.001944	3,0,0,0,0,0,0,0	97,0,0.1590,0	231,0,3.8880,0
48.00,0.00,0.00,0,0,0,0,0,0	9,10	0.1572,0.007641,2.8296,0.001944	3,0,0,0,0,0,0,0	98,0,0.1590,0	232,0,3.8880,0
54.00,0.00,0.00,0,0,0,0,0	10,11	0.1572,0.007641,2.8296,0.001944	3,0,0,0,0,0,0,0	99,0,0.1590,0	233,0,3.8880,0
60.00,0.00,0.00,0,0,0,0,0	11,12	0.1572,0.007641,2.8296,0.001944	3,0,0,0,0,0,0,0	100,0,0.1590,0	234,0,3.8880,0
66.00,0.00,0.00,0,0,0,0,0	12,13	0.1572,0.007641,2.8296,0.001944	3,0,0,0,0,0,0,0	101,0,0.1590,0	235,0,3.8880,0
72.00,0.00,0.00,0,0,0,0,0	13,14	0.1572,0.007641,2.8296,0.001944	3,0,0,0,0,0,0,0	102,0,0.1590,0	236,0,3.8880,0
78.00,0.00,0.00,0,0,0,0,0	14,15	0.1572,0.007641,2.8296,0.001944	3,0,0,0,0,0,0,0	103,0,0.1590,0	237,0,3.8880,0
84.00,0.00,0.00,0,0,0,0,0,0 90.00,0.00,0.0	15,16 16,17	0.1572,0.007641,2.8296,0.001944	3,0,0,0,0,0,0,0	104,0,0.1590,0	238,0,3.8880,0
96.00,0.00,0.00,0,0,0,0,0,0	17,18	0.70000,0.064921,0.05833,0.028583 0.70000,0.064921,0.05833,0.028583	3,0,0,0,0,0,0,0	105,0,0.1590,0 106,0,0.1590,0	239,0,3.8880,0 240,0,3.8880,0
102.00,0.00,0.00,0,0,0,0,0,0	18,19	0.70000,0.064921,0.05833,0.028583	3,0,0,0,0,0,0,0,0	107,0,0.1590,0	241,0,3.8880,0
108.00,0.00,0.00,0,0,0,0,0,0	19,20	0.70000,0.064921,0.05833,0.028583	3,0,0,0,0,0,0,0	108,0,0.1590,0	242,0,3.8880,0
114.00,0.00,0.00,0,0,0,0,0,0	20,21	0.70000,0.064921,0.05833,0.028583	3,0,0,0,0,0,0,0	109,0,0.1590,0	243,0,3.8880,0
120.00,0.00,0.00,0,0,0,0,0,0	21,22	0.70000,0.064921,0.05833,0.028583	3,0,0,0,0,0,0,0	110,0,0.1590,0	244,0,3.8880,0
126.00,0.00,0.00,0,0,0,0,0,0	22,23	0.70000,0.064921,0.05833,0.028583	3,0,0,0,0,0,0,0	111,0,0.1590,0	245,0,3.8880,0
132.00,0.00,0.00,1,1,1,1,1,0	1,24	0.70000,0.064921,0.05833,0.028583	1,0,0,0,0,0,0,0	112,0,0.1590,0	246,0,3.8880,0
0.00,0.00,1.25,1,1,1,1,1,0	2,25	0.70000,0.064921,0.05833,0.028583	1,0,0,0,0,0,0,0	136,0,2.1090,0	247,0,3.8880,0
6.00,0.00,1.25,0,0,0,0,0,0	3,26	0.70000,0.064921,0.05833,0.028583	1,0,0,0,0,0,0,0	137,0,2.1090,0	271,0,3.5160,0
12.00,0.00,1.25,0,0,0,0,0,0	4,27	0.70000,0.064921,0.05833,0.028583	1,0,0,0,0,0,0,0	138,0,2.1090,0	272,0,3.5160,0
18.00,0.00,1.25,0,0,0,0,0,0	5,28	0.70000,0.064921,0.05833,0.028583	1,0,0,0,0,0,0,0	139,0,2.1090,0	273,0,3.5160,0
24.00,0.00,1.25,0,0,0,0,0,0	6,29	0.70000,0.064921,0.05833,0.028583	1,0,0,0,0,0,0,0	140,0,2.1090,0	274,0,3.5160,0
90.00,0.00,1.25,0,0,0,0,0,0	17,40	0.70000,0.064921,0.05833,0.028583	1,0,0,0,0,0,0,0	141,0,2.1090,0	275,0,3.5160,0
96.00,0.00,1.25,0,0,0,0,0,0	18,41	0.70000,0.064921,0.05833,0.028583	1,0,0,0,0,0,0,0	142,0,2.1090,0	276,0,3.5160,0
102.00,0.00,1.25,0,0,0,0,0,0	19,42	0.70000,0.064921,0.05833,0.028583	1,0,0,0,0,0,0,0	143,0,2.1090,0	277,0,3.5160,0
108.00,0.00,1.25,0,0,0,0,0,0	20,43 21,44	0.70000,0.064921,0.05833,0.028583	1,0,0,0,0,0,0,0	144,0,2.1090,0	278,0,3.5160,0
114.00,0.00,1.25,0,0,0,0,0,0 120.00,0.00,1.25,0,0,0,0,0,0	22,45	0.70000,0.064921,0.05833,0.028583 0.70000,0.064921,0.05833,0.028583	1,0,0,0,0,0,0,0	145,0,2.1090,0	279,0,3.5160,0
126.00,0.00,1.25,0,0,0,0,0,0	23,46	0.70000,0.064921,0.05833,0.028583	1,0,0,0,0,0,0,0 1,0,0,0,0,0,0,0	146,0,2.1090,0 147,0,2.1090,0	280,0,3.5160,0 281,0,3.5160,0
132.00,0.00,1.25,1,1,1,1,1,0	24,25	0.70000,0.064921,0.05833,0.028583	3,0,0,0,0,0,0,0	148,0,2.1090,0	282,0,3.5160,0
0.00,0.00,2.50,1,1,1,1,1,0	25,26	0.70000,0.064921,0.05833,0.028583	3,0,0,0,0,0,0,0	149,0,2.1090,0	283,0,3.5160,0
6.00,0.00,2.50,0,0,0,0,0	26,27	0.70000,0.064921,0.05833,0.028583	3,0,0,0,0,0,0,0	150,0,2.1090,0	284,0,3.5160,0
12.00,0.00,2.50,0,0,0,0,0,0	27,28	0.70000,0.064921,0.05833,0.028583	3,0,0,0,0,0,0,0	151,0,2.1090,0	285,0,3.5160,0
18.00,0.00,2.50,0,0,0,0,0,0	28,29	0.70000,0.064921,0.05833,0.028583	3,0,0,0,0,0,0,0	152,0,2.1090,0	286,0,3.5160,0
24.00,0.00,2.50,0,0,0,0,0,0	29,30	0.70000,0.064921,0.05833,0.028583	3,0,0,0,0,0,0,0	153,0,2.1090,0	287,0,3.5160,0
30.00,0.00,2.50,0,0,0,0,0,0	30,31	0.70000,0.064921,0.05833,0.028583	3,0,0,0,0,0,0,0	154,0,2.1090,0	288,0,3.5160,0
36.00,0.00,2.50,0,0,0,0,0,0	31,32	0.70000,0.064921,0.05833,0.028583	3,0,0,0,0,0,0,0	155,0,2.1090,0	289,0,3.5160,0
60.00,0.00,48.75,0,0,0,0,0	36,59	21000000,0.3	1,0,0,0,0,0,0,0	156,0,2.1090,0	290,0,3.5160,0
66.00,0.00,48.75,0,0,0,0,0	37,60	21000000,0.3	1,0,0,0,0,0,0,0	157,0,2.1090,0	291,0,3.5160,0
72.00,0.00,48.75,0,0,0,0,0,0 78.00,0.00,48.75,0,0,0,0,0,0	914,915	2100000,0.3	1,0,0,0,0,0,0,0	181,0,4.5630,0	292,0,3.5160,0
84.00,0.00,48.75,0,0,0,0,0,0 84.00,0.00,48.75,0,0,0,0,0,0	915,916 916,917	21000000,0.3 21000000,0.3	1,0,0,0,0,0,0,0,0 1,0,0,0,0,0,0,0,0	182,0,4.5630,0 183,0,4.5630,0	381,0,1.2630,0 382,0,1.2630,0
90.00,0.00,48.75,0,0,0,0,0	917,918	2100000,0.3	1,0,0,0,0,0,0,0,0	184,0,4.5630,0	406,0,1.1010,0
42.00,0.00,50.00,1,1,1,1,1,1	925,926	200000,0.2	3,0,0,0,0,0,0,0	185,0,4.5630,0	421,0,1.1010,0
48.00,0.00,50.00,1,1,1,1,1,1	927,928	2000000,0.2	3,0,0,0,0,0,0,0	186,0,4.5630,0	422,0,1.1010,0
54.00,0.00,50.00,1,1,1,1,1,1	928,929	2000000,0.2	3,0,0,0,0,0,0,0	187,0,4.5630,0	423,0,1.1010,0
60.00,0.00,50.00,1,1,1,1,1,1	930,931	2000000,0.2	3,0,0,0,0,0,0,0	188,0,4.5630,0	424,0,1.1010,0
66.00,0.00,50.00,1,1,1,1,1,1	931,932	2000000,0.2	3,0,0,0,0,0,0,0	189,0,4.5630,0	425,0,1.1010,0
72.00,0.00,50.00,1,1,1,1,1,1	932,933	2000000,0.2	3,0,0,0,0,0,0,0	190,0,4.5630,0	426,0,1.1010,0
78.00,0.00,50.00,1,1,1,1,1,1	933,934	2000000,0.2	3,0,0,0,0,0,0,0	191,0,4.5630,0	427,0,1.1010,0
84.00,0.00,50.00,1,1,1,1,1,1	934,935	2000000,0.2	3,0,0,0,0,0,0,0	192,0,4.5630,0	451,0,0.9790,0
90.00,0.00,50.00,1,1,1,1,1,1	935,936	2000000,0.2	3,0,0,0,0,0,0,0	193,0,4.5630,0	452,0,0.9790,0
96.00,0.00,50.00,1,1,1,1,1,1	936,937	2000000,0.2	3,0,0,0,0,0,0,0	194,0,4.5630,0	453,0,0.9790,0
102.00,0.00,50.00,1,1,1,1,1,1	937,938	2000000,0.2	3,0,0,0,0,0,0,0	195,0,4.5630,0	454,0,0.9790,0
108.00,0.00,50.00,1,1,1,1,1,1 114.00,0.00,50.00,1,1,1,1,1,1	938,939 939,940	2000000,0.2 2000000,0.2	3,0,0,0,0,0,0,0	196,0,4.5630,0 197,0,4.5630,0	455,0,0.9790,0 456,0,0.9790,0
120.00,0.00,50.00,1,1,1,1,1,1	939,940	2000000,0.2	3,0,0,0,0,0,0,0,0 1,0,0,0,0,0,0,0	198,0,4.5630,0	457,0,0.9790,0
126.00,0.00,50.00,1,1,1,1,1,1	941,942	2000000,0.2	1,0,0,0,0,0,0,0,0	199,0,4.5630,0	458,0,0.9790,0
132.00,0.00,50.00,1,1,1,1,1,1	942,943	200000,0.2	1,0,0,0,0,0,0,0	200,0,4.5630,0	459,0,0.9790,0
	•			,-	

ANÁLISIS DE DEFORMACIONES MURO 1822,943	MILAN TORRE CDMX		TABLA A.6.4	
0.00,0.00,0.00,1,1,1,1,1,0	1,2	0.015875,0.00000084802,0.00206706,0.00000021337	3,0,0,0,0,0,0,0	0,0,23
6.00,0.00,0.00,0,0,0,0,0,0	2,3	0.015875,0.00000084802,0.00206706,0.00000021337	3,0,0,0,0,0,0,0	70,0,75.350,0,0,0,0
12.00,0.00,0.00,0,0,0,0,0,0	3,4	0.015875,0.00000084802,0.00206706,0.00000021337	3,0,0,0,0,0,0,0	71,0,75.350,0,0,0,0
18.00,0.00,0.00,0,0,0,0,0	4,5	0.015875,0.00000084802,0.00206706,0.00000021337	3,0,0,0,0,0,0,0	72,0,75.350,0,0,0,0
24.00,0.00,0.00,0,0,0,0,0,0	5,6	0.015875,0.00000084802,0.00206706,0.00000021337	3,0,0,0,0,0,0,0	73,0,75.350,0,0,0,0
30.00,0.00,0.00,0,0,0,0,0	6,7	0.015875,0.00000084802,0.00206706,0.00000021337	3,0,0,0,0,0,0,0	74,0,75.350,0,0,0,0
36.00,0.00,0.00,0,0,0,0,0	7,8	0.1572,0.007641,2.8296,0.001944	3,0,0,0,0,0,0,0	75,0,75.350,0,0,0,0
42.00,0.00,0.00,0,0,0,0,0	8,9	0.1572,0.007641,2.8296,0.001944	3,0,0,0,0,0,0,0	76,0,75.350,0,0,0,0
48.00,0.00,0.00,0,0,0,0,0	9,10	0.1572,0.007641,2.8296,0.001944	3,0,0,0,0,0,0	77,0,75.350,0,0,0,0
54.00,0.00,0.00,0,0,0,0,0	10,11	0.1572,0.007641,2.8296,0.001944	3,0,0,0,0,0,0	78,0,75.350,0,0,0,0
60.00,0.00,0.00,0,0,0,0,0	11,12	0.1572,0.007641,2.8296,0.001944	3,0,0,0,0,0,0,0	79,0,75.350,0,0,0,0
66.00,0.00,0.00,0,0,0,0,0	12,13	0.1572,0.007641,2.8296,0.001944	3,0,0,0,0,0,0,0	80,0,75.350,0,0,0,0
72.00,0.00,0.00,0,0,0,0,0,0 78.00,0.00,0.00,0,0,0,0,0,0	13,14 14,15	0.1572,0.007641,2.8296,0.001944 0.1572,0.007641,2.8296,0.001944	3,0,0,0,0,0,0,0	81,0,75.350,0,0,0,0 82,0,75.350,0,0,0,0
84.00,0.00,0.00,0,0,0,0,0	15,16	0.1572,0.007641,2.8296,0.001944	3,0,0,0,0,0,0,0 3,0,0,0,0,0,0	83,0,75.350,0,0,0,0
90.00,0.00,0.00,0,0,0,0,0	16,17	0.70000,0.064921,0.05833,0.028583	3,0,0,0,0,0,0,0	84,0,75.350,0,0,0,0
96.00,0.00,0.00,0,0,0,0,0	17,18	0.70000,0.064921,0.05833,0.028583	3,0,0,0,0,0,0,0	85,0,75.350,0,0,0,0
102.00,0.00,0.00,0,0,0,0,0	18,19	0.70000,0.064921,0.05833,0.028583	3,0,0,0,0,0,0,0	86,0,75.350,0,0,0,0
108.00,0.00,0.00,0,0,0,0,0,0	19,20	0.70000,0.064921,0.05833,0.028583	3,0,0,0,0,0,0,0	87,0,75.350,0,0,0,0
114.00,0.00,0.00,0,0,0,0,0,0	20,21	0.70000,0.064921,0.05833,0.028583	3,0,0,0,0,0,0,0	88,0,75.350,0,0,0,0
120.00,0.00,0.00,0,0,0,0,0,0	21,22	0.70000,0.064921,0.05833,0.028583	3,0,0,0,0,0,0,0	89,0,75.350,0,0,0,0
126.00,0.00,0.00,0,0,0,0,0,0	22,23	0.70000,0.064921,0.05833,0.028583	3,0,0,0,0,0,0,0	90,0,75.350,0,0,0,0
132.00,0.00,0.00,1,1,1,1,1,1,0	1,24	0.70000,0.064921,0.05833,0.028583	1,0,0,0,0,0,0,0	91,0,75.350,0,0,0,0
0.00,0.00,1.25,1,1,1,1,1,0	2,25	0.70000,0.064921,0.05833,0.028583	1,0,0,0,0,0,0,0	92,0,75.350,0,0,0,0
6.00,0.00,1.25,0,0,0,0,0,0	3,26	0.70000,0.064921,0.05833,0.028583	1,0,0,0,0,0,0,0	
12.00,0.00,1.25,0,0,0,0,0,0	4,27	0.70000,0.064921,0.05833,0.028583	1,0,0,0,0,0,0,0	
18.00,0.00,1.25,0,0,0,0,0,0	5,28	0.70000,0.064921,0.05833,0.028583	1,0,0,0,0,0,0,0	
24.00,0.00,1.25,0,0,0,0,0,0 90.00,0.00,1.25,0,0,0,0,0,0	6,29 17,40	0.70000,0.064921,0.05833,0.028583	1,0,0,0,0,0,0,0	
96.00,0.00,1.25,0,0,0,0,0,0	18,41	0.70000,0.064921,0.05833,0.028583 0.70000,0.064921,0.05833,0.028583	1,0,0,0,0,0,0,0 1,0,0,0,0,0,0	
102.00,0.00,1.25,0,0,0,0,0,0	19,42	0.70000,0.064921,0.05833,0.028583	1,0,0,0,0,0,0,0	
108.00,0.00,1.25,0,0,0,0,0	20,43	0.70000,0.064921,0.05833,0.028583	1,0,0,0,0,0,0,0	
114.00,0.00,1.25,0,0,0,0,0,0	21,44	0.70000,0.064921,0.05833,0.028583	1,0,0,0,0,0,0,0	
120.00,0.00,1.25,0,0,0,0,0,0	22,45	0.70000,0.064921,0.05833,0.028583	1,0,0,0,0,0,0,0	
126.00,0.00,1.25,0,0,0,0,0,0	23,46	0.70000,0.064921,0.05833,0.028583	1,0,0,0,0,0,0,0	
132.00,0.00,1.25,1,1,1,1,1,0	24,25	0.70000,0.064921,0.05833,0.028583	3,0,0,0,0,0,0,0	
0.00,0.00,2.50,1,1,1,1,1,0	25,26	0.70000,0.064921,0.05833,0.028583	3,0,0,0,0,0,0	
6.00,0.00,2.50,0,0,0,0,0,0	26,27	0.70000,0.064921,0.05833,0.028583	3,0,0,0,0,0,0	
12.00,0.00,2.50,0,0,0,0,0	27,28	0.70000,0.064921,0.05833,0.028583	3,0,0,0,0,0,0,0	
18.00,0.00,2.50,0,0,0,0,0	28,29	0.70000,0.064921,0.05833,0.028583	3,0,0,0,0,0,0,0	
24.00,0.00,2.50,0,0,0,0,0,0 30.00,0.00,2.50,0,0,0,0,0,0	29,30 30,31	0.70000,0.064921,0.05833,0.028583	3,0,0,0,0,0,0	
36.00,0.00,2.50,0,0,0,0,0	31,32	0.70000,0.064921,0.05833,0.028583 0.70000,0.064921,0.05833,0.028583	3,0,0,0,0,0,0,0 3,0,0,0,0,0,0,0	
60.00,0.00,48.75,0,0,0,0,0,0	36,59	2100000,0.3	1,0,0,0,0,0,0,0	
66.00,0.00,48.75,0,0,0,0,0	37,60	21000000,0.3	1,0,0,0,0,0,0,0	
72.00,0.00,48.75,0,0,0,0,0,0	914,915	21000000,0.3	1,0,0,0,0,0,0,0	
78.00,0.00,48.75,0,0,0,0,0,0	915,916	21000000,0.3	1,0,0,0,0,0,0,0	
84.00,0.00,48.75,0,0,0,0,0,0	916,917	21000000,0.3	1,0,0,0,0,0,0,0	
90.00,0.00,48.75,0,0,0,0,0,0	917,918	21000000,0.3	1,0,0,0,0,0,0,0	
42.00,0.00,50.00,1,1,1,1,1,1	925,926	2000000,0.2	3,0,0,0,0,0,0	
48.00,0.00,50.00,1,1,1,1,1,1	927,928	2000000,0.2	3,0,0,0,0,0,0	
54.00,0.00,50.00,1,1,1,1,1,1	928,929	200000,0.2	3,0,0,0,0,0,0,0	
60.00,0.00,50.00,1,1,1,1,1,1	930,931	2000000,0.2	3,0,0,0,0,0,0,0	
66.00,0.00,50.00,1,1,1,1,1,1	931,932	2000000,0.2	3,0,0,0,0,0,0	
72.00,0.00,50.00,1,1,1,1,1,1 78.00,0.00,50.00,1,1,1,1,1,1	932,933 933,934	2000000,0.2 2000000,0.2	3,0,0,0,0,0,0,0 3,0,0,0,0,0,0,0	
84.00,0.00,50.00,1,1,1,1,1,1	934,935	2000000,0.2	3,0,0,0,0,0,0,0	
90.00,0.00,50.00,1,1,1,1,1,1	935,936	2000000,0.2	3,0,0,0,0,0,0,0	
96.00,0.00,50.00,1,1,1,1,1,1	936,937	2000000,0.2	3,0,0,0,0,0,0,0	
102.00,0.00,50.00,1,1,1,1,1,1	937,938	2000000,0.2	3,0,0,0,0,0,0,0	
108.00,0.00,50.00,1,1,1,1,1,1	938,939	2000000,0.2	3,0,0,0,0,0,0,0	
114.00,0.00,50.00,1,1,1,1,1,1	939,940	2000000,0.2	3,0,0,0,0,0,0,0	
120.00,0.00,50.00,1,1,1,1,1,1	940,941	2000000,0.2	1,0,0,0,0,0,0,0	
126.00,0.00,50.00,1,1,1,1,1,1	941,942	2000000,0.2	1,0,0,0,0,0,0,0	
132.00,0.00,50.00,1,1,1,1,1,1	942,943	2000000,0.2	1,0,0,0,0,0,0,0	



MODELACIÓN DEL PROCEDIMIENTO CONSTRUCTIVO DE UNA EXCAVACIÓN CON INTERACCIÓN SUELO – ELEMENTO DE CONTENCIÓN

Se presenta en la tabla A.6.5 una sección de la matriz de rigidez utilizada para los cálculos de interacción suelo – estructura obtenida de FLEXHO, ya que la matriz original es de 943x943.

Tabla A.6.5. Sección de la matriz de rigidez KS1 del suelo.

ANÁLISIS DE DEFORMACIONES MURO MILÁN TORRE CDMX

943 8984.29 -366.084 -0.79639 -4.60072-1.2211 -0.16335 0.438266 0.455211 0.420729 0.369882 0.28916 998.4953 -0.08191 0.116244 -150.868 -188.269 -3.10765 -3.54622 -1.24445 -0.442130.065039 0.126179 -0.16626 -186.343 8992.591 -186.266 -2.59739 -3.32451 -1.1422 -0.38665 -0.04749 0.088754 0.133824 -2.05368 -2.53096 -186.291 8992.438 -186.329 -2.62994 -3.34218 -1.15265 -0.39328 -0.05196 0.085592 -0.72432 -3.32412 -2.62114 -186.307 8992.425 -186.338 -2.63487 -3.3454 -1.15478 -0.39474 -0.05299-1.15338 -3.3388 -186.316 -186.341 -2.63727 -1.15595 -0.28771 -2.63238992.421 -3.34705 -0.39558-186.343 -0.08112 -0.40162 -1.15275 -3.3432-2.63693 -186.319 8992.417 -2.63835 -3.34786 -1.15655 0.006988 -0.06251 -0.39489 -1.15408 -3.34563 -2.63903 -186.32 8992.415 -186.343 -2.63901 -3.34828 -186.344 0.041033 0.074984 -0.05415 -0.39471-1.15534 -3.34692 -2.64004 -186.321 8992.417 -2.63927 0.050912 0.12167 0.083254 -0.05331 -0.39532-1.15614 -3.34759 -2.64054 -186.322 8992.416 -186.344 0.050419 0.129288 0.129215 0.08436 -0.05353 -0.39581 -1.1566 -3.34798 -2.64081 -186.322 8992.416 0.045974 0.120971 0.135933 0.130379 0.084336 -0.05383 -0.39612 -1.15687 -3.34818 -2.64102 -186.322 -3.34827 0.040377 0.107385 0.126733 0.137063 0.13047 0.084167 -0.05404 -0.3963-1.15702 -2.64099 0.130387 0.034857 0.093025 0.112353 0.127786 0.13722 0.084038 -0.05415 -0.39638 -1.15704 -3.34826 0.029875 0.079727 0.097305 0.113319 0.127981 0.137199 0.130321 0.083985 -0.05418 -0.39635 -1.15698 0.137185 0.025562 0.068096 0.083425 0.098186 0.113536 0.128007 0.130317 0.084009 -0.05411 -0.39625 0.021905 0.058194 0.071307 0.08423 0.098419 0.113604 0.128042 0.137232 0.130393 0.084129 -0.05394 0.018835 0.049881 0.061001 0.07205 0.084481 0.098528 0.113688 0.128143 0.137369 0.130583 0.084385 0.016271 0.042948 0.052358 0.061698 0.072323 0.084635 0.098668 0.113852 0.128354 0.137642 0.130942 0.014127 0.037164 0.045138 0.053003 0.061975 0.072499 0.084803 0.098865 0.114101 0.128673 0.138059 0.012414 0.032548 0.039368 0.046031 0.053619 0.062559 0.073145 0.085561 0.099779 0.11522 0.130069 0.04275 0.010027 0.026225 0.031614 0.036831 0.049721 0.058005 0.067821 0.079297 0.092336 0.106272 0.025794 0.067099 0.08032 0.092864 0.106981 0.123584 0.143408 0.16722 0.195853 0.230152 0.270811 98.37629 -4331.97 66.90444 17.12148 6.237592 2.307142 0.892717 0.348586 0.133164 0.046054 0.011236 28.97241 -4317.88 46.51925 31.41392 7.45206 2.487393 0.766061 0.190974 -0.0043 -0.06438 -0.07667